



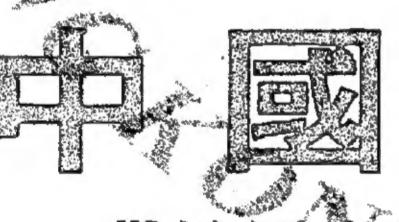
七至一八一七五七:機總話電

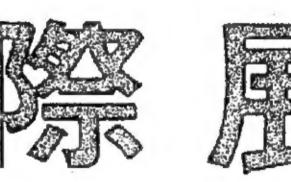


明日。舉凡觀力疲勞、頭量眼花、精神困 障、飛蚊症及視力減退患者最佳良藥.



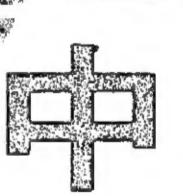
中國、亞洲、世界各國和地區 發展貿易往來、經濟合作和技術交流的理想場所







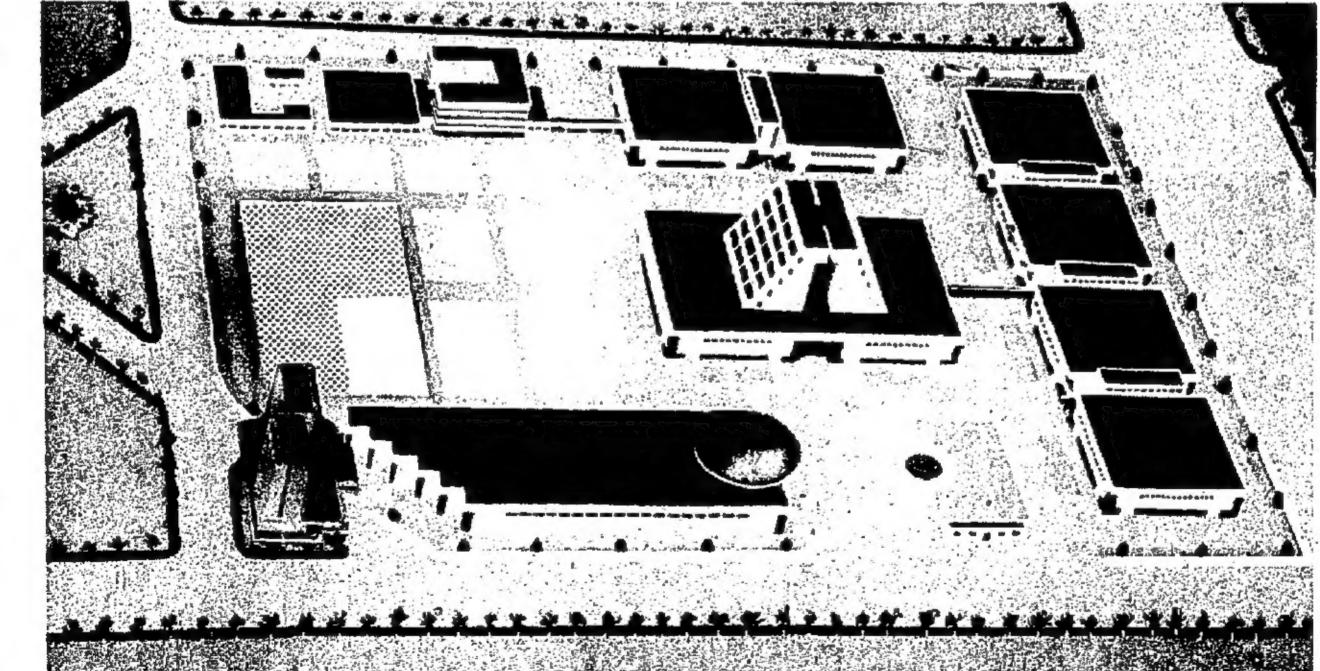






## 1988年展覽表

第二届國際木工及傢具機械設備展覽會 3月4-10日 國際機床和通用機械設備展覽會 民主德國出口展覽會 4月13-22日 國際電子生產及半導體展覽會 4月19-24日 國際載重卡車及維修展覽會 11月1-7日 5月26-31日 國際焊接技術展覽會 第二屆國際印刷技術展覽會 6月1-7日 6月2-7日 第二屆國際體育器材展覽會 6月20-25日 國際能源設備技術展覽會 6月21-26日 國際汽車工藝及裝備展覽會 國際紡織機械展覽會 7月6-12日 國際包裝技術展覽會 9月9-15日 國際冶金工業展覽會 9月16—22日 9月20-25日 國際廢處理展覽會 10月4-9日 國際礦山設備展覽會 第二屆國際地質氣候技術設備展覽會 10月11-17日 國際電訊及計算機展覽會 10月26-31日 國際陸上交通展覽會 10月28-11月2日 第二屆國際防務技術展覽會 11月15-21日 11月17-22日 國際防腐蝕表面處理及食品保鮮展覽會 第二屆國際服裝機械展覽會 11月23-29日 國際攝影和聲像廣播器材展覽會 12月2-7日 12月3-9日 國際化工、石油化工展覽會 12月14—19日 國際保安及工業安全展覽會



中國國際展覽中心成立於1985年1月,是中國國際貿 易促進委員會領導下的企業,佔地15萬平方米。將分期建 設展覽館、綜合服務樓、飯店、停車塲和展出廣塲。現可 供展覽面積6萬多平方米。

自1985年11月,亞太地區國際貿易博覽會以後,兩年 中組織接待了50多個展覽會,共有47個國家和地區的5,000 多家廠商參加展出,面積累計達33萬平方米,觀衆 200 餘 萬人(次)。展覽會期間,中外專家共舉行約1,200多項 專題技術座談。

1989年展覽表

國際石油設備展覽會 國際儀器儀表展覽會 國際森林火災報警、滅火技術展覽會 國際熱處理展覽會 國際生物工程技術展覽會 國際船舶工業展覽會 國際文敎生產設備展覽會 國際防務技術展覽會 國際工藝品加工設備技術展覽會 國際隧道掘進科技及設備展覽會 國際系統工程會議及展覽會 國際礦業技術會讓及展覽會 國際工業技術展覽會 國際光纖及程控交換技術展覽會 國際旅遊業展覽會 國際鹽加工工藝及設備展覽會 國際物流機械展覽會 第三屆國際醫療器械及設備展覽會 國際建築技術、設備及製品展覽會 國際通訊與辦公室自動化設備展覽會 國際航空展覽會 國際化工技術和設備展覽會 國際天然氣體生產及運輸展覽會 國際造紙工業展覽會 國際農業及耕作展覽會 國際水利電力展覽會 國際塑料與橡膠工業展覽會 國際食品加工技術展覽會 國際林業及木材展覽會

CHINA INTERNATIONAL EXHIBITION CENTRE

地址:北京市朝陽區北三環東路6號

電話: 482428 482447

電傳: 210214 CEXHN CN 傳眞:4217303

派駐海外機構: (一)華港國際展覽有限公司

地址:香港灣仔港灣道26號華潤大廈21樓

電話:5-8335078

電傳:81529 CIFC HK 傳真:5-8931214

(二)太平洋國際展覽有限公司

地址:16 Bowry, 2nd Floor, New York 10013

電話: (212)233-100 431-3791 電傳: 645405 YING NYK

九七五兩今 點點點點四 九半三半場 **総報野** 

宮麗碧

宜不童兒 程立不**立** 題南場午 看宜不**童**兒 王北 夜

的二胡獨奏曲·描述的是無錫惠山之名 並借以抒情·曲調幽怨·悲凉·現改編

樂曲演奏,又有另一番旨趣。《霸王郎

及《南山吟》分由琵琶及笛子獨奏。全

5-737374 仔润港香

安治持維作合財警

22010-1

場五天今 巨惹緊恐一 片笑張怖部

情 魂海縣 子美 

洋南 5-737388

此表示感谢

中岛敏次郎時,正式邀請日本中南海會見日本新任驻華大使兩務院總理趙紫陽今天下午在兩務院總理趙紫陽今天下午在

、博物館 作為拍攝 作為拍攝 作為拍攝 。

老兵返大陸探觀。 常導委員會十八日決 精導委員會十八日決 大士共同籍款,支援 人士共同籍款,支援 人士共同籍款,支援

法官對另一記者 地們二人可能最高被 地們二人可能最高被 選定罪名成立的話,

下午三時三十八 一個空軍基 一個空軍基 一個空軍基 一個空軍基 一個空軍基 一個空軍基 一個空軍基 一個空軍基

的内心、

趙紫

陽

登訪華

IE.

式邀請

凌

張一第

天已屆最後

**頻限** 

次墓在師世國

地二生上。一英 鐵十在最 個皇

下午定量

7.40

13.90

7.15

等又指斥里根在軍火 大衛野政的前下級人 大衛野政的前下級人 大衛野政的前下級人 大衛野政的前下級人 大衛野政的前下級人 大衛野政的前下級人

因泰

10. 55

5. 25 7. 15

7.75

13, 75 18.00 :

6. 95

本鄉統須保證一切法 本鄉統須保證一切法

46647590

新

開

勢

喜

運

會

十二次。

高的陽

他 追 変 的 當 我 首

國

梁波板

打個球紫紫

爾聰一比的

外重視 ,項包<del>專</del> 反體括人

劉政丸

聯合會

員

民間學術組織, 这 他那設在中國的問 也界針聯將是第

貨

駕駛員無執

11.5

署署長

利滕收

品體

出面等数

一十九戰機投奔台灣 一十九戰機投奔台灣 一十九戰機是軍機師 一十九戰機是軍機師 一十九戰機是軍機師 一十九戰機是軍機師 一十九戰機是軍機師

村老兵往大陸

除 

九日電 】一個台北十 方法院法官説,第一 位公開藐視政府禁止 前往中國大陸旅遊禁 令的台灣記者,星期 一個台北地 大陸 昨飛到台灣

名。 名 略 則 不 予 檢 控 此 罪

被正式落案檢控

吳豐山與李永得

中國旅行社外,增加中國國際旅行社、中國國際旅行社、中國

旅遊局

月

初將現高潮

环

親

意見。 意見。 遊展高架軌道交通問 強展高架軌道交通問 造。

2 8 5 20 

西武天台藩上昆香杭殿 成北 城安淡津 北陽海明港州州 都京市 

**尽擬建高架** 

軌道系統

省速度快載

客量大

行性研究

照照主席,由市房管機關通告收回統不登記房屋,由市房管局依法處理。逾期不配使用的土地,由市房管局依法通告代管,即長短加收登記費百分之五十至四百。逾期長短加收登記費百分之五十至四百。逾

八開始登記發證

委託辦

廣州城鎭房屋

發證。 受證,由市房地産管理局審查確認權屬分別 人或土地使用人按照市規定的登記辦法申請 房屋及其使用的國有土地,均應由房屋所有

港韓台星將採取

措施

抵銷對美貿易不

3。文物保够單位、博物館的館藏藏品百建築,不能提供作為拍攝內景。浮雕、雕龍柱、楠木殿(房)等重要文位,可適當放寬。但有壁盘、彩塑、懸2.對省、自治區、直轄市級的文物保

重要交換人

下 一 國防部 」 發表 新聞聲明說,大陸空 一 一 國防部 」 發表 一 國防部 」 發表

報價 上日收市

7. 05.

10. 55 5. 25

7. 15

7. 75

13. 75

18. 00 4

7. 20

6. 95

本総統須保證一切法 一點。 一點。

上午定量

下午定量

5.40

7.95

18.20

已定,定發,文?

支持

往大陸

官張瑞南(譯音)說 字永得前往中國大陸 李永得前往中國大陸 李永得前往中國大陸 李永得前往中國大陸

十十九戰機投奔台灣星期四駕駛一架米格一十九戰機改一架米格一十九戰機改革一十九戰機改革一十十九戰機投資一十十九戰機投資一十十九戰機投資一十十九戰機投資一十十九戰機及一十十九一十十九一十十九一十十九一十十九1一十九111<l

台團體出面籌款

人 身 勿 忙 常

乘客驚惶互相蹉踏

扶車

梯到

他工息下們作士班

很多乘客被錯誤指

的後果如何。」 了。假如我真的擠出火車外面

上席李先念及夫一的邀請,於今天下午 | 利時王國進行國事的十九日電 | 中國 | 王博杜安一世和王后 | 布魯塞爾,開始對原一級新華社布魯 | 人林佳桐應比利時國 | 乘專機從盧森堡抵達

安國王

反對

**天國再迫它們** 

將貨幣升

کی

开高了百分之十六, 会灣官員說,他們對 美國的恐嚇並不驚慌 美國的恐嚇並不驚慌 一种高了百分之十六,

他對記者說,他打算星期五要求衆議院進行表決,把自賴特被問及會否將達成協議,他回答說,「是的。」赤字達成一項協議。 賴特對記者說

(社透路)。傷受人十五,生喪人四十三成造少最火大

國際最新滙市股市金市行情

1.7780.

1.3785

市股談再根里

兆先退轰非整調是

為挫韵

※今晨截稿時指數及價位

蘇

副

主席

談

中蘇

係

稱屬

一商計合作興建兩發電廠 於友好國家水平

七個發電廠的修改或一技術援助。 合作,蘇聯已經對於一建設工程,給予中國

美

尹

更

日日

」報告發表

聯團潮際國

幕開坡加新在昨

稱里根

要責に

員撒謊銷毀

也有

這件觀開始

衆議院 【路透社華盛頓】 里,其他 】 攬子草擬計劃。 【長遠道一人,他星期四預測談判員將不能達成一人,他星期四預測談判員將不能達成透社華盛頓十九日電 】美國俄勒岡州共透社華盛頓十九日電 】美國俄勒岡州共 A.將來平衡聯 根說,他仍承 便 鉱 寛

學鄉 淡葱雪站 戰器

、焰濃煙

在隧道迅速蔓延

八年生效的城境中。年初實施了税收改革,里根在其特别樂體

初時死

會誼

增至

京

数十九日專電》 数十九日專電》 NG'S CROSS 英皇十字地鐵站 文皇十字地鐵站 文皇大字地鐵站 人死亡。五十多

餘年歷史,有關資

問傷者

夏會的調查結 是期三一起召 完美和黨參議員 完長 是期三一起召

「專題講座和「國際潮入書盘觀賞會」同時舉辦「在新加坡貿易與投資的機會在追次為期兩天的聯誼年會期間,來西亞舉行。

一年在香港舉行,第二屆和第三屆分別 一年在香港舉行,第二屆和第三屆分別 一年在香港舉行,第二屆和第三屆分別 一年在香港舉行,第二屆和第三屆分別 一年在香港舉行,第二屆和第三屆分別 一年在香港舉行,第二屆和第三屆分別 一年在香港舉行,第二屆和第三屆分別 一年在香港學行,第二屆和第三屆分別 一年在香港學行,第二屆和第三屆分別

的相互了解和友誼,加强經, 一說,這次會議將促進各次。 李顯龍在開幕式上

2 國巴進行廣泛的一段施的建設方面

切應該做

李先念主

席

五年十二月を置亡紀録而巳・記非首次・只見

美影視明

·阿倫、辛·康姓名,其他為日本商品 與麒麟啤酒,保羅 一十六百萬美

人們驚惶萬狀,

什麼事情,但火車開走 說:「我希望盡量擠出

日本 人崇拜外國

的避告不似美國廣告那麼商業化、喜歡接拍日本廣告,還有另一個原

片集却似乎即 有然亦在日本 直然亦在日本

而且很多還是毛遂自薦的。之後,初時不遷寥寥幾個,但近年却愈來愈自從十年前,日本電視廣告中開始出現美國自從十年前,日本電視廣告中開始出現美國

具他美國電視演員就更無,更達論找她拍廣告了。 們紅遷半邊天的鍾·歌遊們紅遷半邊天的鍾·歌遊程,日本入愛看美國電影在日本吃得關。

星愛拍 高安妮

廣 古

一名日本電視觀衆說,「不那麼富商業味道,而是很有不那麼富商業味道,而是很有不那麼富商業味道,而是很有不那麼富商業味道,而是很有不那麼富商業味道,而是很有個。 一個無論在美國拍也好,前他們必定在合約中的明道 他們必定在合約中的明道 他們必定在合約中的明道 他們必定在合約中的明道 他們必定在合約中的明道 他們必定在合約中的明道 

孫 男 丹灧泳浩

外孫女

吳愼雄

一港殯儀館

**電話・六一五二二六** 英皇道六七九號

家珠質公

以年人中最受崇拜的外属女星竟然听究有限公司最近進行的一項調查辦紅星,但她在日本却很受歡迎,做女歌星艾蓮‧卡拉,近來在美爾思想迥異,例如以唱《名氣》一曲思想迥異,例如以唱《名氣》一曲

甚至無須拿起那件產品。無須開口講話,只是在廣生要他們為所宣傳的選品大監要他們為所宣傳的選品大監要

,在美國反應冷淡的影片,到了不同,在美國賣座的影片,到了可能是美國人與日本人對電影和

**葬柴灣華人** 

治喪謹

周

S

林

王英太夫-

於

農公曆

保祿醫院積閏享壽七十有二歲奉移香港殯儀

乃談日下午八時十分壽終香港聖

殿曆+一月世日(星期六)·

旭生 琦 霖 明 媳問 媳 媳黃新健 郭美花 榕

女月英 婿 吳弼光

孫女

泣告

三近資耗

示,筲箕灣東村地盤整理工程小組主席何承天會後向記者表外組昨日舉行會議,理工程之一。

入擔 心是經常再離家出走

女個案激增

澳督文禮治

香港法律作

以履行

律政司在波士頓 一期整體交通研究完成後,港府才

中英聯合聲明

作晚被二里持槍打劫。 作晚被二里持槍打劫。 作晚在油麻地截劫三名持有兩支手槍的劫匪。 作晚在油麻地截劫三名持有兩支手槍的劫匪。 作晚在油麻地截劫三名持有兩支手槍的劫匪。 作晚十時四十五分,三名馬來西亞籍男子,搶 一個旅行隐,內有一批外幣及衣物,總值 一個旅行隐,內有一批外幣及衣物,總值 一個旅行隐,內有一批外幣及衣物,總值 一個旅行隐,內有一批外幣及衣物,總值 一個旅行隐,內有一批外幣及衣物,總值 但旅行隐搶去,內有三萬元分數及 电梯,上升至十三樓時, 三萬是 一人剛到港)返回彌敦道三六四號一人剛到港)返回彌敦道三六四號一大剛到港)返回彌敦道三六四號

香港華

立法兩局議員招願一仍未討論

對民滙處報告 行政局仍未

| 五年為多,因為港人 | 間提高了| 選舉的人數,會較八 | 的公民意加明年三月競選者儘早

當局擬於下

月中公佑

打翻腐蚀性液體 一家五口齊受傷。

方面 京五口全部被四八 的腐蝕性液體,致一 的腐蝕性液體,致一 的腐蝕性液體,致一 有 於量數一樽放在抬上

收費低 服務高 設備全 地點好

九一元長期有效) 、一元長期有效) 、中區統一碼 、中區統一碼 碼頭對正 歡迎參觀

香港 銅鑼灣

香港5-765338 歡迎您用普通話北京中國旅行社代理 5122469

承坦時問者記答昨屯家許 市股近最在 資

長

開

原因被台灣當局拒絕人第而未能赴台灣與政策實教之長女梁文 中 書 清 已 定 今晚 由台灣抵 韓 書 清 已 定 今晚 由台灣抵 神 書 清 已 定 今晚 由台灣抵 會 與 過 母 在 港 會 面



承蒙社會各界人士鼎力支持和眞誠合作, 珠江啤酒榮獲第三屆「羊城杯」質量獎榜首。僅 此,特向國內外廣大客戶和消費者致以衷心謝 意。

順告各界人士,經上級批準,珠江啤酒 聯營)公司已正式成立,本公司可直接經營有 關的進出口業務,對外業務啓用「中國廣州珠 聯營)公司」名稱。歡迎海外人士光臨 江啤酒( 惠顧。

中國廣州珠江啤酒(聯營)公司、珠江啤酒廠

地址:中國廣州市新港東路 電話: 429045或429135轉各部 電傳: 44498 ZJBCO CN

電掛: 4493

的 貨有限公司 的 貨有限公司 <sup>被</sup>場免稅品店 質有限公司 質有限公司 2貨有限公司 貨有限公司 質有限公司 貨有限公司 質有限公司

國貨有限公司 数貨有限公司 癌薬日 一前進入九龍 昨晚八時 在病房廁所內用纖帶一實已死亡。許,醫院護士發現林一吊頸,將他解下

品有限公司 代理: 作 公 司 5(4線) 91884

時證

的轉變和其含義

矛盾調節機制逐渐失控

正追緝六

名可惡大漢下落

六年

五期星

~~~

慣匪被捕起出贓物

| 五三一一三,内缐二一一。| 區偵緝組探員聯絡,領回失物。電期間曾在中區失竊手提袋或銀包者| 整方呼籲市民或來港旅遊人上中縣的。

了一七九六. 龍/斯宏/用 车十時至

伙入將年三九住居人萬二逾容可

《屏邮第二期可於十一個月後完成 , 天平邨則可於十五個月後落何承天指出,此兩項工程已於上月底復工,工程進展順利,估計一至於校早時因為承建商財政出現問題而停工的天平邨及朗屏邨、並赴發揮。 老婦 金每月被扣除

竊行屋入賊女兩 門大鎖反主戶遭 鼈中甕成必道估

男做散工須月扣二百五十

二百接金過

尚有其它欵式未能盡錄

請往各分銷商參觀選購

新聞做散工有收入, 有問做散工有收入, 有一年内共多領了六 有一年中内共多領了六 有一年中,認為該家 一年一年中,認為該家 一時第之下,認為該家 一時第之下,認為該家

港客在那

擔心是經常再離家出走

八一千七百多宗,比分的數字顯示,本年

再能家出走 一直未曾有效地整理失 一直未曾有效地整理失 一直未曾有效地整理失 一直未曾有效地整理失 一直未曾有效地整理失 一直未曾有效地整理失 一直未曾有效地整理失 一直未曾有效地整理失 一直未曾有效地整理失 一直未曾有效地整理失

女個案激增

特約分銷商

中 環:大華國貨有限公司

灣 仔:中國國貨有限公司

銅鑼灣:中國國貨有限公司

北 角:華豐國貨有限公司

香港仔:珍寶舫工藝品店

尖沙咀:中層國貨有限公司

尖 東:香港機場免稅品店

佐 敦: 裕華國貨有限公司

九腹灣:裕華國貨有限公司

青山道:中建國貨有限公司

荃 灣:中國國貨有限公司

沙田:八佰伴(香港)百貨

电 門:東江國貨有限公司

機 場:文莊精品有限公司

海外獨家總代理: 雅文製作公司 電話:0-257565(4線) 圖文傳頁:04891884

朗:中都國貨有限公司

中聯國貨有限公司

樂 富:華昌有限公司

新郡城國際百貨

裕華國貨有限公司

位開

**營方到場思漢早** 然後逃去。

曹放捉伯警龍烏

। ज्ञानस्याप्तिन्द्रस्याज्ञानस्याप्तिन्द्रस्याज्ञानस्याप्तिन्द्रस्याज्ञानस्याप्ति

的加會紛爭

是一些值得深思的問題。 過去尤德爵士强調的是「共識社會」。在現 時的具體情况下,港府並不擁有促成社會共識的 能力和機制。面對政治上和經濟上漸高到要赤醇上 ,社會不同階層和不同利益基目漸感到要赤醇上 ,社會不同階層和不同利益基目漸感到要赤醇上 ,是否標語者「共識政治」已成過去,代之而超 是對罵的出現和被接納成為遊戲規則的一部分 ,是否標語者「共識政治」已成過去,代之而超 ,是否標語者「共識政治」已成過去,代之而超 ,是否標語者「共識政治」已成過去,代之而超 ,是否標語者「共識政治」已成過去,代之而超 對演自七十年代以來的超然協調的是「共識社會」。在現 對演自七十年代以來的超然協調的是「共識社會」。在現 對人一些值得深思的問題。

十年代末期的社會暴動說明上述傳統的紛爭化解 是 一十年代末期的社會暴動說明上述傳統的紛爭化解 。回顧六十年代及以前 , 當時殖民政府採取由 上而下的統治方式,對政治之吸納主要表現為對 。回顧六十年代及以前 , 當時殖民政府採取由 上前人,有制度内的調節社會矛盾之機制逐漸失效 期示現有制度内的調節社會矛盾之機制逐漸失效 無示現有制度內的調節社會矛盾之機制逐漸失效 無不現有制度內的調節社會矛盾之機制逐漸失效 上述 社會紛爭的社會化和衝突公開化一定程度上

6 屆全運會官方標誌 會壓鱼即衆島

每四年一度的全國運動 會將於11月至12月在廣 東省內四十一個場館隆 重擧行,此盛會將是中 國運動史上規模最龐大 的運動會。 為迎接此盛會擧行,第

特約專利製造一系列細 緻高雅、金輝耀目的紀 念飾物。 由於首次在海外公開發 售·這批專用紀念飾物

六屆全運會服務總公司

祇有少量供應,本港配 售限額尤見稀少,欲冤 向隅,敬請閣下從速選

直会 國之動 隆 開開

熱

ZN

顶

賀

電話 JE? GDEL 限 HK 

聯營

珠江叫

意。

電掛:

關的到 江啤酒 惠顧。 中國廣

地址: 電話: 電傳:

按課程及電算機輔助工程課程為發展基礎,日後將批准於明年開始收生。中大將會先在兩個理科專科在會後向記者指出,中大的工學院已獲大學及理工與會職員共進午餐,言笑甚歡。

高錕透露中

上學院明年開始收

迎接新校長高錕

五百多々

職員

本報攝

「希望之旅

根披有

地區分之

# ,在七歲至十一歲一力等 在懷孕期間吸煙,都會導致早產 在懷孕期間吸煙,都會導致早產 種較不吸煙孕婦的嬰兒輕二百克 重較不吸煙孕婦的嬰兒輕二百克 重較不吸煙孕婦的嬰兒輕二百克

發展家庭福利

能病兒出

中

每

標

企

文大學校太明之一 出席了京 晚

,寄聯 > 香九買。

為遵照香港法例第四十九章生意轉讓(保障債權人) 生意轉讓聲明 

禮

無

到日

式方面 意 • 的

會、沙頭同鄉會、新南海同鄉會、九江商

香港市政局

· 提供康體設施···

育代表。 宗親會及香港皮業商 宗親會及香港皮業商

+六個・收費+元 **三**隆 品種最多 主品●設計彩圖●製作海華 幕籍●日曆抬曆●抬墊月 5年科貿易公司 367號萬利商業大厦906室 418005 5-416618 1産・三菱 入司 九龍彌敦道 636號銀行

告

012中心1501室 

"HONG KONG 物有限公司

58 FTC CN 病底: 550358 話:5-244061(4線) 話:3-7238803

西名錄 86/87 梁各三萬多家進口商名錄: 理,銀行等,分類詳細。 西名錄 1987 地址等資料,55,000種機械 全套21册。

观圆魔法宫在 宗观 國鐵光道

佳寧 案原 賽 上訴庭指有

去聿错误

同危收表

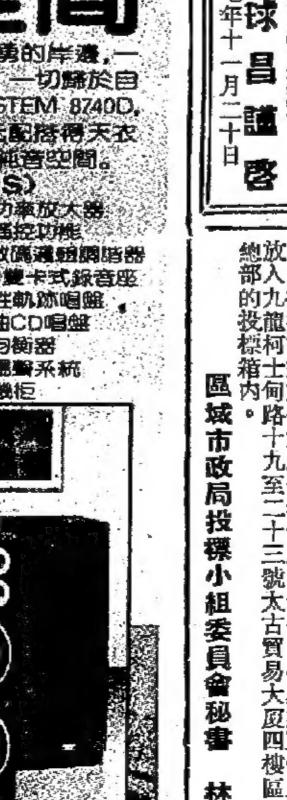
类頁

大學な無意思

発 FISHER 飛燕 SYSTEMB740D



飛燕電器(香港)有限公司 寫字模電話:5-245114 (7線),5-222621 請到各大電器行及飛燕陳列室參觀選購 旺角類敦道765-767號 電話:3-800039,3-800997 內仔軒尼詩道245-251號 電話:5-8912997,5-8921472



575/87(B))
575/87(B))
575/87(B))
10個月,由一九八八年二月一日起計。
10個月,由一九八八年二月十一日(星期五)上午九時前,由一九八年四月一日起生效。
10個月,由一九八七年十二月十一日(星期五)上午九時前,也是一次入九龍村士向路十九至二十三號太古貿易大厦四樓區域市政總署葵涌分處三樓前座物科供應組投標事務小組委員會秘書 林保華總部的投標循內。

司安一行業 一全月經へ 切實十理集

出 讓人及承讓人 代表律師 簡家職律師行 香港夏怒道十八號海富中心第一座三二〇三室 一九八七年十一月二十日

市政局招標委員會秘魯時的租金是三千七百五十元 王洪鈞

招標 体告

促進文娱活動

'87年5月寶麗金荷蘭數碼錄晉專家北京精心錄製

向參與全運會健兒致意

員

動

型市司機稱,他於本年七月七日,由與發 等過點的非常危險,並會招致意外發生。 等過點的非常危險,並會招致意外發生。 一般交通意外部應嚴重,有必要提醒 一般交通意外部應嚴重,有必要提醒 一般交通意外部應嚴重,有必要提醒 一般交通意外部。

亞 視代表 律師結案師兩視奧運播映權訴訟作供完畢

案陳詞

昨迎接新校長高鑓

人。協會昨日舉行歡迎會迎接中協會昨日舉行歡迎會迎接中

# 內屋屍伏翁老島離 理處案殺兇列方警

斷折骨頸嚨喉 去失摺存者死

**PHILIPS** 

司決定進行法律程序 有決定進行法律程序 名,將由經歷司排期 名,將由經歷司排期 高級助理方志明誤殺罪 人民人境事務處 一人民人境事務處 一人民人境事務處 政司 

北京三個最理想錄音場地

廣播大樓演奏廳

示範性數碼錄音

廣播民族樂團、彭修文

北京音樂廳

瑤族舞曲

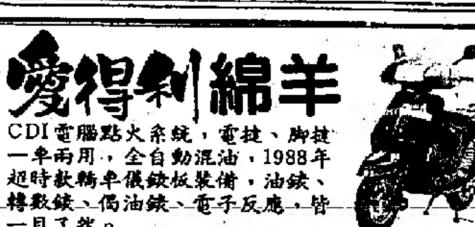
《二泉映月》

《霸王卸甲》

中國劇院

大量現貨各國ABS,

GPPS,HIPS及PVC幼粉 歡迎查詢,本銷或轉口國內均可 請電0-4113805洽商



besam 🛁

自動門、旋轉門

(保用壹年)

奥士車行 利士車行

阿拉伯膠

**人造 牛油** 

硬脂酸

香港銅線清道124號 5-710703

細字三十六個・收費十元 聖誕賀咭●記事簿籍●日曆枱曆●枱墊月 香港吳利印刷貿易公司

豊田・五十鈴・日産・三菱

有

香港皇后大道中367號萬利商業大廈906室

電話:5-418005 5-416618

每天每個位可排大字四個

適行汽車服務公司 香港加路連山道九號

超豪華八座汽油WFR 12 DWLC速原廠風油軚雙冷氣暖氣

**KB 26 LW** 

免費代送文錦波

收放機電子鏈小冰箱茶色滤光玻璃1994cc

長陣汽油九座客貨車連載子續199460

NHR 54 ELW

NKR 12 ELW

NKR 55 ELW

豐田牌、三菱牌、五十鈴牌・由0.75-1.75噸。 ●麵包車:豐田牌、三菱牌、五十鈴牌・由9-12座・

●貨車:五十鈴牌3噸、5噸,三菱牌3一10噸貨車。

MARK IV

#代理: 合衆汽車有限公司

九龍科蘭街402-406號東盛大廈地下

九龍土瓜海木廠街 | 1號

香港告士打道80號

新界元朗合金路36號A-B

十二座麵包車及十五座小巴

九賢士瓜淵木廠街11號

香港告士打道80號

電話: 0-766276 電話: 5-277221

新界元期合登路36號A—B

本公司代理世界各國名廠汽車空調機及配件 歡迎大量洽購。

電話: 3-972323 電話: 3-330151 電話: 0-766276

電話:3-330151

数話:0-766276

電話:5-277221

ISUZU

ISUZU



載重1.5噸柴油HK\$80,900

载重1.75噸汽油HK\$81,900

載重1.75噸柴油HK\$86,900

九龍土瓜灣木廠街11號 新界元朗合金路36號A---B---

WFR 12FVLC

MARK VI

請訂閱

大

~

香港告士打造80號

全新現貨供應 免费代送文錦渡 歡迎賜電垂詢

國內投資一合資、合作廠家必備最佳運輸工具

全新87年日本五十鈴左軚八、

賽筆十二座汽油麵包車連原廠冷氣收放機電子過1994cc. WFR 12 DBLC



精工旋片式壓縮機

美國塞莫金區

大小客車空調第二座四樓B、C及D室 電傳: 51196 GOTLX HX 冷藏車冷凍機 電子 (GRANDOCEAN "HONG KONG

現貨供應

☎3-7236033世界工商刊物有限公司 全美國進口商名錄86/87 公司地址、電報電傳・權理・銀行等・分類詳細。

全美國製造商名錄1987

群列全美115,000家廠商地址等資料·55,000種機械 電子等產品分類排列·全套21册。

請 惠 撥 六 電 廣 話 告

911A,911B風琴鍵! 49鍵,OCTAVE,10種樂器 10種節奏,10種主音 請電:0-264343治

全美進口商名錄 台灣鞋業廠商名錄 英國進口商名錄 日本工商名錄 世界電子名錄 全美出口商名錄 歐洲進口商名錄 中東進出口商名錄 日本電子名錄 日本化工名錄 全美製造商名錄 亞洲進口商名錄 美國工業設備月刊 台灣機械五金名錄 法國首節國譜 美國時套採購商名錄 非洲進口商名錄 台灣電子電器商名錄 萬雅 1 2 0 珠實設計 湖瑞麟首飾圖譜 美國男裝採購商名錄 拉丁美洲進口商名錄 台灣工商黃頁年鑑 萬雅 1 3 0 珠實設計 日本金飾圖譜87版美國電子產品名錄 中東進口商名錄 南韓工商名錄 萬雅珠實設計選案 世界名表圖譜87版 九龍尖沙咀梳士巴利道3號星光行1421室 開 信

出口入口不可少 轉口貿易一定要

一目了然

**樽口開信用證**,海外或中國貿易。事人提 供諮詢服務,並可代客作銀行擔保信貸提 貨。請賜電5-465399鄭小姐或何先生洽

編州新落成之養華酒店,地處市中心酒泉區,與福建外貿進出口公司大權、展覽職達成一體。內設高級客房,裝修養華,有溫泉浴室,舒適優雅。股有實質期,中、西餐廳、舞廳、商場,虧務中心,出租汽車等,適合貿易洽談。旅遊,休憩之理想場所。本店宋旨:領家至上,侵貸服務 地址:中國蘇州五四路 電話:550154 電掛:8612 電傳:92158 FTC CN 傳統:550358

電話:5-244061 ( 4 練 電話:3-7238803

死 國魔 法官在 宗观圆数戏指出

**光於意外** 市民應汲取敎訓

路馬出衝「客怪衣雨」

同危收表意險費示



飛燕電器(香港)有限公司 寫字被電話:5-245114(7線),5-222621 請到各大電器行及飛燕陳列室參觀選聘 陳列兰

日本雪花

電子琴CKD,SKD全套

高級雜花鋼鐵嘴 29支裝由1/16 至1/2" 以底價出售,現貨供應歡迎韓口。 集成發展公司

3 - 7700006

香港郵政信箱6205箱

電鍍型膠 衛房牌部0-6573281 電鍍型膠 水

香港打房處: 華閩旅遊有限公司 立明國際旅行社有限公司 泗具

開

美雜誌選本年產品

等。 學院們五點七級,位於一個孤島上人 學中心的發言人對記者說,地震錄得為 事律實氣象、地球物理及天文學服 中部的蘇馬島星期四早上發生地震,但 中部的蘇馬島星期四早上發生地震,但 中部的蘇馬島星期四早上發生地震,但

織組濟救婦貧印

聞醜待虐性出傳

國大陸、台灣和南朝鮮等國家和地區。他們前來日本希望學習日本經日本一萬九千外國學生中,百分之八十的人生活更願窮困。這些學生京的非日到收入外國人生活日見艱難。 果京已是世界生活費用最昂貴的城市。鑑於日圓幣值仍然不斷上升,常值不斷上升,令外國學生領取的國內津貼無形中大為縮減的受害者《路透社東京十九日電》一個流加拉國學生上是期死於營養不良。他一

菲律賓昨

强度五點七級

劍、國際象棋等六項。各行 民解放軍共三十個單位的-動員参加·運動會上,有 纪録,六百六十四人八百 百零六項全國紀錄。

一項。各省市、自治區共三 二十二名運動員參加。有二

世界紀錄,三百三十人打破

**\*\*\*\*\*\*** 

二十八日在海 成人比賽項目,八個少年的 人六次打破三項世界紀錄 紀録,四十九個隊八十三

十二項全國紀録,四個隊三

打破五十八項全國少年紀針

第四屆 月三十日 成人組三十四項,少年組織 省市·自治區的三十一個) 九名運助員参加。有五人 ,二人三次打破三項世界 三項世界紀録,三十六個 六次打破一百零二項全國的

打破五項全國少年紀錄。 \*\*\*

項目和武術項目的評獎表 解放軍、火車頭體協等三 四十三名運動員参加。有 重世界紀録,四人五次平 人一次被一項世界青年紀 亞洲紀錄,三十九個隊六 六十項全國紀録。朱建華:

紀録。

第六屆 共設四十四個比賽項目: 賽的有球類、體操、田徑 有橋牌·高爾夫球·保齡 市、自治區和解放軍以及 三十七個代表團參加,在

**\*\*\*\*\*\*** 

干多名運動員。

中國第 力能描述 六屆全國運動會 重 鑿

地址:香港

最適合工廠、凍房、

專業技師忠誠服務,

安装保養,快捷妥當。

商業樓宇・酒樓及住宅等・

設計慳電夠凍、款靚耐用。

專家冤費提供意見及設計。

原廠配件及器材,全套齊備。

英國

卡因的批數價估計是六千二百萬美元。 公超過三噸的可卡因。他們說這是美國 經來搜獲最大宗的毒品。 「一個指導官員保羅·A·特里斯說·六 一個指導官員保羅·A·特里斯說·六 一個指導官員保羅·A·特里斯說·六 一個指導官員保羅·A·特里斯說·六 一個指導官員保羅·A·特里斯說·六 挖空木材藏毒品 尺獲三頓可

美國毒販有新招 的商品有。 司的「里程」汽車。——本田汽車公

聲

Oldfield-Box, Colin 120(HK\$1.00)

100(HK\$0.25)

"A'股股份數目

2,000

2,000each

(認股權證)

(認股權證)

HK\$532.50

會德豐有限公司

註冊處謹啓

和記黃埔有限公司

and Mrs. Oldfield-Box,

Danielle Nicole

Chan, Che Sau

Law, Wing Bun

Miss Kwok, Yar Lin

順豪地產投資棚公司

Ng Shiu Chun, Bernard

Yuen, Kwok Kuen

03329009 Law, Wing Bun 871(普通股) 00025073/80 —do—

日期:一九八七年十一月廿日

Miss Chan, Mui Mui

00402434

00288910

00064831/9

操作性能時,和《汽車的漂亮外型及迅速

包括避孕套迷你裙

中日科技 合作之成就

臨床實驗証實, 靈芝含有大量「錯」元素, 比人 參高出四倍至六倍 「鍺」爲最有效之人體免疫

經化學分析,由靈芝提煉出來的「錯」元素,是一種 有機的半導體,表面星白色粉狀,有機錯,在生物體內有 「反氫氣」作用,而本身沒有毒性,經高科技處理水溶後 (水溶難度極高,如不經水溶,則效果甚微)極易爲人體 吸收,進入血液與細胞聯繫,將人體內可怕的重金屬陽遊 子結合起來。以大小便或汗的方式將人體內有害之廢物排 **諸體外**,加强人體內氧氣的供應,發揮抗病的功能促進新

現在中國國內有北京中日友好醫院、廣州中山醫學院 附一院、中山市人民醫院和東莞人民醫院等四大醫院正在 進行「錯泉源」治病之臨床實驗。病例着重於難治諸症。 現巴完成初階段之實驗,報告書上對於「錯泉源」之療效 杨備讚賞。若需詳細資料及四大醫院報告書《請來信》

> 香港尤脂尖沙咀和京道69號最球商業大厦704室 諸泉源(香港)公司 चाहें : 3-694621-2, 3-676719



m. 4 F RAT 3/87" ETA 10/12 ETD 11/12

Famagusta. Derince. 伊斯坦堡、麥辛、

Istanbul, Iskenderum,

5-412634 地址:香港干諾道中122號海港商業大厦4樓 電傳:75660 INSCL HX 傳真 : 5-416449



日圓高企

百上加斤

片麵包吃三天死亡線上掙扎求存

補腎 主治 身體虛弱

香港柴灣利衆街42號長瀬工業大厦2樓 電話:5-560231-4 電傳:85987 EKING HX

電話:5-442888 5-441822電掛:POSINGTRAD

腰痠腿軟 面黃肌瘦 腎氣不足 心跳氣促

大型中央冷氣機

COOLMATIC 雪質牌

新型速效化核 **和图即即** 

坐骨神經痛、風 濕性關節炎、肥 大性、增生性脊 椎炎、頸椎炎、 胸椎炎、腰椎炎

高級速效滋補强壯劑 發力蛇鞭丸 的確夠威 確係夠力 認真夠强

真正夠勁

薬力持久、 無副作用

請認明上藥註册商標

標本兼治風濕特效藥

强力蛇胆風濕丸 WINIE IN 難頂呀!

强力蛇胆風濕九 止痛快・療效高

請快服本品啦!

檢六○六消炎丸 一个一个 秘尿系感染 尿管刺痛



經銷處:

國貨公司、藥房有售

新中醫藥有限公司 白蝕良藥

電話:3-883783

紅斑、汗斑。 本丸由雷允上藥店和

上海瑞金醫院協助合作經 多年觀察研究創製成功。 是國內唯一能治好白蝕的 特效良藥。

各大國貨公司·藥行有售



四川省分公司經營出口

珍賀中藥鞋墊乃中國成都中 醫學院全體皮膚科專家經 多年精心研製而成・並由

川醫學院附屬醫院進行臨床 實驗。本鞋墊專爲治療脚簡 香港脚) · 脚臭及一切足部皮 一不用探擦外用藥;二不用憂以

水說刷:不宜设於水中







經銷處:達康公司



立明國際旅行私有限公司

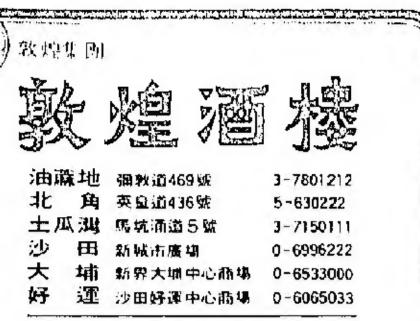
受第六屆全運會服務總公司體育旅遊公司委托 代理第六屆全運會各場比賽門券,特提供多項 連交通、酒店套票服務,廣州住宿東方賓館、 白天鵝賓館、花園酒店等,歡迎垂詢。

\*總代理---北京西苑飯店 水海外總代理——廣州東方賓館 \*特約代理 中國民航機票、 港龍航空機票

-世界各國簽證和中國、台灣入境簽證 -世界各地機栗,東方航空協會會員 ——國內各大酒店·香港直接出住房單

九龍尖沙咀加連威老道98號東海商業中心601室

電話:3-7238803



高哥宫酒餐 九點吳淞街42—52號 3-7804222 敦煌沙<sup>四</sup>畫舫

早午茶市・晩飯消夜・貴賓廳房



五期星





百零六項全國紀錄。

二人三次打破三項世界 打破五项全國少年紀錄

四十三名運動員参加·有 **重世界紀録,四人五次平** 人一次被一項世界青年紀 六十項全國紀録。朱建華

裕華國産百貨有限公司 YUE HWA CHINESE PRODUCTS EMPORIUM LTD.

焦革冠單女和(上)清王軍冠打單子男珠兵



佐敦道總公司 哲麗大道商場 尖沙咀分公司 九龍灣德福商場

裕華國貨·服務大家!



CRAFTS (H.K.) LTD.

THE THE PROPERTY OF STATES OF THE STATES OF

有限公司 香港中国旅行社 有限公司



實力維厚現代化 中銀集團篇大家 圃

專家冤費提供意見及設計。





增強體質機 調理體

透應:機能衰退 體虚力弱 氣血兩虧 夜多 國資公司、藥房有 總經銷:健民醫藥有限公

段階三分

廣東

雪小三初

香港政府忠告市民:吸煙危害健康 焦油含量低至中

田徑成

· 各代表图的運動員都是會明天開幕,為迎接

心為關幕式的學行地 人為關幕式的學行地

受歡迎

比賽資料供應足

黑市炒票難制止

示表練及全來曾樂

多的努力 理由高興 

**雕服粉员在做準備工作** 來自各地的體育代表團。這是餐 新建的廣東大廈將負責接待

胡鴻飛王魁鄭鳳榮黃健劉德修等獲獎 田 聯將授予獎章

徑工 作者

身份希望各隊比賽時好成績。他以球迷的全運會的各隊打出最 國優秀

金中居业中界

我 理位。 今年 永落 

成、北京許公銀保持者王

隊運難育

一新華社廣州沿 息



是賽我一次

優如的榮在。 秀果,破破這

中心處,讓「採訪大 代用,就把大部分缺少 於開始,在新聞中心工 能滑到行人。

【本報廣州十九日專電】

• 色艇臨日 • 能着中 總拿山

路檢查

子飛碟雙向世界冠軍 英·馮梅梅·邵偉莎 英·馮梅梅·邵偉莎 文·馮梅梅·邵偉莎 

四川女排青黃 

跳」備準正上場廣。錦似花繁場廣珠海

发喜人逗為尤羊山小的「水

西濑八名默于参震

射擊三項

力擲標槍

的名次,但仍將渴盡全力奮勇拚搏。為六屆全運食兄弟省市相比差與很大,在本屆全運會上難以取華社記者發表談話捐出,盡管西藏的體育運動水長、自治區人民政府副主席言普。平措次登,今天民本報訊,據新華社消息,西藏自治區體育代表

的各項體育運動水平不高,一些理的原因,除登山和一些民族体争取好成績,但他們主要是來學中取好成績,他們既來參加,自大賽中取得過名次。

五期星

<u>س</u>

嘉良

敗陣

型少有二點五個是打 一型少有二點五個是打 一型少有二點五個是打 一型少有二點五個是打 一型少有二點五個是打 一型少有二點五個是打 一型少有二點五個是打 一型少有二點五個是打

鄭海霞談解放軍女籃

張三第

排稿 当的 

憋嚴受均架打或判裁服不員球

團

意意

影響の影響が

東北虎

」目標保五爭四

為遜色。總之,遼寧代表隅面臨的形勢十分皮划艇能拿一些分,但較之上海、湖北又略直面臨着山東、遼東築省份的挑戰。發艇、徑項目中,遼寧雖居全國上游,但近年來一

場的跑道

(新華社照片)
不兵正用探雷器檢

江西代表團

會三一個項目的決賽○名運動員参加全運※淑芬為頤長的湖本梁淑芬為頤長的湖本

骨海代表團

废西代表國 育

士 名 將 名

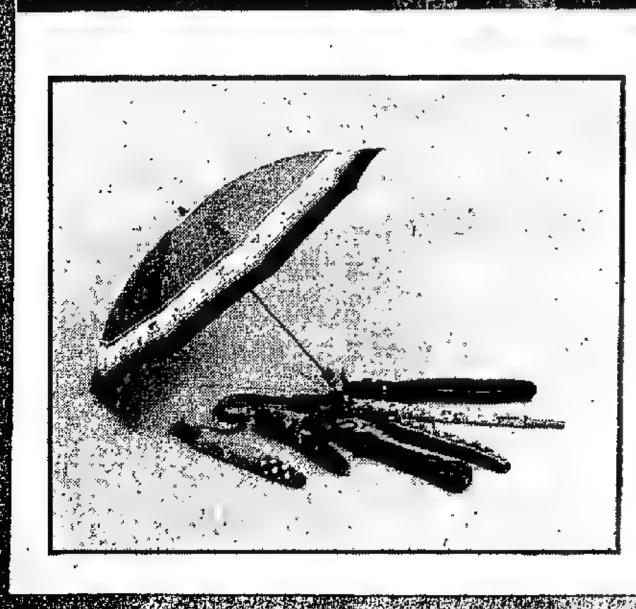
首

事鮮新的有沒屆歷

管歌和運動員之歌都採用了抒情的形式。《中華之光》深情表達了運動員形式。《中華之光》深情表達了運動員際利的自豪感,令人在發而且容易上口勝利的自豪感,發達了中華民族的拚搏精神樂的節奏》表達了中華民族的拚搏精神樂的節奏》表達了中華民族的拚搏精神樂的節奏》表達了中華民族的拚搏精神學,就具然意。《吉祥之歌》亦較好地反映了羊作為全運會吉祥物的特點。 中域廣州起一個「宣傳全運,像唱會歌中的特別。

吉林代表團

質優新款 輕便好用





Ready Stock for Reexports

TRS

中國大成行有限公司 CHINA TAI SHING HONG CO., LTD. 九龍長沙灣長裕街五號中國宏興大厦十樓 電話:3-7433816-4線 9/F., CHINA FEN HIN BLDG, 5, CHEUNG YUE STREET CHEUNG SHA WAN, KOWLOON, HONG KONG. TEL: 3-7433816(4 LINES) TELEX: 40595 CTAIL HX

C-0

湖南代表團

新疆代表廊

河南代表團 剧運,與



政及在第十屆亞運 以及在第十屆亞運 的射箭運動員汝光

**寧夏代表團** 

甘肅代表團

清黃

一項日五分

小,田 增新秀侯菊八物一丁杰已連續3秀,武增「傳奇3秀,武增「傳奇40秀,武增「傳奇40秀,武增「傳奇40秀,武增「傳奇40秀」

訪 缺心 大少工 製開安記 沓 潘達文 苦

《包括食宿、交通、睡眠)等不利因、裁判、觀衆、比賽安排、比賽變化、四方面。「干擾」來自兩個方面,簡感覺等五個方面。應該說,最主要厭的意志,適宜與奮性,抗干擾的能理訓練的内容包括-樹立必勝倍念,

事時(如觀衆、裁判、對手犯規等),自己應該表現出有堅强毅力,用意志去調節感情, 一年强化訓練,半年模擬訓練,這是審備,一年强化訓練,半年模擬訓練,這是審價的基礎,關鍵看賽前的心理訓練了。等者標的基礎,關鍵看賽前的心理訓練了。等者標的基礎,關鍵看賽前的心理訓練了。等者,不可以對手犯規等),自己,數學上陣,爭與強力,用意志去調節感情,數學上陣,爭與強制得勝,

的比賽項目資料由印刷商交到新聞中心處,讓「採訪」作人員的多番催促下,終於在十九日,就把大部分缺不活。只是稍有不足的,就是洗地後沒有隨即抹乾,一色階磚,被洗刷得一乾二淨,塵埃 本報記者一天河體育館商場環廊的棗紅 本報記者

能「醫肚」。 一一本報賽州十九日專電一記「丁,因為他們往往要餓者肚子乘車回市區或酒店才服務,這回可苦了這幾日來已到天河中心撲新聞的「老服務,這回可苦了這幾日來已到天河中心撲新聞的「老但一些設施如餐廳及冲印中心等要到二十日才正式投入但一些設施如餐廳及冲印中心等要到二十日才正式投入

黑市炒票難制止 北賽資料供應足

争取勝利。
中在以後比賽中激發出更大力量去情况下,應不服輸,總結經驗教訓道一下一切都完了。在比賽落後的

,貨物箱,送到售實點,忙得滿頭人員們把一車車叠得高高的汽水箱、街,以應付龐大的需要。只見運輸七八八後,連日來各商店都趕快入一。品。自總綵排那天,貨物被購七

版二十第

韯

體委體操憲忠長馮冀柏在今日的各隊「頭領」會議上各隊的領隊會議,交流賽前的準備工作,頗有點「山本報配者陳來復深圳十九日專電」全運體操比賽明天上

, 概括本居在深圳舉行的體操決發將具有如商欲來風滿樓」之氣氛。體操競委會副主任

這次競賽無論是比賽場地、器材、運動員水準或風格,

賽會採用最

設精神

國民製煉漆油有限公司 香港九龍觀塘與業街

FK高級包装用品 ●雙面膠紙 ●透明膠紙 ● ●封箱膠布●噴漆膠紙● O.P.P.封箱膠紙 ▼ PVC保護鋁窗膠紙 質優 價廉 可靠 品質經常保証一流水準 锡銷省港澳,歡迎轉口 港澳各大包装文具書店有售 中國、香港及澳門轉代理: 中立包装或具有限公司 電話: 0-251251 (10線)

模擬氣功治療儀 各種扭傷損傷、腸胃炎等疾 病, 每逢星期天於: 沙带自然疾病中心。 香港北角英皇道406-408號 康威人度商場二樓19號 证话:5-782875\* 九龍尖沙咀麼地道66號





尖沙咀中心地可让G19

免費為您治療

证证: 3-689872





高妹 

3

AND BANKE BA 此角斯光面桿 旺角新光酒樓 化就旺角地国站胡扯生大廈 香港北角英重進296號 香 91-916733(6篇) #5-788111-6(6# 何文田新光酒樓

母等十二項世界 一項全運會而载 一項全運會而载 一項全運會而载 一項全運會而载 一項全運會而载 一項全運會而载

香港仔新光酒楼

香港好成都選書灣仔中心

☆\$-550388(8**練**)

₽5-736786 (BM)

"鲁浦灣仔港海道26號臺灣大厦主、內樓

香港灣仔港灣道26號華潤大厦4401室

琴浦斯光酒樓 黄清青山道416號 新 570-288181(7歳) 蔡與斯光酒樓

進學全北四運在運 學 一促地行運京居會省會行 步進方的會學全 學

第均至的一届州五在第全次全市

章0-273288 (7歳) 荃湾新光酒模 至海南豐中心 ( 地體健站 ) 沙田新光循楼

多倫多斯光酒樓 Spadina Ave., Toronto Canada 22:416 - 591 - 9351 受或関新光面模

新光磁鲜缩家

新光食品有限公司 20-4930402 香港皇后大通西398號 四5-465456 (3號) 新光智易公司 新克斯問有限公司

新先程油有限公司 普湾海径港湾道26號業瀬大廈4401章 毎5~733383(3値) 香港港作港灣通26號華灣大厦4401宣 母5-733383(3額) 荣光核进有限公司 香港灣仔港港道的雙華華大厦402章

上環新光酒楼 香港 上環地積結 **驿诊新光酒程** 香港乘寫地區站 開

沙田市中心沙田正面沙田廣場 (7種) 人民國國際民學心 #3-797918¢

恢復盈利能力,故日回答有關出售問 析,稍後還有其他分不信託銀行昨日宣佈

來繼

北京奉行。項目有:

足球和田徑二項。各

化位一萬五千一百八十

L次打破五項世界紀錄

背年紀録·三人三次平

《二百零四人三百七十

3.绿,二個除六人十次

**\$\$\$\$\$\$\$\$** 

寅。各省市、自治區和

h一個代表國八千九百

二人三次打破田徑、舉

三項射擊世界紀録,一

录,七人十二次破九項

H六人一百四十五次破

二次打破男子跳高世界

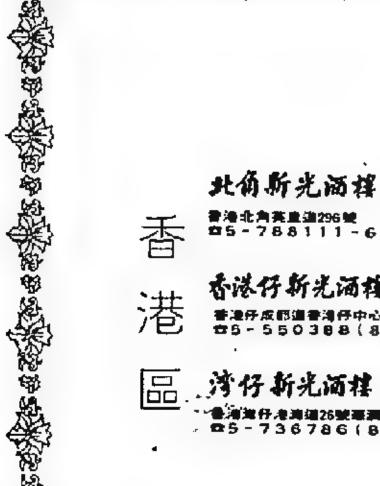
成八元二角半

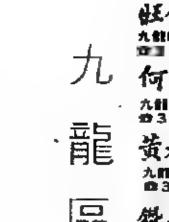
七年十一月二十日至十 **黄東舉行。本屆全連會** 其中在廣東省內進行決 ・棋類等三十二個・遺 求三項表演項目·各省 上個全國性體育協會共 贯東省參加決賽的有七

而言,為了增强對道個市場的安 一点,這無疑將會打擊投資者的人 以想像的是,將來期指市場的小 與想像的是,將來期指市場的小 以想像的是,將來期指市場的小 與想像的是,將來期指市場的小 可 於 所必需要做的,便是將每張合約 所必需要做的,便是將每張合約 所必需要做的,便是將每張合約

男及流出数手。 手袋對日 袋的高本 也越來越受歡迎。 也越來越受歡迎。 也越來越受歡迎。 本香, 。

缺 





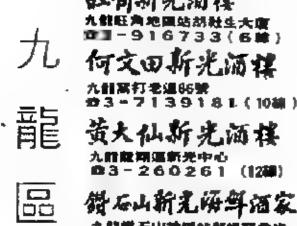
题影

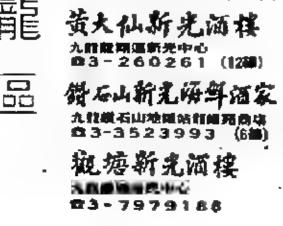
外因有

冠之屆歷爲目項賽比

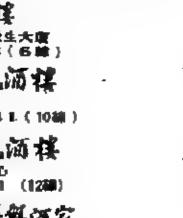
奪爭人多最牌金球足

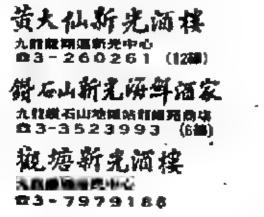
九醋酸钾温新光中心 极塘新光酒樓

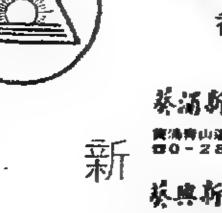


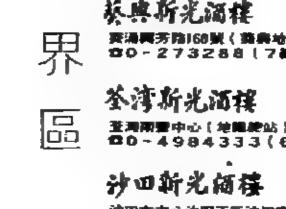


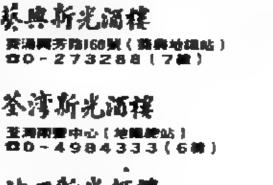














**175-8332889(6월)** 

幕

签景新光海鲜面家

**筲箕湾新光城鲜酒家** 医神经天光电缆地

数字爲今年頭八個月的總值,並號內是去年頭八個月的數值

ELDERS購澳洲地皮

一政策有信心而感到 、港府經無意圖改變 、港府經無意圖改變 、港府經無意圖改變 、港府經無意圖改變 、港府經無意圖改變 、港府經無意圖改變 、基本報訊一美元 、基本報訊」副金 、基本報訊」副金

觀望氣氛甚濃厚

挫後揚先市股

五七點六〇,跌二七點五五以全日低假收市,恒指報二,但治鍵隨即將指致拖低,但治鍵隨即將指致拖低,在,恒指一度重越二千三百四,但治一度重越二千三百四,但常一度重越二千三百四,一個指一度重越二千三百四,

點七廿跌指恒

住宅出售

沙伯大

振通置業有限公司

5-243087

各種商業文件

資料・貨樣・

代客清願

香港 🐃 中國各省市

**2** 5-783441

是一步的消息公佈了。 一步的消息公佈了。 一步的消息公佈了。 一步的消息公佈了。 一步的消息公佈了。

之二十四股權及四千五百萬股可換股證券。 與建多幢大厦,包括 Elders 的新總部大厦,發展計劃現仍待有關方面批准。 該廠址位於該市的心臟地段,該地皮將

作及等件件直至另行公佈 「本報師」明輝發展昨晨向靜交所申請 所目前明輝正考慮若干新方案以取代目前 迎否決的配售集資計劃。他預料有關方案將 主要決別是不公司股份預料會在下周一復牌 ,而目前明輝正考慮若干新方案以取代目前 迎否決的配售集資計劃。他預料有關方案將 在中央公司股份預料會在下周一復牌 ,而目前明輝正考慮若干新方案以取代目前 遊否決的配售集資計劃。他預料有關方案將

<u>M</u>

2. 高碼頭

湊 元

10. <del>6</del>25%

11.000%

10.000%

SHAN"

紐元

15.50%

16.00%

16.00%

4.50%

十一樓

定期 存款 競玩作

一個月

二個月

三個月

儲蓄存款

期限

司啓

貨手續

港幣

3.8125%

4.5625%

4.8750%

1.7500%

巽

美元

6.75%

7-25%

7.25%

5.00%

用途。 以此的澳洲公司 Hudson Conway,将會收购的澳洲公司 Hudson Conway,將會收购的澳洲公司 Hudson Conway,將會

認為

本港滙制

與港美貿易盈餘問

回應美財長助理有關貨幣升值談

場風險增加

剛稱聯繫滙率

,而交通銀行負責安排上述協議。

「通項協議是本地市場第一次採用的方式期可以選擇一至六個月,年期為三年。

「規模協議内容。容許地鐵公司以港元和一

【人士進行 益、人士進行 已決定 《的計劃,繼 《初究後,其

不適當的,但他有信 中四天停市的決定是 宗德亦認為聯交所作 紀行的觀點—樣,陳 正如其他外資經

地鐵獲一億美元融資

交通銀行負責作安排

達成一億

• 升進等

華資財團

、閣置地事

手袋第日

景佳

價市

山東省海藻酸鈉蠶級

食品級——能降低血壓及有下列效能,成稠性,成黏性, ,成膜性,成凝性。成膠性,適用於植具凝計,質糕,糕點 ,肉類質如,個如澄清,啤酒泡沫量定剂等多方面用途,零

**總經銷**:華信行有限公司

HUDSON PETRO-CHEMICALS LTD.

地址·九龍深水埗福華街一號地下 NO. 1, Fuk Wah St., G/F.

Sham Shui Po, Kowloon, Hong Kong. Tel. 電話: 3-7767084 3-7766921

Cable Address: "HUDSONPCL" HONG KONG

時間置上述計劃。 新股。黄奇岳説,由 新股。黄奇岳説,由 於股市下跌,目前並 於股市下跌,目前並

長實周年茂稱

对果能夠迎合日本市 切果能夠迎合日本市 的旅行用品及手袋, 的旅行用品及手袋在 的旅行用品及手袋在 的旅行用品及手袋在

售,批發及轉口一律歡迎。 請與經銷商接洽。

ORY"

7668

5,000 1,000

加元 英鎊

8.500%

8.625%

8.625%

8.250%

7.750%

8.000%

 $8.\,125\%$ 

7.000%

香港分行:中環畢打街20號地下

(利率如有更改,恕不另行通知)

外幣熱線電話:5-8680233

6.625%

6.750%

6.750%

5.750%

電話:5-8419611

經紀行的計劃若能成功,將具有相當重要的意義。 迄今為止,仍未有一間美資運紀行在港擁有聯合交易所會員牌順,故此該批照,目前只待美國總部的正式批准及營定購入價而已。 【本報訊】雖然本港股市最近暴跌,但數間美資大型經紀行仍然没有改變其

包括所羅門

前只待美總部批准及

釐訂購

邊歸盡源貨地華

研究在遗禽地黏海增設一至兩間分行的可但有盈利分行,如英國分行,則會加以保進外,一些虧損及無可為分行,如美國及

,方面有直接的關係 一方面有直接的關係 一方面有直接的關係 期指市場所面對的 期指市場所面對的

各區高級屋邨

管理員\$2,660

年60以下體健

午膳、雙薪、年假

及醫療保險

水電員\$3,200

88年1月再加薪

請電:5-591589江洽

薪優有宿舍 /

善業務恢復盈利能力

以恢復盈利能力,故此短期内相信昨日回答有關出售問題時表示,目

海託

**凭**富培基

六項,表演項目有擊 人四次打破四項世界

十四次打破和新創-

十個單位的五千九百 一百三十項全國紀錄 一津的李屹、湖北的赞紅、河北的樊建欣、遼寧的徐競等,而解放軍的王濤、山東的范贺忠、廣西的謝超杰、天上來的山東、浙江、遼寧縣取代,福建女隊也大步跨入上來的山東、浙江、遼寧縣取代,福建女隊也大步跨入一大河三名,上屆前三名上海、解放軍、河北女隊被新冒川、上海、福建男隊從前六名中映落下來,廣西男隊則羅

、特點鮮明、無明顯漏洞這一世界潮流的新尖子運動員男選手在技術上没有新的突破,没有出現適應技術全面許紹發還遺憾地指出,從這次比賽可以看出,我國住不放縣。這種好作風需要在今後繼續保持、發揚。

·京奉行·有二十八個 **麥項目•有一個隊四** 

\*\*\*

買東舉行·本屆全連會

九、七、六、五、四、三、二、一、一、少。具體為、前者獎勵名次少、得分非與運會項目獎勵名次多、得分多,與實別目獎勵名次多、得分多,排定名次,這在歷屆全運會中屬排定名次,這在歷屆全運會中屬

北角新光酒 香港北角茶産第296 番5 - 788111 香

也越來越受歉迎。 思升值也增加了香港 思升值也增加了香港 思升值也增加了香港

需求日增,男裝手袋 情旅行用品及手袋的 市場最新潮流,對高 報告指出,日本

のなべたのの表での世代からは他の

香港仔新光海 香港仔成都繼春港仔 四5~550388 湾仔新光酒: ●海難伊港海道26號 | 幸ち - 736786

SALE SALE POR SALE POR

案方字赤減削 價款存幣外

DX.

向九龍廣東道海洋中 索取。座談台的訂眾表格可 索取。會將以廣東話進行。 心地下貿易署詢問處會將以廣東話進行。

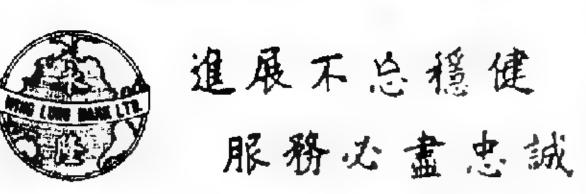
計處昨日發表今年第一 業有紙及紙製產品, 指數上升廿七點 「本報訊」據統一產上升最為願窘的行 「本報訊」據統一產上升最為願窘的行

次十一。混但原因主 要是,日本、蘇聯、 要是,日本、蘇聯、 東歐和東南亞等商人 東歐和東南亞等商人 東歐和東南亞等商人 東歐和東南亞等商人 東歐和東南亞等商人 東歐和東南亞等商人 東歐和東南亞等商人

機會。 周查研究。 辦事處,

上海・雅典

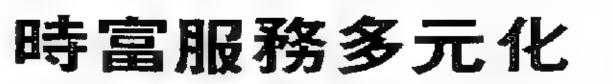
永隆銀行



5-8268333

# 靈活投資有良策 恒生指數好辦法

新鴻基期負有限公司忠誠為客戶提供 恒生指數期貨合約買賣,服務快捷妥當。



# 穩健卓越創新峯

(J) 時富(集團)有限公司 主要業務:證券、期貨、金業、

貿易、地產、財務。 香港中環德輔道中十九號環球大厦21樓 電話: 5-236131 電報: CHEERRICK 電訊: 61695 CFFCL HX 阅文傳真: 5-8680146 取廣州辦市處:中国廣州市流花路中國大酒店100就房 電話:14888 CHIG/CN

|                                                                                                                                    |                                                       |                                                              | 5-8268                                                                          | 333                                                                                                                                                                                                                                                                                                                                                                                                                                                                                                                                                                                                                                                                                                                                                                                                                                                                                                                                                                                                                                                                                                                                                                                                                                                                                                                                                                                                                                                                                                                                                                                                                                                                                                                                                                                                                                                                                                                                                                                                                                                                                                                            |                                                               | _]                                                                                |                                                                                                                | 5-2                                                 |                                         | <b>580</b>                                                                                                                                                                                                                                                                                                                                                                                                                                                                                                                                                                                                                                                                                                                                                                                                                                                                                                                                                                                                                                                                                                                                                                                                                                                                                                                                                                                                                                                                                                                                                                                                                                                                                                                                                                                                                                                                                                                                                                                                                                                                                                                                                                                                                                                                                                                                                                                                                                                                                                                                                                                                                                                                                                                                                                                                                                                                                                           |                                                                                                                | 8225                                                                                                                    |                                                                             | 3                                                                                |                                                                             | 1 42                                                                 |                                                                                 |                                                                                                                                           | )                                                             |                                               |
|------------------------------------------------------------------------------------------------------------------------------------|-------------------------------------------------------|--------------------------------------------------------------|---------------------------------------------------------------------------------|--------------------------------------------------------------------------------------------------------------------------------------------------------------------------------------------------------------------------------------------------------------------------------------------------------------------------------------------------------------------------------------------------------------------------------------------------------------------------------------------------------------------------------------------------------------------------------------------------------------------------------------------------------------------------------------------------------------------------------------------------------------------------------------------------------------------------------------------------------------------------------------------------------------------------------------------------------------------------------------------------------------------------------------------------------------------------------------------------------------------------------------------------------------------------------------------------------------------------------------------------------------------------------------------------------------------------------------------------------------------------------------------------------------------------------------------------------------------------------------------------------------------------------------------------------------------------------------------------------------------------------------------------------------------------------------------------------------------------------------------------------------------------------------------------------------------------------------------------------------------------------------------------------------------------------------------------------------------------------------------------------------------------------------------------------------------------------------------------------------------------------|---------------------------------------------------------------|-----------------------------------------------------------------------------------|----------------------------------------------------------------------------------------------------------------|-----------------------------------------------------|-----------------------------------------|----------------------------------------------------------------------------------------------------------------------------------------------------------------------------------------------------------------------------------------------------------------------------------------------------------------------------------------------------------------------------------------------------------------------------------------------------------------------------------------------------------------------------------------------------------------------------------------------------------------------------------------------------------------------------------------------------------------------------------------------------------------------------------------------------------------------------------------------------------------------------------------------------------------------------------------------------------------------------------------------------------------------------------------------------------------------------------------------------------------------------------------------------------------------------------------------------------------------------------------------------------------------------------------------------------------------------------------------------------------------------------------------------------------------------------------------------------------------------------------------------------------------------------------------------------------------------------------------------------------------------------------------------------------------------------------------------------------------------------------------------------------------------------------------------------------------------------------------------------------------------------------------------------------------------------------------------------------------------------------------------------------------------------------------------------------------------------------------------------------------------------------------------------------------------------------------------------------------------------------------------------------------------------------------------------------------------------------------------------------------------------------------------------------------------------------------------------------------------------------------------------------------------------------------------------------------------------------------------------------------------------------------------------------------------------------------------------------------------------------------------------------------------------------------------------------------------------------------------------------------------------------------------------------------|----------------------------------------------------------------------------------------------------------------|-------------------------------------------------------------------------------------------------------------------------|-----------------------------------------------------------------------------|----------------------------------------------------------------------------------|-----------------------------------------------------------------------------|----------------------------------------------------------------------|---------------------------------------------------------------------------------|-------------------------------------------------------------------------------------------------------------------------------------------|---------------------------------------------------------------|-----------------------------------------------|
| 本                                                                                                                                  | 巷                                                     | 股                                                            | 票                                                                               | イ                                                                                                                                                                                                                                                                                                                                                                                                                                                                                                                                                                                                                                                                                                                                                                                                                                                                                                                                                                                                                                                                                                                                                                                                                                                                                                                                                                                                                                                                                                                                                                                                                                                                                                                                                                                                                                                                                                                                                                                                                                                                                                                              | 1                                                             | 情                                                                                 | 一月                                                                                                             | 十九                                                  | 日期                                      | 星四)                                                                                                                                                                                                                                                                                                                                                                                                                                                                                                                                                                                                                                                                                                                                                                                                                                                                                                                                                                                                                                                                                                                                                                                                                                                                                                                                                                                                                                                                                                                                                                                                                                                                                                                                                                                                                                                                                                                                                                                                                                                                                                                                                                                                                                                                                                                                                                                                                                                                                                                                                                                                                                                                                                                                                                                                                                                                                                                  |                                                                                                                | .                                                                                                                       |                                                                             | PR                                                                               | 23 리 제                                                                      | : 升股票<br>(市情 ) ÷                                                     | 1 22 1                                                                          | 大下跌股票                                                                                                                                     | 恆生排                                                           | 數移動線                                          |
| 香港指                                                                                                                                | 數 2,2<br>數 1,4<br>頁: 1,0<br>數: 6                      | 257, 60<br>179, 08<br>147, 83<br>192, 00                     | 0 - 27, $3 - 14$ .                                                              | 55<br>87                                                                                                                                                                                                                                                                                                                                                                                                                                                                                                                                                                                                                                                                                                                                                                                                                                                                                                                                                                                                                                                                                                                                                                                                                                                                                                                                                                                                                                                                                                                                                                                                                                                                                                                                                                                                                                                                                                                                                                                                                                                                                                                       | 或交股(<br>上升股(                                                  | 分 295<br>分 132<br>分 118                                                           | 全部用產含量                                                                                                         | 1242.71<br>1471.43<br>1818.68<br>1461.46<br>1399.01 | -14<br>-14<br>-16<br>-16<br>+18         | 4.99 (AL<br>3.28 (A<br>5.10 (E<br>5.90 (B.8)                                                                                                                                                                                                                                                                                                                                                                                                                                                                                                                                                                                                                                                                                                                                                                                                                                                                                                                                                                                                                                                                                                                                                                                                                                                                                                                                                                                                                                                                                                                                                                                                                                                                                                                                                                                                                                                                                                                                                                                                                                                                                                                                                                                                                                                                                                                                                                                                                                                                                                                                                                                                                                                                                                                                                                                                                                                                         | 為 45.1<br>① 39.5<br>營 37.5<br>務 34.4<br>第 25.3<br>級 22.5<br>(資金 21.4<br>卷 21.5                                 | 16,795<br>59,774 全点<br>59,774 全点<br>58,747 於6<br>30,250 百<br>79,900 信<br>48,360 全点<br>86,534 百<br>70,294 点<br>66,230 医成 | 34,85<br>27,9<br>15 25,15<br>15 24,61<br>27,85<br>17 23,8<br>21,75<br>21,75 | 30,025   1<br>12,000   1<br>40,000   3<br>60,000   3<br>17,000   0<br>50,000   1 | #149 0.<br># 今部 0.<br># 方形 0.<br># 氏ア 0.<br># 氏ア 1.<br>  125 0.<br>  145 0. | .55 +0.76                                                            | C 紀 徳<br>C 24 90798<br>3 年 87<br>4 2 日<br>5 建 4<br>10 富 年                       | 1.06 2.00<br>1.68 -0.32<br>0.52 -0.08<br>2.00 0.25<br>0.25 0.03<br>0.57 -0.06<br>5.100 -0.80<br>2.15 -0.20<br>3.275 -0.30<br>0.295 -0.075 | 2274.1<br>(10大<br>2186.4<br>(50天<br>3162.7<br>(25.手<br>2929.5 | 4 +21,35<br>)<br> 0 +29,67<br> }<br> 5 -27,93 |
| 代姓 公 司                                                                                                                             | 質價                                                    | 賣價 看                                                         | 後高 最低                                                                           | 收市                                                                                                                                                                                                                                                                                                                                                                                                                                                                                                                                                                                                                                                                                                                                                                                                                                                                                                                                                                                                                                                                                                                                                                                                                                                                                                                                                                                                                                                                                                                                                                                                                                                                                                                                                                                                                                                                                                                                                                                                                                                                                                                             | 要動                                                            | 成交股                                                                               | 技 市盈率                                                                                                          | 周息                                                  | 8                                       | 電腦<br>代號                                                                                                                                                                                                                                                                                                                                                                                                                                                                                                                                                                                                                                                                                                                                                                                                                                                                                                                                                                                                                                                                                                                                                                                                                                                                                                                                                                                                                                                                                                                                                                                                                                                                                                                                                                                                                                                                                                                                                                                                                                                                                                                                                                                                                                                                                                                                                                                                                                                                                                                                                                                                                                                                                                                                                                                                                                                                                                             | द्र ग                                                                                                          | 買賃                                                                                                                      | 賣價                                                                          | 最高                                                                               | 最低                                                                          | 枚市                                                                   | 要動                                                                              | 成交股基                                                                                                                                      | (市温率                                                          | 周息                                            |
| 023 東亞銀行<br>440 大 新<br>01! 恒生銀行<br>005 通豐銀行<br>183 嘉華銀行<br>349 友聯銀行<br>096 永隆銀行                                                    | 18.60<br>5.05<br>28.60<br>7.10<br>2.025<br>1.72       | 28.90 29<br>7.15 7                                           |                                                                                 | 7.10<br>2.10<br>1.75                                                                                                                                                                                                                                                                                                                                                                                                                                                                                                                                                                                                                                                                                                                                                                                                                                                                                                                                                                                                                                                                                                                                                                                                                                                                                                                                                                                                                                                                                                                                                                                                                                                                                                                                                                                                                                                                                                                                                                                                                                                                                                           | +0.05<br>+0.20<br>-0.10<br>-0.02                              | 14,400<br>486,106<br>5,245,679<br>12,873<br>314,000                               | 15.13<br>10.10<br>235.96                                                                                       | 5.33<br>5.77                                        |                                         | O56· 略 3<br>O21 호<br>268 휴년<br>198 建생<br>355 변화                                                                                                                                                                                                                                                                                                                                                                                                                                                                                                                                                                                                                                                                                                                                                                                                                                                                                                                                                                                                                                                                                                                                                                                                                                                                                                                                                                                                                                                                                                                                                                                                                                                                                                                                                                                                                                                                                                                                                                                                                                                                                                                                                                                                                                                                                                                                                                                                                                                                                                                                                                                                                                                                                                                                                                                                                                                                      | . 图外<br>. 计原实<br>. 知                                                                                           | 0.84<br>3.30<br>1.25<br>1.37<br>0.65                                                                                    | 3.40<br>- 19<br>1.26<br>0.55<br>1.38                                        | 0.65<br>3.55<br>4/4 (1/4)<br>1.35<br>0.60<br>1.50<br>0.67                        | 1, 25<br>0, 48                                                              | 0.85<br>3.325<br>1.25<br>0.55<br>1.38<br>0.67                        | -0.03<br>+0.10<br>+0.12                                                         | 710,000<br>2,436,000<br>6,468,000<br>210,000<br>3,340,000                                                                                 | 40.09<br>9.44<br>13.66                                        | 0.90                                          |
| 021 聯合企業<br>103 亞洲保險<br>106 CRUSADER<br>053 道亨集團<br>129 財務地康<br>342 FA 保險                                                          | 7.75                                                  | 1.39 1<br>1.29 1                                             | 7.90 7.80<br>1.48 1.31<br>1.33 1.26<br>0.88 0.61                                | 1.36                                                                                                                                                                                                                                                                                                                                                                                                                                                                                                                                                                                                                                                                                                                                                                                                                                                                                                                                                                                                                                                                                                                                                                                                                                                                                                                                                                                                                                                                                                                                                                                                                                                                                                                                                                                                                                                                                                                                                                                                                                                                                                                           | -0.10<br>+0.090<br>+0.02<br>+0.05                             | 6,198,000                                                                         | 8.57<br>23.15                                                                                                  | 3,13                                                |                                         | 001 長至 1.2 (2.4 (3.0 ) 4.3 (4.4 ) 4.3 (4.4 ) 4.4 (4.4 ) 4.4 (4.4 ) 4.4 (4.4 ) 4.4 (4.4 ) 4.4 (4.4 ) 4.4 (4.4 ) 4.4 (4.4 ) 4.4 (4.4 ) 4.4 (4.4 ) 4.4 (4.4 ) 4.4 (4.4 ) 4.4 (4.4 ) 4.4 (4.4 ) 4.4 (4.4 ) 4.4 (4.4 ) 4.4 (4.4 ) 4.4 (4.4 ) 4.4 (4.4 ) 4.4 (4.4 ) 4.4 (4.4 ) 4.4 (4.4 ) 4.4 (4.4 ) 4.4 (4.4 ) 4.4 (4.4 ) 4.4 (4.4 ) 4.4 (4.4 ) 4.4 (4.4 ) 4.4 (4.4 ) 4.4 (4.4 ) 4.4 (4.4 ) 4.4 (4.4 ) 4.4 (4.4 ) 4.4 (4.4 ) 4.4 (4.4 ) 4.4 (4.4 ) 4.4 (4.4 ) 4.4 (4.4 ) 4.4 (4.4 ) 4.4 (4.4 ) 4.4 (4.4 ) 4.4 (4.4 ) 4.4 (4.4 ) 4.4 (4.4 ) 4.4 (4.4 ) 4.4 (4.4 ) 4.4 (4.4 ) 4.4 (4.4 ) 4.4 (4.4 ) 4.4 (4.4 ) 4.4 (4.4 ) 4.4 (4.4 ) 4.4 (4.4 ) 4.4 (4.4 ) 4.4 (4.4 ) 4.4 (4.4 ) 4.4 (4.4 ) 4.4 (4.4 ) 4.4 (4.4 ) 4.4 (4.4 ) 4.4 (4.4 ) 4.4 (4.4 ) 4.4 (4.4 ) 4.4 (4.4 ) 4.4 (4.4 ) 4.4 (4.4 ) 4.4 (4.4 ) 4.4 (4.4 ) 4.4 (4.4 ) 4.4 (4.4 ) 4.4 (4.4 ) 4.4 (4.4 ) 4.4 (4.4 ) 4.4 (4.4 ) 4.4 (4.4 ) 4.4 (4.4 ) 4.4 (4.4 ) 4.4 (4.4 ) 4.4 (4.4 ) 4.4 (4.4 ) 4.4 (4.4 ) 4.4 (4.4 ) 4.4 (4.4 ) 4.4 (4.4 ) 4.4 (4.4 ) 4.4 (4.4 ) 4.4 (4.4 ) 4.4 (4.4 ) 4.4 (4.4 ) 4.4 (4.4 ) 4.4 (4.4 ) 4.4 (4.4 ) 4.4 (4.4 ) 4.4 (4.4 ) 4.4 (4.4 ) 4.4 (4.4 ) 4.4 (4.4 ) 4.4 (4.4 ) 4.4 (4.4 ) 4.4 (4.4 ) 4.4 (4.4 ) 4.4 (4.4 ) 4.4 (4.4 ) 4.4 (4.4 ) 4.4 (4.4 ) 4.4 (4.4 ) 4.4 (4.4 ) 4.4 (4.4 ) 4.4 (4.4 ) 4.4 (4.4 ) 4.4 (4.4 ) 4.4 (4.4 ) 4.4 (4.4 ) 4.4 (4.4 ) 4.4 (4.4 ) 4.4 (4.4 ) 4.4 (4.4 ) 4.4 (4.4 ) 4.4 (4.4 ) 4.4 (4.4 ) 4.4 (4.4 ) 4.4 (4.4 ) 4.4 (4.4 ) 4.4 (4.4 ) 4.4 (4.4 ) 4.4 (4.4 ) 4.4 (4.4 ) 4.4 (4.4 ) 4.4 (4.4 ) 4.4 (4.4 ) 4.4 (4.4 ) 4.4 (4.4 ) 4.4 (4.4 ) 4.4 (4.4 ) 4.4 (4.4 ) 4.4 (4.4 ) 4.4 (4.4 ) 4.4 (4.4 ) 4.4 (4.4 ) 4.4 (4.4 ) 4.4 (4.4 ) 4.4 (4.4 ) 4.4 (4.4 ) 4.4 (4.4 ) 4.4 (4.4 ) 4.4 (4.4 ) 4.4 (4.4 ) 4.4 (4.4 ) 4.4 (4.4 ) 4.4 (4.4 ) 4.4 (4.4 ) 4.4 (4.4 ) 4.4 (4.4 ) 4.4 (4.4 ) 4.4 (4.4 ) 4.4 (4.4 ) 4.4 (4.4 ) 4.4 (4.4 ) 4.4 (4.4 ) 4.4 (4.4 ) 4.4 (4.4 ) 4.4 (4.4 ) 4.4 (4.4 ) 4.4 (4.4 ) 4.4 (4.4 ) 4.4 (4.4 ) 4.4 (4.4 ) 4.4 (4.4 ) 4.4 (4.4 ) 4.4 (4.4 ) 4.4 (4.4 ) 4.4 (4.4 ) 4.4 (4.4 ) 4.4 (4.4 ) 4.4 (4.4 ) 4.4 (4.4 ) 4.4 (4.4 ) 4.4 (4.4 ) 4.4 (4.4 ) 4.4 (4.4 ) 4.4 (4.4 ) 4.4 (4.4 ) 4.4 (4.4                                                                                                                                                                                                                                                                                                                                                                                                                                                                                                                                                                                                                                                                                                                                                                                         | 有<br>方<br>方<br>完<br>完<br>矣<br>支                                                                                | 0.60<br>0.60<br>0.60<br>1.18<br>0.84                                                                                    | 7.15<br>0.61<br>0.82<br>4.50<br>1.21                                        | 7.35<br>0.64<br>0.82<br>4.45<br>1.23<br>0.92<br>2.35                             | 7.10<br>0.59<br>0.77<br>4.40<br>1.14<br>0.84<br>2.15                        | 7.15                                                                 | +0.02<br>+0.03<br>-0.05<br>+0.12<br>-0.02<br>-0.20                              | 31,000<br>4,787,500<br>7,775,000<br>8,303,000<br>12,000<br>324,000<br>17,228,000<br>57,000                                                | 1.61<br>2.96<br>1.97<br>5.91                                  | 2.10<br>81.97<br>84.38<br>35.28<br>11.57      |
| 214 第一太平特別<br>145 建度資款<br>166 國銀亞洲<br>170 工業投資<br>208 培和羰資<br>376 斯羰資<br>1/4 百利大國際<br>222 资數財務                                     | 2.05<br>9.20<br>0.295<br>8.10<br>7.05<br>1.30<br>1.27 | 9.30 9<br>0.30 0<br>8.20 6<br>7.10 7<br>1.33 1<br>1.28 1     | 2.05 1.99 3.30 9.30 3.32 0.29 3.10 8.10 7.45 7.05 3.35 1.22 3.35 1.23 3.44 0.42 | 9.30<br>0.30<br>8.10<br>7.10<br>1.33<br>1.28<br>0.43                                                                                                                                                                                                                                                                                                                                                                                                                                                                                                                                                                                                                                                                                                                                                                                                                                                                                                                                                                                                                                                                                                                                                                                                                                                                                                                                                                                                                                                                                                                                                                                                                                                                                                                                                                                                                                                                                                                                                                                                                                                                           | +0.10<br>-0.005<br>-0.10<br>-0.30<br>+0.12<br>+0.04<br>+0.03  | 3,000<br>34,830,100<br>1,000<br>1,131,733<br>678,000<br>2,215,625<br>452,000      | 7.65<br>384.62<br>10.59<br>7.51<br>2.58                                                                        | 11.29<br>2.47<br>1.06                               |                                         | 041                                                                                                                                                                                                                                                                                                                                                                                                                                                                                                                                                                                                                                                                                                                                                                                                                                                                                                                                                                                                                                                                                                                                                                                                                                                                                                                                                                                                                                                                                                                                                                                                                                                                                                                                                                                                                                                                                                                                                                                                                                                                                                                                                                                                                                                                                                                                                                                                                                                                                                                                                                                                                                                                                                                                                                                                                                                                                                                  | ·<br>沙屋<br>建<br>度<br>度<br>変<br>変<br>変<br>度<br>度                                                                | 3, 77<br>3, 80<br>0, 52                                                                                                 | 2.10<br>5 4.55<br>5 3.80<br>3.89<br>0.54                                    | 4,725<br>3,775<br>4,04<br>0,5                                                    | 2.05<br>4.525<br>3.75<br>3.779<br>0.52                                      | 3.775<br>3.85<br>0.52                                                | -0.125                                                                          | 1,368,000<br>18,104,060<br>2,551,000<br>38,000<br>2,529,000<br>420,000                                                                    | 16.23<br>19.09<br>7.82<br>5.35<br>16.87<br>260.00             | 10.99<br>8.74<br>4.94                         |
| 227 大衆國際 086 新 鴻 基 258 永盛財務 261 森地財務 265 德利投資 028 天安中國 020 経豐國際 439 ELDERS                                                         | 0.34<br>2.125<br>0.76<br>0.81<br>2.50<br>9.05         | 2.15 2<br>0.80 0<br>0.82 0<br>2.525 2                        | 0.35 0.34<br>0.50 2.12<br>0.80 0.78<br>0.90 0.81<br>0.60 2.47                   | 5 2.125<br>0.78<br>0.82<br>5 2.50                                                                                                                                                                                                                                                                                                                                                                                                                                                                                                                                                                                                                                                                                                                                                                                                                                                                                                                                                                                                                                                                                                                                                                                                                                                                                                                                                                                                                                                                                                                                                                                                                                                                                                                                                                                                                                                                                                                                                                                                                                                                                              | -0.125<br>-0.02<br>-0.05<br>+0.30                             | 150,000<br>10,135,910<br>24,000<br>2,874,000<br>1,530,483<br>78,000               | 9.86                                                                                                           | 4.24<br>6.41                                        |                                         | 254 含和<br>255 新昌                                                                                                                                                                                                                                                                                                                                                                                                                                                                                                                                                                                                                                                                                                                                                                                                                                                                                                                                                                                                                                                                                                                                                                                                                                                                                                                                                                                                                                                                                                                                                                                                                                                                                                                                                                                                                                                                                                                                                                                                                                                                                                                                                                                                                                                                                                                                                                                                                                                                                                                                                                                                                                                                                                                                                                                                                                                                                                     |                                                                                                                | 0,73<br>1,26<br>0,86                                                                                                    | 0.74<br>4.2 (<br>0.88<br>0.80<br>5 2.60                                     | 0.75<br>76 TT N<br>0.86<br>0.80<br>2.725<br>2.375                                | 73<br>) 1.16<br>0.85<br>0.76<br>2.525<br>2.25                               | 3.90<br>0.73<br>1.27<br>0.86<br>0.79                                 | -0.02<br>-0.01<br>-0.025<br>-0.06                                               | 13<br>17<br>10<br>14<br>14<br>10<br>10<br>10<br>10<br>10<br>10<br>10<br>10<br>10<br>10<br>10<br>10<br>10                                  | 5.95<br>5.95<br>5.20<br>28.67<br>5.03<br>9.63<br>4.59         | 10, 14<br>5,81<br>43 <sub>90</sub>            |
|                                                                                                                                    |                                                       |                                                              |                                                                                 | 3                                                                                                                                                                                                                                                                                                                                                                                                                                                                                                                                                                                                                                                                                                                                                                                                                                                                                                                                                                                                                                                                                                                                                                                                                                                                                                                                                                                                                                                                                                                                                                                                                                                                                                                                                                                                                                                                                                                                                                                                                                                                                                                              | 8                                                             |                                                                                   |                                                                                                                |                                                     |                                         | 014 希伽<br>185 <b>明</b> 撰                                                                                                                                                                                                                                                                                                                                                                                                                                                                                                                                                                                                                                                                                                                                                                                                                                                                                                                                                                                                                                                                                                                                                                                                                                                                                                                                                                                                                                                                                                                                                                                                                                                                                                                                                                                                                                                                                                                                                                                                                                                                                                                                                                                                                                                                                                                                                                                                                                                                                                                                                                                                                                                                                                                                                                                                                                                                                             | 與                                                                                                              | 1.01                                                                                                                    | C+90<br>-                                                                   | 0.94                                                                             | 0.09                                                                        | 0.89                                                                 | -0.03                                                                           | 14,905,000                                                                                                                                | 15.55                                                         | 9,90                                          |
| 360 大東電報<br>002 中華電報<br>026 中華電腦<br>032 香港<br>032 香港<br>003 中<br>006 港銀<br>008 電話<br>008 電                                         | 18.20 1<br>15.10 1<br>12.40<br>11.90 1<br>7.30        | 18.30 18<br>15.20 15<br>12<br>12.00 12<br>7.35 7<br>12.30 12 | .45 7.25<br>.70 12.20                                                           | 10.20<br>15.10<br>12.40<br>11.90<br>7.35<br>12.30                                                                                                                                                                                                                                                                                                                                                                                                                                                                                                                                                                                                                                                                                                                                                                                                                                                                                                                                                                                                                                                                                                                                                                                                                                                                                                                                                                                                                                                                                                                                                                                                                                                                                                                                                                                                                                                                                                                                                                                                                                                                              | +0.30<br>+0.10<br>-0.10<br>-0.05<br>-0.10                     | 145,800<br>111,000<br>694,000<br>1,634,640<br>1,206,018                           | 9.22<br>22.99<br>9.07<br>24.27                                                                                 | 2.50<br>3.03<br>8.16<br>1.63                        |                                         | 80 期 形成组 利成组 利                                                                                                                                                                                                                                                                                                                                                                                                                                                                                                                                                                                                                                                                                                                                                                                                                                                                                                                                                                                                                                                                                                                                                                                                                                                                                                                                                                                                                                                                                                                                                                                                                                                                                                                                                                                                                                                                                                                                                                                                                                                                                                                                                                                                                                                                                                                                                                                                                                                                                                                                                                                                                                                                                                                                                                                                                                                                                                       | 企長新建 游园类学 新祖展際人日                                                                                               | 0.99<br>3.10<br>1.53                                                                                                    | 0.74<br>0.33<br>3.125<br>1.54<br>2.50                                       | 2,60                                                                             | 1.52<br>2.50                                                                | 2.50                                                                 | +0.01<br>-3<br>-0.125<br>-0.01<br>-0.10                                         | 34,000<br>58,000<br>1,816,000<br>19,000<br>1,496,000<br>764,000<br>166,000                                                                | 3, 43<br>8, 89<br>3, 26<br>49, 12                             | 8,11<br>9,74                                  |
| 062 九龍巴士<br>050 油 醇 地<br>271 亞洲證券<br>024 寶 威                                                                                       | 0.87<br>1.45                                          | 4.325 4<br>0.88 0<br>1.46 1                                  | .95 0.86<br>.50 1.45                                                            | 0.88<br>1.46                                                                                                                                                                                                                                                                                                                                                                                                                                                                                                                                                                                                                                                                                                                                                                                                                                                                                                                                                                                                                                                                                                                                                                                                                                                                                                                                                                                                                                                                                                                                                                                                                                                                                                                                                                                                                                                                                                                                                                                                                                                                                                                   | -0.62<br>-0.02                                                | 2, 1 01, 000<br>374, 000                                                          | 13.32<br>63.31<br>6.03                                                                                         | 5.52<br>3.93                                        | 2 2 2 3 0 0 0 2 2 2                     | 603 美島<br>58 新新<br>1/2 新<br>1/7 <b>建</b><br>1/19                                                                                                                                                                                                                                                                                                                                                                                                                                                                                                                                                                                                                                                                                                                                                                                                                                                                                                                                                                                                                                                                                                                                                                                                                                                                                                                                                                                                                                                                                                                                                                                                                                                                                                                                                                                                                                                                                                                                                                                                                                                                                                                                                                                                                                                                                                                                                                                                                                                                                                                                                                                                                                                                                                                                                                                                                                                                     | 大年團打市程及易                                                                                                       | 0.54<br>0.63<br>1.93<br>1.87<br>18.00<br>3.70<br>7.00<br>4.00<br>0.46                                                   | 0.64<br>1.99<br>1.89<br>18.20<br>7.10<br>4.10                               | 0.58<br>0.70<br>2.00<br>1.92<br>18.00<br>3.75<br>7.30<br>4.00<br>0.48            | 0.51<br>0.63<br>1.93<br>1.87<br>17.60<br>3.70<br>7.00<br>4.00<br>0.46       |                                                                      | +0.02<br>+0.01<br>-0.02<br>-0.04<br>+0.60<br>-0.079<br>-0.15<br>-0.10<br>+0.015 | 2,609,400                                                                                                                                 | 13.10<br>3.27<br>7.51<br>25.87<br>12.52<br>21.82              | 5.39<br>2.25                                  |
| 123 <b>獨</b> 宏國際<br>025 其 士<br>110 中 類 東 方 (除沙)<br>116 周 生 生<br>367 莊士 機 福<br>353 牛 奶 國 際<br>038 第一太平實際<br>133 第一太平國際<br>264 公 和 祥 | D.80<br>2.30<br>0.66<br>3.975                         | 2.35 2.<br>0.68 0.<br>4.00 4.<br>3.20 3.                     | .86 0.80                                                                        | 0.80<br>2.325<br>0.66<br>4.00<br>3.20                                                                                                                                                                                                                                                                                                                                                                                                                                                                                                                                                                                                                                                                                                                                                                                                                                                                                                                                                                                                                                                                                                                                                                                                                                                                                                                                                                                                                                                                                                                                                                                                                                                                                                                                                                                                                                                                                                                                                                                                                                                                                          | -0.03                                                         | 1,643,786<br>66,086                                                               | 5.49<br>5.77<br>5.74<br>2.58<br>9.97                                                                           | 0.63                                                | 2 2 3 2                                 | 20 智利<br>73 百年<br>35 保<br>32 路<br>32 路<br>32 路<br>31 C<br>31 C<br>31 C<br>31 C<br>31 C<br>31 C<br>31 C<br>31 C                                                                                                                                                                                                                                                                                                                                                                                                                                                                                                                                                                                                                                                                                                                                                                                                                                                                                                                                                                                                                                                                                                                                                                                                                                                                                                                                                                                                                                                                                                                                                                                                                                                                                                                                                                                                                                                                                                                                                                                                                                                                                                                                                                                                                                                                                                                                                                                                                                                                                                                                                                                                                                                                                                                                                                                                       | 可建設 医腹膜丛 医腹利                                                                                                   | 2.15<br>1.70<br>1.70<br>5.20<br>1.00                                                                                    | 1.72                                                                        | 2.30<br>1.74<br>1.80<br>2.50<br>1.03<br>3.80<br>3.60                             | 2.15<br>1.68<br>1.64<br>5.20<br>1.02<br>3.70<br>2.90                        |                                                                      | -0.075<br>+0.03<br>+0.20<br>-0.10<br>+0.01                                      | 1,241,000<br>162,000<br>498,000                                                                                                           | 2,60<br>8,79<br>8,62<br>22,29<br>6,35                         | 4.84                                          |
| 013 和記黃埔<br>175 志正國際<br>015 括和控股<br>069 利聖公司<br>194 廖 創<br>224 建<br>169 萊斯集團<br>249 森 那<br>253 麗德投資                                | 10.60 IO<br>5.15<br>2.70<br>5.70<br>12.50 II          | 0.70 11.<br>5.30 5.<br>2.725 2.<br>5.<br>2.60 12.            | 20 5.20                                                                         | 10.60<br>5.20<br>2.70                                                                                                                                                                                                                                                                                                                                                                                                                                                                                                                                                                                                                                                                                                                                                                                                                                                                                                                                                                                                                                                                                                                                                                                                                                                                                                                                                                                                                                                                                                                                                                                                                                                                                                                                                                                                                                                                                                                                                                                                                                                                                                          | -0.15<br>-0.30<br>-<br>-0.025<br>+0.25<br>+0.10               | 1,998,585<br>20,000<br>350,000<br>31,000<br>162,000<br>392,000                    |                                                                                                                | 3.77<br>6.54<br>3.70<br>3.51<br>5.95<br>8.82        | 2<br>0<br>0<br>4<br>2<br>4<br>4         | 5? 華海<br>40 - 海<br>82 - 海<br>12 - 海<br>45 - 33 - 32 - 32 - 32<br>12 - 33 - 34<br>12 - 34<br>13 - 34<br>14 - 34<br>15 - 34<br>16 - 34<br>17 - 34<br>18 - 3 | 的 文<br>例以文 (16)<br>一<br>一<br>一<br>一<br>一<br>一<br>一<br>一<br>一<br>一<br>一<br>一<br>一<br>一<br>一<br>一<br>一<br>一<br>一 | 0.58                                                                                                                    | 8.75<br>1.30<br>0.99<br>.76<br>0.59                                         | 0.                                                                               | 07                                                                          | 1.00<br>2.50<br>8.75<br>1.30<br>1.08<br>3.76<br>2.59<br>0.55<br>5.50 | +0.07                                                                           | 100,000<br>244,000<br>2,901,924<br>3,933,000<br>102,000<br>6,000<br>42,390,000<br>23,825,000<br>93,000                                    | 7-47                                                          | 6, 92<br>4, 07<br>2, 18                       |
| 019 大 古 A 087 太 古 B 004 九 韻 倉 286 樹 利 行 290 永安集團 100 仁 學 行 441 寶隆洋行                                                                | 2.50<br>6.00<br>0.35<br>3.10                          | 6.05 6.<br>0.355 0.<br>3.20 3.<br>2.00 2.                    | 60 2.50<br>25 6.00                                                              | 13,90<br>2,525<br>6,05<br>0,35<br>3,10<br>1,99<br>1,09                                                                                                                                                                                                                                                                                                                                                                                                                                                                                                                                                                                                                                                                                                                                                                                                                                                                                                                                                                                                                                                                                                                                                                                                                                                                                                                                                                                                                                                                                                                                                                                                                                                                                                                                                                                                                                                                                                                                                                                                                                                                         | -0.10<br>-0.075<br>-0.10<br>+0.02<br>+0.10<br>-0.035<br>+0.08 | 1,508,528<br>1,625,971<br>1,799,136<br>1,916,000<br>191,000<br>344,000<br>375,000 | 12.03<br>10.91<br>12.06<br>6.39<br>8.42                                                                        | 4.46<br>4.91<br>1.49<br>0.97<br>7.79                | 2<br>0<br>0<br>0<br>0<br>0<br>0         |                                                                                                                                                                                                                                                                                                                                                                                                                                                                                                                                                                                                                                                                                                                                                                                                                                                                                                                                                                                                                                                                                                                                                                                                                                                                                                                                                                                                                                                                                                                                                                                                                                                                                                                                                                                                                                                                                                                                                                                                                                                                                                                                                                                                                                                                                                                                                                                                                                                                                                                                                                                                                                                                                                                                                                                                                                                                                                                      | , 即地继续建一地安徽是连展築路集                                                                                              | 2.20<br>2.20<br>0.74<br>3.55                                                                                            | 4.05<br>3.175<br>2.225<br>2.225                                             | 4.05<br>3.35<br>2.30                                                             | 4.00                                                                        | 4.00<br>3.125<br>2.20<br>2.225<br>0.77<br>3.55                       | -                                                                               | 967,000<br>967,000<br>695,000<br>2,625,625<br>860,000<br>2,000                                                                            | 7.62<br>22.59<br>6.92<br>12.30<br>1.21                        | 4, 25<br>6, 40<br>2, 73<br>11, 24             |
|                                                                                                                                    |                                                       |                                                              |                                                                                 | populari di popula |                                                               |                                                                                   | man district the second se | g s de Colonia                                      | 21<br>21<br>01                          | 70 友雄 第 第 第 第 第 第 第 第 第 第 第 第 8 8 8 8 8 8 8                                                                                                                                                                                                                                                                                                                                                                                                                                                                                                                                                                                                                                                                                                                                                                                                                                                                                                                                                                                                                                                                                                                                                                                                                                                                                                                                                                                                                                                                                                                                                                                                                                                                                                                                                                                                                                                                                                                                                                                                                                                                                                                                                                                                                                                                                                                                                                                                                                                                                                                                                                                                                                                                                                                                                                                                                                                                          | 世界 度地達                                                                                                         | 1.9!<br>0.45<br>1.75                                                                                                    | 1.95                                                                        | 1.92<br>0.46<br>1.76                                                             | 1.92                                                                        | 1.92<br>0.46                                                         | +0.02                                                                           | 55,000<br>40,000<br>2,031,873                                                                                                             | 13.59<br>53.49<br>25.22                                       | 6.67                                          |
| 105 凱聯國際<br>341 大 家 樂                                                                                                              | 2_025 2<br>1_40 1                                     | .42 1.                                                       | 10 2.00<br>42 1.42                                                              | 1.42                                                                                                                                                                                                                                                                                                                                                                                                                                                                                                                                                                                                                                                                                                                                                                                                                                                                                                                                                                                                                                                                                                                                                                                                                                                                                                                                                                                                                                                                                                                                                                                                                                                                                                                                                                                                                                                                                                                                                                                                                                                                                                                           | +0.05<br>-0.01                                                | 368,000<br>90,000<br>246,000                                                      | 18, 29<br>11, 98                                                                                               | 2.93<br>5.87                                        | 21<br>21<br>21                          | 81 川<br>83 <b>偉</b><br>87 永                                                                                                                                                                                                                                                                                                                                                                                                                                                                                                                                                                                                                                                                                                                                                                                                                                                                                                                                                                                                                                                                                                                                                                                                                                                                                                                                                                                                                                                                                                                                                                                                                                                                                                                                                                                                                                                                                                                                                                                                                                                                                                                                                                                                                                                                                                                                                                                                                                                                                                                                                                                                                                                                                                                                                                                                                                                                                          | 河<br><u>盆</u><br>發                                                                                             | 1.30                                                                                                                    | 2.70                                                                        | 1.33                                                                             | 2.625<br>1.21                                                               | 1.30                                                                 | -0.025<br>+0.10                                                                 | 162,000                                                                                                                                   |                                                               | 3.33<br>5.15                                  |
| 206 國家城市<br>037 遠東酒店<br>039 宮麗華酒店<br>051 海港企業                                                                                      | 1-14 1<br>6-60 6                                      |                                                              | 20 1.13<br>90 6.60                                                              | 1.27<br>1.15<br>6.60<br>7.45                                                                                                                                                                                                                                                                                                                                                                                                                                                                                                                                                                                                                                                                                                                                                                                                                                                                                                                                                                                                                                                                                                                                                                                                                                                                                                                                                                                                                                                                                                                                                                                                                                                                                                                                                                                                                                                                                                                                                                                                                                                                                                   | -0.01<br>+0.01<br>-0.25<br>+0.05                              | 246,000<br>4,362,400<br>61,000<br>218,000                                         | 13.86<br>8.71<br>10,29<br>11.10                                                                                | 5.51<br>0.87<br>7.58<br>7.72                        | 05<br>25                                | 95 水 漢<br>97 水 泰<br>97 永 達<br>50 輝煌大                                                                                                                                                                                                                                                                                                                                                                                                                                                                                                                                                                                                                                                                                                                                                                                                                                                                                                                                                                                                                                                                                                                                                                                                                                                                                                                                                                                                                                                                                                                                                                                                                                                                                                                                                                                                                                                                                                                                                                                                                                                                                                                                                                                                                                                                                                                                                                                                                                                                                                                                                                                                                                                                                                                                                                                                                                                                                 | 科                                                                                                              | 2.05<br>6.59                                                                                                            | 2.10<br>6.60<br>1.48                                                        | 2.35<br>6.80                                                                     |                                                                             | 6.55                                                                 | +0.075<br>-0.05<br>+0.05                                                        | 3,320,000<br>81,000<br>8,231,000                                                                                                          | 10-67                                                         | 3.66                                          |
| 045 大酒店200<br>163 國際酒樓<br>422 文華東方                                                                                                 | 1.00<br>3.79                                          | <br>4-(                                                      | 00 39.25<br>00 3.725                                                            |                                                                                                                                                                                                                                                                                                                                                                                                                                                                                                                                                                                                                                                                                                                                                                                                                                                                                                                                                                                                                                                                                                                                                                                                                                                                                                                                                                                                                                                                                                                                                                                                                                                                                                                                                                                                                                                                                                                                                                                                                                                                                                                                | -0.25<br>-<br>-0.225                                          | 180,400<br>80,000<br>970,805                                                      | 19.04<br>5.68<br>12.19                                                                                         | 2.53 .                                              | 23<br>13<br>48                          | 16 格與<br>21 紀<br>16<br>18<br>18<br>18<br>18<br>18<br>18<br>18<br>18<br>18<br>18                                                                                                                                                                                                                                                                                                                                                                                                                                                                                                                                                                                                                                                                                                                                                                                                                                                                                                                                                                                                                                                                                                                                                                                                                                                                                                                                                                                                                                                                                                                                                                                                                                                                                                                                                                                                                                                                                                                                                                                                                                                                                                                                                                                                                                                                                                                                                                                                                                                                                                                                                                                                                                                                                                                                                                                                                                      | 建築費業                                                                                                           | -                                                                                                                       | 4.575                                                                       | 1,71                                                                             |                                                                             | 4.575                                                                | -0. 025<br>-0. 32                                                               | 4,000                                                                                                                                     | 177.33<br>74.01<br>13.60                                      |                                               |
| 071 美 鷹 華 064 新世界酒店 223 百 樂 酒 店 078 富 豪 酒 店 235 紅 寶 石 479 海港企業(賞) 476 人酒店50                                                        | 4-35 4                                                | .45 5.6<br>.375 4.5<br>.45 2.6                               |                                                                                 | 5.40<br>4.375<br>2.375<br>6.30                                                                                                                                                                                                                                                                                                                                                                                                                                                                                                                                                                                                                                                                                                                                                                                                                                                                                                                                                                                                                                                                                                                                                                                                                                                                                                                                                                                                                                                                                                                                                                                                                                                                                                                                                                                                                                                                                                                                                                                                                                                                                                 |                                                               | 131,000<br>384,000<br>1,370,240<br>5,000                                          |                                                                                                                |                                                     | 27<br>15<br>^0                          | 9 港灣等7 港灣等6 新選 華大師                                                                                                                                                                                                                                                                                                                                                                                                                                                                                                                                                                                                                                                                                                                                                                                                                                                                                                                                                                                                                                                                                                                                                                                                                                                                                                                                                                                                                                                                                                                                                                                                                                                                                                                                                                                                                                                                                                                                                                                                                                                                                                                                                                                                                                                                                                                                                                                                                                                                                                                                                                                                                                                                                                                                                                                                                                                                                                   | 也產<br>代<br>愛美                                                                                                  | 0.65<br>0.60<br>2.425                                                                                                   | 0.62<br>2.45                                                                |                                                                                  | 0.60                                                                        |                                                                      | -                                                                               | 19,974,000<br>25,140,000<br>2,837,060                                                                                                     | 6200<br>399                                                   | 6,12                                          |
| 293 國泰航空<br>029 中華造船<br>117 萬野航業                                                                                                   | 5_40 5                                                | .45 5.1                                                      | 50 5.30                                                                         | 5.40                                                                                                                                                                                                                                                                                                                                                                                                                                                                                                                                                                                                                                                                                                                                                                                                                                                                                                                                                                                                                                                                                                                                                                                                                                                                                                                                                                                                                                                                                                                                                                                                                                                                                                                                                                                                                                                                                                                                                                                                                                                                                                                           | +0.05                                                         | 1,549,000                                                                         | 27.00                                                                                                          |                                                     | 42                                      | 3 華人置                                                                                                                                                                                                                                                                                                                                                                                                                                                                                                                                                                                                                                                                                                                                                                                                                                                                                                                                                                                                                                                                                                                                                                                                                                                                                                                                                                                                                                                                                                                                                                                                                                                                                                                                                                                                                                                                                                                                                                                                                                                                                                                                                                                                                                                                                                                                                                                                                                                                                                                                                                                                                                                                                                                                                                                                                                                                                                                | 꽃(종구                                                                                                           |                                                                                                                         |                                                                             |                                                                                  |                                                                             |                                                                      | - New (2)                                                                       |                                                                                                                                           | 2 :                                                           |                                               |
| 207 明仁企業<br>210 馬 化<br>217 海南發展<br>332 東方海外<br>237 安全 倉<br>242 信德企業<br>095 華光航業<br>474 信德企業(舊)                                     | 3.30 3                                                | (暫停買                                                         | 00 3.90<br>70 3.30                                                              | 5                                                                                                                                                                                                                                                                                                                                                                                                                                                                                                                                                                                                                                                                                                                                                                                                                                                                                                                                                                                                                                                                                                                                                                                                                                                                                                                                                                                                                                                                                                                                                                                                                                                                                                                                                                                                                                                                                                                                                                                                                                                                                                                              | -0.10<br>-0.225<br>-0.20                                      | 66,000<br>4,106,000<br>136,000                                                    |                                                                                                                | 3.85<br>7.52                                        | 135/<br>338<br>118<br>147<br>043<br>25/ | 2 合 和 fg<br>8 中華造<br>8 第一太<br>2 職君優<br>7 置地優                                                                                                                                                                                                                                                                                                                                                                                                                                                                                                                                                                                                                                                                                                                                                                                                                                                                                                                                                                                                                                                                                                                                                                                                                                                                                                                                                                                                                                                                                                                                                                                                                                                                                                                                                                                                                                                                                                                                                                                                                                                                                                                                                                                                                                                                                                                                                                                                                                                                                                                                                                                                                                                                                                                                                                                                                                                                         | 是先優先<br>完優美優<br>完晚<br>完晚<br>完晚<br>完<br>完<br>是<br>是<br>是<br>是<br>是<br>是<br>是<br>是<br>是<br>是<br>是<br>是<br>是      | 7.20<br>1.06                                                                                                            | 7,40<br>1,07                                                                | 1.98<br>7,20<br>1.06                                                             | 1.88<br>7.15<br>1.06                                                        | 1.88<br>7.20<br>1.06                                                 | -<br>-<br>-<br>-<br>-0.007                                                      | 90,000<br>30,000<br>43,187°<br>311,440                                                                                                    |                                                               | 25.53<br>4.72<br>12,94                        |
| 009 香港電視<br>343 五郎機構<br>233 星島集園<br>036 亞斯電視(除息)<br>018 東方報業                                                                       | 9.45 9.<br>1.20 1.<br>2,125                           | .50 9.5<br>.22 1.2<br>2.2                                    | 0 9.40<br>6 1.17<br>0 2.10                                                      | 9.45<br>1.20<br>2.15<br>1.36                                                                                                                                                                                                                                                                                                                                                                                                                                                                                                                                                                                                                                                                                                                                                                                                                                                                                                                                                                                                                                                                                                                                                                                                                                                                                                                                                                                                                                                                                                                                                                                                                                                                                                                                                                                                                                                                                                                                                                                                                                                                                                   | -0.10<br>+0.02<br>-0.04                                       | 433,000<br>1,752,000<br>1,293,000                                                 | 12.62                                                                                                          | - 41                                                |                                         | -                                                                                                                                                                                                                                                                                                                                                                                                                                                                                                                                                                                                                                                                                                                                                                                                                                                                                                                                                                                                                                                                                                                                                                                                                                                                                                                                                                                                                                                                                                                                                                                                                                                                                                                                                                                                                                                                                                                                                                                                                                                                                                                                                                                                                                                                                                                                                                                                                                                                                                                                                                                                                                                                                                                                                                                                                                                                                                                    |                                                                                                                |                                                                                                                         |                                                                             |                                                                                  |                                                                             |                                                                      |                                                                                 |                                                                                                                                           |                                                               |                                               |
| 368 莊士債券91<br>150 置地債券93<br>058 和黃債券93                                                                                             | 8,00 30/6                                             | 日期<br>-31/12<br>- 5<br>-30/ 9                                | 年份<br>1987/91<br>1984/93<br>1989/93                                             | 到期年份<br>4<br>6                                                                                                                                                                                                                                                                                                                                                                                                                                                                                                                                                                                                                                                                                                                                                                                                                                                                                                                                                                                                                                                                                                                                                                                                                                                                                                                                                                                                                                                                                                                                                                                                                                                                                                                                                                                                                                                                                                                                                                                                                                                                                                                 |                                                               | 最低 4<br>97.00 97.<br>99.00 99.                                                    |                                                                                                                |                                                     | 033<br>034<br>039<br>040                | ? \$ \$ \$ \$ \$ \$ \$ \$ \$ \$ \$ \$ \$ \$ \$ \$ \$ \$ \$                                                                                                                                                                                                                                                                                                                                                                                                                                                                                                                                                                                                                                                                                                                                                                                                                                                                                                                                                                                                                                                                                                                                                                                                                                                                                                                                                                                                                                                                                                                                                                                                                                                                                                                                                                                                                                                                                                                                                                                                                                                                                                                                                                                                                                                                                                                                                                                                                                                                                                                                                                                                                                                                                                                                                                                                                                                           | 油源資產高泥業                                                                                                        | 0.50<br>1.45<br>0.68<br>0.54<br>0.44<br>9.20<br>1.10                                                                    | 0.55<br>0.45<br>9.30<br>1.11<br>9.30                                        | 0.48<br>1.45<br>0.67<br>0.58<br>0.48<br>9.30                                     | 0.46<br>1.40<br>0.67<br>0.54<br>0.44<br>8.70                                | 0.50<br>1.45<br>0.68<br>0.55<br>0.45<br>9.20<br>1.10                 | -0.08<br>+0.04<br>+0.01<br>-<br>+0.02<br>+0.01<br>+0.60<br>-0.04                | 1,330,000<br>74,800<br>120,000<br>59,400<br>5,630,000<br>27,912,000<br>225,000<br>804,000                                                 | 3.94<br>4.70<br>5.84<br>31.43<br>11.75                        | 3.64<br>6.67<br>1.30<br>4.55                  |
| 177 百利達(牛)債券92 · 354 培利達(稿)債券92 10                                                                                                 | 4 00 7/8                                              | -31/1<br>-31/1                                               | 1987/ 92<br>1987/ 92<br>1987/ 92                                                | 5·<br>5<br>5                                                                                                                                                                                                                                                                                                                                                                                                                                                                                                                                                                                                                                                                                                                                                                                                                                                                                                                                                                                                                                                                                                                                                                                                                                                                                                                                                                                                                                                                                                                                                                                                                                                                                                                                                                                                                                                                                                                                                                                                                                                                                                                   |                                                               |                                                                                   | .00                                                                                                            | - 1                                                 | 146<br>152<br>179<br>173                | 香茂 樓 縣 電 看 實                                                                                                                                                                                                                                                                                                                                                                                                                                                                                                                                                                                                                                                                                                                                                                                                                                                                                                                                                                                                                                                                                                                                                                                                                                                                                                                                                                                                                                                                                                                                                                                                                                                                                                                                                                                                                                                                                                                                                                                                                                                                                                                                                                                                                                                                                                                                                                                                                                                                                                                                                                                                                                                                                                                                                                                                                                                                                                         | 就<br>級<br>機<br>業<br>業                                                                                          | 7.00<br>1.31<br>1.13                                                                                                    | 1_32                                                                        | 7.10<br>1.37                                                                     | 7.10<br>1.31                                                                | 7. 10<br>1.32                                                        | +0.01                                                                           | 180,000<br>2,550,000<br>410,000                                                                                                           | 16.52<br>9.50<br>37.92                                        | 2,82<br>3,79<br>6,19                          |

| _                                                                                                                    | •                                                                                                                                                                                                                                                                                                                                                                                                                                                                                                                                                                                                                                                                                                                                                                                                                                                                                                                                                                                                                                                                                                                                                                                                                                                                                                                                                                                                                                                                                                                                                                                                                                                                                                                                                                                                                                                                                                                                                                                                                                                                                                                             |                                                                                                                                                                                                                                                                                                                                                                                                                                                                                                                                                                                                                                                                                                                                                                                                                                                                                                                                                                                                                                                                                                                                                                                                                                                                                                                                                                                                                                                                                                                                                                                                                                                                                                                                                                                                                                                                                                                                                                                                                                                                                                                                                                                                                                                                                                                                                                                                                                                                                                                                                                                                                                                                                                                                      |                                                                                                                                                                                                                                                                                                                                                                                                                                                                                                                                                                                                                                                                                                                                                                                                                                                                                                                                                                                                                                                                                                                                                                                                                                                                                                                                                                                                                                                                                                                                                                                                                                                                                                                                                                                                                                                                                                                                                                                                                                                                                                                                                                                                                                                                                                                                                                                                                                                                                                                                                                                                                                                                                                                                                                                                                                                                                                                                                                                    |                                                                                                                                                                                                                                                                                                                                                                                                                                                                                                                                                                                                                                                                                                                                                                                                                                                                                                                                                                                                                                                                                                                                                                                                                                                                                                                                                                                                                                                                                                                                                                                                                                                                                                                                                                                                                                                                                                                                                                                                                                                                                                                                                                                                                                                                                                                                                                                                                                                                                                                                                                                                                                                                                                                                                                                                                                                                                                                                                                                                                                          |                                                                                                                                                                                                                                                                                                                                                                                                                                                                                                                                                                                                                                                                                                                                                                                                                                                                                                                                                                                                                                                                                                                                                                                                                                                                                                                                                                                                                                                                                                                                                                                                                                                                                                                                                                                                                                                                                                                                                                                                                                                                                                                                                                                                                                                                                                                                                                                                                                                                                                                                                                                                                                                                                                                                                                                                                                        |                                                                                                                                                                                                                                                                                                                                                                                                                                                                                                                                                                                                                                                                                                                                                                                                                                                                                                                                                                                                                                                                                                                                                                                                                                                                                                                                                                                                                                                                                                                                                                                                                                                                                                                                                                                                                                                                                                                                                                                                                                                                                                                                |                                                                                                                                                                                                                                                                                                                                                                                                                                                                                                                                                                                                                                                                                                                                                                                                                                                                                                                                                                                                                                                                                                                                                                                                                                                                                                                                                                                                                                                                                                                                                                                                                                                                                                                                                                                                                                                                                                                                                                                                                                                                                                                                                                                                                                                                                                                                                                                                                                                                                                                                                                                                                                                                                                                         |
|----------------------------------------------------------------------------------------------------------------------|-------------------------------------------------------------------------------------------------------------------------------------------------------------------------------------------------------------------------------------------------------------------------------------------------------------------------------------------------------------------------------------------------------------------------------------------------------------------------------------------------------------------------------------------------------------------------------------------------------------------------------------------------------------------------------------------------------------------------------------------------------------------------------------------------------------------------------------------------------------------------------------------------------------------------------------------------------------------------------------------------------------------------------------------------------------------------------------------------------------------------------------------------------------------------------------------------------------------------------------------------------------------------------------------------------------------------------------------------------------------------------------------------------------------------------------------------------------------------------------------------------------------------------------------------------------------------------------------------------------------------------------------------------------------------------------------------------------------------------------------------------------------------------------------------------------------------------------------------------------------------------------------------------------------------------------------------------------------------------------------------------------------------------------------------------------------------------------------------------------------------------|--------------------------------------------------------------------------------------------------------------------------------------------------------------------------------------------------------------------------------------------------------------------------------------------------------------------------------------------------------------------------------------------------------------------------------------------------------------------------------------------------------------------------------------------------------------------------------------------------------------------------------------------------------------------------------------------------------------------------------------------------------------------------------------------------------------------------------------------------------------------------------------------------------------------------------------------------------------------------------------------------------------------------------------------------------------------------------------------------------------------------------------------------------------------------------------------------------------------------------------------------------------------------------------------------------------------------------------------------------------------------------------------------------------------------------------------------------------------------------------------------------------------------------------------------------------------------------------------------------------------------------------------------------------------------------------------------------------------------------------------------------------------------------------------------------------------------------------------------------------------------------------------------------------------------------------------------------------------------------------------------------------------------------------------------------------------------------------------------------------------------------------------------------------------------------------------------------------------------------------------------------------------------------------------------------------------------------------------------------------------------------------------------------------------------------------------------------------------------------------------------------------------------------------------------------------------------------------------------------------------------------------------------------------------------------------------------------------------------------------|------------------------------------------------------------------------------------------------------------------------------------------------------------------------------------------------------------------------------------------------------------------------------------------------------------------------------------------------------------------------------------------------------------------------------------------------------------------------------------------------------------------------------------------------------------------------------------------------------------------------------------------------------------------------------------------------------------------------------------------------------------------------------------------------------------------------------------------------------------------------------------------------------------------------------------------------------------------------------------------------------------------------------------------------------------------------------------------------------------------------------------------------------------------------------------------------------------------------------------------------------------------------------------------------------------------------------------------------------------------------------------------------------------------------------------------------------------------------------------------------------------------------------------------------------------------------------------------------------------------------------------------------------------------------------------------------------------------------------------------------------------------------------------------------------------------------------------------------------------------------------------------------------------------------------------------------------------------------------------------------------------------------------------------------------------------------------------------------------------------------------------------------------------------------------------------------------------------------------------------------------------------------------------------------------------------------------------------------------------------------------------------------------------------------------------------------------------------------------------------------------------------------------------------------------------------------------------------------------------------------------------------------------------------------------------------------------------------------------------------------------------------------------------------------------------------------------------------------------------------------------------------------------------------------------------------------------------------------------------|------------------------------------------------------------------------------------------------------------------------------------------------------------------------------------------------------------------------------------------------------------------------------------------------------------------------------------------------------------------------------------------------------------------------------------------------------------------------------------------------------------------------------------------------------------------------------------------------------------------------------------------------------------------------------------------------------------------------------------------------------------------------------------------------------------------------------------------------------------------------------------------------------------------------------------------------------------------------------------------------------------------------------------------------------------------------------------------------------------------------------------------------------------------------------------------------------------------------------------------------------------------------------------------------------------------------------------------------------------------------------------------------------------------------------------------------------------------------------------------------------------------------------------------------------------------------------------------------------------------------------------------------------------------------------------------------------------------------------------------------------------------------------------------------------------------------------------------------------------------------------------------------------------------------------------------------------------------------------------------------------------------------------------------------------------------------------------------------------------------------------------------------------------------------------------------------------------------------------------------------------------------------------------------------------------------------------------------------------------------------------------------------------------------------------------------------------------------------------------------------------------------------------------------------------------------------------------------------------------------------------------------------------------------------------------------------------------------------------------------------------------------------------------------------------------------------------------------------------------------------------------------------------------------------------------------------------------------------------------------------------------------------------------------|----------------------------------------------------------------------------------------------------------------------------------------------------------------------------------------------------------------------------------------------------------------------------------------------------------------------------------------------------------------------------------------------------------------------------------------------------------------------------------------------------------------------------------------------------------------------------------------------------------------------------------------------------------------------------------------------------------------------------------------------------------------------------------------------------------------------------------------------------------------------------------------------------------------------------------------------------------------------------------------------------------------------------------------------------------------------------------------------------------------------------------------------------------------------------------------------------------------------------------------------------------------------------------------------------------------------------------------------------------------------------------------------------------------------------------------------------------------------------------------------------------------------------------------------------------------------------------------------------------------------------------------------------------------------------------------------------------------------------------------------------------------------------------------------------------------------------------------------------------------------------------------------------------------------------------------------------------------------------------------------------------------------------------------------------------------------------------------------------------------------------------------------------------------------------------------------------------------------------------------------------------------------------------------------------------------------------------------------------------------------------------------------------------------------------------------------------------------------------------------------------------------------------------------------------------------------------------------------------------------------------------------------------------------------------------------------------------------------------------------------------------------------------------------------------------------------------------------|--------------------------------------------------------------------------------------------------------------------------------------------------------------------------------------------------------------------------------------------------------------------------------------------------------------------------------------------------------------------------------------------------------------------------------------------------------------------------------------------------------------------------------------------------------------------------------------------------------------------------------------------------------------------------------------------------------------------------------------------------------------------------------------------------------------------------------------------------------------------------------------------------------------------------------------------------------------------------------------------------------------------------------------------------------------------------------------------------------------------------------------------------------------------------------------------------------------------------------------------------------------------------------------------------------------------------------------------------------------------------------------------------------------------------------------------------------------------------------------------------------------------------------------------------------------------------------------------------------------------------------------------------------------------------------------------------------------------------------------------------------------------------------------------------------------------------------------------------------------------------------------------------------------------------------------------------------------------------------------------------------------------------------------------------------------------------------------------------------------------------------|-------------------------------------------------------------------------------------------------------------------------------------------------------------------------------------------------------------------------------------------------------------------------------------------------------------------------------------------------------------------------------------------------------------------------------------------------------------------------------------------------------------------------------------------------------------------------------------------------------------------------------------------------------------------------------------------------------------------------------------------------------------------------------------------------------------------------------------------------------------------------------------------------------------------------------------------------------------------------------------------------------------------------------------------------------------------------------------------------------------------------------------------------------------------------------------------------------------------------------------------------------------------------------------------------------------------------------------------------------------------------------------------------------------------------------------------------------------------------------------------------------------------------------------------------------------------------------------------------------------------------------------------------------------------------------------------------------------------------------------------------------------------------------------------------------------------------------------------------------------------------------------------------------------------------------------------------------------------------------------------------------------------------------------------------------------------------------------------------------------------------------------------------------------------------------------------------------------------------------------------------------------------------------------------------------------------------------------------------------------------------------------------------------------------------------------------------------------------------------------------------------------------------------------------------------------------------------------------------------------------------------------------------------------------------------------------------------------------------|
| . —                                                                                                                  | 實腦 公 司                                                                                                                                                                                                                                                                                                                                                                                                                                                                                                                                                                                                                                                                                                                                                                                                                                                                                                                                                                                                                                                                                                                                                                                                                                                                                                                                                                                                                                                                                                                                                                                                                                                                                                                                                                                                                                                                                                                                                                                                                                                                                                                        | 買價 責價                                                                                                                                                                                                                                                                                                                                                                                                                                                                                                                                                                                                                                                                                                                                                                                                                                                                                                                                                                                                                                                                                                                                                                                                                                                                                                                                                                                                                                                                                                                                                                                                                                                                                                                                                                                                                                                                                                                                                                                                                                                                                                                                                                                                                                                                                                                                                                                                                                                                                                                                                                                                                                                                                                                                | 最高 最低                                                                                                                                                                                                                                                                                                                                                                                                                                                                                                                                                                                                                                                                                                                                                                                                                                                                                                                                                                                                                                                                                                                                                                                                                                                                                                                                                                                                                                                                                                                                                                                                                                                                                                                                                                                                                                                                                                                                                                                                                                                                                                                                                                                                                                                                                                                                                                                                                                                                                                                                                                                                                                                                                                                                                                                                                                                                                                                                                                              | , 校市                                                                                                                                                                                                                                                                                                                                                                                                                                                                                                                                                                                                                                                                                                                                                                                                                                                                                                                                                                                                                                                                                                                                                                                                                                                                                                                                                                                                                                                                                                                                                                                                                                                                                                                                                                                                                                                                                                                                                                                                                                                                                                                                                                                                                                                                                                                                                                                                                                                                                                                                                                                                                                                                                                                                                                                                                                                                                                                                                                                                                                     | 要動                                                                                                                                                                                                                                                                                                                                                                                                                                                                                                                                                                                                                                                                                                                                                                                                                                                                                                                                                                                                                                                                                                                                                                                                                                                                                                                                                                                                                                                                                                                                                                                                                                                                                                                                                                                                                                                                                                                                                                                                                                                                                                                                                                                                                                                                                                                                                                                                                                                                                                                                                                                                                                                                                                                                                                                                                                     | 成交股數                                                                                                                                                                                                                                                                                                                                                                                                                                                                                                                                                                                                                                                                                                                                                                                                                                                                                                                                                                                                                                                                                                                                                                                                                                                                                                                                                                                                                                                                                                                                                                                                                                                                                                                                                                                                                                                                                                                                                                                                                                                                                                                           | 市盟年 周息                                                                                                                                                                                                                                                                                                                                                                                                                                                                                                                                                                                                                                                                                                                                                                                                                                                                                                                                                                                                                                                                                                                                                                                                                                                                                                                                                                                                                                                                                                                                                                                                                                                                                                                                                                                                                                                                                                                                                                                                                                                                                                                                                                                                                                                                                                                                                                                                                                                                                                                                                                                                                                                                                                                  |
| 1 [                                                                                                                  | 11 5 6 7 6<br>1 6 6                                                                                                                                                                                                                                                                                                                                                                                                                                                                                                                                                                                                                                                                                                                                                                                                                                                                                                                                                                                                                                                                                                                                                                                                                                                                                                                                                                                                                                                                                                                                                                                                                                                                                                                                                                                                                                                                                                                                                                                                                                                                                                           | 0.90 0.91<br>7.65 7.80                                                                                                                                                                                                                                                                                                                                                                                                                                                                                                                                                                                                                                                                                                                                                                                                                                                                                                                                                                                                                                                                                                                                                                                                                                                                                                                                                                                                                                                                                                                                                                                                                                                                                                                                                                                                                                                                                                                                                                                                                                                                                                                                                                                                                                                                                                                                                                                                                                                                                                                                                                                                                                                                                                               |                                                                                                                                                                                                                                                                                                                                                                                                                                                                                                                                                                                                                                                                                                                                                                                                                                                                                                                                                                                                                                                                                                                                                                                                                                                                                                                                                                                                                                                                                                                                                                                                                                                                                                                                                                                                                                                                                                                                                                                                                                                                                                                                                                                                                                                                                                                                                                                                                                                                                                                                                                                                                                                                                                                                                                                                                                                                                                                                                                                    |                                                                                                                                                                                                                                                                                                                                                                                                                                                                                                                                                                                                                                                                                                                                                                                                                                                                                                                                                                                                                                                                                                                                                                                                                                                                                                                                                                                                                                                                                                                                                                                                                                                                                                                                                                                                                                                                                                                                                                                                                                                                                                                                                                                                                                                                                                                                                                                                                                                                                                                                                                                                                                                                                                                                                                                                                                                                                                                                                                                                                                          | -0.20                                                                                                                                                                                                                                                                                                                                                                                                                                                                                                                                                                                                                                                                                                                                                                                                                                                                                                                                                                                                                                                                                                                                                                                                                                                                                                                                                                                                                                                                                                                                                                                                                                                                                                                                                                                                                                                                                                                                                                                                                                                                                                                                                                                                                                                                                                                                                                                                                                                                                                                                                                                                                                                                                                                                                                                                                                  | 46,000<br>259,000                                                                                                                                                                                                                                                                                                                                                                                                                                                                                                                                                                                                                                                                                                                                                                                                                                                                                                                                                                                                                                                                                                                                                                                                                                                                                                                                                                                                                                                                                                                                                                                                                                                                                                                                                                                                                                                                                                                                                                                                                                                                                                              | 10.15 7.78<br>19.27 1.94                                                                                                                                                                                                                                                                                                                                                                                                                                                                                                                                                                                                                                                                                                                                                                                                                                                                                                                                                                                                                                                                                                                                                                                                                                                                                                                                                                                                                                                                                                                                                                                                                                                                                                                                                                                                                                                                                                                                                                                                                                                                                                                                                                                                                                                                                                                                                                                                                                                                                                                                                                                                                                                                                                |
|                                                                                                                      | 34 ほう智楽<br>どの要報もそ                                                                                                                                                                                                                                                                                                                                                                                                                                                                                                                                                                                                                                                                                                                                                                                                                                                                                                                                                                                                                                                                                                                                                                                                                                                                                                                                                                                                                                                                                                                                                                                                                                                                                                                                                                                                                                                                                                                                                                                                                                                                                                             | 1.71 1.74<br>0.69 0.71                                                                                                                                                                                                                                                                                                                                                                                                                                                                                                                                                                                                                                                                                                                                                                                                                                                                                                                                                                                                                                                                                                                                                                                                                                                                                                                                                                                                                                                                                                                                                                                                                                                                                                                                                                                                                                                                                                                                                                                                                                                                                                                                                                                                                                                                                                                                                                                                                                                                                                                                                                                                                                                                                                               | 1.84 1.74                                                                                                                                                                                                                                                                                                                                                                                                                                                                                                                                                                                                                                                                                                                                                                                                                                                                                                                                                                                                                                                                                                                                                                                                                                                                                                                                                                                                                                                                                                                                                                                                                                                                                                                                                                                                                                                                                                                                                                                                                                                                                                                                                                                                                                                                                                                                                                                                                                                                                                                                                                                                                                                                                                                                                                                                                                                                                                                                                                          | 1.74                                                                                                                                                                                                                                                                                                                                                                                                                                                                                                                                                                                                                                                                                                                                                                                                                                                                                                                                                                                                                                                                                                                                                                                                                                                                                                                                                                                                                                                                                                                                                                                                                                                                                                                                                                                                                                                                                                                                                                                                                                                                                                                                                                                                                                                                                                                                                                                                                                                                                                                                                                                                                                                                                                                                                                                                                                                                                                                                                                                                                                     | -0.07<br>-0.01                                                                                                                                                                                                                                                                                                                                                                                                                                                                                                                                                                                                                                                                                                                                                                                                                                                                                                                                                                                                                                                                                                                                                                                                                                                                                                                                                                                                                                                                                                                                                                                                                                                                                                                                                                                                                                                                                                                                                                                                                                                                                                                                                                                                                                                                                                                                                                                                                                                                                                                                                                                                                                                                                                                                                                                                                         | 6,621,000                                                                                                                                                                                                                                                                                                                                                                                                                                                                                                                                                                                                                                                                                                                                                                                                                                                                                                                                                                                                                                                                                                                                                                                                                                                                                                                                                                                                                                                                                                                                                                                                                                                                                                                                                                                                                                                                                                                                                                                                                                                                                                                      | 7.47 1.72<br>7.21 8.70                                                                                                                                                                                                                                                                                                                                                                                                                                                                                                                                                                                                                                                                                                                                                                                                                                                                                                                                                                                                                                                                                                                                                                                                                                                                                                                                                                                                                                                                                                                                                                                                                                                                                                                                                                                                                                                                                                                                                                                                                                                                                                                                                                                                                                                                                                                                                                                                                                                                                                                                                                                                                                                                                                  |
|                                                                                                                      | 化水 生产连进器                                                                                                                                                                                                                                                                                                                                                                                                                                                                                                                                                                                                                                                                                                                                                                                                                                                                                                                                                                                                                                                                                                                                                                                                                                                                                                                                                                                                                                                                                                                                                                                                                                                                                                                                                                                                                                                                                                                                                                                                                                                                                                                      | 0.62                                                                                                                                                                                                                                                                                                                                                                                                                                                                                                                                                                                                                                                                                                                                                                                                                                                                                                                                                                                                                                                                                                                                                                                                                                                                                                                                                                                                                                                                                                                                                                                                                                                                                                                                                                                                                                                                                                                                                                                                                                                                                                                                                                                                                                                                                                                                                                                                                                                                                                                                                                                                                                                                                                                                 | 0.67 0.62                                                                                                                                                                                                                                                                                                                                                                                                                                                                                                                                                                                                                                                                                                                                                                                                                                                                                                                                                                                                                                                                                                                                                                                                                                                                                                                                                                                                                                                                                                                                                                                                                                                                                                                                                                                                                                                                                                                                                                                                                                                                                                                                                                                                                                                                                                                                                                                                                                                                                                                                                                                                                                                                                                                                                                                                                                                                                                                                                                          | 0.62                                                                                                                                                                                                                                                                                                                                                                                                                                                                                                                                                                                                                                                                                                                                                                                                                                                                                                                                                                                                                                                                                                                                                                                                                                                                                                                                                                                                                                                                                                                                                                                                                                                                                                                                                                                                                                                                                                                                                                                                                                                                                                                                                                                                                                                                                                                                                                                                                                                                                                                                                                                                                                                                                                                                                                                                                                                                                                                                                                                                                                     | +0.01                                                                                                                                                                                                                                                                                                                                                                                                                                                                                                                                                                                                                                                                                                                                                                                                                                                                                                                                                                                                                                                                                                                                                                                                                                                                                                                                                                                                                                                                                                                                                                                                                                                                                                                                                                                                                                                                                                                                                                                                                                                                                                                                                                                                                                                                                                                                                                                                                                                                                                                                                                                                                                                                                                                                                                                                                                  | 702,000                                                                                                                                                                                                                                                                                                                                                                                                                                                                                                                                                                                                                                                                                                                                                                                                                                                                                                                                                                                                                                                                                                                                                                                                                                                                                                                                                                                                                                                                                                                                                                                                                                                                                                                                                                                                                                                                                                                                                                                                                                                                                                                        | 7.21 8.70<br>2.31 19.35                                                                                                                                                                                                                                                                                                                                                                                                                                                                                                                                                                                                                                                                                                                                                                                                                                                                                                                                                                                                                                                                                                                                                                                                                                                                                                                                                                                                                                                                                                                                                                                                                                                                                                                                                                                                                                                                                                                                                                                                                                                                                                                                                                                                                                                                                                                                                                                                                                                                                                                                                                                                                                                                                                 |
|                                                                                                                      | 6 <b>A</b> 4 4 4 4 4 4 4 4 4 4 4 4 4 4 4 4 4 4 4                                                                                                                                                                                                                                                                                                                                                                                                                                                                                                                                                                                                                                                                                                                                                                                                                                                                                                                                                                                                                                                                                                                                                                                                                                                                                                                                                                                                                                                                                                                                                                                                                                                                                                                                                                                                                                                                                                                                                                                                                                                                              | 1.06 1.08                                                                                                                                                                                                                                                                                                                                                                                                                                                                                                                                                                                                                                                                                                                                                                                                                                                                                                                                                                                                                                                                                                                                                                                                                                                                                                                                                                                                                                                                                                                                                                                                                                                                                                                                                                                                                                                                                                                                                                                                                                                                                                                                                                                                                                                                                                                                                                                                                                                                                                                                                                                                                                                                                                                            | 7 3.189 0.17<br>1.10 1.05                                                                                                                                                                                                                                                                                                                                                                                                                                                                                                                                                                                                                                                                                                                                                                                                                                                                                                                                                                                                                                                                                                                                                                                                                                                                                                                                                                                                                                                                                                                                                                                                                                                                                                                                                                                                                                                                                                                                                                                                                                                                                                                                                                                                                                                                                                                                                                                                                                                                                                                                                                                                                                                                                                                                                                                                                                                                                                                                                          | 1.08                                                                                                                                                                                                                                                                                                                                                                                                                                                                                                                                                                                                                                                                                                                                                                                                                                                                                                                                                                                                                                                                                                                                                                                                                                                                                                                                                                                                                                                                                                                                                                                                                                                                                                                                                                                                                                                                                                                                                                                                                                                                                                                                                                                                                                                                                                                                                                                                                                                                                                                                                                                                                                                                                                                                                                                                                                                                                                                                                                                                                                     | +0.001                                                                                                                                                                                                                                                                                                                                                                                                                                                                                                                                                                                                                                                                                                                                                                                                                                                                                                                                                                                                                                                                                                                                                                                                                                                                                                                                                                                                                                                                                                                                                                                                                                                                                                                                                                                                                                                                                                                                                                                                                                                                                                                                                                                                                                                                                                                                                                                                                                                                                                                                                                                                                                                                                                                                                                                                                                 | 5,930,000                                                                                                                                                                                                                                                                                                                                                                                                                                                                                                                                                                                                                                                                                                                                                                                                                                                                                                                                                                                                                                                                                                                                                                                                                                                                                                                                                                                                                                                                                                                                                                                                                                                                                                                                                                                                                                                                                                                                                                                                                                                                                                                      | 6.80   11,11                                                                                                                                                                                                                                                                                                                                                                                                                                                                                                                                                                                                                                                                                                                                                                                                                                                                                                                                                                                                                                                                                                                                                                                                                                                                                                                                                                                                                                                                                                                                                                                                                                                                                                                                                                                                                                                                                                                                                                                                                                                                                                                                                                                                                                                                                                                                                                                                                                                                                                                                                                                                                                                                                                            |
|                                                                                                                      | 74. 利氏香蕉。<br>9. 生方泉香。                                                                                                                                                                                                                                                                                                                                                                                                                                                                                                                                                                                                                                                                                                                                                                                                                                                                                                                                                                                                                                                                                                                                                                                                                                                                                                                                                                                                                                                                                                                                                                                                                                                                                                                                                                                                                                                                                                                                                                                                                                                                                                         | 1,24 1,24<br>6,15 6,20                                                                                                                                                                                                                                                                                                                                                                                                                                                                                                                                                                                                                                                                                                                                                                                                                                                                                                                                                                                                                                                                                                                                                                                                                                                                                                                                                                                                                                                                                                                                                                                                                                                                                                                                                                                                                                                                                                                                                                                                                                                                                                                                                                                                                                                                                                                                                                                                                                                                                                                                                                                                                                                                                                               | 6-30 6-15                                                                                                                                                                                                                                                                                                                                                                                                                                                                                                                                                                                                                                                                                                                                                                                                                                                                                                                                                                                                                                                                                                                                                                                                                                                                                                                                                                                                                                                                                                                                                                                                                                                                                                                                                                                                                                                                                                                                                                                                                                                                                                                                                                                                                                                                                                                                                                                                                                                                                                                                                                                                                                                                                                                                                                                                                                                                                                                                                                          | 6.20                                                                                                                                                                                                                                                                                                                                                                                                                                                                                                                                                                                                                                                                                                                                                                                                                                                                                                                                                                                                                                                                                                                                                                                                                                                                                                                                                                                                                                                                                                                                                                                                                                                                                                                                                                                                                                                                                                                                                                                                                                                                                                                                                                                                                                                                                                                                                                                                                                                                                                                                                                                                                                                                                                                                                                                                                                                                                                                                                                                                                                     | +0-14                                                                                                                                                                                                                                                                                                                                                                                                                                                                                                                                                                                                                                                                                                                                                                                                                                                                                                                                                                                                                                                                                                                                                                                                                                                                                                                                                                                                                                                                                                                                                                                                                                                                                                                                                                                                                                                                                                                                                                                                                                                                                                                                                                                                                                                                                                                                                                                                                                                                                                                                                                                                                                                                                                                                                                                                                                  | 4,000                                                                                                                                                                                                                                                                                                                                                                                                                                                                                                                                                                                                                                                                                                                                                                                                                                                                                                                                                                                                                                                                                                                                                                                                                                                                                                                                                                                                                                                                                                                                                                                                                                                                                                                                                                                                                                                                                                                                                                                                                                                                                                                          | 10.93 8.06<br>13.83 14.35                                                                                                                                                                                                                                                                                                                                                                                                                                                                                                                                                                                                                                                                                                                                                                                                                                                                                                                                                                                                                                                                                                                                                                                                                                                                                                                                                                                                                                                                                                                                                                                                                                                                                                                                                                                                                                                                                                                                                                                                                                                                                                                                                                                                                                                                                                                                                                                                                                                                                                                                                                                                                                                                                               |
|                                                                                                                      | · · · · · · · · · · · · · · · · · · ·                                                                                                                                                                                                                                                                                                                                                                                                                                                                                                                                                                                                                                                                                                                                                                                                                                                                                                                                                                                                                                                                                                                                                                                                                                                                                                                                                                                                                                                                                                                                                                                                                                                                                                                                                                                                                                                                                                                                                                                                                                                                                         | 0.89                                                                                                                                                                                                                                                                                                                                                                                                                                                                                                                                                                                                                                                                                                                                                                                                                                                                                                                                                                                                                                                                                                                                                                                                                                                                                                                                                                                                                                                                                                                                                                                                                                                                                                                                                                                                                                                                                                                                                                                                                                                                                                                                                                                                                                                                                                                                                                                                                                                                                                                                                                                                                                                                                                                                 | 1.30 1.23<br>0.90 0.86                                                                                                                                                                                                                                                                                                                                                                                                                                                                                                                                                                                                                                                                                                                                                                                                                                                                                                                                                                                                                                                                                                                                                                                                                                                                                                                                                                                                                                                                                                                                                                                                                                                                                                                                                                                                                                                                                                                                                                                                                                                                                                                                                                                                                                                                                                                                                                                                                                                                                                                                                                                                                                                                                                                                                                                                                                                                                                                                                             | 1.23                                                                                                                                                                                                                                                                                                                                                                                                                                                                                                                                                                                                                                                                                                                                                                                                                                                                                                                                                                                                                                                                                                                                                                                                                                                                                                                                                                                                                                                                                                                                                                                                                                                                                                                                                                                                                                                                                                                                                                                                                                                                                                                                                                                                                                                                                                                                                                                                                                                                                                                                                                                                                                                                                                                                                                                                                                                                                                                                                                                                                                     | -0,04<br>+0.05                                                                                                                                                                                                                                                                                                                                                                                                                                                                                                                                                                                                                                                                                                                                                                                                                                                                                                                                                                                                                                                                                                                                                                                                                                                                                                                                                                                                                                                                                                                                                                                                                                                                                                                                                                                                                                                                                                                                                                                                                                                                                                                                                                                                                                                                                                                                                                                                                                                                                                                                                                                                                                                                                                                                                                                                                         | 494,000                                                                                                                                                                                                                                                                                                                                                                                                                                                                                                                                                                                                                                                                                                                                                                                                                                                                                                                                                                                                                                                                                                                                                                                                                                                                                                                                                                                                                                                                                                                                                                                                                                                                                                                                                                                                                                                                                                                                                                                                                                                                                                                        | 66.13                                                                                                                                                                                                                                                                                                                                                                                                                                                                                                                                                                                                                                                                                                                                                                                                                                                                                                                                                                                                                                                                                                                                                                                                                                                                                                                                                                                                                                                                                                                                                                                                                                                                                                                                                                                                                                                                                                                                                                                                                                                                                                                                                                                                                                                                                                                                                                                                                                                                                                                                                                                                                                                                                                                   |
|                                                                                                                      | of 图 # 作 *                                                                                                                                                                                                                                                                                                                                                                                                                                                                                                                                                                                                                                                                                                                                                                                                                                                                                                                                                                                                                                                                                                                                                                                                                                                                                                                                                                                                                                                                                                                                                                                                                                                                                                                                                                                                                                                                                                                                                                                                                                                                                                                    | 4.50 4.52                                                                                                                                                                                                                                                                                                                                                                                                                                                                                                                                                                                                                                                                                                                                                                                                                                                                                                                                                                                                                                                                                                                                                                                                                                                                                                                                                                                                                                                                                                                                                                                                                                                                                                                                                                                                                                                                                                                                                                                                                                                                                                                                                                                                                                                                                                                                                                                                                                                                                                                                                                                                                                                                                                                            | 5 4.55 4.35                                                                                                                                                                                                                                                                                                                                                                                                                                                                                                                                                                                                                                                                                                                                                                                                                                                                                                                                                                                                                                                                                                                                                                                                                                                                                                                                                                                                                                                                                                                                                                                                                                                                                                                                                                                                                                                                                                                                                                                                                                                                                                                                                                                                                                                                                                                                                                                                                                                                                                                                                                                                                                                                                                                                                                                                                                                                                                                                                                        | 4.525                                                                                                                                                                                                                                                                                                                                                                                                                                                                                                                                                                                                                                                                                                                                                                                                                                                                                                                                                                                                                                                                                                                                                                                                                                                                                                                                                                                                                                                                                                                                                                                                                                                                                                                                                                                                                                                                                                                                                                                                                                                                                                                                                                                                                                                                                                                                                                                                                                                                                                                                                                                                                                                                                                                                                                                                                                                                                                                                                                                                                                    | +0.175                                                                                                                                                                                                                                                                                                                                                                                                                                                                                                                                                                                                                                                                                                                                                                                                                                                                                                                                                                                                                                                                                                                                                                                                                                                                                                                                                                                                                                                                                                                                                                                                                                                                                                                                                                                                                                                                                                                                                                                                                                                                                                                                                                                                                                                                                                                                                                                                                                                                                                                                                                                                                                                                                                                                                                                                                                 | 1                                                                                                                                                                                                                                                                                                                                                                                                                                                                                                                                                                                                                                                                                                                                                                                                                                                                                                                                                                                                                                                                                                                                                                                                                                                                                                                                                                                                                                                                                                                                                                                                                                                                                                                                                                                                                                                                                                                                                                                                                                                                                                                              |                                                                                                                                                                                                                                                                                                                                                                                                                                                                                                                                                                                                                                                                                                                                                                                                                                                                                                                                                                                                                                                                                                                                                                                                                                                                                                                                                                                                                                                                                                                                                                                                                                                                                                                                                                                                                                                                                                                                                                                                                                                                                                                                                                                                                                                                                                                                                                                                                                                                                                                                                                                                                                                                                                                         |
|                                                                                                                      | 24 黒原子で<br>いて優 場 き                                                                                                                                                                                                                                                                                                                                                                                                                                                                                                                                                                                                                                                                                                                                                                                                                                                                                                                                                                                                                                                                                                                                                                                                                                                                                                                                                                                                                                                                                                                                                                                                                                                                                                                                                                                                                                                                                                                                                                                                                                                                                                            | 0.87<br>2.775 2.80                                                                                                                                                                                                                                                                                                                                                                                                                                                                                                                                                                                                                                                                                                                                                                                                                                                                                                                                                                                                                                                                                                                                                                                                                                                                                                                                                                                                                                                                                                                                                                                                                                                                                                                                                                                                                                                                                                                                                                                                                                                                                                                                                                                                                                                                                                                                                                                                                                                                                                                                                                                                                                                                                                                   | 0.88 0.87<br>2.90 2.75                                                                                                                                                                                                                                                                                                                                                                                                                                                                                                                                                                                                                                                                                                                                                                                                                                                                                                                                                                                                                                                                                                                                                                                                                                                                                                                                                                                                                                                                                                                                                                                                                                                                                                                                                                                                                                                                                                                                                                                                                                                                                                                                                                                                                                                                                                                                                                                                                                                                                                                                                                                                                                                                                                                                                                                                                                                                                                                                                             |                                                                                                                                                                                                                                                                                                                                                                                                                                                                                                                                                                                                                                                                                                                                                                                                                                                                                                                                                                                                                                                                                                                                                                                                                                                                                                                                                                                                                                                                                                                                                                                                                                                                                                                                                                                                                                                                                                                                                                                                                                                                                                                                                                                                                                                                                                                                                                                                                                                                                                                                                                                                                                                                                                                                                                                                                                                                                                                                                                                                                                          | +0.02                                                                                                                                                                                                                                                                                                                                                                                                                                                                                                                                                                                                                                                                                                                                                                                                                                                                                                                                                                                                                                                                                                                                                                                                                                                                                                                                                                                                                                                                                                                                                                                                                                                                                                                                                                                                                                                                                                                                                                                                                                                                                                                                                                                                                                                                                                                                                                                                                                                                                                                                                                                                                                                                                                                                                                                                                                  | 6H,000<br>2,014,000                                                                                                                                                                                                                                                                                                                                                                                                                                                                                                                                                                                                                                                                                                                                                                                                                                                                                                                                                                                                                                                                                                                                                                                                                                                                                                                                                                                                                                                                                                                                                                                                                                                                                                                                                                                                                                                                                                                                                                                                                                                                                                            | 2. 27<br>7. 81 7. 86                                                                                                                                                                                                                                                                                                                                                                                                                                                                                                                                                                                                                                                                                                                                                                                                                                                                                                                                                                                                                                                                                                                                                                                                                                                                                                                                                                                                                                                                                                                                                                                                                                                                                                                                                                                                                                                                                                                                                                                                                                                                                                                                                                                                                                                                                                                                                                                                                                                                                                                                                                                                                                                                                                    |
| 1 P                                                                                                                  | 475 # 25 K 25 (25 )<br>184                                                                                                                                                                                                                                                                                                                                                                                                                                                                                                                                                                                                                                                                                                                                                                                                                                                                                                                                                                                                                                                                                                                                                                                                                                                                                                                                                                                                                                                                                                                                                                                                                                                                                                                                                                                                                                                                                                                                                                                                                                                                                                    | 0.77 0.78<br>0.94 0.95                                                                                                                                                                                                                                                                                                                                                                                                                                                                                                                                                                                                                                                                                                                                                                                                                                                                                                                                                                                                                                                                                                                                                                                                                                                                                                                                                                                                                                                                                                                                                                                                                                                                                                                                                                                                                                                                                                                                                                                                                                                                                                                                                                                                                                                                                                                                                                                                                                                                                                                                                                                                                                                                                                               | 0.80 D.27<br>C.97 0.95                                                                                                                                                                                                                                                                                                                                                                                                                                                                                                                                                                                                                                                                                                                                                                                                                                                                                                                                                                                                                                                                                                                                                                                                                                                                                                                                                                                                                                                                                                                                                                                                                                                                                                                                                                                                                                                                                                                                                                                                                                                                                                                                                                                                                                                                                                                                                                                                                                                                                                                                                                                                                                                                                                                                                                                                                                                                                                                                                             | 0.78<br>0.95                                                                                                                                                                                                                                                                                                                                                                                                                                                                                                                                                                                                                                                                                                                                                                                                                                                                                                                                                                                                                                                                                                                                                                                                                                                                                                                                                                                                                                                                                                                                                                                                                                                                                                                                                                                                                                                                                                                                                                                                                                                                                                                                                                                                                                                                                                                                                                                                                                                                                                                                                                                                                                                                                                                                                                                                                                                                                                                                                                                                                             | +0.02                                                                                                                                                                                                                                                                                                                                                                                                                                                                                                                                                                                                                                                                                                                                                                                                                                                                                                                                                                                                                                                                                                                                                                                                                                                                                                                                                                                                                                                                                                                                                                                                                                                                                                                                                                                                                                                                                                                                                                                                                                                                                                                                                                                                                                                                                                                                                                                                                                                                                                                                                                                                                                                                                                                                                                                                                                  | 112,000<br>883,000                                                                                                                                                                                                                                                                                                                                                                                                                                                                                                                                                                                                                                                                                                                                                                                                                                                                                                                                                                                                                                                                                                                                                                                                                                                                                                                                                                                                                                                                                                                                                                                                                                                                                                                                                                                                                                                                                                                                                                                                                                                                                                             | 5.37<br>7.92 7.89                                                                                                                                                                                                                                                                                                                                                                                                                                                                                                                                                                                                                                                                                                                                                                                                                                                                                                                                                                                                                                                                                                                                                                                                                                                                                                                                                                                                                                                                                                                                                                                                                                                                                                                                                                                                                                                                                                                                                                                                                                                                                                                                                                                                                                                                                                                                                                                                                                                                                                                                                                                                                                                                                                       |
| - 1                                                                                                                  | 295 期間實施<br>公益生2岁1月                                                                                                                                                                                                                                                                                                                                                                                                                                                                                                                                                                                                                                                                                                                                                                                                                                                                                                                                                                                                                                                                                                                                                                                                                                                                                                                                                                                                                                                                                                                                                                                                                                                                                                                                                                                                                                                                                                                                                                                                                                                                                                           | 2.40                                                                                                                                                                                                                                                                                                                                                                                                                                                                                                                                                                                                                                                                                                                                                                                                                                                                                                                                                                                                                                                                                                                                                                                                                                                                                                                                                                                                                                                                                                                                                                                                                                                                                                                                                                                                                                                                                                                                                                                                                                                                                                                                                                                                                                                                                                                                                                                                                                                                                                                                                                                                                                                                                                                                 | 2.50 2.40<br>4.30 4.10                                                                                                                                                                                                                                                                                                                                                                                                                                                                                                                                                                                                                                                                                                                                                                                                                                                                                                                                                                                                                                                                                                                                                                                                                                                                                                                                                                                                                                                                                                                                                                                                                                                                                                                                                                                                                                                                                                                                                                                                                                                                                                                                                                                                                                                                                                                                                                                                                                                                                                                                                                                                                                                                                                                                                                                                                                                                                                                                                             | 2.45                                                                                                                                                                                                                                                                                                                                                                                                                                                                                                                                                                                                                                                                                                                                                                                                                                                                                                                                                                                                                                                                                                                                                                                                                                                                                                                                                                                                                                                                                                                                                                                                                                                                                                                                                                                                                                                                                                                                                                                                                                                                                                                                                                                                                                                                                                                                                                                                                                                                                                                                                                                                                                                                                                                                                                                                                                                                                                                                                                                                                                     | +0.05                                                                                                                                                                                                                                                                                                                                                                                                                                                                                                                                                                                                                                                                                                                                                                                                                                                                                                                                                                                                                                                                                                                                                                                                                                                                                                                                                                                                                                                                                                                                                                                                                                                                                                                                                                                                                                                                                                                                                                                                                                                                                                                                                                                                                                                                                                                                                                                                                                                                                                                                                                                                                                                                                                                                                                                                                                  | 136,000                                                                                                                                                                                                                                                                                                                                                                                                                                                                                                                                                                                                                                                                                                                                                                                                                                                                                                                                                                                                                                                                                                                                                                                                                                                                                                                                                                                                                                                                                                                                                                                                                                                                                                                                                                                                                                                                                                                                                                                                                                                                                                                        | 13.98                                                                                                                                                                                                                                                                                                                                                                                                                                                                                                                                                                                                                                                                                                                                                                                                                                                                                                                                                                                                                                                                                                                                                                                                                                                                                                                                                                                                                                                                                                                                                                                                                                                                                                                                                                                                                                                                                                                                                                                                                                                                                                                                                                                                                                                                                                                                                                                                                                                                                                                                                                                                                                                                                                                   |
|                                                                                                                      | (P) 医自動性                                                                                                                                                                                                                                                                                                                                                                                                                                                                                                                                                                                                                                                                                                                                                                                                                                                                                                                                                                                                                                                                                                                                                                                                                                                                                                                                                                                                                                                                                                                                                                                                                                                                                                                                                                                                                                                                                                                                                                                                                                                                                                                      | 0.93 0.94                                                                                                                                                                                                                                                                                                                                                                                                                                                                                                                                                                                                                                                                                                                                                                                                                                                                                                                                                                                                                                                                                                                                                                                                                                                                                                                                                                                                                                                                                                                                                                                                                                                                                                                                                                                                                                                                                                                                                                                                                                                                                                                                                                                                                                                                                                                                                                                                                                                                                                                                                                                                                                                                                                                            | 1,00 0,93                                                                                                                                                                                                                                                                                                                                                                                                                                                                                                                                                                                                                                                                                                                                                                                                                                                                                                                                                                                                                                                                                                                                                                                                                                                                                                                                                                                                                                                                                                                                                                                                                                                                                                                                                                                                                                                                                                                                                                                                                                                                                                                                                                                                                                                                                                                                                                                                                                                                                                                                                                                                                                                                                                                                                                                                                                                                                                                                                                          | 0.94                                                                                                                                                                                                                                                                                                                                                                                                                                                                                                                                                                                                                                                                                                                                                                                                                                                                                                                                                                                                                                                                                                                                                                                                                                                                                                                                                                                                                                                                                                                                                                                                                                                                                                                                                                                                                                                                                                                                                                                                                                                                                                                                                                                                                                                                                                                                                                                                                                                                                                                                                                                                                                                                                                                                                                                                                                                                                                                                                                                                                                     | +0.02                                                                                                                                                                                                                                                                                                                                                                                                                                                                                                                                                                                                                                                                                                                                                                                                                                                                                                                                                                                                                                                                                                                                                                                                                                                                                                                                                                                                                                                                                                                                                                                                                                                                                                                                                                                                                                                                                                                                                                                                                                                                                                                                                                                                                                                                                                                                                                                                                                                                                                                                                                                                                                                                                                                                                                                                                                  | 1,208,000                                                                                                                                                                                                                                                                                                                                                                                                                                                                                                                                                                                                                                                                                                                                                                                                                                                                                                                                                                                                                                                                                                                                                                                                                                                                                                                                                                                                                                                                                                                                                                                                                                                                                                                                                                                                                                                                                                                                                                                                                                                                                                                      |                                                                                                                                                                                                                                                                                                                                                                                                                                                                                                                                                                                                                                                                                                                                                                                                                                                                                                                                                                                                                                                                                                                                                                                                                                                                                                                                                                                                                                                                                                                                                                                                                                                                                                                                                                                                                                                                                                                                                                                                                                                                                                                                                                                                                                                                                                                                                                                                                                                                                                                                                                                                                                                                                                                         |
|                                                                                                                      | 36. 通压管 ( )<br>( ) 左科伯达                                                                                                                                                                                                                                                                                                                                                                                                                                                                                                                                                                                                                                                                                                                                                                                                                                                                                                                                                                                                                                                                                                                                                                                                                                                                                                                                                                                                                                                                                                                                                                                                                                                                                                                                                                                                                                                                                                                                                                                                                                                                                                       | 0.39 0.40                                                                                                                                                                                                                                                                                                                                                                                                                                                                                                                                                                                                                                                                                                                                                                                                                                                                                                                                                                                                                                                                                                                                                                                                                                                                                                                                                                                                                                                                                                                                                                                                                                                                                                                                                                                                                                                                                                                                                                                                                                                                                                                                                                                                                                                                                                                                                                                                                                                                                                                                                                                                                                                                                                                            | 0.43 0,37                                                                                                                                                                                                                                                                                                                                                                                                                                                                                                                                                                                                                                                                                                                                                                                                                                                                                                                                                                                                                                                                                                                                                                                                                                                                                                                                                                                                                                                                                                                                                                                                                                                                                                                                                                                                                                                                                                                                                                                                                                                                                                                                                                                                                                                                                                                                                                                                                                                                                                                                                                                                                                                                                                                                                                                                                                                                                                                                                                          | 0.40                                                                                                                                                                                                                                                                                                                                                                                                                                                                                                                                                                                                                                                                                                                                                                                                                                                                                                                                                                                                                                                                                                                                                                                                                                                                                                                                                                                                                                                                                                                                                                                                                                                                                                                                                                                                                                                                                                                                                                                                                                                                                                                                                                                                                                                                                                                                                                                                                                                                                                                                                                                                                                                                                                                                                                                                                                                                                                                                                                                                                                     | -0.01                                                                                                                                                                                                                                                                                                                                                                                                                                                                                                                                                                                                                                                                                                                                                                                                                                                                                                                                                                                                                                                                                                                                                                                                                                                                                                                                                                                                                                                                                                                                                                                                                                                                                                                                                                                                                                                                                                                                                                                                                                                                                                                                                                                                                                                                                                                                                                                                                                                                                                                                                                                                                                                                                                                                                                                                                                  | 1,704,000                                                                                                                                                                                                                                                                                                                                                                                                                                                                                                                                                                                                                                                                                                                                                                                                                                                                                                                                                                                                                                                                                                                                                                                                                                                                                                                                                                                                                                                                                                                                                                                                                                                                                                                                                                                                                                                                                                                                                                                                                                                                                                                      |                                                                                                                                                                                                                                                                                                                                                                                                                                                                                                                                                                                                                                                                                                                                                                                                                                                                                                                                                                                                                                                                                                                                                                                                                                                                                                                                                                                                                                                                                                                                                                                                                                                                                                                                                                                                                                                                                                                                                                                                                                                                                                                                                                                                                                                                                                                                                                                                                                                                                                                                                                                                                                                                                                                         |
|                                                                                                                      | 196                                                                                                                                                                                                                                                                                                                                                                                                                                                                                                                                                                                                                                                                                                                                                                                                                                                                                                                                                                                                                                                                                                                                                                                                                                                                                                                                                                                                                                                                                                                                                                                                                                                                                                                                                                                                                                                                                                                                                                                                                                                                                                                           | 1.66 1.68<br>0.66 0.68                                                                                                                                                                                                                                                                                                                                                                                                                                                                                                                                                                                                                                                                                                                                                                                                                                                                                                                                                                                                                                                                                                                                                                                                                                                                                                                                                                                                                                                                                                                                                                                                                                                                                                                                                                                                                                                                                                                                                                                                                                                                                                                                                                                                                                                                                                                                                                                                                                                                                                                                                                                                                                                                                                               | 1.72 1.67<br>0.70 0.68                                                                                                                                                                                                                                                                                                                                                                                                                                                                                                                                                                                                                                                                                                                                                                                                                                                                                                                                                                                                                                                                                                                                                                                                                                                                                                                                                                                                                                                                                                                                                                                                                                                                                                                                                                                                                                                                                                                                                                                                                                                                                                                                                                                                                                                                                                                                                                                                                                                                                                                                                                                                                                                                                                                                                                                                                                                                                                                                                             | 1.67<br>0.68                                                                                                                                                                                                                                                                                                                                                                                                                                                                                                                                                                                                                                                                                                                                                                                                                                                                                                                                                                                                                                                                                                                                                                                                                                                                                                                                                                                                                                                                                                                                                                                                                                                                                                                                                                                                                                                                                                                                                                                                                                                                                                                                                                                                                                                                                                                                                                                                                                                                                                                                                                                                                                                                                                                                                                                                                                                                                                                                                                                                                             | +0-01                                                                                                                                                                                                                                                                                                                                                                                                                                                                                                                                                                                                                                                                                                                                                                                                                                                                                                                                                                                                                                                                                                                                                                                                                                                                                                                                                                                                                                                                                                                                                                                                                                                                                                                                                                                                                                                                                                                                                                                                                                                                                                                                                                                                                                                                                                                                                                                                                                                                                                                                                                                                                                                                                                                                                                                                                                  | 1,372,000<br>206,000                                                                                                                                                                                                                                                                                                                                                                                                                                                                                                                                                                                                                                                                                                                                                                                                                                                                                                                                                                                                                                                                                                                                                                                                                                                                                                                                                                                                                                                                                                                                                                                                                                                                                                                                                                                                                                                                                                                                                                                                                                                                                                           |                                                                                                                                                                                                                                                                                                                                                                                                                                                                                                                                                                                                                                                                                                                                                                                                                                                                                                                                                                                                                                                                                                                                                                                                                                                                                                                                                                                                                                                                                                                                                                                                                                                                                                                                                                                                                                                                                                                                                                                                                                                                                                                                                                                                                                                                                                                                                                                                                                                                                                                                                                                                                                                                                                                         |
|                                                                                                                      | 142 番美笔服                                                                                                                                                                                                                                                                                                                                                                                                                                                                                                                                                                                                                                                                                                                                                                                                                                                                                                                                                                                                                                                                                                                                                                                                                                                                                                                                                                                                                                                                                                                                                                                                                                                                                                                                                                                                                                                                                                                                                                                                                                                                                                                      |                                                                                                                                                                                                                                                                                                                                                                                                                                                                                                                                                                                                                                                                                                                                                                                                                                                                                                                                                                                                                                                                                                                                                                                                                                                                                                                                                                                                                                                                                                                                                                                                                                                                                                                                                                                                                                                                                                                                                                                                                                                                                                                                                                                                                                                                                                                                                                                                                                                                                                                                                                                                                                                                                                                                      |                                                                                                                                                                                                                                                                                                                                                                                                                                                                                                                                                                                                                                                                                                                                                                                                                                                                                                                                                                                                                                                                                                                                                                                                                                                                                                                                                                                                                                                                                                                                                                                                                                                                                                                                                                                                                                                                                                                                                                                                                                                                                                                                                                                                                                                                                                                                                                                                                                                                                                                                                                                                                                                                                                                                                                                                                                                                                                                                                                                    |                                                                                                                                                                                                                                                                                                                                                                                                                                                                                                                                                                                                                                                                                                                                                                                                                                                                                                                                                                                                                                                                                                                                                                                                                                                                                                                                                                                                                                                                                                                                                                                                                                                                                                                                                                                                                                                                                                                                                                                                                                                                                                                                                                                                                                                                                                                                                                                                                                                                                                                                                                                                                                                                                                                                                                                                                                                                                                                                                                                                                                          |                                                                                                                                                                                                                                                                                                                                                                                                                                                                                                                                                                                                                                                                                                                                                                                                                                                                                                                                                                                                                                                                                                                                                                                                                                                                                                                                                                                                                                                                                                                                                                                                                                                                                                                                                                                                                                                                                                                                                                                                                                                                                                                                                                                                                                                                                                                                                                                                                                                                                                                                                                                                                                                                                                                                                                                                                                        |                                                                                                                                                                                                                                                                                                                                                                                                                                                                                                                                                                                                                                                                                                                                                                                                                                                                                                                                                                                                                                                                                                                                                                                                                                                                                                                                                                                                                                                                                                                                                                                                                                                                                                                                                                                                                                                                                                                                                                                                                                                                                                                                |                                                                                                                                                                                                                                                                                                                                                                                                                                                                                                                                                                                                                                                                                                                                                                                                                                                                                                                                                                                                                                                                                                                                                                                                                                                                                                                                                                                                                                                                                                                                                                                                                                                                                                                                                                                                                                                                                                                                                                                                                                                                                                                                                                                                                                                                                                                                                                                                                                                                                                                                                                                                                                                                                                                         |
|                                                                                                                      |                                                                                                                                                                                                                                                                                                                                                                                                                                                                                                                                                                                                                                                                                                                                                                                                                                                                                                                                                                                                                                                                                                                                                                                                                                                                                                                                                                                                                                                                                                                                                                                                                                                                                                                                                                                                                                                                                                                                                                                                                                                                                                                               |                                                                                                                                                                                                                                                                                                                                                                                                                                                                                                                                                                                                                                                                                                                                                                                                                                                                                                                                                                                                                                                                                                                                                                                                                                                                                                                                                                                                                                                                                                                                                                                                                                                                                                                                                                                                                                                                                                                                                                                                                                                                                                                                                                                                                                                                                                                                                                                                                                                                                                                                                                                                                                                                                                                                      |                                                                                                                                                                                                                                                                                                                                                                                                                                                                                                                                                                                                                                                                                                                                                                                                                                                                                                                                                                                                                                                                                                                                                                                                                                                                                                                                                                                                                                                                                                                                                                                                                                                                                                                                                                                                                                                                                                                                                                                                                                                                                                                                                                                                                                                                                                                                                                                                                                                                                                                                                                                                                                                                                                                                                                                                                                                                                                                                                                                    |                                                                                                                                                                                                                                                                                                                                                                                                                                                                                                                                                                                                                                                                                                                                                                                                                                                                                                                                                                                                                                                                                                                                                                                                                                                                                                                                                                                                                                                                                                                                                                                                                                                                                                                                                                                                                                                                                                                                                                                                                                                                                                                                                                                                                                                                                                                                                                                                                                                                                                                                                                                                                                                                                                                                                                                                                                                                                                                                                                                                                                          | ļ                                                                                                                                                                                                                                                                                                                                                                                                                                                                                                                                                                                                                                                                                                                                                                                                                                                                                                                                                                                                                                                                                                                                                                                                                                                                                                                                                                                                                                                                                                                                                                                                                                                                                                                                                                                                                                                                                                                                                                                                                                                                                                                                                                                                                                                                                                                                                                                                                                                                                                                                                                                                                                                                                                                                                                                                                                      |                                                                                                                                                                                                                                                                                                                                                                                                                                                                                                                                                                                                                                                                                                                                                                                                                                                                                                                                                                                                                                                                                                                                                                                                                                                                                                                                                                                                                                                                                                                                                                                                                                                                                                                                                                                                                                                                                                                                                                                                                                                                                                                                |                                                                                                                                                                                                                                                                                                                                                                                                                                                                                                                                                                                                                                                                                                                                                                                                                                                                                                                                                                                                                                                                                                                                                                                                                                                                                                                                                                                                                                                                                                                                                                                                                                                                                                                                                                                                                                                                                                                                                                                                                                                                                                                                                                                                                                                                                                                                                                                                                                                                                                                                                                                                                                                                                                                         |
|                                                                                                                      |                                                                                                                                                                                                                                                                                                                                                                                                                                                                                                                                                                                                                                                                                                                                                                                                                                                                                                                                                                                                                                                                                                                                                                                                                                                                                                                                                                                                                                                                                                                                                                                                                                                                                                                                                                                                                                                                                                                                                                                                                                                                                                                               |                                                                                                                                                                                                                                                                                                                                                                                                                                                                                                                                                                                                                                                                                                                                                                                                                                                                                                                                                                                                                                                                                                                                                                                                                                                                                                                                                                                                                                                                                                                                                                                                                                                                                                                                                                                                                                                                                                                                                                                                                                                                                                                                                                                                                                                                                                                                                                                                                                                                                                                                                                                                                                                                                                                                      |                                                                                                                                                                                                                                                                                                                                                                                                                                                                                                                                                                                                                                                                                                                                                                                                                                                                                                                                                                                                                                                                                                                                                                                                                                                                                                                                                                                                                                                                                                                                                                                                                                                                                                                                                                                                                                                                                                                                                                                                                                                                                                                                                                                                                                                                                                                                                                                                                                                                                                                                                                                                                                                                                                                                                                                                                                                                                                                                                                                    |                                                                                                                                                                                                                                                                                                                                                                                                                                                                                                                                                                                                                                                                                                                                                                                                                                                                                                                                                                                                                                                                                                                                                                                                                                                                                                                                                                                                                                                                                                                                                                                                                                                                                                                                                                                                                                                                                                                                                                                                                                                                                                                                                                                                                                                                                                                                                                                                                                                                                                                                                                                                                                                                                                                                                                                                                                                                                                                                                                                                                                          | ,                                                                                                                                                                                                                                                                                                                                                                                                                                                                                                                                                                                                                                                                                                                                                                                                                                                                                                                                                                                                                                                                                                                                                                                                                                                                                                                                                                                                                                                                                                                                                                                                                                                                                                                                                                                                                                                                                                                                                                                                                                                                                                                                                                                                                                                                                                                                                                                                                                                                                                                                                                                                                                                                                                                                                                                                                                      | l<br>V g m s s s s s                                                                                                                                                                                                                                                                                                                                                                                                                                                                                                                                                                                                                                                                                                                                                                                                                                                                                                                                                                                                                                                                                                                                                                                                                                                                                                                                                                                                                                                                                                                                                                                                                                                                                                                                                                                                                                                                                                                                                                                                                                                                                                           | The state of the s                                                                                                                                                                                                                                                                                                                                                                                                                                                                                                                                                                                          |
|                                                                                                                      | X 44 10 12                                                                                                                                                                                                                                                                                                                                                                                                                                                                                                                                                                                                                                                                                                                                                                                                                                                                                                                                                                                                                                                                                                                                                                                                                                                                                                                                                                                                                                                                                                                                                                                                                                                                                                                                                                                                                                                                                                                                                                                                                                                                                                                    | 10,50 10,60                                                                                                                                                                                                                                                                                                                                                                                                                                                                                                                                                                                                                                                                                                                                                                                                                                                                                                                                                                                                                                                                                                                                                                                                                                                                                                                                                                                                                                                                                                                                                                                                                                                                                                                                                                                                                                                                                                                                                                                                                                                                                                                                                                                                                                                                                                                                                                                                                                                                                                                                                                                                                                                                                                                          | 10.70 10.50                                                                                                                                                                                                                                                                                                                                                                                                                                                                                                                                                                                                                                                                                                                                                                                                                                                                                                                                                                                                                                                                                                                                                                                                                                                                                                                                                                                                                                                                                                                                                                                                                                                                                                                                                                                                                                                                                                                                                                                                                                                                                                                                                                                                                                                                                                                                                                                                                                                                                                                                                                                                                                                                                                                                                                                                                                                                                                                                                                        | 10,50                                                                                                                                                                                                                                                                                                                                                                                                                                                                                                                                                                                                                                                                                                                                                                                                                                                                                                                                                                                                                                                                                                                                                                                                                                                                                                                                                                                                                                                                                                                                                                                                                                                                                                                                                                                                                                                                                                                                                                                                                                                                                                                                                                                                                                                                                                                                                                                                                                                                                                                                                                                                                                                                                                                                                                                                                                                                                                                                                                                                                                    | -0.30                                                                                                                                                                                                                                                                                                                                                                                                                                                                                                                                                                                                                                                                                                                                                                                                                                                                                                                                                                                                                                                                                                                                                                                                                                                                                                                                                                                                                                                                                                                                                                                                                                                                                                                                                                                                                                                                                                                                                                                                                                                                                                                                                                                                                                                                                                                                                                                                                                                                                                                                                                                                                                                                                                                                                                                                                                  | 16,000                                                                                                                                                                                                                                                                                                                                                                                                                                                                                                                                                                                                                                                                                                                                                                                                                                                                                                                                                                                                                                                                                                                                                                                                                                                                                                                                                                                                                                                                                                                                                                                                                                                                                                                                                                                                                                                                                                                                                                                                                                                                                                                         | 24.97 3.81                                                                                                                                                                                                                                                                                                                                                                                                                                                                                                                                                                                                                                                                                                                                                                                                                                                                                                                                                                                                                                                                                                                                                                                                                                                                                                                                                                                                                                                                                                                                                                                                                                                                                                                                                                                                                                                                                                                                                                                                                                                                                                                                                                                                                                                                                                                                                                                                                                                                                                                                                                                                                                                                                                              |
|                                                                                                                      | 54 香港飞跃                                                                                                                                                                                                                                                                                                                                                                                                                                                                                                                                                                                                                                                                                                                                                                                                                                                                                                                                                                                                                                                                                                                                                                                                                                                                                                                                                                                                                                                                                                                                                                                                                                                                                                                                                                                                                                                                                                                                                                                                                                                                                                                       | 3-75                                                                                                                                                                                                                                                                                                                                                                                                                                                                                                                                                                                                                                                                                                                                                                                                                                                                                                                                                                                                                                                                                                                                                                                                                                                                                                                                                                                                                                                                                                                                                                                                                                                                                                                                                                                                                                                                                                                                                                                                                                                                                                                                                                                                                                                                                                                                                                                                                                                                                                                                                                                                                                                                                                                                 | 3.75 3.70                                                                                                                                                                                                                                                                                                                                                                                                                                                                                                                                                                                                                                                                                                                                                                                                                                                                                                                                                                                                                                                                                                                                                                                                                                                                                                                                                                                                                                                                                                                                                                                                                                                                                                                                                                                                                                                                                                                                                                                                                                                                                                                                                                                                                                                                                                                                                                                                                                                                                                                                                                                                                                                                                                                                                                                                                                                                                                                                                                          | 3, 75                                                                                                                                                                                                                                                                                                                                                                                                                                                                                                                                                                                                                                                                                                                                                                                                                                                                                                                                                                                                                                                                                                                                                                                                                                                                                                                                                                                                                                                                                                                                                                                                                                                                                                                                                                                                                                                                                                                                                                                                                                                                                                                                                                                                                                                                                                                                                                                                                                                                                                                                                                                                                                                                                                                                                                                                                                                                                                                                                                                                                                    | -0.30                                                                                                                                                                                                                                                                                                                                                                                                                                                                                                                                                                                                                                                                                                                                                                                                                                                                                                                                                                                                                                                                                                                                                                                                                                                                                                                                                                                                                                                                                                                                                                                                                                                                                                                                                                                                                                                                                                                                                                                                                                                                                                                                                                                                                                                                                                                                                                                                                                                                                                                                                                                                                                                                                                                                                                                                                                  | 12,000                                                                                                                                                                                                                                                                                                                                                                                                                                                                                                                                                                                                                                                                                                                                                                                                                                                                                                                                                                                                                                                                                                                                                                                                                                                                                                                                                                                                                                                                                                                                                                                                                                                                                                                                                                                                                                                                                                                                                                                                                                                                                                                         | 5.00 5.33                                                                                                                                                                                                                                                                                                                                                                                                                                                                                                                                                                                                                                                                                                                                                                                                                                                                                                                                                                                                                                                                                                                                                                                                                                                                                                                                                                                                                                                                                                                                                                                                                                                                                                                                                                                                                                                                                                                                                                                                                                                                                                                                                                                                                                                                                                                                                                                                                                                                                                                                                                                                                                                                                                               |
|                                                                                                                      | 82 直见,印录<br>七 解新教化                                                                                                                                                                                                                                                                                                                                                                                                                                                                                                                                                                                                                                                                                                                                                                                                                                                                                                                                                                                                                                                                                                                                                                                                                                                                                                                                                                                                                                                                                                                                                                                                                                                                                                                                                                                                                                                                                                                                                                                                                                                                                                            | 2.60 2.675<br>3.075                                                                                                                                                                                                                                                                                                                                                                                                                                                                                                                                                                                                                                                                                                                                                                                                                                                                                                                                                                                                                                                                                                                                                                                                                                                                                                                                                                                                                                                                                                                                                                                                                                                                                                                                                                                                                                                                                                                                                                                                                                                                                                                                                                                                                                                                                                                                                                                                                                                                                                                                                                                                                                                                                                                  | 3.10 3.02                                                                                                                                                                                                                                                                                                                                                                                                                                                                                                                                                                                                                                                                                                                                                                                                                                                                                                                                                                                                                                                                                                                                                                                                                                                                                                                                                                                                                                                                                                                                                                                                                                                                                                                                                                                                                                                                                                                                                                                                                                                                                                                                                                                                                                                                                                                                                                                                                                                                                                                                                                                                                                                                                                                                                                                                                                                                                                                                                                          |                                                                                                                                                                                                                                                                                                                                                                                                                                                                                                                                                                                                                                                                                                                                                                                                                                                                                                                                                                                                                                                                                                                                                                                                                                                                                                                                                                                                                                                                                                                                                                                                                                                                                                                                                                                                                                                                                                                                                                                                                                                                                                                                                                                                                                                                                                                                                                                                                                                                                                                                                                                                                                                                                                                                                                                                                                                                                                                                                                                                                                          | _                                                                                                                                                                                                                                                                                                                                                                                                                                                                                                                                                                                                                                                                                                                                                                                                                                                                                                                                                                                                                                                                                                                                                                                                                                                                                                                                                                                                                                                                                                                                                                                                                                                                                                                                                                                                                                                                                                                                                                                                                                                                                                                                                                                                                                                                                                                                                                                                                                                                                                                                                                                                                                                                                                                                                                                                                                      | 190,000<br>1,898,000                                                                                                                                                                                                                                                                                                                                                                                                                                                                                                                                                                                                                                                                                                                                                                                                                                                                                                                                                                                                                                                                                                                                                                                                                                                                                                                                                                                                                                                                                                                                                                                                                                                                                                                                                                                                                                                                                                                                                                                                                                                                                                           | 0.93 103.77<br>17.63 3.23                                                                                                                                                                                                                                                                                                                                                                                                                                                                                                                                                                                                                                                                                                                                                                                                                                                                                                                                                                                                                                                                                                                                                                                                                                                                                                                                                                                                                                                                                                                                                                                                                                                                                                                                                                                                                                                                                                                                                                                                                                                                                                                                                                                                                                                                                                                                                                                                                                                                                                                                                                                                                                                                                               |
|                                                                                                                      | 34 箱氏計算<br>注 直對紡績                                                                                                                                                                                                                                                                                                                                                                                                                                                                                                                                                                                                                                                                                                                                                                                                                                                                                                                                                                                                                                                                                                                                                                                                                                                                                                                                                                                                                                                                                                                                                                                                                                                                                                                                                                                                                                                                                                                                                                                                                                                                                                             | 0.75 0.77<br>7.00 7.05                                                                                                                                                                                                                                                                                                                                                                                                                                                                                                                                                                                                                                                                                                                                                                                                                                                                                                                                                                                                                                                                                                                                                                                                                                                                                                                                                                                                                                                                                                                                                                                                                                                                                                                                                                                                                                                                                                                                                                                                                                                                                                                                                                                                                                                                                                                                                                                                                                                                                                                                                                                                                                                                                                               | 0.82 0.74<br>7.15 6.90                                                                                                                                                                                                                                                                                                                                                                                                                                                                                                                                                                                                                                                                                                                                                                                                                                                                                                                                                                                                                                                                                                                                                                                                                                                                                                                                                                                                                                                                                                                                                                                                                                                                                                                                                                                                                                                                                                                                                                                                                                                                                                                                                                                                                                                                                                                                                                                                                                                                                                                                                                                                                                                                                                                                                                                                                                                                                                                                                             | 0,77<br>7 <b>.05</b>                                                                                                                                                                                                                                                                                                                                                                                                                                                                                                                                                                                                                                                                                                                                                                                                                                                                                                                                                                                                                                                                                                                                                                                                                                                                                                                                                                                                                                                                                                                                                                                                                                                                                                                                                                                                                                                                                                                                                                                                                                                                                                                                                                                                                                                                                                                                                                                                                                                                                                                                                                                                                                                                                                                                                                                                                                                                                                                                                                                                                     | +0.03                                                                                                                                                                                                                                                                                                                                                                                                                                                                                                                                                                                                                                                                                                                                                                                                                                                                                                                                                                                                                                                                                                                                                                                                                                                                                                                                                                                                                                                                                                                                                                                                                                                                                                                                                                                                                                                                                                                                                                                                                                                                                                                                                                                                                                                                                                                                                                                                                                                                                                                                                                                                                                                                                                                                                                                                                                  | 21,750,000<br>1,020,000                                                                                                                                                                                                                                                                                                                                                                                                                                                                                                                                                                                                                                                                                                                                                                                                                                                                                                                                                                                                                                                                                                                                                                                                                                                                                                                                                                                                                                                                                                                                                                                                                                                                                                                                                                                                                                                                                                                                                                                                                                                                                                        | 6.77 7,79<br>3,41 11,35                                                                                                                                                                                                                                                                                                                                                                                                                                                                                                                                                                                                                                                                                                                                                                                                                                                                                                                                                                                                                                                                                                                                                                                                                                                                                                                                                                                                                                                                                                                                                                                                                                                                                                                                                                                                                                                                                                                                                                                                                                                                                                                                                                                                                                                                                                                                                                                                                                                                                                                                                                                                                                                                                                 |
| 2                                                                                                                    | 12 雇并约翰(GPC)<br>78 永新企业                                                                                                                                                                                                                                                                                                                                                                                                                                                                                                                                                                                                                                                                                                                                                                                                                                                                                                                                                                                                                                                                                                                                                                                                                                                                                                                                                                                                                                                                                                                                                                                                                                                                                                                                                                                                                                                                                                                                                                                                                                                                                                       | 1                                                                                                                                                                                                                                                                                                                                                                                                                                                                                                                                                                                                                                                                                                                                                                                                                                                                                                                                                                                                                                                                                                                                                                                                                                                                                                                                                                                                                                                                                                                                                                                                                                                                                                                                                                                                                                                                                                                                                                                                                                                                                                                                                                                                                                                                                                                                                                                                                                                                                                                                                                                                                                                                                                                                    | 1.70 1.60                                                                                                                                                                                                                                                                                                                                                                                                                                                                                                                                                                                                                                                                                                                                                                                                                                                                                                                                                                                                                                                                                                                                                                                                                                                                                                                                                                                                                                                                                                                                                                                                                                                                                                                                                                                                                                                                                                                                                                                                                                                                                                                                                                                                                                                                                                                                                                                                                                                                                                                                                                                                                                                                                                                                                                                                                                                                                                                                                                          | 1.61                                                                                                                                                                                                                                                                                                                                                                                                                                                                                                                                                                                                                                                                                                                                                                                                                                                                                                                                                                                                                                                                                                                                                                                                                                                                                                                                                                                                                                                                                                                                                                                                                                                                                                                                                                                                                                                                                                                                                                                                                                                                                                                                                                                                                                                                                                                                                                                                                                                                                                                                                                                                                                                                                                                                                                                                                                                                                                                                                                                                                                     | +0.02                                                                                                                                                                                                                                                                                                                                                                                                                                                                                                                                                                                                                                                                                                                                                                                                                                                                                                                                                                                                                                                                                                                                                                                                                                                                                                                                                                                                                                                                                                                                                                                                                                                                                                                                                                                                                                                                                                                                                                                                                                                                                                                                                                                                                                                                                                                                                                                                                                                                                                                                                                                                                                                                                                                                                                                                                                  | 3,142,000                                                                                                                                                                                                                                                                                                                                                                                                                                                                                                                                                                                                                                                                                                                                                                                                                                                                                                                                                                                                                                                                                                                                                                                                                                                                                                                                                                                                                                                                                                                                                                                                                                                                                                                                                                                                                                                                                                                                                                                                                                                                                                                      | 5.03 4.97                                                                                                                                                                                                                                                                                                                                                                                                                                                                                                                                                                                                                                                                                                                                                                                                                                                                                                                                                                                                                                                                                                                                                                                                                                                                                                                                                                                                                                                                                                                                                                                                                                                                                                                                                                                                                                                                                                                                                                                                                                                                                                                                                                                                                                                                                                                                                                                                                                                                                                                                                                                                                                                                                                               |
| ı.                                                                                                                   | 河 投機計畫                                                                                                                                                                                                                                                                                                                                                                                                                                                                                                                                                                                                                                                                                                                                                                                                                                                                                                                                                                                                                                                                                                                                                                                                                                                                                                                                                                                                                                                                                                                                                                                                                                                                                                                                                                                                                                                                                                                                                                                                                                                                                                                        | 1.73                                                                                                                                                                                                                                                                                                                                                                                                                                                                                                                                                                                                                                                                                                                                                                                                                                                                                                                                                                                                                                                                                                                                                                                                                                                                                                                                                                                                                                                                                                                                                                                                                                                                                                                                                                                                                                                                                                                                                                                                                                                                                                                                                                                                                                                                                                                                                                                                                                                                                                                                                                                                                                                                                                                                 | 1.73 1.70                                                                                                                                                                                                                                                                                                                                                                                                                                                                                                                                                                                                                                                                                                                                                                                                                                                                                                                                                                                                                                                                                                                                                                                                                                                                                                                                                                                                                                                                                                                                                                                                                                                                                                                                                                                                                                                                                                                                                                                                                                                                                                                                                                                                                                                                                                                                                                                                                                                                                                                                                                                                                                                                                                                                                                                                                                                                                                                                                                          | 1.73                                                                                                                                                                                                                                                                                                                                                                                                                                                                                                                                                                                                                                                                                                                                                                                                                                                                                                                                                                                                                                                                                                                                                                                                                                                                                                                                                                                                                                                                                                                                                                                                                                                                                                                                                                                                                                                                                                                                                                                                                                                                                                                                                                                                                                                                                                                                                                                                                                                                                                                                                                                                                                                                                                                                                                                                                                                                                                                                                                                                                                     | +0,08                                                                                                                                                                                                                                                                                                                                                                                                                                                                                                                                                                                                                                                                                                                                                                                                                                                                                                                                                                                                                                                                                                                                                                                                                                                                                                                                                                                                                                                                                                                                                                                                                                                                                                                                                                                                                                                                                                                                                                                                                                                                                                                                                                                                                                                                                                                                                                                                                                                                                                                                                                                                                                                                                                                                                                                                                                  | 174,000                                                                                                                                                                                                                                                                                                                                                                                                                                                                                                                                                                                                                                                                                                                                                                                                                                                                                                                                                                                                                                                                                                                                                                                                                                                                                                                                                                                                                                                                                                                                                                                                                                                                                                                                                                                                                                                                                                                                                                                                                                                                                                                        | 7.76 0.58                                                                                                                                                                                                                                                                                                                                                                                                                                                                                                                                                                                                                                                                                                                                                                                                                                                                                                                                                                                                                                                                                                                                                                                                                                                                                                                                                                                                                                                                                                                                                                                                                                                                                                                                                                                                                                                                                                                                                                                                                                                                                                                                                                                                                                                                                                                                                                                                                                                                                                                                                                                                                                                                                                               |
| -                                                                                                                    | 4 9                                                                                                                                                                                                                                                                                                                                                                                                                                                                                                                                                                                                                                                                                                                                                                                                                                                                                                                                                                                                                                                                                                                                                                                                                                                                                                                                                                                                                                                                                                                                                                                                                                                                                                                                                                                                                                                                                                                                                                                                                                                                                                                           | 8.70 8.80                                                                                                                                                                                                                                                                                                                                                                                                                                                                                                                                                                                                                                                                                                                                                                                                                                                                                                                                                                                                                                                                                                                                                                                                                                                                                                                                                                                                                                                                                                                                                                                                                                                                                                                                                                                                                                                                                                                                                                                                                                                                                                                                                                                                                                                                                                                                                                                                                                                                                                                                                                                                                                                                                                                            | 22.30 22.10<br>8.60 8.60                                                                                                                                                                                                                                                                                                                                                                                                                                                                                                                                                                                                                                                                                                                                                                                                                                                                                                                                                                                                                                                                                                                                                                                                                                                                                                                                                                                                                                                                                                                                                                                                                                                                                                                                                                                                                                                                                                                                                                                                                                                                                                                                                                                                                                                                                                                                                                                                                                                                                                                                                                                                                                                                                                                                                                                                                                                                                                                                                           | 22.10<br>8.70                                                                                                                                                                                                                                                                                                                                                                                                                                                                                                                                                                                                                                                                                                                                                                                                                                                                                                                                                                                                                                                                                                                                                                                                                                                                                                                                                                                                                                                                                                                                                                                                                                                                                                                                                                                                                                                                                                                                                                                                                                                                                                                                                                                                                                                                                                                                                                                                                                                                                                                                                                                                                                                                                                                                                                                                                                                                                                                                                                                                                            | +0.10                                                                                                                                                                                                                                                                                                                                                                                                                                                                                                                                                                                                                                                                                                                                                                                                                                                                                                                                                                                                                                                                                                                                                                                                                                                                                                                                                                                                                                                                                                                                                                                                                                                                                                                                                                                                                                                                                                                                                                                                                                                                                                                                                                                                                                                                                                                                                                                                                                                                                                                                                                                                                                                                                                                                                                                                                                  | 50,000<br>3,000                                                                                                                                                                                                                                                                                                                                                                                                                                                                                                                                                                                                                                                                                                                                                                                                                                                                                                                                                                                                                                                                                                                                                                                                                                                                                                                                                                                                                                                                                                                                                                                                                                                                                                                                                                                                                                                                                                                                                                                                                                                                                                                | 11.37 11.40<br>5.18 14.37                                                                                                                                                                                                                                                                                                                                                                                                                                                                                                                                                                                                                                                                                                                                                                                                                                                                                                                                                                                                                                                                                                                                                                                                                                                                                                                                                                                                                                                                                                                                                                                                                                                                                                                                                                                                                                                                                                                                                                                                                                                                                                                                                                                                                                                                                                                                                                                                                                                                                                                                                                                                                                                                                               |
|                                                                                                                      |                                                                                                                                                                                                                                                                                                                                                                                                                                                                                                                                                                                                                                                                                                                                                                                                                                                                                                                                                                                                                                                                                                                                                                                                                                                                                                                                                                                                                                                                                                                                                                                                                                                                                                                                                                                                                                                                                                                                                                                                                                                                                                                               | 5.00 5.10                                                                                                                                                                                                                                                                                                                                                                                                                                                                                                                                                                                                                                                                                                                                                                                                                                                                                                                                                                                                                                                                                                                                                                                                                                                                                                                                                                                                                                                                                                                                                                                                                                                                                                                                                                                                                                                                                                                                                                                                                                                                                                                                                                                                                                                                                                                                                                                                                                                                                                                                                                                                                                                                                                                            | 5.30 5.10                                                                                                                                                                                                                                                                                                                                                                                                                                                                                                                                                                                                                                                                                                                                                                                                                                                                                                                                                                                                                                                                                                                                                                                                                                                                                                                                                                                                                                                                                                                                                                                                                                                                                                                                                                                                                                                                                                                                                                                                                                                                                                                                                                                                                                                                                                                                                                                                                                                                                                                                                                                                                                                                                                                                                                                                                                                                                                                                                                          | 5,10                                                                                                                                                                                                                                                                                                                                                                                                                                                                                                                                                                                                                                                                                                                                                                                                                                                                                                                                                                                                                                                                                                                                                                                                                                                                                                                                                                                                                                                                                                                                                                                                                                                                                                                                                                                                                                                                                                                                                                                                                                                                                                                                                                                                                                                                                                                                                                                                                                                                                                                                                                                                                                                                                                                                                                                                                                                                                                                                                                                                                                     | -                                                                                                                                                                                                                                                                                                                                                                                                                                                                                                                                                                                                                                                                                                                                                                                                                                                                                                                                                                                                                                                                                                                                                                                                                                                                                                                                                                                                                                                                                                                                                                                                                                                                                                                                                                                                                                                                                                                                                                                                                                                                                                                                                                                                                                                                                                                                                                                                                                                                                                                                                                                                                                                                                                                                                                                                                                      | 61,000                                                                                                                                                                                                                                                                                                                                                                                                                                                                                                                                                                                                                                                                                                                                                                                                                                                                                                                                                                                                                                                                                                                                                                                                                                                                                                                                                                                                                                                                                                                                                                                                                                                                                                                                                                                                                                                                                                                                                                                                                                                                                                                         | 8.08 21.57                                                                                                                                                                                                                                                                                                                                                                                                                                                                                                                                                                                                                                                                                                                                                                                                                                                                                                                                                                                                                                                                                                                                                                                                                                                                                                                                                                                                                                                                                                                                                                                                                                                                                                                                                                                                                                                                                                                                                                                                                                                                                                                                                                                                                                                                                                                                                                                                                                                                                                                                                                                                                                                                                                              |
| 2                                                                                                                    | 98 19 12 H 2 (1) 1                                                                                                                                                                                                                                                                                                                                                                                                                                                                                                                                                                                                                                                                                                                                                                                                                                                                                                                                                                                                                                                                                                                                                                                                                                                                                                                                                                                                                                                                                                                                                                                                                                                                                                                                                                                                                                                                                                                                                                                                                                                                                                            | 7.75 7.50                                                                                                                                                                                                                                                                                                                                                                                                                                                                                                                                                                                                                                                                                                                                                                                                                                                                                                                                                                                                                                                                                                                                                                                                                                                                                                                                                                                                                                                                                                                                                                                                                                                                                                                                                                                                                                                                                                                                                                                                                                                                                                                                                                                                                                                                                                                                                                                                                                                                                                                                                                                                                                                                                                                            | 8.00 7.75                                                                                                                                                                                                                                                                                                                                                                                                                                                                                                                                                                                                                                                                                                                                                                                                                                                                                                                                                                                                                                                                                                                                                                                                                                                                                                                                                                                                                                                                                                                                                                                                                                                                                                                                                                                                                                                                                                                                                                                                                                                                                                                                                                                                                                                                                                                                                                                                                                                                                                                                                                                                                                                                                                                                                                                                                                                                                                                                                                          | 7.80                                                                                                                                                                                                                                                                                                                                                                                                                                                                                                                                                                                                                                                                                                                                                                                                                                                                                                                                                                                                                                                                                                                                                                                                                                                                                                                                                                                                                                                                                                                                                                                                                                                                                                                                                                                                                                                                                                                                                                                                                                                                                                                                                                                                                                                                                                                                                                                                                                                                                                                                                                                                                                                                                                                                                                                                                                                                                                                                                                                                                                     | +0.05                                                                                                                                                                                                                                                                                                                                                                                                                                                                                                                                                                                                                                                                                                                                                                                                                                                                                                                                                                                                                                                                                                                                                                                                                                                                                                                                                                                                                                                                                                                                                                                                                                                                                                                                                                                                                                                                                                                                                                                                                                                                                                                                                                                                                                                                                                                                                                                                                                                                                                                                                                                                                                                                                                                                                                                                                                  | 1,154,500                                                                                                                                                                                                                                                                                                                                                                                                                                                                                                                                                                                                                                                                                                                                                                                                                                                                                                                                                                                                                                                                                                                                                                                                                                                                                                                                                                                                                                                                                                                                                                                                                                                                                                                                                                                                                                                                                                                                                                                                                                                                                                                      | 8.79 9.62                                                                                                                                                                                                                                                                                                                                                                                                                                                                                                                                                                                                                                                                                                                                                                                                                                                                                                                                                                                                                                                                                                                                                                                                                                                                                                                                                                                                                                                                                                                                                                                                                                                                                                                                                                                                                                                                                                                                                                                                                                                                                                                                                                                                                                                                                                                                                                                                                                                                                                                                                                                                                                                                                                               |
| 4                                                                                                                    | 1. 《新四》(6<br>178 長江敦衣(6)                                                                                                                                                                                                                                                                                                                                                                                                                                                                                                                                                                                                                                                                                                                                                                                                                                                                                                                                                                                                                                                                                                                                                                                                                                                                                                                                                                                                                                                                                                                                                                                                                                                                                                                                                                                                                                                                                                                                                                                                                                                                                                      | 7.75 7.80<br>4.40 4.50                                                                                                                                                                                                                                                                                                                                                                                                                                                                                                                                                                                                                                                                                                                                                                                                                                                                                                                                                                                                                                                                                                                                                                                                                                                                                                                                                                                                                                                                                                                                                                                                                                                                                                                                                                                                                                                                                                                                                                                                                                                                                                                                                                                                                                                                                                                                                                                                                                                                                                                                                                                                                                                                                                               | 7.80 7.70<br>4.70 4.50                                                                                                                                                                                                                                                                                                                                                                                                                                                                                                                                                                                                                                                                                                                                                                                                                                                                                                                                                                                                                                                                                                                                                                                                                                                                                                                                                                                                                                                                                                                                                                                                                                                                                                                                                                                                                                                                                                                                                                                                                                                                                                                                                                                                                                                                                                                                                                                                                                                                                                                                                                                                                                                                                                                                                                                                                                                                                                                                                             | 7.75<br>4.50                                                                                                                                                                                                                                                                                                                                                                                                                                                                                                                                                                                                                                                                                                                                                                                                                                                                                                                                                                                                                                                                                                                                                                                                                                                                                                                                                                                                                                                                                                                                                                                                                                                                                                                                                                                                                                                                                                                                                                                                                                                                                                                                                                                                                                                                                                                                                                                                                                                                                                                                                                                                                                                                                                                                                                                                                                                                                                                                                                                                                             | +0.10                                                                                                                                                                                                                                                                                                                                                                                                                                                                                                                                                                                                                                                                                                                                                                                                                                                                                                                                                                                                                                                                                                                                                                                                                                                                                                                                                                                                                                                                                                                                                                                                                                                                                                                                                                                                                                                                                                                                                                                                                                                                                                                                                                                                                                                                                                                                                                                                                                                                                                                                                                                                                                                                                                                                                                                                                                  | 262,300<br>232,000                                                                                                                                                                                                                                                                                                                                                                                                                                                                                                                                                                                                                                                                                                                                                                                                                                                                                                                                                                                                                                                                                                                                                                                                                                                                                                                                                                                                                                                                                                                                                                                                                                                                                                                                                                                                                                                                                                                                                                                                                                                                                                             |                                                                                                                                                                                                                                                                                                                                                                                                                                                                                                                                                                                                                                                                                                                                                                                                                                                                                                                                                                                                                                                                                                                                                                                                                                                                                                                                                                                                                                                                                                                                                                                                                                                                                                                                                                                                                                                                                                                                                                                                                                                                                                                                                                                                                                                                                                                                                                                                                                                                                                                                                                                                                                                                                                                         |
|                                                                                                                      |                                                                                                                                                                                                                                                                                                                                                                                                                                                                                                                                                                                                                                                                                                                                                                                                                                                                                                                                                                                                                                                                                                                                                                                                                                                                                                                                                                                                                                                                                                                                                                                                                                                                                                                                                                                                                                                                                                                                                                                                                                                                                                                               |                                                                                                                                                                                                                                                                                                                                                                                                                                                                                                                                                                                                                                                                                                                                                                                                                                                                                                                                                                                                                                                                                                                                                                                                                                                                                                                                                                                                                                                                                                                                                                                                                                                                                                                                                                                                                                                                                                                                                                                                                                                                                                                                                                                                                                                                                                                                                                                                                                                                                                                                                                                                                                                                                                                                      | - 1, 1, 1, 1, 1, 1, 1, 1, 1, 1, 1, 1, 1,                                                                                                                                                                                                                                                                                                                                                                                                                                                                                                                                                                                                                                                                                                                                                                                                                                                                                                                                                                                                                                                                                                                                                                                                                                                                                                                                                                                                                                                                                                                                                                                                                                                                                                                                                                                                                                                                                                                                                                                                                                                                                                                                                                                                                                                                                                                                                                                                                                                                                                                                                                                                                                                                                                                                                                                                                                                                                                                                           | # V                                                                                                                                                                                                                                                                                                                                                                                                                                                                                                                                                                                                                                                                                                                                                                                                                                                                                                                                                                                                                                                                                                                                                                                                                                                                                                                                                                                                                                                                                                                                                                                                                                                                                                                                                                                                                                                                                                                                                                                                                                                                                                                                                                                                                                                                                                                                                                                                                                                                                                                                                                                                                                                                                                                                                                                                                                                                                                                                                                                                                                      | -0,20                                                                                                                                                                                                                                                                                                                                                                                                                                                                                                                                                                                                                                                                                                                                                                                                                                                                                                                                                                                                                                                                                                                                                                                                                                                                                                                                                                                                                                                                                                                                                                                                                                                                                                                                                                                                                                                                                                                                                                                                                                                                                                                                                                                                                                                                                                                                                                                                                                                                                                                                                                                                                                                                                                                                                                                                                                  |                                                                                                                                                                                                                                                                                                                                                                                                                                                                                                                                                                                                                                                                                                                                                                                                                                                                                                                                                                                                                                                                                                                                                                                                                                                                                                                                                                                                                                                                                                                                                                                                                                                                                                                                                                                                                                                                                                                                                                                                                                                                                                                                | ্টেডিন কং এই গাল্ <i>ড্</i> ডিয়                                                                                                                                                                                                                                                                                                                                                                                                                                                                                                                                                                                                                                                                                                                                                                                                                                                                                                                                                                                                                                                                                                                                                                                                                                                                                                                                                                                                                                                                                                                                                                                                                                                                                                                                                                                                                                                                                                                                                                                                                                                                                                                                                                                                                                                                                                                                                                                                                                                                                                                                                                                                                                                                                        |
|                                                                                                                      | AND THE RESERVE                                                                                                                                                                                                                                                                                                                                                                                                                                                                                                                                                                                                                                                                                                                                                                                                                                                                                                                                                                                                                                                                                                                                                                                                                                                                                                                                                                                                                                                                                                                                                                                                                                                                                                                                                                                                                                                                                                                                                                                                                                                                                                               |                                                                                                                                                                                                                                                                                                                                                                                                                                                                                                                                                                                                                                                                                                                                                                                                                                                                                                                                                                                                                                                                                                                                                                                                                                                                                                                                                                                                                                                                                                                                                                                                                                                                                                                                                                                                                                                                                                                                                                                                                                                                                                                                                                                                                                                                                                                                                                                                                                                                                                                                                                                                                                                                                                                                      | 1,141                                                                                                                                                                                                                                                                                                                                                                                                                                                                                                                                                                                                                                                                                                                                                                                                                                                                                                                                                                                                                                                                                                                                                                                                                                                                                                                                                                                                                                                                                                                                                                                                                                                                                                                                                                                                                                                                                                                                                                                                                                                                                                                                                                                                                                                                                                                                                                                                                                                                                                                                                                                                                                                                                                                                                                                                                                                                                                                                                                              |                                                                                                                                                                                                                                                                                                                                                                                                                                                                                                                                                                                                                                                                                                                                                                                                                                                                                                                                                                                                                                                                                                                                                                                                                                                                                                                                                                                                                                                                                                                                                                                                                                                                                                                                                                                                                                                                                                                                                                                                                                                                                                                                                                                                                                                                                                                                                                                                                                                                                                                                                                                                                                                                                                                                                                                                                                                                                                                                                                                                                                          | 1 .<br>2 % 4                                                                                                                                                                                                                                                                                                                                                                                                                                                                                                                                                                                                                                                                                                                                                                                                                                                                                                                                                                                                                                                                                                                                                                                                                                                                                                                                                                                                                                                                                                                                                                                                                                                                                                                                                                                                                                                                                                                                                                                                                                                                                                                                                                                                                                                                                                                                                                                                                                                                                                                                                                                                                                                                                                                                                                                                                           | regarded to the second                                                                                                                                                                                                                                                                                                                                                                                                                                                                                                                                                                                                                                                                                                                                                                                                                                                                                                                                                                                                                                                                                                                                                                                                                                                                                                                                                                                                                                                                                                                                                                                                                                                                                                                                                                                                                                                                                                                                                                                                                                                                                                         | The second secon                                                                                                                                                                                                                                                                                                                                                                                                                                                                                                                                                                                          |
|                                                                                                                      |                                                                                                                                                                                                                                                                                                                                                                                                                                                                                                                                                                                                                                                                                                                                                                                                                                                                                                                                                                                                                                                                                                                                                                                                                                                                                                                                                                                                                                                                                                                                                                                                                                                                                                                                                                                                                                                                                                                                                                                                                                                                                                                               | 1018<br>                                                                                                                                                                                                                                                                                                                                                                                                                                                                                                                                                                                                                                                                                                                                                                                                                                                                                                                                                                                                                                                                                                                                                                                                                                                                                                                                                                                                                                                                                                                                                                                                                                                                                                                                                                                                                                                                                                                                                                                                                                                                                                                                                                                                                                                                                                                                                                                                                                                                                                                                                                                                                                                                                                                             |                                                                                                                                                                                                                                                                                                                                                                                                                                                                                                                                                                                                                                                                                                                                                                                                                                                                                                                                                                                                                                                                                                                                                                                                                                                                                                                                                                                                                                                                                                                                                                                                                                                                                                                                                                                                                                                                                                                                                                                                                                                                                                                                                                                                                                                                                                                                                                                                                                                                                                                                                                                                                                                                                                                                                                                                                                                                                                                                                                                    | 1.18<br>3.275                                                                                                                                                                                                                                                                                                                                                                                                                                                                                                                                                                                                                                                                                                                                                                                                                                                                                                                                                                                                                                                                                                                                                                                                                                                                                                                                                                                                                                                                                                                                                                                                                                                                                                                                                                                                                                                                                                                                                                                                                                                                                                                                                                                                                                                                                                                                                                                                                                                                                                                                                                                                                                                                                                                                                                                                                                                                                                                                                                                                                            | +0,12                                                                                                                                                                                                                                                                                                                                                                                                                                                                                                                                                                                                                                                                                                                                                                                                                                                                                                                                                                                                                                                                                                                                                                                                                                                                                                                                                                                                                                                                                                                                                                                                                                                                                                                                                                                                                                                                                                                                                                                                                                                                                                                                                                                                                                                                                                                                                                                                                                                                                                                                                                                                                                                                                                                                                                                                                                  | 676,750<br>700,000                                                                                                                                                                                                                                                                                                                                                                                                                                                                                                                                                                                                                                                                                                                                                                                                                                                                                                                                                                                                                                                                                                                                                                                                                                                                                                                                                                                                                                                                                                                                                                                                                                                                                                                                                                                                                                                                                                                                                                                                                                                                                                             | 4.17 1.27<br>6.51 <b>5.</b> 50                                                                                                                                                                                                                                                                                                                                                                                                                                                                                                                                                                                                                                                                                                                                                                                                                                                                                                                                                                                                                                                                                                                                                                                                                                                                                                                                                                                                                                                                                                                                                                                                                                                                                                                                                                                                                                                                                                                                                                                                                                                                                                                                                                                                                                                                                                                                                                                                                                                                                                                                                                                                                                                                                          |
|                                                                                                                      | b' 4 (* # A                                                                                                                                                                                                                                                                                                                                                                                                                                                                                                                                                                                                                                                                                                                                                                                                                                                                                                                                                                                                                                                                                                                                                                                                                                                                                                                                                                                                                                                                                                                                                                                                                                                                                                                                                                                                                                                                                                                                                                                                                                                                                                                   | 5.10                                                                                                                                                                                                                                                                                                                                                                                                                                                                                                                                                                                                                                                                                                                                                                                                                                                                                                                                                                                                                                                                                                                                                                                                                                                                                                                                                                                                                                                                                                                                                                                                                                                                                                                                                                                                                                                                                                                                                                                                                                                                                                                                                                                                                                                                                                                                                                                                                                                                                                                                                                                                                                                                                                                                 | 辞版版。<br>6.90 8.05                                                                                                                                                                                                                                                                                                                                                                                                                                                                                                                                                                                                                                                                                                                                                                                                                                                                                                                                                                                                                                                                                                                                                                                                                                                                                                                                                                                                                                                                                                                                                                                                                                                                                                                                                                                                                                                                                                                                                                                                                                                                                                                                                                                                                                                                                                                                                                                                                                                                                                                                                                                                                                                                                                                                                                                                                                                                                                                                                                  | 8.10                                                                                                                                                                                                                                                                                                                                                                                                                                                                                                                                                                                                                                                                                                                                                                                                                                                                                                                                                                                                                                                                                                                                                                                                                                                                                                                                                                                                                                                                                                                                                                                                                                                                                                                                                                                                                                                                                                                                                                                                                                                                                                                                                                                                                                                                                                                                                                                                                                                                                                                                                                                                                                                                                                                                                                                                                                                                                                                                                                                                                                     | -0.80                                                                                                                                                                                                                                                                                                                                                                                                                                                                                                                                                                                                                                                                                                                                                                                                                                                                                                                                                                                                                                                                                                                                                                                                                                                                                                                                                                                                                                                                                                                                                                                                                                                                                                                                                                                                                                                                                                                                                                                                                                                                                                                                                                                                                                                                                                                                                                                                                                                                                                                                                                                                                                                                                                                                                                                                                                  | 112,000                                                                                                                                                                                                                                                                                                                                                                                                                                                                                                                                                                                                                                                                                                                                                                                                                                                                                                                                                                                                                                                                                                                                                                                                                                                                                                                                                                                                                                                                                                                                                                                                                                                                                                                                                                                                                                                                                                                                                                                                                                                                                                                        | 4.11 13.58                                                                                                                                                                                                                                                                                                                                                                                                                                                                                                                                                                                                                                                                                                                                                                                                                                                                                                                                                                                                                                                                                                                                                                                                                                                                                                                                                                                                                                                                                                                                                                                                                                                                                                                                                                                                                                                                                                                                                                                                                                                                                                                                                                                                                                                                                                                                                                                                                                                                                                                                                                                                                                                                                                              |
| ,                                                                                                                    | と 連を構り                                                                                                                                                                                                                                                                                                                                                                                                                                                                                                                                                                                                                                                                                                                                                                                                                                                                                                                                                                                                                                                                                                                                                                                                                                                                                                                                                                                                                                                                                                                                                                                                                                                                                                                                                                                                                                                                                                                                                                                                                                                                                                                        | 0.77 Q.80<br>8.35 8.40                                                                                                                                                                                                                                                                                                                                                                                                                                                                                                                                                                                                                                                                                                                                                                                                                                                                                                                                                                                                                                                                                                                                                                                                                                                                                                                                                                                                                                                                                                                                                                                                                                                                                                                                                                                                                                                                                                                                                                                                                                                                                                                                                                                                                                                                                                                                                                                                                                                                                                                                                                                                                                                                                                               | 0.84 0.80<br>8.60 8.30                                                                                                                                                                                                                                                                                                                                                                                                                                                                                                                                                                                                                                                                                                                                                                                                                                                                                                                                                                                                                                                                                                                                                                                                                                                                                                                                                                                                                                                                                                                                                                                                                                                                                                                                                                                                                                                                                                                                                                                                                                                                                                                                                                                                                                                                                                                                                                                                                                                                                                                                                                                                                                                                                                                                                                                                                                                                                                                                                             | 0.80<br>8.35                                                                                                                                                                                                                                                                                                                                                                                                                                                                                                                                                                                                                                                                                                                                                                                                                                                                                                                                                                                                                                                                                                                                                                                                                                                                                                                                                                                                                                                                                                                                                                                                                                                                                                                                                                                                                                                                                                                                                                                                                                                                                                                                                                                                                                                                                                                                                                                                                                                                                                                                                                                                                                                                                                                                                                                                                                                                                                                                                                                                                             | -0.02<br>-0.05                                                                                                                                                                                                                                                                                                                                                                                                                                                                                                                                                                                                                                                                                                                                                                                                                                                                                                                                                                                                                                                                                                                                                                                                                                                                                                                                                                                                                                                                                                                                                                                                                                                                                                                                                                                                                                                                                                                                                                                                                                                                                                                                                                                                                                                                                                                                                                                                                                                                                                                                                                                                                                                                                                                                                                                                                         | 120,000<br>15,000                                                                                                                                                                                                                                                                                                                                                                                                                                                                                                                                                                                                                                                                                                                                                                                                                                                                                                                                                                                                                                                                                                                                                                                                                                                                                                                                                                                                                                                                                                                                                                                                                                                                                                                                                                                                                                                                                                                                                                                                                                                                                                              | 4.06 13.75<br>5.25 14.37                                                                                                                                                                                                                                                                                                                                                                                                                                                                                                                                                                                                                                                                                                                                                                                                                                                                                                                                                                                                                                                                                                                                                                                                                                                                                                                                                                                                                                                                                                                                                                                                                                                                                                                                                                                                                                                                                                                                                                                                                                                                                                                                                                                                                                                                                                                                                                                                                                                                                                                                                                                                                                                                                                |
| 2                                                                                                                    | at 3                                                                                                                                                                                                                                                                                                                                                                                                                                                                                                                                                                                                                                                                                                                                                                                                                                                                                                                                                                                                                                                                                                                                                                                                                                                                                                                                                                                                                                                                                                                                                                                                                                                                                                                                                                                                                                                                                                                                                                                                                                                                                                                          |                                                                                                                                                                                                                                                                                                                                                                                                                                                                                                                                                                                                                                                                                                                                                                                                                                                                                                                                                                                                                                                                                                                                                                                                                                                                                                                                                                                                                                                                                                                                                                                                                                                                                                                                                                                                                                                                                                                                                                                                                                                                                                                                                                                                                                                                                                                                                                                                                                                                                                                                                                                                                                                                                                                                      | 3.00 2.90<br>4.20 4.20                                                                                                                                                                                                                                                                                                                                                                                                                                                                                                                                                                                                                                                                                                                                                                                                                                                                                                                                                                                                                                                                                                                                                                                                                                                                                                                                                                                                                                                                                                                                                                                                                                                                                                                                                                                                                                                                                                                                                                                                                                                                                                                                                                                                                                                                                                                                                                                                                                                                                                                                                                                                                                                                                                                                                                                                                                                                                                                                                             | 2,95<br>4,20                                                                                                                                                                                                                                                                                                                                                                                                                                                                                                                                                                                                                                                                                                                                                                                                                                                                                                                                                                                                                                                                                                                                                                                                                                                                                                                                                                                                                                                                                                                                                                                                                                                                                                                                                                                                                                                                                                                                                                                                                                                                                                                                                                                                                                                                                                                                                                                                                                                                                                                                                                                                                                                                                                                                                                                                                                                                                                                                                                                                                             | +0,10                                                                                                                                                                                                                                                                                                                                                                                                                                                                                                                                                                                                                                                                                                                                                                                                                                                                                                                                                                                                                                                                                                                                                                                                                                                                                                                                                                                                                                                                                                                                                                                                                                                                                                                                                                                                                                                                                                                                                                                                                                                                                                                                                                                                                                                                                                                                                                                                                                                                                                                                                                                                                                                                                                                                                                                                                                  | 644,000<br>B,000                                                                                                                                                                                                                                                                                                                                                                                                                                                                                                                                                                                                                                                                                                                                                                                                                                                                                                                                                                                                                                                                                                                                                                                                                                                                                                                                                                                                                                                                                                                                                                                                                                                                                                                                                                                                                                                                                                                                                                                                                                                                                                               | 10.13 5.10<br>14.89 7.14                                                                                                                                                                                                                                                                                                                                                                                                                                                                                                                                                                                                                                                                                                                                                                                                                                                                                                                                                                                                                                                                                                                                                                                                                                                                                                                                                                                                                                                                                                                                                                                                                                                                                                                                                                                                                                                                                                                                                                                                                                                                                                                                                                                                                                                                                                                                                                                                                                                                                                                                                                                                                                                                                                |
| 2                                                                                                                    | 4. 先題公司                                                                                                                                                                                                                                                                                                                                                                                                                                                                                                                                                                                                                                                                                                                                                                                                                                                                                                                                                                                                                                                                                                                                                                                                                                                                                                                                                                                                                                                                                                                                                                                                                                                                                                                                                                                                                                                                                                                                                                                                                                                                                                                       | 26.00<br>G.77 0.78                                                                                                                                                                                                                                                                                                                                                                                                                                                                                                                                                                                                                                                                                                                                                                                                                                                                                                                                                                                                                                                                                                                                                                                                                                                                                                                                                                                                                                                                                                                                                                                                                                                                                                                                                                                                                                                                                                                                                                                                                                                                                                                                                                                                                                                                                                                                                                                                                                                                                                                                                                                                                                                                                                                   | 26.00 25.80<br>0.80 0,77                                                                                                                                                                                                                                                                                                                                                                                                                                                                                                                                                                                                                                                                                                                                                                                                                                                                                                                                                                                                                                                                                                                                                                                                                                                                                                                                                                                                                                                                                                                                                                                                                                                                                                                                                                                                                                                                                                                                                                                                                                                                                                                                                                                                                                                                                                                                                                                                                                                                                                                                                                                                                                                                                                                                                                                                                                                                                                                                                           | 26.00<br>0.78                                                                                                                                                                                                                                                                                                                                                                                                                                                                                                                                                                                                                                                                                                                                                                                                                                                                                                                                                                                                                                                                                                                                                                                                                                                                                                                                                                                                                                                                                                                                                                                                                                                                                                                                                                                                                                                                                                                                                                                                                                                                                                                                                                                                                                                                                                                                                                                                                                                                                                                                                                                                                                                                                                                                                                                                                                                                                                                                                                                                                            | -0,10<br>+0,01                                                                                                                                                                                                                                                                                                                                                                                                                                                                                                                                                                                                                                                                                                                                                                                                                                                                                                                                                                                                                                                                                                                                                                                                                                                                                                                                                                                                                                                                                                                                                                                                                                                                                                                                                                                                                                                                                                                                                                                                                                                                                                                                                                                                                                                                                                                                                                                                                                                                                                                                                                                                                                                                                                                                                                                                                         | 11,500<br>3,465,000                                                                                                                                                                                                                                                                                                                                                                                                                                                                                                                                                                                                                                                                                                                                                                                                                                                                                                                                                                                                                                                                                                                                                                                                                                                                                                                                                                                                                                                                                                                                                                                                                                                                                                                                                                                                                                                                                                                                                                                                                                                                                                            | 32.66 5,77<br>4.38                                                                                                                                                                                                                                                                                                                                                                                                                                                                                                                                                                                                                                                                                                                                                                                                                                                                                                                                                                                                                                                                                                                                                                                                                                                                                                                                                                                                                                                                                                                                                                                                                                                                                                                                                                                                                                                                                                                                                                                                                                                                                                                                                                                                                                                                                                                                                                                                                                                                                                                                                                                                                                                                                                      |
|                                                                                                                      | 58 48 <b>年</b> 阅 17 <b>6</b> 6                                                                                                                                                                                                                                                                                                                                                                                                                                                                                                                                                                                                                                                                                                                                                                                                                                                                                                                                                                                                                                                                                                                                                                                                                                                                                                                                                                                                                                                                                                                                                                                                                                                                                                                                                                                                                                                                                                                                                                                                                                                                                                | 25 2.30                                                                                                                                                                                                                                                                                                                                                                                                                                                                                                                                                                                                                                                                                                                                                                                                                                                                                                                                                                                                                                                                                                                                                                                                                                                                                                                                                                                                                                                                                                                                                                                                                                                                                                                                                                                                                                                                                                                                                                                                                                                                                                                                                                                                                                                                                                                                                                                                                                                                                                                                                                                                                                                                                                                              | 2.40 2.30                                                                                                                                                                                                                                                                                                                                                                                                                                                                                                                                                                                                                                                                                                                                                                                                                                                                                                                                                                                                                                                                                                                                                                                                                                                                                                                                                                                                                                                                                                                                                                                                                                                                                                                                                                                                                                                                                                                                                                                                                                                                                                                                                                                                                                                                                                                                                                                                                                                                                                                                                                                                                                                                                                                                                                                                                                                                                                                                                                          | 2.30                                                                                                                                                                                                                                                                                                                                                                                                                                                                                                                                                                                                                                                                                                                                                                                                                                                                                                                                                                                                                                                                                                                                                                                                                                                                                                                                                                                                                                                                                                                                                                                                                                                                                                                                                                                                                                                                                                                                                                                                                                                                                                                                                                                                                                                                                                                                                                                                                                                                                                                                                                                                                                                                                                                                                                                                                                                                                                                                                                                                                                     | -0.05                                                                                                                                                                                                                                                                                                                                                                                                                                                                                                                                                                                                                                                                                                                                                                                                                                                                                                                                                                                                                                                                                                                                                                                                                                                                                                                                                                                                                                                                                                                                                                                                                                                                                                                                                                                                                                                                                                                                                                                                                                                                                                                                                                                                                                                                                                                                                                                                                                                                                                                                                                                                                                                                                                                                                                                                                                  | 246,000                                                                                                                                                                                                                                                                                                                                                                                                                                                                                                                                                                                                                                                                                                                                                                                                                                                                                                                                                                                                                                                                                                                                                                                                                                                                                                                                                                                                                                                                                                                                                                                                                                                                                                                                                                                                                                                                                                                                                                                                                                                                                                                        | 10.56 4.35                                                                                                                                                                                                                                                                                                                                                                                                                                                                                                                                                                                                                                                                                                                                                                                                                                                                                                                                                                                                                                                                                                                                                                                                                                                                                                                                                                                                                                                                                                                                                                                                                                                                                                                                                                                                                                                                                                                                                                                                                                                                                                                                                                                                                                                                                                                                                                                                                                                                                                                                                                                                                                                                                                              |
|                                                                                                                      | No.                                                                                                                                                                                                                                                                                                                                                                                                                                                                                                                                                                                                                                                                                                                                                                                                                                                                                                                                                                                                                                                                                                                                                                                                                                                                                                                                                                                                                                                                                                                                                                                                                                                                                                                                                                                                                                                                                                                                                                                                                                                                                                                           |                                                                                                                                                                                                                                                                                                                                                                                                                                                                                                                                                                                                                                                                                                                                                                                                                                                                                                                                                                                                                                                                                                                                                                                                                                                                                                                                                                                                                                                                                                                                                                                                                                                                                                                                                                                                                                                                                                                                                                                                                                                                                                                                                                                                                                                                                                                                                                                                                                                                                                                                                                                                                                                                                                                                      |                                                                                                                                                                                                                                                                                                                                                                                                                                                                                                                                                                                                                                                                                                                                                                                                                                                                                                                                                                                                                                                                                                                                                                                                                                                                                                                                                                                                                                                                                                                                                                                                                                                                                                                                                                                                                                                                                                                                                                                                                                                                                                                                                                                                                                                                                                                                                                                                                                                                                                                                                                                                                                                                                                                                                                                                                                                                                                                                                                                    |                                                                                                                                                                                                                                                                                                                                                                                                                                                                                                                                                                                                                                                                                                                                                                                                                                                                                                                                                                                                                                                                                                                                                                                                                                                                                                                                                                                                                                                                                                                                                                                                                                                                                                                                                                                                                                                                                                                                                                                                                                                                                                                                                                                                                                                                                                                                                                                                                                                                                                                                                                                                                                                                                                                                                                                                                                                                                                                                                                                                                                          |                                                                                                                                                                                                                                                                                                                                                                                                                                                                                                                                                                                                                                                                                                                                                                                                                                                                                                                                                                                                                                                                                                                                                                                                                                                                                                                                                                                                                                                                                                                                                                                                                                                                                                                                                                                                                                                                                                                                                                                                                                                                                                                                                                                                                                                                                                                                                                                                                                                                                                                                                                                                                                                                                                                                                                                                                                        |                                                                                                                                                                                                                                                                                                                                                                                                                                                                                                                                                                                                                                                                                                                                                                                                                                                                                                                                                                                                                                                                                                                                                                                                                                                                                                                                                                                                                                                                                                                                                                                                                                                                                                                                                                                                                                                                                                                                                                                                                                                                                                                                |                                                                                                                                                                                                                                                                                                                                                                                                                                                                                                                                                                                                                                                                                                                                                                                                                                                                                                                                                                                                                                                                                                                                                                                                                                                                                                                                                                                                                                                                                                                                                                                                                                                                                                                                                                                                                                                                                                                                                                                                                                                                                                                                                                                                                                                                                                                                                                                                                                                                                                                                                                                                                                                                                                                         |
|                                                                                                                      | 200                                                                                                                                                                                                                                                                                                                                                                                                                                                                                                                                                                                                                                                                                                                                                                                                                                                                                                                                                                                                                                                                                                                                                                                                                                                                                                                                                                                                                                                                                                                                                                                                                                                                                                                                                                                                                                                                                                                                                                                                                                                                                                                           |                                                                                                                                                                                                                                                                                                                                                                                                                                                                                                                                                                                                                                                                                                                                                                                                                                                                                                                                                                                                                                                                                                                                                                                                                                                                                                                                                                                                                                                                                                                                                                                                                                                                                                                                                                                                                                                                                                                                                                                                                                                                                                                                                                                                                                                                                                                                                                                                                                                                                                                                                                                                                                                                                                                                      |                                                                                                                                                                                                                                                                                                                                                                                                                                                                                                                                                                                                                                                                                                                                                                                                                                                                                                                                                                                                                                                                                                                                                                                                                                                                                                                                                                                                                                                                                                                                                                                                                                                                                                                                                                                                                                                                                                                                                                                                                                                                                                                                                                                                                                                                                                                                                                                                                                                                                                                                                                                                                                                                                                                                                                                                                                                                                                                                                                                    |                                                                                                                                                                                                                                                                                                                                                                                                                                                                                                                                                                                                                                                                                                                                                                                                                                                                                                                                                                                                                                                                                                                                                                                                                                                                                                                                                                                                                                                                                                                                                                                                                                                                                                                                                                                                                                                                                                                                                                                                                                                                                                                                                                                                                                                                                                                                                                                                                                                                                                                                                                                                                                                                                                                                                                                                                                                                                                                                                                                                                                          |                                                                                                                                                                                                                                                                                                                                                                                                                                                                                                                                                                                                                                                                                                                                                                                                                                                                                                                                                                                                                                                                                                                                                                                                                                                                                                                                                                                                                                                                                                                                                                                                                                                                                                                                                                                                                                                                                                                                                                                                                                                                                                                                                                                                                                                                                                                                                                                                                                                                                                                                                                                                                                                                                                                                                                                                                                        | G. N. 17                                                                                                                                                                                                                                                                                                                                                                                                                                                                                                                                                                                                                                                                                                                                                                                                                                                                                                                                                                                                                                                                                                                                                                                                                                                                                                                                                                                                                                                                                                                                                                                                                                                                                                                                                                                                                                                                                                                                                                                                                                                                                                                       | Maria Cara Cara Cara Cara Cara Cara Cara                                                                                                                                                                                                                                                                                                                                                                                                                                                                                                                                                                                                                                                                                                                                                                                                                                                                                                                                                                                                                                                                                                                                                                                                                                                                                                                                                                                                                                                                                                                                                                                                                                                                                                                                                                                                                                                                                                                                                                                                                                                                                                                                                                                                                                                                                                                                                                                                                                                                                                                                                                                                                                                                                |
| fr                                                                                                                   |                                                                                                                                                                                                                                                                                                                                                                                                                                                                                                                                                                                                                                                                                                                                                                                                                                                                                                                                                                                                                                                                                                                                                                                                                                                                                                                                                                                                                                                                                                                                                                                                                                                                                                                                                                                                                                                                                                                                                                                                                                                                                                                               |                                                                                                                                                                                                                                                                                                                                                                                                                                                                                                                                                                                                                                                                                                                                                                                                                                                                                                                                                                                                                                                                                                                                                                                                                                                                                                                                                                                                                                                                                                                                                                                                                                                                                                                                                                                                                                                                                                                                                                                                                                                                                                                                                                                                                                                                                                                                                                                                                                                                                                                                                                                                                                                                                                                                      | ()<br>()<br>(全投車 ) 20°=                                                                                                                                                                                                                                                                                                                                                                                                                                                                                                                                                                                                                                                                                                                                                                                                                                                                                                                                                                                                                                                                                                                                                                                                                                                                                                                                                                                                                                                                                                                                                                                                                                                                                                                                                                                                                                                                                                                                                                                                                                                                                                                                                                                                                                                                                                                                                                                                                                                                                                                                                                                                                                                                                                                                                                                                                                                                                                                                                            | india dia ta                                                                                                                                                                                                                                                                                                                                                                                                                                                                                                                                                                                                                                                                                                                                                                                                                                                                                                                                                                                                                                                                                                                                                                                                                                                                                                                                                                                                                                                                                                                                                                                                                                                                                                                                                                                                                                                                                                                                                                                                                                                                                                                                                                                                                                                                                                                                                                                                                                                                                                                                                                                                                                                                                                                                                                                                                                                                                                                                                                                                                             | स्त्र गर                                                                                                                                                                                                                                                                                                                                                                                                                                                                                                                                                                                                                                                                                                                                                                                                                                                                                                                                                                                                                                                                                                                                                                                                                                                                                                                                                                                                                                                                                                                                                                                                                                                                                                                                                                                                                                                                                                                                                                                                                                                                                                                                                                                                                                                                                                                                                                                                                                                                                                                                                                                                                                                                                                                                                                                                                               | The state of the s | 成交胎数<br>成交胎数                                                                                                                                                                                                                                                                                                                                                                                                                                                                                                                                                                                                                                                                                                                                                                                                                                                                                                                                                                                                                                                                                                                                                                                                                                                                                                                                                                                                                                                                                                                                                                                                                                                                                                                                                                                                                                                                                                                                                                                                                                                                                                                                                                                                                                                                                                                                                                                                                                                                                                                                                                                                                                                                                                            |
| _ [_0                                                                                                                | TI ACM<br>と EE 組織 EE                                                                                                                                                                                                                                                                                                                                                                                                                                                                                                                                                                                                                                                                                                                                                                                                                                                                                                                                                                                                                                                                                                                                                                                                                                                                                                                                                                                                                                                                                                                                                                                                                                                                                                                                                                                                                                                                                                                                                                                                                                                                                                          | 37 80 U 92<br>4 83 67 91                                                                                                                                                                                                                                                                                                                                                                                                                                                                                                                                                                                                                                                                                                                                                                                                                                                                                                                                                                                                                                                                                                                                                                                                                                                                                                                                                                                                                                                                                                                                                                                                                                                                                                                                                                                                                                                                                                                                                                                                                                                                                                                                                                                                                                                                                                                                                                                                                                                                                                                                                                                                                                                                                                             | 1.00 0.6<br>1.00 3.5                                                                                                                                                                                                                                                                                                                                                                                                                                                                                                                                                                                                                                                                                                                                                                                                                                                                                                                                                                                                                                                                                                                                                                                                                                                                                                                                                                                                                                                                                                                                                                                                                                                                                                                                                                                                                                                                                                                                                                                                                                                                                                                                                                                                                                                                                                                                                                                                                                                                                                                                                                                                                                                                                                                                                                                                                                                                                                                                                               | 0.46                                                                                                                                                                                                                                                                                                                                                                                                                                                                                                                                                                                                                                                                                                                                                                                                                                                                                                                                                                                                                                                                                                                                                                                                                                                                                                                                                                                                                                                                                                                                                                                                                                                                                                                                                                                                                                                                                                                                                                                                                                                                                                                                                                                                                                                                                                                                                                                                                                                                                                                                                                                                                                                                                                                                                                                                                                                                                                                                                                                                                                     | 0.44<br>0.26                                                                                                                                                                                                                                                                                                                                                                                                                                                                                                                                                                                                                                                                                                                                                                                                                                                                                                                                                                                                                                                                                                                                                                                                                                                                                                                                                                                                                                                                                                                                                                                                                                                                                                                                                                                                                                                                                                                                                                                                                                                                                                                                                                                                                                                                                                                                                                                                                                                                                                                                                                                                                                                                                                                                                                                                                           | 0.46 +0.0<br>0.27 +0.0                                                                                                                                                                                                                                                                                                                                                                                                                                                                                                                                                                                                                                                                                                                                                                                                                                                                                                                                                                                                                                                                                                                                                                                                                                                                                                                                                                                                                                                                                                                                                                                                                                                                                                                                                                                                                                                                                                                                                                                                                                                                                                         | 02 600,000                                                                                                                                                                                                                                                                                                                                                                                                                                                                                                                                                                                                                                                                                                                                                                                                                                                                                                                                                                                                                                                                                                                                                                                                                                                                                                                                                                                                                                                                                                                                                                                                                                                                                                                                                                                                                                                                                                                                                                                                                                                                                                                                                                                                                                                                                                                                                                                                                                                                                                                                                                                                                                                                                                              |
|                                                                                                                      | 14 <b>Park</b> 1009                                                                                                                                                                                                                                                                                                                                                                                                                                                                                                                                                                                                                                                                                                                                                                                                                                                                                                                                                                                                                                                                                                                                                                                                                                                                                                                                                                                                                                                                                                                                                                                                                                                                                                                                                                                                                                                                                                                                                                                                                                                                                                           | 2, 8/ ~ 2/ 91<br>5/ 8/ ~ 10/ 89                                                                                                                                                                                                                                                                                                                                                                                                                                                                                                                                                                                                                                                                                                                                                                                                                                                                                                                                                                                                                                                                                                                                                                                                                                                                                                                                                                                                                                                                                                                                                                                                                                                                                                                                                                                                                                                                                                                                                                                                                                                                                                                                                                                                                                                                                                                                                                                                                                                                                                                                                                                                                                                                                                      | 1.251 3.1                                                                                                                                                                                                                                                                                                                                                                                                                                                                                                                                                                                                                                                                                                                                                                                                                                                                                                                                                                                                                                                                                                                                                                                                                                                                                                                                                                                                                                                                                                                                                                                                                                                                                                                                                                                                                                                                                                                                                                                                                                                                                                                                                                                                                                                                                                                                                                                                                                                                                                                                                                                                                                                                                                                                                                                                                                                                                                                                                                          | . 0.62                                                                                                                                                                                                                                                                                                                                                                                                                                                                                                                                                                                                                                                                                                                                                                                                                                                                                                                                                                                                                                                                                                                                                                                                                                                                                                                                                                                                                                                                                                                                                                                                                                                                                                                                                                                                                                                                                                                                                                                                                                                                                                                                                                                                                                                                                                                                                                                                                                                                                                                                                                                                                                                                                                                                                                                                                                                                                                                                                                                                                                   | 0.56<br>0.38                                                                                                                                                                                                                                                                                                                                                                                                                                                                                                                                                                                                                                                                                                                                                                                                                                                                                                                                                                                                                                                                                                                                                                                                                                                                                                                                                                                                                                                                                                                                                                                                                                                                                                                                                                                                                                                                                                                                                                                                                                                                                                                                                                                                                                                                                                                                                                                                                                                                                                                                                                                                                                                                                                                                                                                                                           | 0.57 -0.0<br>0.44 +0.0                                                                                                                                                                                                                                                                                                                                                                                                                                                                                                                                                                                                                                                                                                                                                                                                                                                                                                                                                                                                                                                                                                                                                                                                                                                                                                                                                                                                                                                                                                                                                                                                                                                                                                                                                                                                                                                                                                                                                                                                                                                                                                         | 93 827,000                                                                                                                                                                                                                                                                                                                                                                                                                                                                                                                                                                                                                                                                                                                                                                                                                                                                                                                                                                                                                                                                                                                                                                                                                                                                                                                                                                                                                                                                                                                                                                                                                                                                                                                                                                                                                                                                                                                                                                                                                                                                                                                                                                                                                                                                                                                                                                                                                                                                                                                                                                                                                                                                                                              |
| -                                                                                                                    | 后来或唐句:<br>Land                                                                                                                                                                                                                                                                                                                                                                                                                                                                                                                                                                                                                                                                                                                                                                                                                                                                                                                                                                                                                                                                                                                                                                                                                                                                                                                                                                                                                                                                                                                                                                                                                                                                                                                                                                                                                                                                                                                                                                                                                                                                                                                | 5 87-1, 31<br>16 85-1 81                                                                                                                                                                                                                                                                                                                                                                                                                                                                                                                                                                                                                                                                                                                                                                                                                                                                                                                                                                                                                                                                                                                                                                                                                                                                                                                                                                                                                                                                                                                                                                                                                                                                                                                                                                                                                                                                                                                                                                                                                                                                                                                                                                                                                                                                                                                                                                                                                                                                                                                                                                                                                                                                                                             | 1 00 2.0                                                                                                                                                                                                                                                                                                                                                                                                                                                                                                                                                                                                                                                                                                                                                                                                                                                                                                                                                                                                                                                                                                                                                                                                                                                                                                                                                                                                                                                                                                                                                                                                                                                                                                                                                                                                                                                                                                                                                                                                                                                                                                                                                                                                                                                                                                                                                                                                                                                                                                                                                                                                                                                                                                                                                                                                                                                                                                                                                                           | 0_45                                                                                                                                                                                                                                                                                                                                                                                                                                                                                                                                                                                                                                                                                                                                                                                                                                                                                                                                                                                                                                                                                                                                                                                                                                                                                                                                                                                                                                                                                                                                                                                                                                                                                                                                                                                                                                                                                                                                                                                                                                                                                                                                                                                                                                                                                                                                                                                                                                                                                                                                                                                                                                                                                                                                                                                                                                                                                                                                                                                                                                     | 0.43                                                                                                                                                                                                                                                                                                                                                                                                                                                                                                                                                                                                                                                                                                                                                                                                                                                                                                                                                                                                                                                                                                                                                                                                                                                                                                                                                                                                                                                                                                                                                                                                                                                                                                                                                                                                                                                                                                                                                                                                                                                                                                                                                                                                                                                                                                                                                                                                                                                                                                                                                                                                                                                                                                                                                                                                                                   | 0.43 +0.0<br>0.55 +0.2                                                                                                                                                                                                                                                                                                                                                                                                                                                                                                                                                                                                                                                                                                                                                                                                                                                                                                                                                                                                                                                                                                                                                                                                                                                                                                                                                                                                                                                                                                                                                                                                                                                                                                                                                                                                                                                                                                                                                                                                                                                                                                         | 162,000                                                                                                                                                                                                                                                                                                                                                                                                                                                                                                                                                                                                                                                                                                                                                                                                                                                                                                                                                                                                                                                                                                                                                                                                                                                                                                                                                                                                                                                                                                                                                                                                                                                                                                                                                                                                                                                                                                                                                                                                                                                                                                                                                                                                                                                                                                                                                                                                                                                                                                                                                                                                                                                                                                                 |
|                                                                                                                      | A8 ii 1                                                                                                                                                                                                                                                                                                                                                                                                                                                                                                                                                                                                                                                                                                                                                                                                                                                                                                                                                                                                                                                                                                                                                                                                                                                                                                                                                                                                                                                                                                                                                                                                                                                                                                                                                                                                                                                                                                                                                                                                                                                                                                                       | \$187 27 30<br>57 87-127 97                                                                                                                                                                                                                                                                                                                                                                                                                                                                                                                                                                                                                                                                                                                                                                                                                                                                                                                                                                                                                                                                                                                                                                                                                                                                                                                                                                                                                                                                                                                                                                                                                                                                                                                                                                                                                                                                                                                                                                                                                                                                                                                                                                                                                                                                                                                                                                                                                                                                                                                                                                                                                                                                                                          | 1 03 2 0                                                                                                                                                                                                                                                                                                                                                                                                                                                                                                                                                                                                                                                                                                                                                                                                                                                                                                                                                                                                                                                                                                                                                                                                                                                                                                                                                                                                                                                                                                                                                                                                                                                                                                                                                                                                                                                                                                                                                                                                                                                                                                                                                                                                                                                                                                                                                                                                                                                                                                                                                                                                                                                                                                                                                                                                                                                                                                                                                                           | J 0. 197                                                                                                                                                                                                                                                                                                                                                                                                                                                                                                                                                                                                                                                                                                                                                                                                                                                                                                                                                                                                                                                                                                                                                                                                                                                                                                                                                                                                                                                                                                                                                                                                                                                                                                                                                                                                                                                                                                                                                                                                                                                                                                                                                                                                                                                                                                                                                                                                                                                                                                                                                                                                                                                                                                                                                                                                                                                                                                                                                                                                                                 |                                                                                                                                                                                                                                                                                                                                                                                                                                                                                                                                                                                                                                                                                                                                                                                                                                                                                                                                                                                                                                                                                                                                                                                                                                                                                                                                                                                                                                                                                                                                                                                                                                                                                                                                                                                                                                                                                                                                                                                                                                                                                                                                                                                                                                                                                                                                                                                                                                                                                                                                                                                                                                                                                                                                                                                                                                        | 0.197 +0.0<br>0.30 -0.0                                                                                                                                                                                                                                                                                                                                                                                                                                                                                                                                                                                                                                                                                                                                                                                                                                                                                                                                                                                                                                                                                                                                                                                                                                                                                                                                                                                                                                                                                                                                                                                                                                                                                                                                                                                                                                                                                                                                                                                                                                                                                                        | 016 1,472,000                                                                                                                                                                                                                                                                                                                                                                                                                                                                                                                                                                                                                                                                                                                                                                                                                                                                                                                                                                                                                                                                                                                                                                                                                                                                                                                                                                                                                                                                                                                                                                                                                                                                                                                                                                                                                                                                                                                                                                                                                                                                                                                                                                                                                                                                                                                                                                                                                                                                                                                                                                                                                                                                                                           |
|                                                                                                                      | 72 银 点:<br>30 康 net                                                                                                                                                                                                                                                                                                                                                                                                                                                                                                                                                                                                                                                                                                                                                                                                                                                                                                                                                                                                                                                                                                                                                                                                                                                                                                                                                                                                                                                                                                                                                                                                                                                                                                                                                                                                                                                                                                                                                                                                                                                                                                           | 4: 8'-12 3<br>7 82 8: 88                                                                                                                                                                                                                                                                                                                                                                                                                                                                                                                                                                                                                                                                                                                                                                                                                                                                                                                                                                                                                                                                                                                                                                                                                                                                                                                                                                                                                                                                                                                                                                                                                                                                                                                                                                                                                                                                                                                                                                                                                                                                                                                                                                                                                                                                                                                                                                                                                                                                                                                                                                                                                                                                                                             | 1 00 2.4                                                                                                                                                                                                                                                                                                                                                                                                                                                                                                                                                                                                                                                                                                                                                                                                                                                                                                                                                                                                                                                                                                                                                                                                                                                                                                                                                                                                                                                                                                                                                                                                                                                                                                                                                                                                                                                                                                                                                                                                                                                                                                                                                                                                                                                                                                                                                                                                                                                                                                                                                                                                                                                                                                                                                                                                                                                                                                                                                                           |                                                                                                                                                                                                                                                                                                                                                                                                                                                                                                                                                                                                                                                                                                                                                                                                                                                                                                                                                                                                                                                                                                                                                                                                                                                                                                                                                                                                                                                                                                                                                                                                                                                                                                                                                                                                                                                                                                                                                                                                                                                                                                                                                                                                                                                                                                                                                                                                                                                                                                                                                                                                                                                                                                                                                                                                                                                                                                                                                                                                                                          | 0.39                                                                                                                                                                                                                                                                                                                                                                                                                                                                                                                                                                                                                                                                                                                                                                                                                                                                                                                                                                                                                                                                                                                                                                                                                                                                                                                                                                                                                                                                                                                                                                                                                                                                                                                                                                                                                                                                                                                                                                                                                                                                                                                                                                                                                                                                                                                                                                                                                                                                                                                                                                                                                                                                                                                                                                                                                                   | 0.46 +0.0<br>0.074 +0.0                                                                                                                                                                                                                                                                                                                                                                                                                                                                                                                                                                                                                                                                                                                                                                                                                                                                                                                                                                                                                                                                                                                                                                                                                                                                                                                                                                                                                                                                                                                                                                                                                                                                                                                                                                                                                                                                                                                                                                                                                                                                                                        | 08 327,500                                                                                                                                                                                                                                                                                                                                                                                                                                                                                                                                                                                                                                                                                                                                                                                                                                                                                                                                                                                                                                                                                                                                                                                                                                                                                                                                                                                                                                                                                                                                                                                                                                                                                                                                                                                                                                                                                                                                                                                                                                                                                                                                                                                                                                                                                                                                                                                                                                                                                                                                                                                                                                                                                                              |
|                                                                                                                      | 30 00 77.1<br>09 (いんじむ)<br>74 学 (お高)                                                                                                                                                                                                                                                                                                                                                                                                                                                                                                                                                                                                                                                                                                                                                                                                                                                                                                                                                                                                                                                                                                                                                                                                                                                                                                                                                                                                                                                                                                                                                                                                                                                                                                                                                                                                                                                                                                                                                                                                                                                                                          | 34 86 37 89<br>2 81 17 90                                                                                                                                                                                                                                                                                                                                                                                                                                                                                                                                                                                                                                                                                                                                                                                                                                                                                                                                                                                                                                                                                                                                                                                                                                                                                                                                                                                                                                                                                                                                                                                                                                                                                                                                                                                                                                                                                                                                                                                                                                                                                                                                                                                                                                                                                                                                                                                                                                                                                                                                                                                                                                                                                                            | 1 00 6.7                                                                                                                                                                                                                                                                                                                                                                                                                                                                                                                                                                                                                                                                                                                                                                                                                                                                                                                                                                                                                                                                                                                                                                                                                                                                                                                                                                                                                                                                                                                                                                                                                                                                                                                                                                                                                                                                                                                                                                                                                                                                                                                                                                                                                                                                                                                                                                                                                                                                                                                                                                                                                                                                                                                                                                                                                                                                                                                                                                           | 1,01                                                                                                                                                                                                                                                                                                                                                                                                                                                                                                                                                                                                                                                                                                                                                                                                                                                                                                                                                                                                                                                                                                                                                                                                                                                                                                                                                                                                                                                                                                                                                                                                                                                                                                                                                                                                                                                                                                                                                                                                                                                                                                                                                                                                                                                                                                                                                                                                                                                                                                                                                                                                                                                                                                                                                                                                                                                                                                                                                                                                                                     | 0.92                                                                                                                                                                                                                                                                                                                                                                                                                                                                                                                                                                                                                                                                                                                                                                                                                                                                                                                                                                                                                                                                                                                                                                                                                                                                                                                                                                                                                                                                                                                                                                                                                                                                                                                                                                                                                                                                                                                                                                                                                                                                                                                                                                                                                                                                                                                                                                                                                                                                                                                                                                                                                                                                                                                                                                                                                                   | 0.95 +0.0                                                                                                                                                                                                                                                                                                                                                                                                                                                                                                                                                                                                                                                                                                                                                                                                                                                                                                                                                                                                                                                                                                                                                                                                                                                                                                                                                                                                                                                                                                                                                                                                                                                                                                                                                                                                                                                                                                                                                                                                                                                                                                                      | -                                                                                                                                                                                                                                                                                                                                                                                                                                                                                                                                                                                                                                                                                                                                                                                                                                                                                                                                                                                                                                                                                                                                                                                                                                                                                                                                                                                                                                                                                                                                                                                                                                                                                                                                                                                                                                                                                                                                                                                                                                                                                                                                                                                                                                                                                                                                                                                                                                                                                                                                                                                                                                                                                                                       |
| 3-                                                                                                                   | 也 安美高兴<br>注 第一大特别                                                                                                                                                                                                                                                                                                                                                                                                                                                                                                                                                                                                                                                                                                                                                                                                                                                                                                                                                                                                                                                                                                                                                                                                                                                                                                                                                                                                                                                                                                                                                                                                                                                                                                                                                                                                                                                                                                                                                                                                                                                                                                             | 11/ 86-1. 94<br>11/86-12/9                                                                                                                                                                                                                                                                                                                                                                                                                                                                                                                                                                                                                                                                                                                                                                                                                                                                                                                                                                                                                                                                                                                                                                                                                                                                                                                                                                                                                                                                                                                                                                                                                                                                                                                                                                                                                                                                                                                                                                                                                                                                                                                                                                                                                                                                                                                                                                                                                                                                                                                                                                                                                                                                                                           | 1 1428 0 7                                                                                                                                                                                                                                                                                                                                                                                                                                                                                                                                                                                                                                                                                                                                                                                                                                                                                                                                                                                                                                                                                                                                                                                                                                                                                                                                                                                                                                                                                                                                                                                                                                                                                                                                                                                                                                                                                                                                                                                                                                                                                                                                                                                                                                                                                                                                                                                                                                                                                                                                                                                                                                                                                                                                                                                                                                                                                                                                                                         |                                                                                                                                                                                                                                                                                                                                                                                                                                                                                                                                                                                                                                                                                                                                                                                                                                                                                                                                                                                                                                                                                                                                                                                                                                                                                                                                                                                                                                                                                                                                                                                                                                                                                                                                                                                                                                                                                                                                                                                                                                                                                                                                                                                                                                                                                                                                                                                                                                                                                                                                                                                                                                                                                                                                                                                                                                                                                                                                                                                                                                          |                                                                                                                                                                                                                                                                                                                                                                                                                                                                                                                                                                                                                                                                                                                                                                                                                                                                                                                                                                                                                                                                                                                                                                                                                                                                                                                                                                                                                                                                                                                                                                                                                                                                                                                                                                                                                                                                                                                                                                                                                                                                                                                                                                                                                                                                                                                                                                                                                                                                                                                                                                                                                                                                                                                                                                                                                                        | 711                                                                                                                                                                                                                                                                                                                                                                                                                                                                                                                                                                                                                                                                                                                                                                                                                                                                                                                                                                                                                                                                                                                                                                                                                                                                                                                                                                                                                                                                                                                                                                                                                                                                                                                                                                                                                                                                                                                                                                                                                                                                                                                            |                                                                                                                                                                                                                                                                                                                                                                                                                                                                                                                                                                                                                                                                                                                                                                                                                                                                                                                                                                                                                                                                                                                                                                                                                                                                                                                                                                                                                                                                                                                                                                                                                                                                                                                                                                                                                                                                                                                                                                                                                                                                                                                                                                                                                                                                                                                                                                                                                                                                                                                                                                                                                                                                                                                         |
| -                                                                                                                    | 43 🏨 - 遺句                                                                                                                                                                                                                                                                                                                                                                                                                                                                                                                                                                                                                                                                                                                                                                                                                                                                                                                                                                                                                                                                                                                                                                                                                                                                                                                                                                                                                                                                                                                                                                                                                                                                                                                                                                                                                                                                                                                                                                                                                                                                                                                     | 4-14 ( 17 27                                                                                                                                                                                                                                                                                                                                                                                                                                                                                                                                                                                                                                                                                                                                                                                                                                                                                                                                                                                                                                                                                                                                                                                                                                                                                                                                                                                                                                                                                                                                                                                                                                                                                                                                                                                                                                                                                                                                                                                                                                                                                                                                                                                                                                                                                                                                                                                                                                                                                                                                                                                                                                                                                                                         |                                                                                                                                                                                                                                                                                                                                                                                                                                                                                                                                                                                                                                                                                                                                                                                                                                                                                                                                                                                                                                                                                                                                                                                                                                                                                                                                                                                                                                                                                                                                                                                                                                                                                                                                                                                                                                                                                                                                                                                                                                                                                                                                                                                                                                                                                                                                                                                                                                                                                                                                                                                                                                                                                                                                                                                                                                                                                                                                                                                    |                                                                                                                                                                                                                                                                                                                                                                                                                                                                                                                                                                                                                                                                                                                                                                                                                                                                                                                                                                                                                                                                                                                                                                                                                                                                                                                                                                                                                                                                                                                                                                                                                                                                                                                                                                                                                                                                                                                                                                                                                                                                                                                                                                                                                                                                                                                                                                                                                                                                                                                                                                                                                                                                                                                                                                                                                                                                                                                                                                                                                                          |                                                                                                                                                                                                                                                                                                                                                                                                                                                                                                                                                                                                                                                                                                                                                                                                                                                                                                                                                                                                                                                                                                                                                                                                                                                                                                                                                                                                                                                                                                                                                                                                                                                                                                                                                                                                                                                                                                                                                                                                                                                                                                                                                                                                                                                                                                                                                                                                                                                                                                                                                                                                                                                                                                                                                                                                                                        | 0.198 +0.0<br>1.00 =2.0                                                                                                                                                                                                                                                                                                                                                                                                                                                                                                                                                                                                                                                                                                                                                                                                                                                                                                                                                                                                                                                                                                                                                                                                                                                                                                                                                                                                                                                                                                                                                                                                                                                                                                                                                                                                                                                                                                                                                                                                                                                                                                        | 007 23,817,000                                                                                                                                                                                                                                                                                                                                                                                                                                                                                                                                                                                                                                                                                                                                                                                                                                                                                                                                                                                                                                                                                                                                                                                                                                                                                                                                                                                                                                                                                                                                                                                                                                                                                                                                                                                                                                                                                                                                                                                                                                                                                                                                                                                                                                                                                                                                                                                                                                                                                                                                                                                                                                                                                                          |
|                                                                                                                      | ·                                                                                                                                                                                                                                                                                                                                                                                                                                                                                                                                                                                                                                                                                                                                                                                                                                                                                                                                                                                                                                                                                                                                                                                                                                                                                                                                                                                                                                                                                                                                                                                                                                                                                                                                                                                                                                                                                                                                                                                                                                                                                                                             | 95 A 35                                                                                                                                                                                                                                                                                                                                                                                                                                                                                                                                                                                                                                                                                                                                                                                                                                                                                                                                                                                                                                                                                                                                                                                                                                                                                                                                                                                                                                                                                                                                                                                                                                                                                                                                                                                                                                                                                                                                                                                                                                                                                                                                                                                                                                                                                                                                                                                                                                                                                                                                                                                                                                                                                                                              | \$ 63876 1 0<br>1 00 1 0                                                                                                                                                                                                                                                                                                                                                                                                                                                                                                                                                                                                                                                                                                                                                                                                                                                                                                                                                                                                                                                                                                                                                                                                                                                                                                                                                                                                                                                                                                                                                                                                                                                                                                                                                                                                                                                                                                                                                                                                                                                                                                                                                                                                                                                                                                                                                                                                                                                                                                                                                                                                                                                                                                                                                                                                                                                                                                                                                           | 264 1.00<br>1.40                                                                                                                                                                                                                                                                                                                                                                                                                                                                                                                                                                                                                                                                                                                                                                                                                                                                                                                                                                                                                                                                                                                                                                                                                                                                                                                                                                                                                                                                                                                                                                                                                                                                                                                                                                                                                                                                                                                                                                                                                                                                                                                                                                                                                                                                                                                                                                                                                                                                                                                                                                                                                                                                                                                                                                                                                                                                                                                                                                                                                         | 1.00                                                                                                                                                                                                                                                                                                                                                                                                                                                                                                                                                                                                                                                                                                                                                                                                                                                                                                                                                                                                                                                                                                                                                                                                                                                                                                                                                                                                                                                                                                                                                                                                                                                                                                                                                                                                                                                                                                                                                                                                                                                                                                                                                                                                                                                                                                                                                                                                                                                                                                                                                                                                                                                                                                                                                                                                                                   | 1.00 -2.0<br>1.34 +0.0                                                                                                                                                                                                                                                                                                                                                                                                                                                                                                                                                                                                                                                                                                                                                                                                                                                                                                                                                                                                                                                                                                                                                                                                                                                                                                                                                                                                                                                                                                                                                                                                                                                                                                                                                                                                                                                                                                                                                                                                                                                                                                         | 007 23,817,000<br>002 3,324,000<br>00 30,000<br>04 2,582,445                                                                                                                                                                                                                                                                                                                                                                                                                                                                                                                                                                                                                                                                                                                                                                                                                                                                                                                                                                                                                                                                                                                                                                                                                                                                                                                                                                                                                                                                                                                                                                                                                                                                                                                                                                                                                                                                                                                                                                                                                                                                                                                                                                                                                                                                                                                                                                                                                                                                                                                                                                                                                                                            |
| - 1                                                                                                                  | 4 04 差94<br>46 在增集率88                                                                                                                                                                                                                                                                                                                                                                                                                                                                                                                                                                                                                                                                                                                                                                                                                                                                                                                                                                                                                                                                                                                                                                                                                                                                                                                                                                                                                                                                                                                                                                                                                                                                                                                                                                                                                                                                                                                                                                                                                                                                                                         | 65 5 92<br>4 87- 9 94<br>7/97-12/88                                                                                                                                                                                                                                                                                                                                                                                                                                                                                                                                                                                                                                                                                                                                                                                                                                                                                                                                                                                                                                                                                                                                                                                                                                                                                                                                                                                                                                                                                                                                                                                                                                                                                                                                                                                                                                                                                                                                                                                                                                                                                                                                                                                                                                                                                                                                                                                                                                                                                                                                                                                                                                                                                                  | 5 63876 1 0<br>1 00 1 0<br>1.00 2 8<br>4 78472 2 0                                                                                                                                                                                                                                                                                                                                                                                                                                                                                                                                                                                                                                                                                                                                                                                                                                                                                                                                                                                                                                                                                                                                                                                                                                                                                                                                                                                                                                                                                                                                                                                                                                                                                                                                                                                                                                                                                                                                                                                                                                                                                                                                                                                                                                                                                                                                                                                                                                                                                                                                                                                                                                                                                                                                                                                                                                                                                                                                 | 264 1.00<br>1.40<br>0.92                                                                                                                                                                                                                                                                                                                                                                                                                                                                                                                                                                                                                                                                                                                                                                                                                                                                                                                                                                                                                                                                                                                                                                                                                                                                                                                                                                                                                                                                                                                                                                                                                                                                                                                                                                                                                                                                                                                                                                                                                                                                                                                                                                                                                                                                                                                                                                                                                                                                                                                                                                                                                                                                                                                                                                                                                                                                                                                                                                                                                 | 1.00<br>1.30<br>0.77                                                                                                                                                                                                                                                                                                                                                                                                                                                                                                                                                                                                                                                                                                                                                                                                                                                                                                                                                                                                                                                                                                                                                                                                                                                                                                                                                                                                                                                                                                                                                                                                                                                                                                                                                                                                                                                                                                                                                                                                                                                                                                                                                                                                                                                                                                                                                                                                                                                                                                                                                                                                                                                                                                                                                                                                                   | 1.00 -2.0<br>1.34 +0.0<br>0.78 -0.0                                                                                                                                                                                                                                                                                                                                                                                                                                                                                                                                                                                                                                                                                                                                                                                                                                                                                                                                                                                                                                                                                                                                                                                                                                                                                                                                                                                                                                                                                                                                                                                                                                                                                                                                                                                                                                                                                                                                                                                                                                                                                            | 3,324,000<br>3,324,000<br>30,000<br>4 2,582,445<br>4 3,726,206                                                                                                                                                                                                                                                                                                                                                                                                                                                                                                                                                                                                                                                                                                                                                                                                                                                                                                                                                                                                                                                                                                                                                                                                                                                                                                                                                                                                                                                                                                                                                                                                                                                                                                                                                                                                                                                                                                                                                                                                                                                                                                                                                                                                                                                                                                                                                                                                                                                                                                                                                                                                                                                          |
|                                                                                                                      | A 및 差域<br>46 直滑集事品<br>51 選 パー<br>こ わい                                                                                                                                                                                                                                                                                                                                                                                                                                                                                                                                                                                                                                                                                                                                                                                                                                                                                                                                                                                                                                                                                                                                                                                                                                                                                                                                                                                                                                                                                                                                                                                                                                                                                                                                                                                                                                                                                                                                                                                                                                                                                         | 65 5 92<br>4 87- 9 94<br>7/90-12/88<br>45- 9<br>1 90-1_ 91                                                                                                                                                                                                                                                                                                                                                                                                                                                                                                                                                                                                                                                                                                                                                                                                                                                                                                                                                                                                                                                                                                                                                                                                                                                                                                                                                                                                                                                                                                                                                                                                                                                                                                                                                                                                                                                                                                                                                                                                                                                                                                                                                                                                                                                                                                                                                                                                                                                                                                                                                                                                                                                                           | \$ 63876 1 0<br>1 00 1 0<br>1,00 2 8<br>4 78472 2 0<br>1 5549 3 2<br>1 30 2 0                                                                                                                                                                                                                                                                                                                                                                                                                                                                                                                                                                                                                                                                                                                                                                                                                                                                                                                                                                                                                                                                                                                                                                                                                                                                                                                                                                                                                                                                                                                                                                                                                                                                                                                                                                                                                                                                                                                                                                                                                                                                                                                                                                                                                                                                                                                                                                                                                                                                                                                                                                                                                                                                                                                                                                                                                                                                                                      | 264 1.00<br>1.40<br>0.92<br>8 7.20<br>1.34                                                                                                                                                                                                                                                                                                                                                                                                                                                                                                                                                                                                                                                                                                                                                                                                                                                                                                                                                                                                                                                                                                                                                                                                                                                                                                                                                                                                                                                                                                                                                                                                                                                                                                                                                                                                                                                                                                                                                                                                                                                                                                                                                                                                                                                                                                                                                                                                                                                                                                                                                                                                                                                                                                                                                                                                                                                                                                                                                                                               | 1.00<br>1.30<br>0.77<br>6.80<br>1.23                                                                                                                                                                                                                                                                                                                                                                                                                                                                                                                                                                                                                                                                                                                                                                                                                                                                                                                                                                                                                                                                                                                                                                                                                                                                                                                                                                                                                                                                                                                                                                                                                                                                                                                                                                                                                                                                                                                                                                                                                                                                                                                                                                                                                                                                                                                                                                                                                                                                                                                                                                                                                                                                                                                                                                                                   | 1.00 -2.0<br>1.34 +0.0<br>0.78 -0.0<br>6.85 -0.1<br>1.25 -0.0                                                                                                                                                                                                                                                                                                                                                                                                                                                                                                                                                                                                                                                                                                                                                                                                                                                                                                                                                                                                                                                                                                                                                                                                                                                                                                                                                                                                                                                                                                                                                                                                                                                                                                                                                                                                                                                                                                                                                                                                                                                                  | 007 23,817,000<br>002 3,324,000<br>00 30,000<br>04 2,582,445<br>04 3,726,206<br>05 1,003,188<br>05 2,330,800                                                                                                                                                                                                                                                                                                                                                                                                                                                                                                                                                                                                                                                                                                                                                                                                                                                                                                                                                                                                                                                                                                                                                                                                                                                                                                                                                                                                                                                                                                                                                                                                                                                                                                                                                                                                                                                                                                                                                                                                                                                                                                                                                                                                                                                                                                                                                                                                                                                                                                                                                                                                            |
|                                                                                                                      | 中 職 差回<br>46 直滑集軍器<br>51 選 パー<br>こ 和に<br>59 和記首編号<br>で 人民のよう                                                                                                                                                                                                                                                                                                                                                                                                                                                                                                                                                                                                                                                                                                                                                                                                                                                                                                                                                                                                                                                                                                                                                                                                                                                                                                                                                                                                                                                                                                                                                                                                                                                                                                                                                                                                                                                                                                                                                                                                                                                                  | 65 8 92<br>4 87-9 94<br>7/90-12/88<br>45-19<br>90-11/91<br>980-3/83<br>7/80-3/83                                                                                                                                                                                                                                                                                                                                                                                                                                                                                                                                                                                                                                                                                                                                                                                                                                                                                                                                                                                                                                                                                                                                                                                                                                                                                                                                                                                                                                                                                                                                                                                                                                                                                                                                                                                                                                                                                                                                                                                                                                                                                                                                                                                                                                                                                                                                                                                                                                                                                                                                                                                                                                                     | \$ 63876 1 0<br>1 00 1 0<br>1.00 2 8<br>4 78472 2 0<br>1 5549 3 2<br>1 00 2 0<br>4 2.94 2 3                                                                                                                                                                                                                                                                                                                                                                                                                                                                                                                                                                                                                                                                                                                                                                                                                                                                                                                                                                                                                                                                                                                                                                                                                                                                                                                                                                                                                                                                                                                                                                                                                                                                                                                                                                                                                                                                                                                                                                                                                                                                                                                                                                                                                                                                                                                                                                                                                                                                                                                                                                                                                                                                                                                                                                                                                                                                                        | 964 1.00<br>1.40<br>0.92<br>8 7.20<br>0 1.34                                                                                                                                                                                                                                                                                                                                                                                                                                                                                                                                                                                                                                                                                                                                                                                                                                                                                                                                                                                                                                                                                                                                                                                                                                                                                                                                                                                                                                                                                                                                                                                                                                                                                                                                                                                                                                                                                                                                                                                                                                                                                                                                                                                                                                                                                                                                                                                                                                                                                                                                                                                                                                                                                                                                                                                                                                                                                                                                                                                             | 1.00<br>1.30<br>0.77<br>6.80                                                                                                                                                                                                                                                                                                                                                                                                                                                                                                                                                                                                                                                                                                                                                                                                                                                                                                                                                                                                                                                                                                                                                                                                                                                                                                                                                                                                                                                                                                                                                                                                                                                                                                                                                                                                                                                                                                                                                                                                                                                                                                                                                                                                                                                                                                                                                                                                                                                                                                                                                                                                                                                                                                                                                                                                           | 1.00 -2.0<br>1.34 +0.0<br>0.78 -0.0<br>6.85 -0.1                                                                                                                                                                                                                                                                                                                                                                                                                                                                                                                                                                                                                                                                                                                                                                                                                                                                                                                                                                                                                                                                                                                                                                                                                                                                                                                                                                                                                                                                                                                                                                                                                                                                                                                                                                                                                                                                                                                                                                                                                                                                               | 007 23,817,000<br>002 3,324,000<br>00 30,000<br>04 2,582,445<br>04 3,726,206<br>0 1,003,188<br>15 2,330,800<br>0 1,500                                                                                                                                                                                                                                                                                                                                                                                                                                                                                                                                                                                                                                                                                                                                                                                                                                                                                                                                                                                                                                                                                                                                                                                                                                                                                                                                                                                                                                                                                                                                                                                                                                                                                                                                                                                                                                                                                                                                                                                                                                                                                                                                                                                                                                                                                                                                                                                                                                                                                                                                                                                                  |
|                                                                                                                      | A 風 差回<br>46 直滑集車88<br>61 選 パー<br>こ 和近角頃89<br>77 代代のトロー<br>17 信 和パ                                                                                                                                                                                                                                                                                                                                                                                                                                                                                                                                                                                                                                                                                                                                                                                                                                                                                                                                                                                                                                                                                                                                                                                                                                                                                                                                                                                                                                                                                                                                                                                                                                                                                                                                                                                                                                                                                                                                                                                                                                                            | 65 9 92<br>4 87-9 94<br>7/90-12/88<br>45-19<br>1 90-11 91<br>14 80-3 83                                                                                                                                                                                                                                                                                                                                                                                                                                                                                                                                                                                                                                                                                                                                                                                                                                                                                                                                                                                                                                                                                                                                                                                                                                                                                                                                                                                                                                                                                                                                                                                                                                                                                                                                                                                                                                                                                                                                                                                                                                                                                                                                                                                                                                                                                                                                                                                                                                                                                                                                                                                                                                                              | \$ 63876 1 0<br>1 00 1 0<br>1.00 2 8<br>4 78472 2 0<br>1 5549 3 2<br>1 00 2 0<br>4 2.94 2 3                                                                                                                                                                                                                                                                                                                                                                                                                                                                                                                                                                                                                                                                                                                                                                                                                                                                                                                                                                                                                                                                                                                                                                                                                                                                                                                                                                                                                                                                                                                                                                                                                                                                                                                                                                                                                                                                                                                                                                                                                                                                                                                                                                                                                                                                                                                                                                                                                                                                                                                                                                                                                                                                                                                                                                                                                                                                                        | 964 1.00<br>1.40<br>0.92<br>8 7.20<br>6 1.34<br>7 20.80<br>977 0.70<br>9 2.10                                                                                                                                                                                                                                                                                                                                                                                                                                                                                                                                                                                                                                                                                                                                                                                                                                                                                                                                                                                                                                                                                                                                                                                                                                                                                                                                                                                                                                                                                                                                                                                                                                                                                                                                                                                                                                                                                                                                                                                                                                                                                                                                                                                                                                                                                                                                                                                                                                                                                                                                                                                                                                                                                                                                                                                                                                                                                                                                                            | 1.00<br>1.30<br>0.77<br>6.80<br>1.23<br>20.80<br>0.66<br>1.96                                                                                                                                                                                                                                                                                                                                                                                                                                                                                                                                                                                                                                                                                                                                                                                                                                                                                                                                                                                                                                                                                                                                                                                                                                                                                                                                                                                                                                                                                                                                                                                                                                                                                                                                                                                                                                                                                                                                                                                                                                                                                                                                                                                                                                                                                                                                                                                                                                                                                                                                                                                                                                                                                                                                                                          | 1.00 -2.0<br>1.34 +0.0<br>0.78 -0.0<br>6.85 -0.1<br>1.25 -0.0<br>21.00 -0.1<br>0.66 +0.0<br>1.99 -0.0                                                                                                                                                                                                                                                                                                                                                                                                                                                                                                                                                                                                                                                                                                                                                                                                                                                                                                                                                                                                                                                                                                                                                                                                                                                                                                                                                                                                                                                                                                                                                                                                                                                                                                                                                                                                                                                                                                                                                                                                                          | 007 23,817,000<br>002 3,324,000<br>00 30,000<br>04 2,582,445<br>04 3,726,206<br>05 1,003,188<br>05 2,330,800<br>0 1,500<br>01 463,607<br>01 1,560,372                                                                                                                                                                                                                                                                                                                                                                                                                                                                                                                                                                                                                                                                                                                                                                                                                                                                                                                                                                                                                                                                                                                                                                                                                                                                                                                                                                                                                                                                                                                                                                                                                                                                                                                                                                                                                                                                                                                                                                                                                                                                                                                                                                                                                                                                                                                                                                                                                                                                                                                                                                   |
| 14<br>14<br>26<br>36                                                                                                 | 中 職 差別 200<br>16                                                                                                                                                                                                                                                                                                                                                                                                                                                                                                                                                                                                                                                                                                                                                                                                                                                                                                                                                                                                                                                                                                                                                                                                                                                                                                                                                                                                                                                                                                                                                                                                                                                                                                                                                                                                                                                                                                                                                                                                                                                                                                              | 65 9 92<br>4 87-9 94<br>7/90-12/88<br>4 85-12/88<br>1 85-12/97<br>12/80 10/32<br>12/80 10/32<br>12/80 10/32<br>12/80 10/32<br>12/80 10/32                                                                                                                                                                                                                                                                                                                                                                                                                                                                                                                                                                                                                                                                                                                                                                                                                                                                                                                                                                                                                                                                                                                                                                                                                                                                                                                                                                                                                                                                                                                                                                                                                                                                                                                                                                                                                                                                                                                                                                                                                                                                                                                                                                                                                                                                                                                                                                                                                                                                                                                                                                                            | \$ 63876 1 0<br>1 00 1 0<br>1 00 2 8<br>4 78472 2 0<br>1 5549 3 2<br>1 00 2 0<br>4 2.94 2 3<br>4 00 0<br>3 6064 10 4<br>1 00 9 0                                                                                                                                                                                                                                                                                                                                                                                                                                                                                                                                                                                                                                                                                                                                                                                                                                                                                                                                                                                                                                                                                                                                                                                                                                                                                                                                                                                                                                                                                                                                                                                                                                                                                                                                                                                                                                                                                                                                                                                                                                                                                                                                                                                                                                                                                                                                                                                                                                                                                                                                                                                                                                                                                                                                                                                                                                                   | 964 1.00<br>1.40<br>0.92<br>8 7.20<br>0 1.34<br>7 20.80<br>977 0.70<br>9 2.10<br>2.25                                                                                                                                                                                                                                                                                                                                                                                                                                                                                                                                                                                                                                                                                                                                                                                                                                                                                                                                                                                                                                                                                                                                                                                                                                                                                                                                                                                                                                                                                                                                                                                                                                                                                                                                                                                                                                                                                                                                                                                                                                                                                                                                                                                                                                                                                                                                                                                                                                                                                                                                                                                                                                                                                                                                                                                                                                                                                                                                                    | 1.00<br>1.30<br>0.77<br>6.80<br>1.23<br>20.80<br>0.66                                                                                                                                                                                                                                                                                                                                                                                                                                                                                                                                                                                                                                                                                                                                                                                                                                                                                                                                                                                                                                                                                                                                                                                                                                                                                                                                                                                                                                                                                                                                                                                                                                                                                                                                                                                                                                                                                                                                                                                                                                                                                                                                                                                                                                                                                                                                                                                                                                                                                                                                                                                                                                                                                                                                                                                  | 1.00 -2.0<br>1.34 +0.0<br>0.78 -0.0<br>6.85 -0.1<br>1.25 -0.0<br>21.00 -0.1<br>0.66 +0.0                                                                                                                                                                                                                                                                                                                                                                                                                                                                                                                                                                                                                                                                                                                                                                                                                                                                                                                                                                                                                                                                                                                                                                                                                                                                                                                                                                                                                                                                                                                                                                                                                                                                                                                                                                                                                                                                                                                                                                                                                                       | 007 23,817,000<br>002 3,324,000<br>00 30,000<br>04 2,582,445<br>04 3,726,206<br>05 1,003,188<br>15 2,330,800<br>0 1,500<br>01 463,607<br>01 1,560,372<br>05 385,000                                                                                                                                                                                                                                                                                                                                                                                                                                                                                                                                                                                                                                                                                                                                                                                                                                                                                                                                                                                                                                                                                                                                                                                                                                                                                                                                                                                                                                                                                                                                                                                                                                                                                                                                                                                                                                                                                                                                                                                                                                                                                                                                                                                                                                                                                                                                                                                                                                                                                                                                                     |
| 36<br>36<br>36                                                                                                       | 自 選 選                                                                                                                                                                                                                                                                                                                                                                                                                                                                                                                                                                                                                                                                                                                                                                                                                                                                                                                                                                                                                                                                                                                                                                                                                                                                                                                                                                                                                                                                                                                                                                                                                                                                                                                                                                                                                                                                                                                                                                                                                                                                                                                         | 65 5 92<br>6 87 - 9 94<br>7/90 - 12/88<br>65 - 12/88<br>12/80 - 3/83<br>12/80 - 12/87<br>12/80 - 12/87<br>12/80 - 12/87<br>12/80 - 12/87<br>12/87 - 12/89<br>61 - 1/91<br>69/12/47<br>10/81 - 1/89                                                                                                                                                                                                                                                                                                                                                                                                                                                                                                                                                                                                                                                                                                                                                                                                                                                                                                                                                                                                                                                                                                                                                                                                                                                                                                                                                                                                                                                                                                                                                                                                                                                                                                                                                                                                                                                                                                                                                                                                                                                                                                                                                                                                                                                                                                                                                                                                                                                                                                                                   | \$ 63876 1 0<br>1 00 1 0<br>1 00 2 8<br>4 78472 2 0<br>1 5549 3 2<br>1 00 2 0<br>4 2.94 2 3<br>4 00 0<br>3 6064 10 4<br>1 00 9 0<br>2 01 1 4                                                                                                                                                                                                                                                                                                                                                                                                                                                                                                                                                                                                                                                                                                                                                                                                                                                                                                                                                                                                                                                                                                                                                                                                                                                                                                                                                                                                                                                                                                                                                                                                                                                                                                                                                                                                                                                                                                                                                                                                                                                                                                                                                                                                                                                                                                                                                                                                                                                                                                                                                                                                                                                                                                                                                                                                                                       | 964 1.00<br>1.40<br>0.92<br>9 7.20<br>6 1.34<br>7 20.80<br>977 0.70<br>9 2.10<br>2.25<br>0 2.55                                                                                                                                                                                                                                                                                                                                                                                                                                                                                                                                                                                                                                                                                                                                                                                                                                                                                                                                                                                                                                                                                                                                                                                                                                                                                                                                                                                                                                                                                                                                                                                                                                                                                                                                                                                                                                                                                                                                                                                                                                                                                                                                                                                                                                                                                                                                                                                                                                                                                                                                                                                                                                                                                                                                                                                                                                                                                                                                          | 1.00<br>1.30<br>0.77<br>6.80<br>1.23<br>20.80<br>0.66<br>1.96<br>2.00                                                                                                                                                                                                                                                                                                                                                                                                                                                                                                                                                                                                                                                                                                                                                                                                                                                                                                                                                                                                                                                                                                                                                                                                                                                                                                                                                                                                                                                                                                                                                                                                                                                                                                                                                                                                                                                                                                                                                                                                                                                                                                                                                                                                                                                                                                                                                                                                                                                                                                                                                                                                                                                                                                                                                                  | 1.00 -2.0<br>1.34 +0.0<br>0.78 -0.0<br>6.85 -0.1<br>1.25 -0.0<br>21.00 -0.1<br>0.66 +0.0<br>1.99 -0.0<br>2.00 -0.2                                                                                                                                                                                                                                                                                                                                                                                                                                                                                                                                                                                                                                                                                                                                                                                                                                                                                                                                                                                                                                                                                                                                                                                                                                                                                                                                                                                                                                                                                                                                                                                                                                                                                                                                                                                                                                                                                                                                                                                                             | 23,817,000<br>3,324,000<br>30,000<br>4 2,582,445<br>3,726,206<br>5 1,003,188<br>5 2,330,800<br>0 1,500<br>463,607<br>1,560,372<br>385,000<br>15 256,000                                                                                                                                                                                                                                                                                                                                                                                                                                                                                                                                                                                                                                                                                                                                                                                                                                                                                                                                                                                                                                                                                                                                                                                                                                                                                                                                                                                                                                                                                                                                                                                                                                                                                                                                                                                                                                                                                                                                                                                                                                                                                                                                                                                                                                                                                                                                                                                                                                                                                                                                                                 |
| 36<br>36<br>36<br>34                                                                                                 | 自 通道 と 一                                                                                                                                                                                                                                                                                                                                                                                                                                                                                                                                                                                                                                                                                                                                                                                                                                                                                                                                                                                                                                                                                                                                                                                                                                                                                                                                                                                                                                                                                                                                                                                                                                                                                                                                                                                                                                                                                                                                                                                                                                                                                                                      | 65                                                                                                                                                                                                                                                                                                                                                                                                                                                                                                                                                                                                                                                                                                                                                                                                                                                                                                                                                                                                                                                                                                                                                                                                                                                                                                                                                                                                                                                                                                                                                                                                                                                                                                                                                                                                                                                                                                                                                                                                                                                                                                                                                                                                                                                                                                                                                                                                                                                                                                                                                                                                                                                                                                                                   | \$ 63876 1 0<br>1 00 1 0<br>1 00 2 8<br>4 78472 2 0<br>1 5549 3 2<br>1 00 2 0<br>4 2.94 2 3<br>4 00 0<br>3 6064 10 4<br>1 00 9 0<br>2 01 1 0<br>1 00 1 4<br>4 0 0 1 1 0<br>2 01 1 0<br>3 0 0<br>4 0 0 0<br>2 0 1 0<br>4 0 0 0<br>2 0 0 0<br>3 0 0 0<br>4 0 0 0 0                                                                                                                                                                                                                                                                                                                                                                                                                                                                                                                                                                                                                                                                                                                                                                                                                                                                                                                                                                                                                                                                                                                                                                                                                                                                                                                                                                                                                                                                                                                                                                                                                                                                                                                                                                                                                                                                                                        | 964 1.00<br>1.40<br>0.92<br>8 7.20<br>6 1.34<br>7 20.80<br>977 0.70<br>9 2.10<br>2.25<br>0 2.55                                                                                                                                                                                                                                                                                                                                                                                                                                                                                                                                                                                                                                                                                                                                                                                                                                                                                                                                                                                                                                                                                                                                                                                                                                                                                                                                                                                                                                                                                                                                                                                                                                                                                                                                                                                                                                                                                                                                                                                                                                                                                                                                                                                                                                                                                                                                                                                                                                                                                                                                                                                                                                                                                                                                                                                                                                                                                                                                          | 1.00<br>1.30<br>0.77<br>6.80<br>1.23<br>20.80<br>0.66<br>1.96<br>2.00<br>2.40                                                                                                                                                                                                                                                                                                                                                                                                                                                                                                                                                                                                                                                                                                                                                                                                                                                                                                                                                                                                                                                                                                                                                                                                                                                                                                                                                                                                                                                                                                                                                                                                                                                                                                                                                                                                                                                                                                                                                                                                                                                                                                                                                                                                                                                                                                                                                                                                                                                                                                                                                                                                                                                                                                                                                          | 1.00 -2.0 1.34 +0.0 0.78 -0.0 6.85 -0.1 1.25 -0.0 21.00 -0.1 0.66 +0.0 1.99 -0.0 2.00 -0.2 2.45 -0.0 0.75 -0.0                                                                                                                                                                                                                                                                                                                                                                                                                                                                                                                                                                                                                                                                                                                                                                                                                                                                                                                                                                                                                                                                                                                                                                                                                                                                                                                                                                                                                                                                                                                                                                                                                                                                                                                                                                                                                                                                                                                                                                                                                 | 23,817,000<br>30,24,000<br>30,000<br>4 2,582,445<br>4 3,726,206<br>5 1,003,188<br>5 2,330,800<br>0 1,500<br>463,607<br>1,560,372<br>385,000<br>256,000<br>1 257,000<br>5 991,120                                                                                                                                                                                                                                                                                                                                                                                                                                                                                                                                                                                                                                                                                                                                                                                                                                                                                                                                                                                                                                                                                                                                                                                                                                                                                                                                                                                                                                                                                                                                                                                                                                                                                                                                                                                                                                                                                                                                                                                                                                                                                                                                                                                                                                                                                                                                                                                                                                                                                                                                        |
| 26<br>26<br>36<br>33<br>42<br>22                                                                                     | 自 16 1 19 1 1 1 1 1 1 1 1 1 1 1 1 1 1 1 1                                                                                                                                                                                                                                                                                                                                                                                                                                                                                                                                                                                                                                                                                                                                                                                                                                                                                                                                                                                                                                                                                                                                                                                                                                                                                                                                                                                                                                                                                                                                                                                                                                                                                                                                                                                                                                                                                                                                                                                                                                                                                     | 65                                                                                                                                                                                                                                                                                                                                                                                                                                                                                                                                                                                                                                                                                                                                                                                                                                                                                                                                                                                                                                                                                                                                                                                                                                                                                                                                                                                                                                                                                                                                                                                                                                                                                                                                                                                                                                                                                                                                                                                                                                                                                                                                                                                                                                                                                                                                                                                                                                                                                                                                                                                                                                                                                                                                   | \$ 63876 1 0<br>1 00 1 0<br>1 00 2 8<br>4 78472 2 0<br>1 5549 3 2<br>1 00 2 0<br>4 2.94 2 3<br>4 00 0<br>3 6064 10 4<br>1 00 9 0<br>1 00 9 0<br>1 00 1 0<br>1 00 1 0<br>2 0 1 1 0<br>1 00 2 3<br>2 00 8 3                                                                                                                                                                                                                                                                                                                                                                                                                                                                                                                                                                                                                                                                                                                                                                                                                                                                                                                                                                                                                                                                                                                                                                                                                                                                                                                                                                                                                                                                                                                                                                                                                                                                                                                                                                                                                                                                                                                                                                                                                                                                                                                                                                                                                                                                                                                                                                                                                                                                                                                                                                                                                                                                                                                                                                          | 964 1.00<br>1.40<br>0.92<br>8 7.20<br>6 1.34<br>7 20.80<br>977 0.70<br>9 2.10<br>2.25<br>0 2.55<br>1 1.32<br>0.84<br>6.60<br>6.90                                                                                                                                                                                                                                                                                                                                                                                                                                                                                                                                                                                                                                                                                                                                                                                                                                                                                                                                                                                                                                                                                                                                                                                                                                                                                                                                                                                                                                                                                                                                                                                                                                                                                                                                                                                                                                                                                                                                                                                                                                                                                                                                                                                                                                                                                                                                                                                                                                                                                                                                                                                                                                                                                                                                                                                                                                                                                                        | 1.00<br>1.30<br>0.77<br>6.80<br>1.23<br>20.80<br>0.66<br>1.96<br>2.00<br>2.40<br>1.30                                                                                                                                                                                                                                                                                                                                                                                                                                                                                                                                                                                                                                                                                                                                                                                                                                                                                                                                                                                                                                                                                                                                                                                                                                                                                                                                                                                                                                                                                                                                                                                                                                                                                                                                                                                                                                                                                                                                                                                                                                                                                                                                                                                                                                                                                                                                                                                                                                                                                                                                                                                                                                                                                                                                                  | 1.00 -2.0 1.34 +0.0 0.78 -0.0 6.85 -0.1 1.25 -0.0 21.00 -0.1 0.66 +0.0 1.99 -0.0 2.00 -0.2 2.45 -0.0 1.31 +0.0 0.75 -0.0 6.40 -0.1 6.80 -0.1                                                                                                                                                                                                                                                                                                                                                                                                                                                                                                                                                                                                                                                                                                                                                                                                                                                                                                                                                                                                                                                                                                                                                                                                                                                                                                                                                                                                                                                                                                                                                                                                                                                                                                                                                                                                                                                                                                                                                                                   | 23,817,000<br>30,000<br>30,000<br>4 2,582,445<br>3,726,206<br>5 1,003,188<br>5 2,330,800<br>0 1,500<br>463,607<br>1,560,372<br>5 385,000<br>256,000<br>1 257,000<br>5 991,120<br>0 22,100<br>0 120,100                                                                                                                                                                                                                                                                                                                                                                                                                                                                                                                                                                                                                                                                                                                                                                                                                                                                                                                                                                                                                                                                                                                                                                                                                                                                                                                                                                                                                                                                                                                                                                                                                                                                                                                                                                                                                                                                                                                                                                                                                                                                                                                                                                                                                                                                                                                                                                                                                                                                                                                  |
| 36<br>36<br>36<br>33<br>43<br>43<br>43<br>43<br>43<br>44<br>45                                                       | A 種類 1900 1903 1900 1903 1900 1903 1903 1903                                                                                                                                                                                                                                                                                                                                                                                                                                                                                                                                                                                                                                                                                                                                                                                                                                                                                                                                                                                                                                                                                                                                                                                                                                                                                                                                                                                                                                                                                                                                                                                                                                                                                                                                                                                                                                                                                                                                                                                                                                                                                  | 65 9 94<br>87 9 94<br>7 97 - 12/88<br>90 - 12/88<br>12/80 - 12/89<br>12/80 - 12/89<br>12/80 - 12/89<br>12/80 - 12/89<br>13/80 - 12/89<br>14/80 - 12/89<br>16/80 -                                                                                                                                                                                                                                                                                                                     | \$ 63876 1 0<br>1 00 1 0<br>1 00 2 8<br>4 78472 2 0<br>1 5549 3 2<br>1 00 2 0<br>4 2.94 2 3<br>4 00 0<br>3 6064 10 4<br>1 00 4 0<br>1 0 0 0<br>1                                                                                                                      | 964 1.00<br>1.40<br>0.92<br>9 7.20<br>6 1.34<br>7 20.80<br>977 0.70<br>9 2.10<br>2.25<br>1.32<br>0.84<br>6.60<br>6.90<br>1.35<br>1.06                                                                                                                                                                                                                                                                                                                                                                                                                                                                                                                                                                                                                                                                                                                                                                                                                                                                                                                                                                                                                                                                                                                                                                                                                                                                                                                                                                                                                                                                                                                                                                                                                                                                                                                                                                                                                                                                                                                                                                                                                                                                                                                                                                                                                                                                                                                                                                                                                                                                                                                                                                                                                                                                                                                                                                                                                                                                                                    | 1.00<br>1.30<br>0.77<br>6.80<br>1.23<br>20.80<br>0.66<br>1.96<br>2.00<br>2.40<br>1.30<br>0.74<br>6.40<br>6.70<br>1.20<br>0.95                                                                                                                                                                                                                                                                                                                                                                                                                                                                                                                                                                                                                                                                                                                                                                                                                                                                                                                                                                                                                                                                                                                                                                                                                                                                                                                                                                                                                                                                                                                                                                                                                                                                                                                                                                                                                                                                                                                                                                                                                                                                                                                                                                                                                                                                                                                                                                                                                                                                                                                                                                                                                                                                                                          | 1.00 -2.0 1.34 +0.0 0.78 -0.0 6.85 -0.1 1.25 -0.0 21.00 -0.1 0.66 +0.0 1.99 -0.0 2.00 -0.2 2.45 -0.0 1.31 +0.0 0.75 -0.0 6.40 -0.1 6.80 -0.1 1.33 +0.3 1.07 +0.1                                                                                                                                                                                                                                                                                                                                                                                                                                                                                                                                                                                                                                                                                                                                                                                                                                                                                                                                                                                                                                                                                                                                                                                                                                                                                                                                                                                                                                                                                                                                                                                                                                                                                                                                                                                                                                                                                                                                                               | 23,817,000<br>30,000<br>30,000<br>30,000<br>4 2,582,445<br>3,726,206<br>5 1,003,188<br>5 2,330,800<br>0 1,500<br>463,607<br>1,560,372<br>385,000<br>256,000<br>1 257,000<br>5 991,120<br>0 22,100<br>0 120,100<br>3 720,000<br>5 538,000                                                                                                                                                                                                                                                                                                                                                                                                                                                                                                                                                                                                                                                                                                                                                                                                                                                                                                                                                                                                                                                                                                                                                                                                                                                                                                                                                                                                                                                                                                                                                                                                                                                                                                                                                                                                                                                                                                                                                                                                                                                                                                                                                                                                                                                                                                                                                                                                                                                                                |
| 14 00 36 36 34 11 12 12 12 12 12 12 12 12 12 12 12 12                                                                | 中 16 1 19 1 19 1 19 1 19 1 19 1 19 1 19                                                                                                                                                                                                                                                                                                                                                                                                                                                                                                                                                                                                                                                                                                                                                                                                                                                                                                                                                                                                                                                                                                                                                                                                                                                                                                                                                                                                                                                                                                                                                                                                                                                                                                                                                                                                                                                                                                                                                                                                                                                                                       | 60 9 94<br>                                                                                                                                                                                                                                                                                                                                                                                                                                                                                                                                                                                                                                                                                                                                                                                                                                                                                                                                                                                                                                                                                                                                                                                                                                                                                                                                                                                                                                                                                                                                                                                                                                                                                                                                                                                                                                                                                                                                                                                                                                                                                                                                                                                                                                                                                                                                                                                                                                                                                                                                                                                                                                                                                                                          | \$ 63876 1 0<br>1 00 1 0<br>1 00 2 8<br>4 78472 2 0<br>1 5549 3 2<br>1 00 2 0<br>4 2.94 2 3<br>4 00 0<br>3 6064 10 4<br>1 00 9 0<br>1 00 9 0<br>1 00 1 4<br>4 0 0 1 0<br>2 0 1 1 0<br>1 00 2 3<br>2 0 0 8 3<br>2 0 0 8 3<br>1 00 0 1                                                                                                                                                                                                                                                                                                                                                                                                                                                                                                                                                                                                                                                                                                                                                                                                                                                                                                                                                                                                                                                                                                                                                                                                                                                                                                                                                                                                                                                                                                                                                                                                                                                                                                                                                                                                                                                                                                                                                                                                                                                                                                                                                                                                                                                                                                                                                                                                                                                                                                                                                                                                                                                                                                                                               | 964 1.00<br>1.40<br>0.92<br>9 7.20<br>6 1.34<br>7 20.80<br>977 0.70<br>9 2.10<br>2.25<br>1.32<br>0.84<br>6.60<br>6.90<br>1.35<br>1.06                                                                                                                                                                                                                                                                                                                                                                                                                                                                                                                                                                                                                                                                                                                                                                                                                                                                                                                                                                                                                                                                                                                                                                                                                                                                                                                                                                                                                                                                                                                                                                                                                                                                                                                                                                                                                                                                                                                                                                                                                                                                                                                                                                                                                                                                                                                                                                                                                                                                                                                                                                                                                                                                                                                                                                                                                                                                                                    | 1.00<br>1.30<br>0.77<br>6.80<br>1.23<br>20.80<br>0.66<br>1.96<br>2.00<br>2.40<br>1.30<br>0.74<br>6.40<br>6.70<br>1.20                                                                                                                                                                                                                                                                                                                                                                                                                                                                                                                                                                                                                                                                                                                                                                                                                                                                                                                                                                                                                                                                                                                                                                                                                                                                                                                                                                                                                                                                                                                                                                                                                                                                                                                                                                                                                                                                                                                                                                                                                                                                                                                                                                                                                                                                                                                                                                                                                                                                                                                                                                                                                                                                                                                  | 1.00 -2.0 1.34 +0.0 0.78 -0.0 6.85 -0.1 1.25 -0.0 21.00 -0.1 0.66 +0.0 1.99 -0.0 2.00 -0.2 2.45 -0.0 1.31 +0.0 0.75 -0.0 6.40 -0.1 6.80 -0.1 1.33 +0.3                                                                                                                                                                                                                                                                                                                                                                                                                                                                                                                                                                                                                                                                                                                                                                                                                                                                                                                                                                                                                                                                                                                                                                                                                                                                                                                                                                                                                                                                                                                                                                                                                                                                                                                                                                                                                                                                                                                                                                         | 007 23,817,000<br>002 3,324,000<br>00 30,000<br>04 2,582,445<br>04 3,726,206<br>05 1,003,188<br>15 2,330,800<br>0 1,500<br>16 463,607<br>17 1,560,372<br>18 385,000<br>19 257,000<br>10 22,100<br>10 120,100<br>10 720,000<br>10 720,000<br>10 700,000                                                                                                                                                                                                                                                                                                                                                                                                                                                                                                                                                                                                                                                                                                                                                                                                                                                                                                                                                                                                                                                                                                                                                                                                                                                                                                                                                                                                                                                                                                                                                                                                                                                                                                                                                                                                                                                                                                                                                                                                                                                                                                                                                                                                                                                                                                                                                                                                                                                                  |
| 26 36 36 37 3 42 3 42 3 42 3 42 3 42 3 42 3 42 3                                                                     | 自 16 1 19 1 19 19 19 19 19 19 19 19 19 19 19                                                                                                                                                                                                                                                                                                                                                                                                                                                                                                                                                                                                                                                                                                                                                                                                                                                                                                                                                                                                                                                                                                                                                                                                                                                                                                                                                                                                                                                                                                                                                                                                                                                                                                                                                                                                                                                                                                                                                                                                                                                                                  | 50 9 94<br>87 - 12/88<br>90 - 12/80<br>12/80 - 12/89<br>12/80 - 12/89<br>13/80 - 12/89<br>13/80 - 12/89<br>14/80 - 12/89<br>15/80 - 12/89<br>16/80 - 12/89<br>16/                                                                                                                                                                                                                                                                                                                     | \$ 63876 1 0<br>1 00 1 0<br>1 00 2 8<br>4 78472 2 0<br>1 5549 3 2<br>1 00 2 0<br>4 2.94 2 3<br>4 00 0<br>2 00 1 0<br>4 00 4 0<br>1 00 4 0<br>1 00 4 0<br>1 00 2 3<br>2 00 1 0<br>1 00 2 3<br>2 00 8 3<br>1 00 2 8<br>1 00 2 8<br>1 00 2 8                                                                                                                                                                                                                                                                                                                                                                                                                                                                                                                                                                                                                                                                                                                                                                                                                                                                                                                                                                                                                                                                                                                                                                                                                                                                                                                                                                                                                                                                                                                                                                                                                                                                                                                                                                                                                                                                                                                                                                                                                                                                                                                                                                                                                                                                                                                                                                                                                                                                                                                                                                                                                                                                                                                                          | 962 1.00<br>1.40<br>0.92<br>8 7.20<br>6 1.34<br>7 20.80<br>977 0.70<br>9 2.10<br>2.25<br>1.32<br>0.84<br>6.60<br>6.90<br>1.35<br>1.06<br>1.10                                                                                                                                                                                                                                                                                                                                                                                                                                                                                                                                                                                                                                                                                                                                                                                                                                                                                                                                                                                                                                                                                                                                                                                                                                                                                                                                                                                                                                                                                                                                                                                                                                                                                                                                                                                                                                                                                                                                                                                                                                                                                                                                                                                                                                                                                                                                                                                                                                                                                                                                                                                                                                                                                                                                                                                                                                                                                            | 1.00<br>1.30<br>0.77<br>6.80<br>1.23<br>20.80<br>0.66<br>1.96<br>2.00<br>2.40<br>1.30<br>0.74<br>6.40<br>6.70<br>1.20<br>0.95                                                                                                                                                                                                                                                                                                                                                                                                                                                                                                                                                                                                                                                                                                                                                                                                                                                                                                                                                                                                                                                                                                                                                                                                                                                                                                                                                                                                                                                                                                                                                                                                                                                                                                                                                                                                                                                                                                                                                                                                                                                                                                                                                                                                                                                                                                                                                                                                                                                                                                                                                                                                                                                                                                          | 1.00 -2.0 1.34 +0.0 0.78 -0.0 6.85 -0.1 1.25 -0.0 21.00 -0.1 0.66 +0.0 1.99 -0.0 2.00 -0.2 2.45 -0.0 1.31 +0.0 0.75 -0.0 6.40 -0.1 6.80 -0.1 1.33 +0.3 1.07 +0.16                                                                                                                                                                                                                                                                                                                                                                                                                                                                                                                                                                                                                                                                                                                                                                                                                                                                                                                                                                                                                                                                                                                                                                                                                                                                                                                                                                                                                                                                                                                                                                                                                                                                                                                                                                                                                                                                                                                                                              | 007 23,817,000<br>002 3,324,000<br>00 30,000<br>04 2,582,445<br>04 3,726,206<br>05 1,003,188<br>15 2,330,800<br>1,500<br>1,500<br>1,560,372<br>135,000<br>15 256,000<br>10 22,100<br>10 22,100<br>10 120,100<br>10 120,100<br>10 120,100<br>10 120,100<br>10 120,000<br>10 120,000                                                                                                                                                                                                                                                                                                                                                                                                                                                                                                                                                                                                                                                                                                                                                                                                                                                                                                                                                                                                                                                                                                                                                                                                                                                                                                                                                                                                                                                                                                                                                                                                                                                                                                                                                                                                                                                                                                                                                                                                                                                                                                                                                                                                                                  |
| 26<br>36<br>36<br>36<br>37<br>43<br>43<br>43<br>43<br>44<br>44<br>44<br>44<br>44<br>44<br>44<br>44<br>44             | 46 15 19 17 17 17 17 17 17 17 17 17 17 17 17 17                                                                                                                                                                                                                                                                                                                                                                                                                                                                                                                                                                                                                                                                                                                                                                                                                                                                                                                                                                                                                                                                                                                                                                                                                                                                                                                                                                                                                                                                                                                                                                                                                                                                                                                                                                                                                                                                                                                                                                                                                                                                               | 50 9 94<br>87 - 12/88<br>9 94<br>12/88<br>13/80 - 12/88<br>13/80 - 12/88<br>13/80 - 12/88<br>14/80 - 12/88<br>15/80 - 12/88<br>16/80 - 12/88<br>16                                                                                                                                                                                                                                                                                                                   | \$ 63876 1 0<br>1 00 1 0<br>1 00 2 8<br>4 78472 2 0<br>1 5549 3 2<br>1 00 2 0<br>4 2.94 2 3<br>4 00 0<br>3 6064 10 4<br>1 00 1 4<br>4 0 1 1 0<br>2 0 1 1 0<br>1 0 0 1 4<br>4 0 1 1 0<br>2 0 1 1 0<br>1 0 0 2 3<br>2 0 0 8 3<br>1 0 0 1 2 8<br>1 1 0 0 2 8<br>1 1 1 1 2 8<br>1 | 262 1.00 1.40 0.92 8 7.20 0 1.34 7 20.80 9 7.10 2.25 0 2.55 1 1.32 0.84 6.60 6.90 1.35 1.06 1.10 1.00 0.60                                                                                                                                                                                                                                                                                                                                                                                                                                                                                                                                                                                                                                                                                                                                                                                                                                                                                                                                                                                                                                                                                                                                                                                                                                                                                                                                                                                                                                                                                                                                                                                                                                                                                                                                                                                                                                                                                                                                                                                                                                                                                                                                                                                                                                                                                                                                                                                                                                                                                                                                                                                                                                                                                                                                                                                                                                                                                                                               | 1.00<br>1.30<br>0.77<br>6.80<br>1.23<br>20.80<br>0.66<br>1.96<br>2.00<br>2.40<br>1.30<br>0.74<br>6.40<br>6.70<br>1.20<br>0.95<br>1.01                                                                                                                                                                                                                                                                                                                                                                                                                                                                                                                                                                                                                                                                                                                                                                                                                                                                                                                                                                                                                                                                                                                                                                                                                                                                                                                                                                                                                                                                                                                                                                                                                                                                                                                                                                                                                                                                                                                                                                                                                                                                                                                                                                                                                                                                                                                                                                                                                                                                                                                                                                                                                                                                                                  | 1.00 -2.0 1.34 +0.0 0.78 -0.0 6.85 -0.1 1.25 -0.0 21.00 -0.1 0.66 +0.0 1.99 -0.0 2.00 -0.2 2.45 -0.0 6.40 -0.1 6.80 -0.1 1.33 +0.3 1.07 +0.1 1.10 +0.10 0.79 +0.0 1.00 +0.1 0.61 +0.20 0.48 +0.0                                                                                                                                                                                                                                                                                                                                                                                                                                                                                                                                                                                                                                                                                                                                                                                                                                                                                                                                                                                                                                                                                                                                                                                                                                                                                                                                                                                                                                                                                                                                                                                                                                                                                                                                                                                                                                                                                                                               | 23,817,000<br>30,000<br>30,000<br>4 2,582,445<br>4 3,726,206<br>5 1,003,188<br>5 2,330,800<br>0 1,500<br>463,607<br>1,560,372<br>5 385,000<br>15 256,000<br>10 120,100<br>10 120,100<br>10 120,100<br>10 120,100<br>10 120,100<br>10 120,100<br>10 120,100<br>10 120,000<br>10 120,000<br>11 15,000<br>11 15,000<br>11 15,000<br>11 15,000                                                                                                                                                                                                                                                                                                                                                                                                                                                                                                                                                                                                                                                                                                                                                                                                                                                                                                                                                                                                                                                                                                                                                                                                                                                                                                                                                                                                                                                                                                                                                                                                                                                                                                                                                                                                                                                                                                                                                                                                                                                                                                                                                                                                                                                                                                                                                                              |
| 19 10 10 10 10 10 10 10 10 10 10 10 10 10                                                                            | 4 6 6 19 9 19 19 19 19 19 19 19 19 19 19 19 1                                                                                                                                                                                                                                                                                                                                                                                                                                                                                                                                                                                                                                                                                                                                                                                                                                                                                                                                                                                                                                                                                                                                                                                                                                                                                                                                                                                                                                                                                                                                                                                                                                                                                                                                                                                                                                                                                                                                                                                                                                                                                 | 92 94 88 9 94 88 9 94 88 9 94 88 9 94 88 9 94 88 9 94 88 9 94 88 9 94 88 9 94 88 9 94 88 9 94 88 9 94 88 9 94 88 9 94 88 9 94 88 9 94 88 9 94 88 9 94 88 9 94 88 9 94 88 9 94 88 9 94 88 9 94 88 9 94 88 9 94 88 9 94 88 9 94 88 9 94 88 9 94 88 9 94 88 9 94 88 9 94 88 9 94 88 9 94 88 9 94 88 9 94 88 9 94 88 9 94 88 9 94 88 9 94 88 9 94 88 9 94 88 9 94 88 9 94 88 9 94 88 9 94 88 9 94 88 9 94 88 9 94 88 9 94 88 9 94 88 9 94 88 9 94 88 9 94 88 9 94 88 9 94 88 9 94 88 9 94 88 9 94 88 9 94 88 9 94 88 9 94 88 9 94 88 9 94 88 9 94 88 9 94 88 9 94 88 9 94 88 9 94 88 9 94 88 9 94 88 9 94 88 9 94 88 9 94 88 9 94 88 9 94 88 9 94 88 9 94 88 9 94 88 9 94 88 9 94 88 9 94 88 9 94 88 9 94 88 9 94 88 9 94 88 9 94 88 9 94 88 9 94 88 9 94 88 9 94 88 9 94 88 9 94 88 9 94 88 9 94 88 9 94 88 9 94 88 9 94 88 9 94 88 9 94 88 9 94 88 9 94 88 9 94 88 9 94 88 9 94 88 9 94 88 9 94 88 9 94 88 9 94 88 9 94 94 94 94 94 94 94 94 94 94 94 94 9                                                                                                                                                                                                                                                                                                                                                                                                                                                                                                                                                                                                                                                                                                                                                                                                                                                                                                                                                                                                                                                                                                                                                                                                                                                                                                                                                                                                                                                                                                                                                                                                                                                                                                                                                                             | \$ 63876 1 0<br>1 00 1 0<br>1 00 2 8<br>4 78472 2 0<br>1 5549 3 2<br>1 30 2 0<br>4 2.94 2 3<br>4 00 0<br>3 6064 10 4<br>1 00 4 0<br>1 00 4 0<br>1 00 2 3<br>2 01 1 0<br>1 00 2 3<br>2 01 2 8 3<br>2 01 3 3<br>4 00 0<br>1 00 2 3<br>1 00                                                                                                                                                                                                                                                                                                                                                                               | 962 1.00<br>1.40<br>0.92<br>9 7.20<br>6 1.34<br>7 20.80<br>977 0.70<br>9 2.10<br>2.25<br>1.32<br>0.84<br>6.60<br>6.90<br>1.35<br>1.06<br>1.10<br>1.00<br>0.60<br>0.49<br>0.29                                                                                                                                                                                                                                                                                                                                                                                                                                                                                                                                                                                                                                                                                                                                                                                                                                                                                                                                                                                                                                                                                                                                                                                                                                                                                                                                                                                                                                                                                                                                                                                                                                                                                                                                                                                                                                                                                                                                                                                                                                                                                                                                                                                                                                                                                                                                                                                                                                                                                                                                                                                                                                                                                                                                                                                                                                                            | 1.00<br>1.30<br>0.77<br>6.80<br>1.23<br>20.80<br>0.66<br>1.96<br>2.00<br>2.40<br>1.30<br>6.74<br>6.40<br>6.70<br>1.20<br>0.95<br>1.01<br>0.98<br>0.43<br>0.47<br>0.25                                                                                                                                                                                                                                                                                                                                                                                                                                                                                                                                                                                                                                                                                                                                                                                                                                                                                                                                                                                                                                                                                                                                                                                                                                                                                                                                                                                                                                                                                                                                                                                                                                                                                                                                                                                                                                                                                                                                                                                                                                                                                                                                                                                                                                                                                                                                                                                                                                                                                                                                                                                                                                                                  | 1.00 -2.0 1.34 +0.0 0.78 -0.0 6.85 -0.1 1.25 -0.0 21.00 -0.1 0.66 +0.0 1.99 -0.0 2.00 -0.2 2.45 -0.0 6.40 -0.1 6.80 -0.1 6.80 -0.1 1.33 +0.3 1.07 +0.1 1.10 +0.10 0.79 +0.0 1.00 +0.1 0.61 +0.26 0.48 +0.0 0.26 +0.0                                                                                                                                                                                                                                                                                                                                                                                                                                                                                                                                                                                                                                                                                                                                                                                                                                                                                                                                                                                                                                                                                                                                                                                                                                                                                                                                                                                                                                                                                                                                                                                                                                                                                                                                                                                                                                                                                                           | 23,817,000<br>30,324,000<br>30,000<br>4 2,582,445<br>3,726,206<br>5 1,003,188<br>5 2,330,800<br>0 1,500<br>463,607<br>11,560,372<br>385,000<br>15 256,000<br>15 256,000<br>10 120,100<br>11 20,100<br>120,100<br>120,100<br>120,100<br>120,100<br>120,000<br>120,000<br>120,000<br>120,000<br>120,000<br>115,000<br>115,000<br>125,000<br>125,000                                                                                                                                                                                                                                                                                                                                                                                                                                                                                                                                                                                                                                                                                                                                                                                                                                                                                                                                                                                                                                                                                                                                                                                                                                                                                                                                                                                                                                                                                                                                                                                                                                                                                                                                                                                                                                                                                                                                                                                                                                                                                                                                                                                                                                                                                                                                                                       |
| 26<br>36<br>36<br>37<br>37<br>37<br>37<br>37<br>37<br>37<br>37<br>37<br>37<br>37<br>37<br>37                         | 4 6 6 19 19 19 19 19 19 19 19 19 19 19 19 19                                                                                                                                                                                                                                                                                                                                                                                                                                                                                                                                                                                                                                                                                                                                                                                                                                                                                                                                                                                                                                                                                                                                                                                                                                                                                                                                                                                                                                                                                                                                                                                                                                                                                                                                                                                                                                                                                                                                                                                                                                                                                  | 50 9 94<br>87 - 12/88<br>9 94<br>12/88<br>12/88<br>13/88<br>13/88<br>14/88<br>15/88<br>16/88<br>16/88<br>16/88<br>16/88<br>16/88<br>16/88<br>16/88<br>16/88<br>16/88<br>16/88<br>16/88<br>16/88<br>16/88<br>16/88<br>16/88<br>16/88<br>16/88<br>16/88<br>16/88<br>16/88<br>16/88<br>16/88<br>16/88<br>16/88<br>16/88<br>16/88<br>16/88<br>16/88<br>16/88<br>16/88<br>16/88<br>16/88<br>16/88<br>16/88<br>16/88<br>16/88<br>16/88<br>16/88<br>16/88<br>16/88<br>16/88<br>16/88<br>16/88<br>16/88<br>16/88<br>16/88<br>16/88<br>16/88<br>16/88<br>16/88<br>16/88<br>16/88<br>16/88<br>16/88<br>16/88<br>16/88<br>16/88<br>16/88<br>16/88<br>16/88<br>16/88<br>16/88<br>16/88<br>16/88<br>16/88<br>16/88<br>16/88<br>16/88<br>16/88<br>16/88<br>16/88<br>16/88<br>16/88<br>16/88<br>16/88<br>16/88<br>16/88<br>16/88<br>16/88<br>16/88<br>16/88<br>16/88<br>16/88<br>16/88<br>16/88<br>16/88<br>16/88<br>16/88<br>16/88<br>16/88<br>16/88<br>16/88<br>16/88<br>16/88<br>16/88<br>16/88<br>16/88<br>16/88<br>16/88<br>16/88<br>16/88<br>16/88<br>16/88<br>16/88<br>16/88<br>16/88<br>16/88<br>16/88<br>16/88<br>16/88<br>16/88<br>16/88<br>16/88<br>16/88<br>16/88<br>16/88<br>16/88<br>16/88<br>16/88<br>16/88<br>16/88<br>16/88<br>16/88<br>16/88<br>16/88<br>16/88<br>16/88<br>16/88<br>16/88<br>16/88<br>16/88<br>16/88<br>16/88<br>16/88<br>16/88<br>16/88<br>16/88<br>16/88<br>16/88<br>16/88<br>16/88<br>16/88<br>16/88<br>16/88<br>16/88<br>16/88<br>16/88<br>16/88<br>16/88<br>16/88<br>16/88<br>16/88<br>16/88<br>16/88<br>16/88<br>16/88<br>16/88<br>16/88<br>16/88<br>16/88<br>16/88<br>16/88<br>16/88<br>16/88<br>16/88<br>16/88<br>16/88<br>16/88<br>16/88<br>16/88<br>16/88<br>16/88<br>16/88<br>16/88<br>16/88<br>16/88<br>16/88<br>16/88<br>16/88<br>16/88<br>16/88<br>16/88<br>16/88<br>16/88<br>16/88<br>16/88<br>16/88<br>16/88<br>16/88<br>16/88<br>16/88<br>16/88<br>16/88<br>16/88<br>16/88<br>16/88<br>16/88<br>16/88<br>16/88<br>16/88<br>16/88<br>16/88<br>16/88<br>16/88<br>16/88<br>16/88<br>16/88<br>16/88<br>16/88<br>16/88<br>16/88<br>16/88<br>16/88<br>16/88<br>16/88<br>16/88<br>16/88<br>16/88<br>16/88<br>16/88<br>16/88<br>16/88<br>16/88<br>16/88<br>16/88<br>16/88<br>16/88<br>16/88<br>16/88<br>16/88<br>16/88<br>16/88<br>16/88<br>16/88<br>16/88<br>16/88<br>16/88<br>16/88<br>16/88<br>16/88<br>16/88<br>16/88<br>16/88<br>16/88<br>16/88<br>16/88<br>16/88<br>16/88<br>16/88<br>16/88<br>16/88<br>16/88<br>16/88<br>16/88<br>16/88<br>16/88<br>16/88<br>16/88<br>16/88<br>16/88<br>16/88<br>16/88<br>16/88<br>16/88<br>16/88<br>16/88<br>16/88<br>16/88<br>16/88<br>16/88<br>16/88<br>16/88<br>16/88<br>16/88<br>16/88<br>16/88<br>16/88<br>16/88<br>16/88<br>16/88<br>16/88<br>16/88<br>16/ | \$ 63876 1 0<br>1 00 1 0<br>1 00 2 8<br>4 78472 2 0<br>1 5549 3 2<br>1 00 2 0<br>4 2.94 2 3<br>4 00 0<br>1 00 4 0<br>1 00 4 0<br>1 00 4 0<br>1 00 2 3<br>2 01 1 0<br>1 00 2 3<br>2 01 2 8 3<br>2 01 8 3<br>1 00 2 8<br>1 10 3 1 2<br>1 10 3 1 3 1 2<br>1 10 3 1 3 1 3 1 3 1 3 1 3 1 3 1 3 1 3 1                                                                                                                                                                                                                                                                                                                                                                                                                                                                                                                                                                                                                                                                                                                                        | 262 1.00 1.40 0.92 8 7.20 0 1.34 7 20.80 977 0.70 9 2.10 2.25 1.32 0.84 6.60 6.90 1.35 1.06 1.10 1.00 0.60 0.49 0.29 777 1.95 0.25                                                                                                                                                                                                                                                                                                                                                                                                                                                                                                                                                                                                                                                                                                                                                                                                                                                                                                                                                                                                                                                                                                                                                                                                                                                                                                                                                                                                                                                                                                                                                                                                                                                                                                                                                                                                                                                                                                                                                                                                                                                                                                                                                                                                                                                                                                                                                                                                                                                                                                                                                                                                                                                                                                                                                                                                                                                                                                       | 1.00<br>1.30<br>0.77<br>6.80<br>1.23<br>20.80<br>0.66<br>1.96<br>2.00<br>2.40<br>1.30<br>0.74<br>6.40<br>6.70<br>1.20<br>0.95<br>1.01                                                                                                                                                                                                                                                                                                                                                                                                                                                                                                                                                                                                                                                                                                                                                                                                                                                                                                                                                                                                                                                                                                                                                                                                                                                                                                                                                                                                                                                                                                                                                                                                                                                                                                                                                                                                                                                                                                                                                                                                                                                                                                                                                                                                                                                                                                                                                                                                                                                                                                                                                                                                                                                                                                  | 1.00 -2.0 1.34 +0.0 0.78 -0.0 6.85 -0.1 1.25 -0.0 21.00 -0.1 0.66 +0.0 1.99 -0.0 2.00 -0.2 2.45 -0.0 6.40 -0.1 6.80 -0.1 1.33 +0.3 1.07 +0.1 1.10 +0.10 0.79 +0.0 1.00 +0.1 0.61 +0.20 0.48 +0.0                                                                                                                                                                                                                                                                                                                                                                                                                                                                                                                                                                                                                                                                                                                                                                                                                                                                                                                                                                                                                                                                                                                                                                                                                                                                                                                                                                                                                                                                                                                                                                                                                                                                                                                                                                                                                                                                                                                               | 23,817,000<br>30,000<br>30,000<br>4 2,582,445<br>3,726,206<br>5 1,003,188<br>5 2,330,800<br>0 1,500<br>463,607<br>1,560,372<br>385,000<br>256,000<br>1 257,000<br>1 257,000<br>1 257,000<br>1 257,000<br>1 20,100<br>1 20,100<br>1 20,100<br>1 20,100<br>1 20,100<br>1 20,100<br>1 20,000<br>5 38,000<br>6 700,000<br>76,000<br>25 3,816,000<br>1 805,164                                                                                                                                                                                                                                                                                                                                                                                                                                                                                                                                                                                                                                                                                                                                                                                                                                                                                                                                                                                                                                                                                                                                                                                                                                                                                                                                                                                                                                                                                                                                                                                                                                                                                                                                                                                                                                                                                                                                                                                                                                                                                                                                                                                                                                                                                                                                                               |
| 36<br>36<br>36<br>36<br>37<br>37<br>37<br>37<br>37<br>37<br>37<br>37<br>37<br>37<br>37<br>37<br>37                   | 自 46 1 19 1 19 13 13 13 13 13 13 13 13 13 13 13 13 13                                                                                                                                                                                                                                                                                                                                                                                                                                                                                                                                                                                                                                                                                                                                                                                                                                                                                                                                                                                                                                                                                                                                                                                                                                                                                                                                                                                                                                                                                                                                                                                                                                                                                                                                                                                                                                                                                                                                                                                                                                                                         | 50 9 94<br>87 - 12 88<br>9 94<br>12 88<br>13 80 - 12 88<br>13 80 - 12 88<br>14 80 - 12 88<br>15 87 - 12 88<br>16 88 - 12 88<br>17 88 - 12 88<br>18                                                                                                                                                                                                                                                                                                                   | \$ 63876 1 0<br>1 00 1 0<br>1 00 2 8<br>4 78472 2 0<br>1 5549 3 2<br>1 00 2 0<br>4 2.94 2 3<br>4 00 0<br>1 00 4 0<br>1 00 4 0<br>1 00 4 0<br>1 00 2 3<br>2 01 1 0<br>1 00 2 3<br>2 01 2 8 3<br>2 01 8 3<br>1 00 2 8<br>1 10 3 10 3 10 3<br>1 10 3 10 3<br>1 10 3                                                                                                                                                                                                                                                                                                                                                                                                                                                                                                                                          | 262 1.00 1.40 0.92 8 7.20 6 1.34 7 20.80 9 7.10 2.10 2.25 1.32 0.84 6.60 6.90 1.35 1.06 1.10 1.00 0.60 0.49 0.29 772 1.95 0.25                                                                                                                                                                                                                                                                                                                                                                                                                                                                                                                                                                                                                                                                                                                                                                                                                                                                                                                                                                                                                                                                                                                                                                                                                                                                                                                                                                                                                                                                                                                                                                                                                                                                                                                                                                                                                                                                                                                                                                                                                                                                                                                                                                                                                                                                                                                                                                                                                                                                                                                                                                                                                                                                                                                                                                                                                                                                                                           | 1.00<br>1.30<br>0.77<br>6.80<br>1.23<br>20.80<br>0.66<br>1.96<br>2.00<br>2.40<br>1.30<br>0.74<br>6.40<br>6.70<br>1.20<br>0.95<br>1.01<br>0.98<br>0.43<br>0.47<br>0.25<br>1.88<br>0.241                                                                                                                                                                                                                                                                                                                                                                                                                                                                                                                                                                                                                                                                                                                                                                                                                                                                                                                                                                                                                                                                                                                                                                                                                                                                                                                                                                                                                                                                                                                                                                                                                                                                                                                                                                                                                                                                                                                                                                                                                                                                                                                                                                                                                                                                                                                                                                                                                                                                                                                                                                                                                                                 | 1.00 -2.0 1.34 +0.0 0.78 -0.0 6.85 -0.1 1.25 -0.0 21.00 -0.1 0.66 +0.0 1.99 -0.0 2.00 -0.2 2.45 -0.0 6.40 -0.1 6.80 -0.1 1.33 +0.3 1.07 +0.1 1.10 +0.10 0.79 +0.0 1.00 +0.1 0.61 +0.20 0.48 +0.0 0.26 +0.0 1.90 +0.0 1.90 +0.0 1.90 +0.0 1.90 +0.0 1.90 +0.0 1.90 +0.0 1.90 +0.0                                                                                                                                                                                                                                                                                                                                                                                                                                                                                                                                                                                                                                                                                                                                                                                                                                                                                                                                                                                                                                                                                                                                                                                                                                                                                                                                                                                                                                                                                                                                                                                                                                                                                                                                                                                                                                               | 23,817,000<br>30,000<br>30,000<br>4 2,582,445<br>3,726,206<br>5 1,003,188<br>5 2,330,800<br>0 1,500<br>463,607<br>1,560,372<br>385,000<br>256,000<br>5 991,120<br>0 22,100<br>0 120,100<br>3 720,000<br>5 538,000<br>6 700,000<br>5 120,000<br>6 700,000<br>76,000<br>25 3,816,000<br>1 805,164<br>13 626,000                                                                                                                                                                                                                                                                                                                                                                                                                                                                                                                                                                                                                                                                                                                                                                                                                                                                                                                                                                                                                                                                                                                                                                                                                                                                                                                                                                                                                                                                                                                                                                                                                                                                                                                                                                                                                                                                                                                                                                                                                                                                                                                                                                                                                                                                                                                                                                                                           |
| 26 36 36 37 3 22 37 37 37 37 37 37 37 37 37 37 37 37 37                                                              | 中 6 6 1 19 1 1 1 1 1 1 1 1 1 1 1 1 1 1 1                                                                                                                                                                                                                                                                                                                                                                                                                                                                                                                                                                                                                                                                                                                                                                                                                                                                                                                                                                                                                                                                                                                                                                                                                                                                                                                                                                                                                                                                                                                                                                                                                                                                                                                                                                                                                                                                                                                                                                                                                                                                                      | 50 9 94<br>87 - 12/88<br>9 94<br>1/90 - 12/88<br>9 94<br>1/90 - 12/88<br>1/90 - 12/8                                                                                                                                                                                                                                                                                                 | \$ 63876 1 0<br>1 00 1 0<br>1 00 2 8<br>4 78472 2 0<br>1 5549 3 2<br>1 00 2 0<br>4 2.94 2 3<br>4 00 0<br>1 00 4 0<br>1 00 4 0<br>1 00 4 0<br>1 00 2 3<br>2 01 1 0<br>1 00 2 3<br>2 01 2 8 3<br>2 01 3 4 0<br>1 00 2 3<br>1 00 3 6<br>1 00                                                                                                                                                                                                                                                                                                                                                                                                                              | 262 1.00 1.40 0.92 8 7.20 6 1.34 7 20.80 9 7.10 2.10 2.25 1.32 0.84 6.60 6.90 1.35 1.06 1.10 1.00 0.60 0.49 0.29 772 1.95 0.25                                                                                                                                                                                                                                                                                                                                                                                                                                                                                                                                                                                                                                                                                                                                                                                                                                                                                                                                                                                                                                                                                                                                                                                                                                                                                                                                                                                                                                                                                                                                                                                                                                                                                                                                                                                                                                                                                                                                                                                                                                                                                                                                                                                                                                                                                                                                                                                                                                                                                                                                                                                                                                                                                                                                                                                                                                                                                                           | 1.00<br>1.30<br>0.77<br>6.80<br>1.23<br>20.80<br>0.66<br>1.96<br>2.00<br>2.40<br>1.30<br>0.74<br>6.40<br>6.70<br>1.20<br>0.95<br>1.01<br>0.98<br>0.43<br>0.47<br>0.25                                                                                                                                                                                                                                                                                                                                                                                                                                                                                                                                                                                                                                                                                                                                                                                                                                                                                                                                                                                                                                                                                                                                                                                                                                                                                                                                                                                                                                                                                                                                                                                                                                                                                                                                                                                                                                                                                                                                                                                                                                                                                                                                                                                                                                                                                                                                                                                                                                                                                                                                                                                                                                                                  | 1.00 -2.0 1.34 +0.0 0.78 -0.0 6.85 -0.1 1.25 -0.0 21.00 -0.1 0.66 +0.0 1.99 -0.0 2.00 -0.2 2.45 -0.0 6.40 -0.1 6.80 -0.1 1.33 +0.3 1.07 +0.1 1.10 +0.10 0.79 +0.0 1.00 +0.1 0.61 +0.20 0.48 +0.0 0.26 +0.0 1.90 +0.0                                                                                                                                                                                                                                                                                                                                                                                                                                                                                                                                                                                                                                                                                                                                                                                                                                                                                                                                                                                                                                                                                                                                                                                                                                                                                                                                                                                                                                                                                                                                                                                                                                                                                                                                                                                                                                                                                                           | 23,817,000<br>30,000<br>30,000<br>4 2,582,445<br>3,726,206<br>5 1,003,188<br>5 2,330,800<br>0 1,500<br>463,607<br>1,560,372<br>385,000<br>256,000<br>5 991,120<br>0 22,100<br>0 120,100<br>120,100<br>120,100<br>120,100<br>120,100<br>120,000<br>120,000<br>120,000<br>13,000<br>14,000<br>15,000<br>16,000<br>176,000<br>1805,164<br>1805,164<br>1805,164<br>1805,164<br>1805,164<br>1805,164<br>1805,164<br>1805,164<br>1805,164<br>1805,164                                                                                                                                                                                                                                                                                                                                                                                                                                                                                                                                                                                                                                                                                                                                                                                                                                                                                                                                                                                                                                                                                                                                                                                                                                                                                                                                                                                                                                                                                                                                                                                                                                                                                                                                                                                                                                                                                                                                                                                                                                                                                                                                                                                                                                                                         |
| 26<br>36<br>36<br>36<br>37<br>20<br>34<br>37<br>37<br>37<br>37<br>37<br>37<br>37<br>37<br>37<br>37<br>37<br>37<br>37 | 日本のでは、100mmに、100mmに、100mmに、100mmに、100mmに、100mmに、100mmに、100mmに、100mmに、100mmに、100mmに、100mmに、100mmに、100mmに、100mmに、100mmに、100mmに、100mmに、100mmに、100mmに、100mmに、100mmに、100mmに、100mmに、100mmに、100mmに、100mmに、100mmに、100mmに、100mmに、100mmに、100mmに、100mmに、100mmに、100mmに、100mmに、100mmに、100mmに、100mmに、100mmに、100mmに、100mmに、100mmに、100mmに、100mmに、100mmに、100mmに、100mmに、100mmに、100mmに、100mmに、100mmに、100mmに、100mmに、100mmに、100mmに、100mmに、100mmに、100mmに、100mmに、100mmに、100mmに、100mmに、100mmに、100mmに、100mmに、100mmに、100mmに、100mmに、100mmに、100mmに、100mmに、100mmに、100mmに、100mmに、100mmに、100mmに、100mmに、100mmに、100mmに、100mmに、100mmに、100mmに、100mmに、100mmに、100mmに、100mmに、100mmに、100mmに、100mmに、100mmに、100mmに、100mmに、100mmに、100mmに、100mmに、100mmに、100mmに、100mmに、100mmに、100mmに、100mmに、100mmに、100mmに、100mmに、100mmに、100mmに、100mmに、100mmに、100mmに、100mmに、100mmに、100mmに、100mmに、100mmに、100mmに、100mmに、100mmに、100mmに、100mmに、100mmに、100mmに、100mmに、100mmに、100mmに、100mmに、100mmに、100mmに、100mmに、100mmに、100mmに、100mmに、100mmに、100mmに、100mmに、100mmに、100mmに、100mmに、100mmに、100mmに、100mmに、100mmに、100mmに、100mmに、100mmに、100mmに、100mmに、100mmに、100mmに、100mmに、100mmに、100mmに、100mmに、100mmに、100mmに、100mmに、100mmに、100mmに、100mmに、100mmに、100mmに、100mmに、100mmに、100mmに、100mmに、100mmに、100mmに、100mmに、100mmに、100mmに、100mmに、100mmに、100mmに、100mmに、100mmに、100mmに、100mmに、100mmに、100mmに、100mmに、100mmに、100mmに、100mmに、100mmに、100mmに、100mmに、100mmに、100mmに、100mmに、100mmに、100mmに、100mmに、100mmに、100mmに、100mmに、100mmに、100mmに、100mmに、100mmに、100mmに、100mmに、100mmに、100mmに、100mmに、100mmに、100mmに、100mmに、100mmに、100mmに、100mmに、100mmに、100mmに、100mmに、100mmに、100mmに、100mmに、100mmに、100mmに、100mmに、100mmに、100mmに、100mmに、100mmに、100mmに、100mmに、100mmに、100mmに、100mmに、100mmに、100mmに、100mmに、100mmに、100mmに、100mmに、100mmに、100mmに、100mmに、100mmに、100mmに、100mmに、100mmに、100mmに、100mmに、100mmに、100mmに、100mmに、100mmに、100mmに、100mmに、100mmに、100mmに、100mmに、100mmに、100mmに、100mmに、100mmに、100mmに、100mmに、100mmに、100mmに、100mmに、100mmに、100mmに、100mmに、100mmに、100mmに、100mmに、100mmに、100mmに、100mmに、100mmに、100mmに、100mmに、100mmに、100mmに、100mmに、100mmに、100mmに、100mmに、100mmに、100mmに、100mmに、100mmに、100mmに、100mmに、100mmに、100mmに、100mmに、100mmに、100mmに、100mmに、1  | 50 9 94<br>87 - 12/88<br>9 94<br>87 - 12/88<br>9 93<br>80 - 12/89<br>10/88 - 12/88<br>10/88 - 1                                                                                                                                                                                                                                                                                                                   | \$ 63876 1 0<br>1 00 1 0<br>1 00 2 8<br>4 78472 2 0<br>1 5549 3 2<br>1 00 2 0<br>4 2.94 2 3<br>4 00 0<br>1 00 1 4<br>1 00 1 4<br>1 00 2 3<br>2 01 1 0<br>1 00 2 3<br>2 01 2 8 3<br>2 01 3 4<br>1 00 2 8<br>1 10 3 125 3 20<br>1 10 3 10 3 10 3 20<br>1 10 3 10 3                                                                                                                                                                                                                                                                                                                                                                                                                                                                                                                                                                              | 962 1.00 1.40 0.92 8 7.20 6 1.34 7 20.80 977 0.70 9 2.10 2.25 1.32 0.84 6.60 6.90 1.35 1.06 1.10 1.00 0.60 0.49 0.29 777 1.95 0.25                                                                                                                                                                                                                                                                                                                                                                                                                                                                                                                                                                                                                                                                                                                                                                                                                                                                                                                                                                                                                                                                                                                                                                                                                                                                                                                                                                                                                                                                                                                                                                                                                                                                                                                                                                                                                                                                                                                                                                                                                                                                                                                                                                                                                                                                                                                                                                                                                                                                                                                                                                                                                                                                                                                                                                                                                                                                                                       | 1.00<br>1.30<br>0.77<br>6.80<br>1.23<br>20.80<br>0.66<br>1.96<br>2.00<br>2.40<br>1.30<br>0.74<br>6.40<br>6.70<br>1.20<br>0.95<br>1.01<br>0.98<br>0.43<br>0.47<br>0.25<br>1.88<br>0.241                                                                                                                                                                                                                                                                                                                                                                                                                                                                                                                                                                                                                                                                                                                                                                                                                                                                                                                                                                                                                                                                                                                                                                                                                                                                                                                                                                                                                                                                                                                                                                                                                                                                                                                                                                                                                                                                                                                                                                                                                                                                                                                                                                                                                                                                                                                                                                                                                                                                                                                                                                                                                                                 | 1.00 -2.0 1.34 +0.0 0.78 -0.0 6.85 -0.1 1.25 -0.0 21.00 -0.1 0.66 +0.0 1.99 -0.0 2.00 -0.2 2.45 -0.0 6.40 -0.1 6.80 -0.1 1.33 +0.3 1.07 +0.1 1.10 +0.10 0.79 +0.0 1.00 +0.1 0.61 +0.20 0.48 +0.0 0.26 +0.0 0.248 +0.0 0.248 +0.0 0.259 +0.0                                                                                                                                                                                                                                                                                                                                                                                                                                                                                                                                                                                                                                                                                                                                                                                                                                                                                                                                                                                                                                                                                                                                                                                                                                                                                                                                                                                                                                                                                                                                                                                                                                                                                                                                                                                                                                                                                    | 23,817,000<br>30,000<br>30,000<br>4 2,582,445<br>3,726,206<br>5 1,003,188<br>5 2,330,800<br>0 1,500<br>463,607<br>1,560,372<br>385,000<br>256,000<br>5 991,120<br>0 22,100<br>0 120,100<br>120,100<br>120,100<br>120,100<br>120,100<br>120,000<br>120,000<br>120,000<br>13,000<br>14,000<br>15,000<br>16,000<br>17,000<br>18,000<br>18,000<br>18,000<br>18,000<br>18,000<br>18,000<br>18,000<br>18,000<br>18,000<br>18,000<br>18,000<br>18,000<br>18,000<br>18,000<br>18,000<br>18,000<br>18,000<br>18,000<br>18,000<br>18,000<br>18,000<br>18,000<br>18,000<br>18,000<br>18,000<br>18,000<br>18,000<br>18,000<br>18,000<br>18,000<br>18,000<br>18,000<br>18,000<br>18,000<br>18,000<br>18,000<br>18,000<br>18,000<br>18,000<br>18,000                                                                                                                                                                                                                                                                                                                                                                                                                                                                                                                                                                                                                                                                                                                                                                                                                                                                                                                                                                                                                                                                                                                                                                                                                                                                                                                                                                                                                                                                                                                                                                                                                                                                                                                                                                                                                                                                                                                                                                                  |
| 36 36 34 37 3 32 33 42 34 426 426                                                                                    | 在 16 1 19 1 19 13 13 13 13 13 13 14 14 14 14 14 14 14 14 14 14 14 14 14                                                                                                                                                                                                                                                                                                                                                                                                                                                                                                                                                                                                                                                                                                                                                                                                                                                                                                                                                                                                                                                                                                                                                                                                                                                                                                                                                                                                                                                                                                                                                                                                                                                                                                                                                                                                                                                                                                                                                                                                                                                       | 63                                                                                                                                                                                                                                                                                                                                                                                                                                                                                                                                                                                                                                                                                                                                                                                                                                                                                                                                                                                                                                                                                                                                                                                                                                                                                                                                                                                                                                                                                                                                                                                                                                                                                                                                                                                                                                                                                                                                                                                                                                                                                                                                                                                                                                                                                                                                                                                                                                                                                                                                                                                                                                                                                                                                   | \$ 63876 1 0<br>1 00 1 0<br>1 00 2 8<br>4 78472 2 0<br>1 5549 3 2<br>1 00 2 0<br>4 2.94 2 3<br>4 00 0<br>1 00 1 4<br>1 00 1 4<br>1 00 2 3<br>2 01 1 3<br>1 00 2 3<br>2 01 2 8 3<br>2 01 3 3<br>1 00 2 8<br>1 10 3 0<br>1 10 3                                                                                                                                                                                                                                                                                                                                                                                                                              | 7.20 1.40 0.92 7.20 1.34 7.20.80 7.20 0.134 7.20.80 7.10 2.25 1.32 0.84 6.60 6.90 1.35 1.06 1.10 1.00 0.49 0.29 777 1.95 0.25                                                                                                                                                                                                                                                                                                                                                                                                                                                                                                                                                                                                                                                                                                                                                                                                                                                                                                                                                                                                                                                                                                                                                                                                                                                                                                                                                                                                                                                                                                                                                                                                                                                                                                                                                                                                                                                                                                                                                                                                                                                                                                                                                                                                                                                                                                                                                                                                                                                                                                                                                                                                                                                                                                                                                                                                                                                                                                            | 1.00<br>1.30<br>0.77<br>6.80<br>1.23<br>20.80<br>0.66<br>1.96<br>2.00<br>2.40<br>1.30<br>0.74<br>6.40<br>6.70<br>1.20<br>0.95<br>1.01<br>0.98<br>0.43<br>0.47<br>0.25<br>1.88<br>0.241<br>0.241                                                                                                                                                                                                                                                                                                                                                                                                                                                                                                                                                                                                                                                                                                                                                                                                                                                                                                                                                                                                                                                                                                                                                                                                                                                                                                                                                                                                                                                                                                                                                                                                                                                                                                                                                                                                                                                                                                                                                                                                                                                                                                                                                                                                                                                                                                                                                                                                                                                                                                                                                                                                                                        | 1.00 -2.0 1.34 +0.0 0.78 -0.0 6.85 -0.1 1.25 -0.0 21.00 -0.1 0.66 +0.0 1.99 -0.0 2.00 -0.2 2.45 -0.0 6.40 -0.1 6.80 -0.1 1.33 +0.3 1.07 +0.1 1.10 +0.10 0.79 +0.0 1.00 +0.1 0.61 +0.20 0.48 +0.0 0.26 +0.0 0.248 +0.0 0.248 +0.0 0.259 +0.0                                                                                                                                                                                                                                                                                                                                                                                                                                                                                                                                                                                                                                                                                                                                                                                                                                                                                                                                                                                                                                                                                                                                                                                                                                                                                                                                                                                                                                                                                                                                                                                                                                                                                                                                                                                                                                                                                    | 23,817,000<br>30,000<br>30,000<br>4 2,582,445<br>3,726,206<br>5 1,003,188<br>5 2,330,800<br>0 1,500<br>463,607<br>1,560,372<br>385,000<br>256,000<br>1 257,000<br>5 991,120<br>0 22,100<br>0 120,100<br>3 720,000<br>5 538,000<br>6 700,000<br>5 130,000<br>6 700,000<br>76,000<br>2 3,816,000<br>1 805,164<br>13 626,000<br>15 2,475,000<br>15 2,475,000                                                                                                                                                                                                                                                                                                                                                                                                                                                                                                                                                                                                                                                                                                                                                                                                                                                                                                                                                                                                                                                                                                                                                                                                                                                                                                                                                                                                                                                                                                                                                                                                                                                                                                                                                                                                                                                                                                                                                                                                                                                                                                                                                                                                                                                                                                                                                               |
| 26 36 34 12 25 3 32 25 3 36 37 3 29 358 421 426 426 426 750                                                          | 日本のでは、100mmでは、100mmでは、100mmでは、100mmでは、100mmでは、100mmでは、100mmでは、100mmでは、100mmでは、100mmでは、100mmでは、100mmでは、100mmでは、100mmでは、100mmでは、100mmでは、100mmでは、100mmでは、100mmでは、100mmでは、100mmでは、100mmでは、100mmでは、100mmでは、100mmでは、100mmでは、100mmでは、100mmでは、100mmでは、100mmでは、100mmでは、100mmでは、100mmでは、100mmでは、100mmでは、100mmでは、100mmでは、100mmでは、100mmでは、100mmでは、100mmでは、100mmでは、100mmでは、100mmでは、100mmでは、100mmでは、100mmでは、100mmでは、100mmでは、100mmでは、100mmでは、100mmでは、100mmでは、100mmでは、100mmでは、100mmでは、100mmでは、100mmでは、100mmでは、100mmでは、100mmでは、100mmでは、100mmでは、100mmでは、100mmでは、100mmでは、100mmでは、100mmでは、100mmでは、100mmでは、100mmでは、100mmでは、100mmでは、100mmでは、100mmでは、100mmでは、100mmでは、100mmでは、100mmでは、100mmでは、100mmでは、100mmでは、100mmでは、100mmでは、100mmでは、100mmでは、100mmでは、100mmでは、100mmでは、100mmでは、100mmでは、100mmでは、100mmでは、100mmでは、100mmでは、100mmでは、100mmでは、100mmでは、100mmでは、100mmでは、100mmでは、100mmでは、100mmでは、100mmでは、100mmでは、100mmでは、100mmでは、100mmでは、100mmでは、100mmでは、100mmでは、100mmでは、100mmでは、100mmでは、100mmでは、100mmでは、100mmでは、100mmでは、100mmでは、100mmでは、100mmでは、100mmでは、100mmでは、100mmでは、100mmでは、100mmでは、100mmでは、100mmでは、100mmでは、100mmでは、100mmでは、100mmでは、100mmでは、100mmでは、100mmでは、100mmでは、100mmでは、100mmでは、100mmでは、100mmでは、100mmでは、100mmでは、100mmでは、100mmでは、100mmでは、100mmでは、100mmでは、100mmでは、100mmでは、100mmでは、100mmでは、100mmでは、100mmでは、100mmでは、100mmでは、100mmでは、100mmでは、100mmでは、100mmでは、100mmでは、100mmでは、100mmでは、100mmでは、100mmでは、100mmでは、100mmでは、100mmでは、100mmでは、100mmでは、100mmでは、100mmでは、100mmでは、100mmでは、100mmでは、100mmでは、100mmでは、100mmでは、100mmでは、100mmでは、100mmでは、100mmでは、100mmでは、100mmでは、100mmでは、100mmでは、100mmでは、100mmでは、100mmでは、100mmでは、100mmでは、100mmでは、100mmでは、100mmでは、100mmでは、100mmでは、100mmでは、100mmでは、100mmでは、100mmでは、100mmでは、100mmでは、100mmでは、100mmでは、100mmでは、100mmでは、100mmでは、100mmでは、100mmでは、100mmでは、100mmでは、100mmでは、100mmでは、100mmでは、100mmでは、100mmでは、100mmでは、100mmでは、100mmでは、100mmでは、100mmでは、100mmでは、100mmでは、100mmでは、100mmでは、100mmでは、100mmでは、100mmでは、100mmでは、100mmでは、100mmでは、100mmでは、100mmでは、100mmでは、100mmでは、100mmでは、100mmでは、100mmでは、100mmでは、100mmでは、100mmでは、100mmでは、100mmでは、100mmでは、100mmでは、100mmでは、100mmでは、100mmでは、100mmでは、100mmでは、100mmでは、100mmでは、100mmでは、100mmでは、100mmでは、100mmで  | 60 9 94<br>7 97 - 12/88<br>1 80 - 12/89<br>1 80 - 12/89<br>1 80 - 12/89<br>1 80 - 12/89<br>1 81 - 12/88<br>1 81 - 12/92<br>1 81 -                                                                                                                                                                                                                                                                                                    | \$ 63876 1 0<br>1 00 1 0<br>1 00 2 8<br>4 78472 2 0<br>1 5549 3 2<br>1 00 2 0<br>4 2.94 2 3<br>4 00 0<br>1 00 4 1<br>1 00 4 1<br>1 00 2 3<br>2 01 1 0<br>1 00 2 3<br>2 01 2 8 3<br>2 01 3 3<br>1 00 2 8<br>1 10 3 0<br>1 10 5 0<br>1 10 5 0<br>1 10 6 2 0<br>1 10 7 14<br>1 10 7 15<br>1                                                                                                                                                                                                                                                                                                                                                                                                                                                               | 962 1.00 1.40 0.92 9 7.20 0.1.34 7 20.80 9 7.10 2.10 2.25 0.25 1.32 0.84 6.60 6.90 1.35 1.06 1.10 1.00 0.49 0.29 77( 1.95 0.25 0.31 0.60 0.39 0.54 0.174 0.25                                                                                                                                                                                                                                                                                                                                                                                                                                                                                                                                                                                                                                                                                                                                                                                                                                                                                                                                                                                                                                                                                                                                                                                                                                                                                                                                                                                                                                                                                                                                                                                                                                                                                                                                                                                                                                                                                                                                                                                                                                                                                                                                                                                                                                                                                                                                                                                                                                                                                                                                                                                                                                                                                                                                                                                                                                                                            | 1.00<br>1.30<br>0.77<br>6.80<br>1.23<br>20.80<br>0.66<br>1.96<br>2.00<br>2.40<br>1.30<br>0.74<br>6.40<br>6.70<br>1.20<br>0.95<br>1.01<br>0.98<br>0.43<br>0.47<br>0.25<br>1.88<br>0.241<br>0.23<br>0.50<br>0.37                                                                                                                                                                                                                                                                                                                                                                                                                                                                                                                                                                                                                                                                                                                                                                                                                                                                                                                                                                                                                                                                                                                                                                                                                                                                                                                                                                                                                                                                                                                                                                                                                                                                                                                                                                                                                                                                                                                                                                                                                                                                                                                                                                                                                                                                                                                                                                                                                                                                                                                                                                                                                         | 1.00 -2.0 1.34 +0.0 0.78 -0.0 6.85 -0.1 1.25 -0.0 21.00 -0.1 0.66 +0.0 1.99 -0.0 2.00 -0.2 2.45 -0.0 6.40 -0.1 6.80 -0.1 1.33 +0.3 1.07 +0.1 1.10 +0.10 0.79 +0.0 1.00 +0.1 0.61 +0.2 0.48 +0.0 0.26 +0.0 0.26 +0.0 0.26 +0.0 0.275 +0.0 0.275 +0.0 0.275 +0.0 0.275 +0.0 0.275 +0.0 0.275 +0.0 0.275 +0.0 0.275 +0.0 0.275 +0.0 0.275 +0.0 0.275 +0.0 0.275 +0.0 0.275 +0.0 0.375 +0.0 0.445 -0.0 0.445 -0.0 0.445 -0.0 0.445 -0.0 0.445 -0.0 0.445 -0.0 0.445 -0.0 0.445 -0.0                                                                                                                                                                                                                                                                                                                                                                                                                                                                                                                                                                                                                                                                                                                                                                                                                                                                                                                                                                                                                                                                                                                                                                                                                                                                                                                                                                                                                                                                                                                                                                                                                                                | 23,817,000<br>30,000<br>30,000<br>4 2,582,445<br>3,726,206<br>5 1,003,188<br>5 2,330,800<br>0 1,500<br>463,607<br>1,560,372<br>385,000<br>1,560,372<br>385,000<br>1,560,372<br>385,000<br>1,560,372<br>385,000<br>1,560,372<br>385,000<br>1,560,372<br>385,000<br>1,560,372<br>385,000<br>1,560,372<br>385,000<br>1,560,372<br>385,000<br>1,560,372<br>385,000<br>1,560,372<br>385,000<br>1,560,372<br>385,000<br>1,560,372<br>385,000<br>1,560,372<br>385,000<br>1,560,372<br>385,000<br>1,560,372<br>385,000<br>1,560,372<br>385,000<br>1,560,372<br>385,000<br>1,560,372<br>385,000<br>1,560,372<br>385,000<br>1,560,372<br>385,000<br>1,560,372<br>385,000<br>1,560,372<br>385,000<br>1,500<br>1,500<br>1,500<br>1,500<br>1,500<br>1,500<br>1,500<br>1,500<br>1,500<br>1,500<br>1,500<br>1,500<br>1,500<br>1,500<br>1,500<br>1,500<br>1,500<br>1,500<br>1,500<br>1,500<br>1,500<br>1,500<br>1,500<br>1,500<br>1,500<br>1,500<br>1,500<br>1,500<br>1,500<br>1,500<br>1,500<br>1,500<br>1,500<br>1,500<br>1,500<br>1,500<br>1,500<br>1,500<br>1,500<br>1,500<br>1,500<br>1,500<br>1,500<br>1,500<br>1,500<br>1,500<br>1,500<br>1,500<br>1,500<br>1,500<br>1,500<br>1,500<br>1,500<br>1,500<br>1,500<br>1,500<br>1,500<br>1,500<br>1,500<br>1,500<br>1,500<br>1,500<br>1,500<br>1,500<br>1,500<br>1,500<br>1,500<br>1,500<br>1,500<br>1,500<br>1,500<br>1,500<br>1,500<br>1,500<br>1,500<br>1,500<br>1,500<br>1,500<br>1,500<br>1,500<br>1,500<br>1,500<br>1,500<br>1,500<br>1,500<br>1,500<br>1,500<br>1,500<br>1,500<br>1,500<br>1,500<br>1,500<br>1,500<br>1,500<br>1,500<br>1,500<br>1,500<br>1,500<br>1,500<br>1,500<br>1,500<br>1,500<br>1,500<br>1,500<br>1,500<br>1,500<br>1,500<br>1,500<br>1,500<br>1,500<br>1,500<br>1,500<br>1,500<br>1,500<br>1,500<br>1,500<br>1,500<br>1,500<br>1,500<br>1,500<br>1,500<br>1,500<br>1,500<br>1,500<br>1,500<br>1,500<br>1,500<br>1,500<br>1,500<br>1,500<br>1,500<br>1,500<br>1,500<br>1,500<br>1,500<br>1,500<br>1,500<br>1,500<br>1,500<br>1,500<br>1,500<br>1,500<br>1,500<br>1,500<br>1,500<br>1,500<br>1,500<br>1,500<br>1,500<br>1,500<br>1,500<br>1,500<br>1,500<br>1,500<br>1,500<br>1,500<br>1,500<br>1,500<br>1,500<br>1,500<br>1,500<br>1,500<br>1,500<br>1,500<br>1,500<br>1,500<br>1,500<br>1,500<br>1,500<br>1,500<br>1,500<br>1,500<br>1,500<br>1,500<br>1,500<br>1,500<br>1,500<br>1,500<br>1,500<br>1,500<br>1,500<br>1,500<br>1,500<br>1,500<br>1,500<br>1,500<br>1,500<br>1,500<br>1,500<br>1,500<br>1,500<br>1,500<br>1,500<br>1,500<br>1,500<br>1,500<br>1,500<br>1,500<br>1,500<br>1,500<br>1,500<br>1,500<br>1,500<br>1,500<br>1,500<br>1,500<br>1,500<br>1,500<br>1,500<br>1,500<br>1,500<br>1,500<br>1,500                                     |
| 26 36 34                                                                                                             | 在第三种《行政的中心》等的《公司》的《《大大工》的《公司》的《公司》的《公司》的《公司》的《公司》的《公司》的《公司》的《公司                                                                                                                                                                                                                                                                                                                                                                                                                                                                                                                                                                                                                                                                                                                                                                                                                                                                                                                                                                                                                                                                                                                                                                                                                                                                                                                                                                                                                                                                                                                                                                                                                                                                                                                                                                                                                                                                                                                                                                                                                                                               | 60 9 94<br>- 87 - 9 94<br>- 87 - 12 88<br>- 80 - 3 87<br>- 2 80 - 3 87<br>- 3 87 - 12 88<br>- 80 - 12 88<br>- 80 - 12 88<br>- 80 - 12 88<br>- 80 - 12 88<br>- 10 87 - 12 92<br>- 10 87 - 12 92                                                                                                                                                                                                                                                                                                                                                                                                                                                                                                                                                                                                                                                                                                                                                                                                                                                                                                                                                                                                                                                                                                                                                                                                                                                                                                                                                                                                                                                                                                                                                                                                                                                                                                                                                                                                                                                                                                                                                                                                                                                                                                                                                 | \$ 63876 1 0<br>1 00 1 0<br>1 00 2 8<br>4 78472 2 0<br>1 5549 3 2<br>1 30 2 3<br>4 00 3<br>1 00 4 6<br>1 00 4 6<br>1 00 4 6<br>1 00 2 3<br>2 01 1 0<br>1 00 2 3<br>1 00 2 8<br>1 00 3 00<br>1 00 2 50<br>1 00 2 30<br>1 00 2 50<br>1 00 2 30<br>1 00 2 30<br>1 00 2 50<br>1 00 2 30<br>1 00 2 30                                                                                                                                                                                                                                                                                                                                                                                                                                                                                                                                                                                                                                                                                                                                                                                                                                                                                                                                                                                                                                                                                                                                                                                                                                                                                                                                                                                                                                                                                                                                                                                                                                                                                                                                                                                                                                                                                                                                                                                                                                                                                                                                                                                                                                                                                                                                                                                                                                                                                                                                    | 7.20<br>1.40<br>0.92<br>7.20<br>1.34<br>7.20.80<br>7.10<br>2.10<br>2.25<br>2.55<br>1.32<br>0.84<br>6.60<br>6.90<br>1.35<br>1.06<br>1.10<br>1.00<br>0.49<br>0.29<br>7.7<br>1.95<br>0.25<br>0.31<br>0.60<br>0.39<br>0.54<br>0.174<br>0.25<br>0.25<br>0.25                                                                                                                                                                                                                                                                                                                                                                                                                                                                                                                                                                                                                                                                                                                                                                                                                                                                                                                                                                                                                                                                                                                                                                                                                                                                                                                                                                                                                                                                                                                                                                                                                                                                                                                                                                                                                                                                                                                                                                                                                                                                                                                                                                                                                                                                                                                                                                                                                                                                                                                                                                                                                                                                                                                                                                                  | 1.00<br>1.30<br>0.77<br>6.80<br>1.23<br>20.80<br>0.66<br>1.96<br>2.00<br>2.40<br>1.30<br>6.74<br>6.40<br>6.70<br>1.20<br>0.95<br>1.01<br>0.98<br>0.43<br>0.47<br>0.25<br>1.88<br>0.241<br>0.23<br>0.241                                                                                                                                                                                                                                                                                                                                                                                                                                                                                                                                                                                                                                                                                                                                                                                                                                                                                                                                                                                                                                                                                                                                                                                                                                                                                                                                                                                                                                                                                                                                                                                                                                                                                                                                                                                                                                                                                                                                                                                                                                                                                                                                                                                                                                                                                                                                                                                                                                                                                                                                                                                                                                | 1.00 -2.0 1.34 +0.0 0.78 -0.0 6.85 -0.1 1.25 -0.0 21.00 -0.1 0.66 +0.0 1.99 -0.0 2.00 -0.2 2.45 -0.0 6.40 -0.1 6.80 -0.1 6.80 -0.1 1.33 +0.3 1.07 +0.1 1.10 +0.10 0.79 +0.0 1.00 +0.1 0.61 +0.2 0.48 +0.0 0.26 +0.0 0.248 +0.0 0.26 +0.0 0.375 +0.0 0.375 +0.0 0.445 -0.0 0.174 +0.0 0.174 +0.0 0.174 +0.0 0.174 +0.0 0.174 +0.0 0.174 +0.0 0.174 +0.0 0.174 +0.0 0.174 +0.0 0.174 +0.0 0.174 +0.0 0.174 +0.0 0.174 +0.0 0.174 +0.0 0.174 +0.0 0.174 +0.0 0.174 +0.0 0.174 +0.0 0.174 +0.0 0.174 +0.0 0.174 +0.0 0.174 +0.0 0.174 +0.0 0.174 +0.0 0.174 +0.0 0.174 +0.0 0.174 +0.0 0.174 +0.0 0.174 +0.0 0.174 +0.0 0.174 +0.0 0.174 +0.0 0.174 +0.0 0.174 +0.0 0.174 +0.0 0.174 +0.0 0.174 +0.0 0.174 +0.0 0.174 +0.0 0.174 +0.0 0.174 +0.0 0.174 +0.0 0.174 +0.0 0.174 +0.0 0.174 +0.0 0.174 +0.0 0.174 +0.0 0.174 +0.0 0.174 +0.0 0.174 +0.0 0.174 +0.0 0.174 +0.0 0.174 +0.0 0.174 +0.0 0.174 +0.0 0.174 +0.0 0.174 +0.0 0.174 +0.0 0.174 +0.0 0.174 +0.0 0.174 +0.0 0.174 +0.0 0.174 +0.0 0.174 +0.0 0.174 +0.0 0.174 +0.0 0.174 +0.0 0.174 +0.0 0.174 +0.0 0.174 +0.0 0.174 +0.0 0.174 +0.0 0.174 +0.0 0.174 +0.0 0.174 +0.0 0.174 +0.0 0.174 +0.0 0.174 +0.0 0.174 +0.0 0.174 +0.0 0.174 +0.0 0.174 +0.0 0.174 +0.0                                                                                                                                                                                                                                                                                                                                                                                                                                                                                                                                                                                                                                                                                                                                                                                                                                                                                                     | 23,817,000<br>30,000<br>30,000<br>4 2,582,445<br>3,726,206<br>5 1,003,188<br>5 2,330,800<br>0 1,500<br>463,607<br>1,560,372<br>5 385,000<br>256,000<br>1 257,000<br>5 991,120<br>0 120,100<br>3 720,000<br>5 538,000<br>6 700,000<br>5 130,000<br>6 700,000<br>1 345,000<br>1 805,164<br>1 805,164<br>1 805,000<br>1 805,164<br>1 805,000<br>1 805,000<br>1 805,000<br>1 805,000<br>1 805,164<br>1 805,000<br>1 805,000                                                                                                                                                                                                                                                                                                                                                                                                                                                                                                                                                                                                                                                                                                                                                                                                                                                                                                                                                                                                                                                                                                                                                                                                                              |
| 36 36 37 3 20 37 37 37 37 37 37 37 37 37 37 37 37 37                                                                 | A 66 1.90 1.00 1.00 1.00 1.00 1.00 1.00 1.00                                                                                                                                                                                                                                                                                                                                                                                                                                                                                                                                                                                                                                                                                                                                                                                                                                                                                                                                                                                                                                                                                                                                                                                                                                                                                                                                                                                                                                                                                                                                                                                                                                                                                                                                                                                                                                                                                                                                                                                                                                                                                  | 60 9 94<br>787 - 127 88<br>787 - 127 88<br>780 - 13 80<br>12 80 - 13 89<br>81 - 13 89<br>82 - 13 89<br>83 - 13 89<br>84 - 13 89<br>85 - 13 89<br>86 - 13 89<br>87 - 127 92<br>10 87 - 127 92<br>10 87 - 127 92<br>10 88 -                                                                                                                                                                                                                                                                                                                                    | \$ 03876 1 0<br>1 00 1 0<br>1 00 2 8<br>4 78472 2 0<br>1 5549 3 2<br>1 00 2 3<br>4 00 3<br>4 00 4 4<br>1 00 4 4<br>1 00 4 4<br>1 00 2 3<br>2 01 1 4<br>4 0 3 1 0<br>1 00 2 3<br>1 00 2 8<br>1 00 3 00<br>1 00 2 30<br>1 00 2 30<br>1 00 2 50<br>1 00 2 30<br>1 00 2 50<br>1 00 2 30<br>1 00 2 50<br>1 00 2 50<br>1 00 2 50<br>1 00 2 75<br>1 00 2 75<br>1 00 2 75<br>1 00 6 6                                                                                                                                                                                                                                                                                                                                                                                                                                                                                                                                                                                                                                                                                                                                                                                                                                                                                                                                                                                                                                                                                                                                                                                                                                                                                                                                                                                                                                                                                                                                                                                                                                                                                                                                                                                                                                                                                                                                                                                                                                                                                                                                                                                                                                                                                                                                                                                                                                                                                                                                                                                                      | 7.20 1.40 0.92 7.20 1.34 7.20.80 7.20 1.34 7.20.80 7.10 2.25 1.32 0.84 6.60 6.90 1.35 1.06 1.10 1.00 0.60 0.49 0.29 77 1.95 0.25 0.31 0.60 0.39 0.54 0.174 0.25 0.244 0.485 0.29 0.40                                                                                                                                                                                                                                                                                                                                                                                                                                                                                                                                                                                                                                                                                                                                                                                                                                                                                                                                                                                                                                                                                                                                                                                                                                                                                                                                                                                                                                                                                                                                                                                                                                                                                                                                                                                                                                                                                                                                                                                                                                                                                                                                                                                                                                                                                                                                                                                                                                                                                                                                                                                                                                                                                                                                                                                                                                                    | 1.00<br>1.30<br>0.77<br>6.80<br>1.23<br>20.80<br>0.66<br>1.96<br>2.00<br>2.40<br>1.30<br>0.74<br>6.40<br>6.70<br>1.20<br>0.95<br>1.01<br>0.98<br>0.43<br>0.47<br>0.25<br>1.68<br>0.241<br>0.25<br>1.68<br>0.241                                                                                                                                                                                                                                                                                                                                                                                                                                                                                                                                                                                                                                                                                                                                                                                                                                                                                                                                                                                                                                                                                                                                                                                                                                                                                                                                                                                                                                                                                                                                                                                                                                                                                                                                                                                                                                                                                                                                                                                                                                                                                                                                                                                                                                                                                                                                                                                                                                                                                                                                                                                                                        | 1.00 -2.0 1.34 +0.0 0.78 -0.0 6.85 -0.1 1.25 -0.0 21.00 -0.1 0.66 +0.0 1.99 -0.0 2.00 -0.2 2.45 -0.0 6.40 -0.1 6.80 -0.1 1.33 +0.3 1.07 +0.1 1.10 +0.10 0.79 +0.0 1.00 +0.1 0.61 +0.2 0.48 +0.0 0.26 +0.0 1.90 +0.0 0.248 +0.0 0.25 -0.0 0.375 +0.0 0.445 -0.0 0.445 -0.0 0.445 -0.0 0.445 -0.0 0.345 +0.0 0.445 +0.0 0.345 +0.0                                                                                                                                                                                                                                                                                                                                                                                                                                                                                                                                                                                                                                                                                                                                                                                                                                                                                                                                                                                                                                                                                                                                                                                                                                                                                                                                                                                                                                                                                                                                                                                                                                                                                                                                                                                               | 23,817,000<br>30,000<br>30,000<br>4 2,582,445<br>3,726,206<br>5 1,003,188<br>5 2,330,800<br>0 1,500<br>1,500<br>1,560,372<br>385,000<br>256,000<br>1,560,372<br>385,000<br>1,500<br>1,500<br>1,500<br>1,500<br>1,500<br>1,500<br>1,500<br>1,500<br>1,500<br>1,500<br>1,500<br>1,500<br>1,500<br>1,500<br>1,500<br>1,500<br>1,500<br>1,500<br>1,500<br>1,500<br>1,500<br>1,500<br>1,500<br>1,500<br>1,500<br>1,500<br>1,500<br>1,500<br>1,500<br>1,500<br>1,500<br>1,500<br>1,500<br>1,500<br>1,500<br>1,500<br>1,500<br>1,500<br>1,500<br>1,500<br>1,500<br>1,500<br>1,500<br>1,500<br>1,500<br>1,500<br>1,500<br>1,500<br>1,500<br>1,500<br>1,500<br>1,500<br>1,500<br>1,500<br>1,500<br>1,500<br>1,500<br>1,500<br>1,500<br>1,500<br>1,500<br>1,500<br>1,500<br>1,500<br>1,500<br>1,500<br>1,500<br>1,500<br>1,500<br>1,500<br>1,500<br>1,500<br>1,500<br>1,500<br>1,500<br>1,500<br>1,500<br>1,500<br>1,500<br>1,500<br>1,500<br>1,500<br>1,500<br>1,500<br>1,500<br>1,500<br>1,500<br>1,500<br>1,500<br>1,500<br>1,500<br>1,500<br>1,500<br>1,500<br>1,500<br>1,500<br>1,500<br>1,500<br>1,500<br>1,500<br>1,500<br>1,500<br>1,500<br>1,500<br>1,500<br>1,500<br>1,500<br>1,500<br>1,500<br>1,500<br>1,500<br>1,500<br>1,500<br>1,500<br>1,500<br>1,500<br>1,500<br>1,500<br>1,500<br>1,500<br>1,500<br>1,500<br>1,500<br>1,500<br>1,500<br>1,500<br>1,500<br>1,500<br>1,500<br>1,500<br>1,500<br>1,500<br>1,500<br>1,500<br>1,500<br>1,500<br>1,500<br>1,500<br>1,500<br>1,500<br>1,500<br>1,500<br>1,500<br>1,500<br>1,500<br>1,500<br>1,500<br>1,500<br>1,500<br>1,500<br>1,500<br>1,500<br>1,500<br>1,500<br>1,500<br>1,500<br>1,500<br>1,500<br>1,500<br>1,500<br>1,500<br>1,500<br>1,500<br>1,500<br>1,500<br>1,500<br>1,500<br>1,500<br>1,500<br>1,500<br>1,500<br>1,500<br>1,500<br>1,500<br>1,500<br>1,500<br>1,500<br>1,500<br>1,500<br>1,500<br>1,500<br>1,500<br>1,500<br>1,500<br>1,500<br>1,500<br>1,500<br>1,500<br>1,500<br>1,500<br>1,500<br>1,500<br>1,500<br>1,500<br>1,500<br>1,500<br>1,500<br>1,500<br>1,500<br>1,500<br>1,500<br>1,500<br>1,500<br>1,500<br>1,500<br>1,500<br>1,500<br>1,500<br>1,500<br>1,500<br>1,500<br>1,500<br>1,500<br>1,500<br>1,500<br>1,500<br>1,500<br>1,500<br>1,500<br>1,500<br>1,500<br>1,500<br>1,500<br>1,500<br>1,500<br>1,500<br>1,500<br>1,500<br>1,500<br>1,500<br>1,500<br>1,500<br>1,500<br>1,500<br>1,500<br>1,500<br>1,500<br>1,500<br>1,500<br>1,500<br>1,500<br>1,500<br>1,500<br>1,500<br>1,500<br>1,500<br>1,500<br>1,500<br>1,500<br>1,500<br>1,500<br>1,500<br>1,500<br>1,500<br>1,500<br>1,500<br>1,500<br>1,500<br>1,500<br>1,500<br>1,500<br>1,500<br>1,500<br>1,500<br>1,500<br>1,500<br>1,500<br>1,500<br>1,500<br>1,500<br>1,500<br>1,500 |
| 36 36 34 1 3 20 3 3 3 3 3 3 3 3 3 3 3 3 3 3 3 3 3                                                                    | A 461、900分分分的,一个公司,在100分的,一个公司,在100分的,一个公司的公司的公司的公司的公司的公司的公司的公司的公司的公司的公司的公司的公司的公                                                                                                                                                                                                                                                                                                                                                                                                                                                                                                                                                                                                                                                                                                                                                                                                                                                                                                                                                                                                                                                                                                                                                                                                                                                                                                                                                                                                                                                                                                                                                                                                                                                                                                                                                                                                                                                                                                                                                                                                                                              | 60 9 94<br>787 - 9 94<br>787 - 12/88<br>80 - 3/83<br>12/80 - 12/89<br>81 - 12/88<br>81 - 12/89<br>81 - 12/88<br>82 - 12/88<br>83 - 12/88<br>84 - 12/88<br>85 - 12/88<br>86 - 12/88<br>87 - 12/88<br>87 - 12/92<br>10/87 - 12/92                                                                                                                                                                                                                                                                                                                                                                                                                                                                                                                                                                                                                                                                                                                                                                                                                                                                                                                                                                                                                                                                                                                                                                                                                                                                                                                                                                                                                                                                                                                                                                                                                                                                                                                                                                                                                                                                                                                                                                                                                                                                                                                                                  | \$ 63876 1 0<br>1 00 1 0<br>1 00 2 8<br>4 78472 2 0<br>1 5549 3 2<br>1 00 2 3<br>4 00 3 4<br>1 00 4 4<br>1 00 4 4<br>1 00 2 3<br>2 01 1 3<br>1 00 2 3<br>1 00 2 8<br>1 00 3 00<br>1 00 2 30<br>1 00 2 30<br>1 00 3 00<br>2 00 2 00<br>1 00 2 30<br>1 00 2 50<br>1 00 2 30<br>1 00 2 50<br>1 00 2 50<br>1 00 2 30<br>1 00 2 50<br>1 00 3 00<br>2 00 50<br>1 00 66<br>1 00 66                                                                                                                                                                                                                                                                                                                                                                                                       | 0.00 1.40 0.92 9 7.20 1.34 7 20.80 977 0.70 9 2.10 2.25 2.55 1.32 0.84 6.60 6.90 1.35 1.06 1.10 1.00 0.60 0.49 0.29 7 7 7 7 7 7 7 7 7 7 7 7 7 7 7 7 7 7 7                                                                                                                                                                                                                                                                                                                                                                                                                                                                                                                                                                                                                                                                                                                                                                                                                                                                                                                                                                                                                                                                                                                                                                                                                                                                                                                                                                                                                                                                                                                                                                                                                                                                                                                                                                                                                                                                                                                                                                                                                                                                                                                                                                                                                                                                                                                                                                                                                                                                                                                                                                                                                                                                                                                                                                                                                                                                                | 1.00<br>1.30<br>0.77<br>6.80<br>1.23<br>20.80<br>0.66<br>1.96<br>2.00<br>2.40<br>1.30<br>0.74<br>6.40<br>6.70<br>1.20<br>0.95<br>1.01<br>0.98<br>0.43<br>0.47<br>0.25<br>1.88<br>0.241<br>0.25<br>0.37<br>0.37<br>0.37<br>0.37                                                                                                                                                                                                                                                                                                                                                                                                                                                                                                                                                                                                                                                                                                                                                                                                                                                                                                                                                                                                                                                                                                                                                                                                                                                                                                                                                                                                                                                                                                                                                                                                                                                                                                                                                                                                                                                                                                                                                                                                                                                                                                                                                                                                                                                                                                                                                                                                                                                                                                                                                                                                         | 1.00 -2.0 1.34 +0.0 0.78 -0.0 6.85 -0.1 1.25 -0.0 21.00 -0.1 0.66 +0.0 1.99 -0.0 2.00 -0.2 2.45 -0.0 6.40 -0.1 6.80 -0.1 6.80 -0.1 1.33 +0.3 1.07 +0.1 1.10 +0.10 0.79 +0.0 1.00 +0.1 0.61 +0.2 0.48 +0.0 0.26 +0.0 0.26 +0.0 0.275 +0.0 0.275 +0.0 0.275 +0.0 0.275 +0.0 0.275 +0.0 0.275 +0.0 0.275 +0.0 0.275 +0.0 0.275 +0.0 0.275 +0.0 0.275 +0.0 0.275 +0.0 0.275 +0.0 0.275 +0.0 0.275 +0.0 0.275 +0.0 0.275 +0.0 0.275 +0.0 0.275 +0.0 0.275 +0.0 0.275 +0.0 0.275 +0.0 0.275 +0.0 0.275 +0.0 0.275 +0.0 0.275 +0.0 0.275 +0.0 0.275 +0.0 0.275 +0.0 0.275 +0.0 0.275 +0.0 0.275 +0.0 0.275 +0.0 0.275 +0.0 0.275 +0.0 0.275 +0.0 0.275 +0.0 0.275 +0.0 0.275 +0.0 0.275 +0.0 0.275 +0.0 0.275 +0.0 0.275 +0.0 0.275 +0.0 0.275 +0.0 0.275 +0.0 0.275 +0.0 0.275 +0.0 0.275 +0.0 0.275 +0.0 0.275 +0.0 0.275 +0.0 0.275 +0.0 0.275 +0.0 0.275 +0.0 0.275 +0.0 0.275 +0.0 0.275 +0.0 0.275 +0.0 0.275 +0.0 0.275 +0.0 0.275 +0.0 0.275 +0.0 0.275 +0.0 0.275 +0.0 0.275 +0.0 0.275 +0.0 0.275 +0.0 0.275 +0.0 0.275 +0.0 0.275 +0.0 0.275 +0.0 0.275 +0.0 0.275 +0.0 0.275 +0.0 0.275 +0.0 0.275 +0.0 0.275 +0.0 0.275 +0.0 0.275 +0.0 0.275 +0.0 0.275 +0.0 0.275 +0.0 0.275 +0.0 0.275 +0.0 0.275 +0.0 0.275 +0.0 0.275 +0.0 0.275 +0.0 0.275 +0.0 0.275 +0.0 0.275 +0.0 0.275 +0.0 0.275 +0.0 0.275 +0.0 0.275 +0.0 0.275 +0.0 0.275 +0.0 0.275 +0.0 0.275 +0.0 0.275 +0.0 0.275 +0.0 0.275 +0.0 0.275 +0.0 0.275 +0.0 0.275 +0.0 0.275 +0.0 0.275 +0.0 0.275 +0.0 0.275 +0.0 0.275 +0.0 0.275 +0.0 0.275 +0.0 0.275 +0.0 0.275 +0.0 0.275 +0.0 0.275 +0.0 0.275 +0.0 0.275 +0.0 0.275 +0.0 0.275 +0.0 0.275 +0.0                                                                                                                                                                                                                                                                                                                                                                                                                                                                                                    | 23,817,000<br>30,000<br>30,000<br>4 2,582,445<br>3,726,206<br>5 1,003,188<br>5 2,330,800<br>0 1,500<br>463,607<br>1,560,372<br>385,000<br>1,500<br>257,000<br>5 991,120<br>0 22,100<br>0 120,100<br>3 720,000<br>5 538,000<br>6 700,000<br>5 13,000<br>76,000<br>2 82,000<br>1 15,000<br>2 82,000<br>1 15,000<br>2 82,000<br>1 15,000<br>2 82,000<br>1 805,164<br>1 805,164<br>1 805,164<br>1 805,164<br>1 805,000<br>1 805,000<br>1 80,000<br>1 15,000<br>1 80,000<br>1 80,000<br>1 15,000<br>1 80,000<br>1 80,000<br>1 15,000<br>1 80,000<br>1 80,000<br>1 17,000<br>1 80,000<br>1 80,000<br>1 180,000<br>1 180,000                                                                                                                                                                                                                                                                                                                                                                                                                                                                                                                                                                                                                                                                                                                                                                                                                                                                                                                                                                                                                                                                                                                                            |
| 36 36 34 1 3 32 2 3 4 3 3 3 3 3 3 3 3 3 3 3 3 3 3                                                                    | A 46 1.90 1.00 2.00 4.00 2.00 4.00 4.00 4.00 4.00 4                                                                                                                                                                                                                                                                                                                                                                                                                                                                                                                                                                                                                                                                                                                                                                                                                                                                                                                                                                                                                                                                                                                                                                                                                                                                                                                                                                                                                                                                                                                                                                                                                                                                                                                                                                                                                                                                                                                                                                                                                                                                           | 60                                                                                                                                                                                                                                                                                                                                                                                                                                                                                                                                                                                                                                                                                                                                                                                                                                                                                                                                                                                                                                                                                                                                                                                                                                                                                                                                                                                                                                                                                                                                                                                                                                                                                                                                                                                                                                                                                                                                                                                                                                                                                                                                                                                                                                                                                                                                                                                                                                                                                                                                                                                                                                                                                                                                   | \$ 63876 1 0<br>1 00 1 0<br>1 00 2 8<br>4 78472 2 0<br>1 5549 3 2<br>1 30 2 3<br>4 00 3<br>1 00 4 4<br>1 00 4 4<br>1 00 4 4<br>1 00 4 6<br>1 00 2 3<br>2 01 1 0<br>1 00 2 3<br>1 10 2 8<br>1 10 3 0<br>1 10 3 0<br>1 10 2 3<br>1 10 3 0<br>1 10 3 0<br>1 10 3 0<br>1 10 2 3<br>1 10 3 0<br>1 10 5 0                                                                                                                                                                                                                                                                                                                                                                                                                                | 0.92<br>7.20<br>1.34<br>7.20.80<br>1.34<br>7.20.80<br>1.34<br>7.20.80<br>1.35<br>1.32<br>0.84<br>6.60<br>6.90<br>1.35<br>1.06<br>1.10<br>1.00<br>0.49<br>0.29<br>7.77<br>1.95<br>0.25<br>0.31<br>0.60<br>0.39<br>0.48<br>0.29<br>0.48<br>0.29<br>0.48<br>0.29<br>0.48<br>0.29<br>0.49<br>0.29<br>0.25                                                                                                                                                                                                                                                                                                                                                                                                                                                                                                                                                                                                                                                                                                                                                                                                                                                                                                                                                                                                                                                                                                                                                                                                                                                                                                                                                                                                                                                                                                                                                                                                                                                                                                                                                                                                                                                                                                                                                                                                                                                                                                                                                                                                                                                                                                                                                                                                                                                                                                                                                                                                                                                                                                                                    | 1.00<br>1.30<br>0.77<br>6.80<br>1.23<br>20.80<br>0.66<br>1.96<br>2.00<br>2.40<br>1.30<br>0.74<br>6.40<br>6.70<br>1.20<br>0.95<br>1.01<br>0.98<br>0.43<br>0.47<br>0.25<br>1.88<br>0.241<br>0.23<br>0.37<br>0.37<br>0.37<br>0.35<br>0.37<br>0.35<br>0.37                                                                                                                                                                                                                                                                                                                                                                                                                                                                                                                                                                                                                                                                                                                                                                                                                                                                                                                                                                                                                                                                                                                                                                                                                                                                                                                                                                                                                                                                                                                                                                                                                                                                                                                                                                                                                                                                                                                                                                                                                                                                                                                                                                                                                                                                                                                                                                                                                                                                                                                                                                                 | 1.00 -2.0 1.34 +0.0 0.78 -0.0 6.85 -0.1 1.25 -0.0 21.00 -0.1 0.66 +0.0 1.99 -0.0 2.00 -0.2 2.45 -0.0 6.40 -0.1 6.80 -0.1 6.80 -0.1 1.33 +0.3 1.07 +0.1 1.10 +0.10 0.79 +0.0 1.00 +0.1 0.61 +0.2 0.48 +0.0 0.26 +0.0 0.26 +0.0 0.375 +0.0 0.375 +0.0 0.445 -0.0 0.445 -0.0 0.345 +0.0 0.445 +0.0 0.345 +0.0 0.345 +0.0 0.345 +0.0 0.345 +0.0 0.345 +0.0 0.345 +0.0 0.345 +0.0 0.345 +0.0 0.345 +0.0 0.345 +0.0 0.345 +0.0 0.345 +0.0 0.345 +0.0 0.345 +0.0 0.345 +0.0 0.345 +0.0 0.345 +0.0 0.345 +0.0 0.345 +0.0 0.345 +0.0 0.345 +0.0 0.345 +0.0                                                                                                                                                                                                                                                                                                                                                                                                                                                                                                                                                                                                                                                                                                                                                                                                                                                                                                                                                                                                                                                                                                                                                                                                                                                                                                                                                                                                                                                                                                                                                                              | 23,817,000<br>30,000<br>30,000<br>2,582,445<br>3,726,206<br>5 1,003,188<br>5 2,330,800<br>0 1,500<br>463,607<br>1,560,372<br>5 385,000<br>15 256,000<br>10 22,100<br>10 22,100<br>10 120,100<br>10 120,100<br>10 120,100<br>10 120,100<br>10 120,000<br>10 120,000<br>10 120,000<br>115,000<br>10 120,000<br>115,000<br>115,000<br>115,000<br>115,000<br>115,000<br>115,000<br>115,000<br>115,000<br>115,000<br>115,000<br>115,000<br>115,000<br>115,000<br>115,000<br>115,000<br>115,000<br>115,000<br>115,000<br>115,000<br>115,000<br>115,000<br>115,000<br>115,000<br>115,000<br>115,000<br>115,000<br>115,000<br>115,000<br>115,000<br>115,000<br>115,000<br>115,000<br>115,000<br>115,000<br>115,000<br>115,000<br>115,000<br>115,000<br>115,000<br>115,000<br>115,000<br>115,000<br>115,000<br>115,000<br>115,000<br>115,000<br>115,000<br>115,000<br>115,000<br>115,000<br>115,000<br>115,000<br>115,000<br>115,000<br>115,000<br>115,000<br>115,000<br>115,000<br>115,000<br>115,000<br>115,000<br>115,000<br>115,000<br>115,000<br>115,000<br>115,000<br>115,000<br>115,000<br>115,000<br>115,000<br>115,000<br>115,000<br>115,000<br>115,000<br>115,000<br>115,000<br>115,000<br>115,000<br>115,000<br>115,000<br>115,000<br>115,000<br>115,000<br>115,000<br>115,000<br>115,000<br>115,000<br>115,000<br>115,000<br>115,000<br>115,000<br>115,000<br>115,000<br>115,000<br>115,000<br>115,000<br>115,000<br>115,000<br>115,000<br>115,000<br>115,000<br>115,000<br>115,000<br>115,000<br>115,000<br>115,000<br>115,000<br>115,000<br>115,000<br>115,000<br>115,000<br>115,000<br>115,000<br>115,000<br>115,000<br>115,000<br>115,000<br>115,000<br>115,000<br>115,000<br>115,000<br>115,000<br>115,000<br>115,000<br>115,000<br>115,000<br>115,000<br>115,000<br>115,000<br>115,000<br>115,000<br>115,000<br>115,000<br>115,000<br>115,000<br>115,000<br>115,000<br>115,000<br>115,000<br>115,000<br>115,000<br>115,000<br>115,000<br>115,000<br>115,000<br>115,000<br>115,000<br>115,000<br>115,000<br>115,000<br>115,000<br>115,000<br>115,000<br>115,000<br>115,000<br>115,000<br>115,000<br>115,000<br>115,000<br>115,000<br>115,000<br>115,000<br>115,000<br>115,000<br>115,000<br>115,000<br>115,000<br>115,000<br>115,000<br>115,000<br>115,000<br>115,000<br>115,000<br>115,000<br>115,000<br>115,000<br>115,000<br>115,000<br>115,000<br>115,000<br>115,000<br>115,000<br>115,000<br>115,000<br>115,000<br>115,000<br>115,000<br>115,000<br>115,000<br>115,000<br>115,000<br>115,000<br>115,000<br>115,000<br>115,000<br>115,000<br>115,000<br>115,000<br>115,000                                                                                                                                  |
| 26 36 34                                                                                                             | 自由的 1.000000000000000000000000000000000000                                                                                                                                                                                                                                                                                                                                                                                                                                                                                                                                                                                                                                                                                                                                                                                                                                                                                                                                                                                                                                                                                                                                                                                                                                                                                                                                                                                                                                                                                                                                                                                                                                                                                                                                                                                                                                                                                                                                                                                                                                                                                    | 62                                                                                                                                                                                                                                                                                                                                                                                                                                                                                                                                                                                                                                                                                                                                                                                                                                                                                                                                                                                                                                                                                                                                                                                                                                                                                                                                                                                                                                                                                                                                                                                                                                                                                                                                                                                                                                                                                                                                                                                                                                                                                                                                                                                                                                                                                                                                                                                                                                                                                                                                                                                                                                                                                                                                   | \$ 63876 1 0<br>1 00 1 0<br>1 00 2 8<br>4 78472 2 0<br>1 5549 3 2<br>1 2 94 2 3<br>4 00 3<br>1 00 4 1<br>1 00 4 1<br>1 00 4 1<br>1 00 2 3<br>2 01 1 0<br>1 00 2 3<br>1 100 2 8<br>1 100 3 00<br>1 100 2 8<br>1 100 2 8<br>1 100 3 00<br>1 100 2 8<br>1 100 3 00<br>1 100 3                                                                                                                                                                                                                                                                                                                                                                                                                                                                                        | 0.35<br>0.36<br>0.37<br>0.30<br>0.70<br>0.70<br>0.70<br>0.70<br>0.70<br>0.70<br>0.70<br>0.70<br>0.70<br>0.70<br>0.70<br>0.70<br>0.70<br>0.70<br>0.70<br>0.70<br>0.84<br>0.60<br>0.49<br>0.29<br>0.49<br>0.29<br>0.49<br>0.29<br>0.49<br>0.29<br>0.48<br>0.29<br>0.48<br>0.29<br>0.48<br>0.29<br>0.48<br>0.29<br>0.48<br>0.29<br>0.48<br>0.29<br>0.48<br>0.29<br>0.48<br>0.29<br>0.48<br>0.29<br>0.48<br>0.29<br>0.48<br>0.29<br>0.48<br>0.29<br>0.48<br>0.29<br>0.48<br>0.29<br>0.48<br>0.29<br>0.48<br>0.29<br>0.48<br>0.29<br>0.48<br>0.29<br>0.48<br>0.29<br>0.48<br>0.29<br>0.48<br>0.29<br>0.48<br>0.29<br>0.48<br>0.29<br>0.48<br>0.29<br>0.48<br>0.29<br>0.48<br>0.29<br>0.48<br>0.29<br>0.48<br>0.29<br>0.48<br>0.29<br>0.48<br>0.29<br>0.48<br>0.29<br>0.48<br>0.29<br>0.48<br>0.29<br>0.48<br>0.29<br>0.48<br>0.29<br>0.48<br>0.29<br>0.48<br>0.29<br>0.48<br>0.29<br>0.48<br>0.29<br>0.48<br>0.29<br>0.48<br>0.29<br>0.48<br>0.29<br>0.48<br>0.29<br>0.48<br>0.29<br>0.48<br>0.29<br>0.48<br>0.29<br>0.48<br>0.29<br>0.48<br>0.29<br>0.39<br>0.39<br>0.39<br>0.39<br>0.39<br>0.39<br>0.39<br>0.39<br>0.39<br>0.39<br>0.39<br>0.39<br>0.39<br>0.39<br>0.39<br>0.39<br>0.39<br>0.39<br>0.39<br>0.39<br>0.39<br>0.39<br>0.39<br>0.39<br>0.39<br>0.39<br>0.39<br>0.39<br>0.39<br>0.39<br>0.39<br>0.39<br>0.39<br>0.39<br>0.39<br>0.39<br>0.39<br>0.39<br>0.39<br>0.39<br>0.39<br>0.39<br>0.39<br>0.39<br>0.39<br>0.39<br>0.39<br>0.39<br>0.39<br>0.39<br>0.39<br>0.39<br>0.39<br>0.39<br>0.39<br>0.39<br>0.39<br>0.39<br>0.39<br>0.39<br>0.39<br>0.39<br>0.39<br>0.39<br>0.39<br>0.39<br>0.39<br>0.39<br>0.39<br>0.39<br>0.39<br>0.39<br>0.39<br>0.39<br>0.39<br>0.39<br>0.39<br>0.39<br>0.39<br>0.39<br>0.39<br>0.39<br>0.39<br>0.39<br>0.39<br>0.39<br>0.39<br>0.39<br>0.39<br>0.39<br>0.39<br>0.39<br>0.39<br>0.39<br>0.39<br>0.39<br>0.39<br>0.39<br>0.39<br>0.39<br>0.39<br>0.39<br>0.39<br>0.39<br>0.39<br>0.39<br>0.39<br>0.39<br>0.39<br>0.39<br>0.39<br>0.39<br>0.39<br>0.39<br>0.39<br>0.39<br>0.39<br>0.39<br>0.39<br>0.39<br>0.39<br>0.39<br>0.39<br>0.39<br>0.39<br>0.39<br>0.39<br>0.39<br>0.39<br>0.39<br>0.39<br>0.39<br>0.39<br>0.39<br>0.39<br>0.39<br>0.39<br>0.39<br>0.39<br>0.39<br>0.39<br>0.39<br>0.39<br>0.39<br>0.39<br>0.39<br>0.39<br>0.39<br>0.39<br>0.39<br>0.39<br>0.39<br>0.39<br>0.39<br>0.39<br>0.39<br>0.39<br>0.39<br>0.39<br>0.39<br>0.39<br>0.39<br>0.39<br>0.39<br>0.39<br>0.39<br>0.39<br>0.39<br>0.39<br>0.39<br>0.39<br>0.39<br>0.39<br>0.39<br>0.39<br>0.39<br>0.39<br>0.39<br>0.39<br>0.39<br>0.39<br>0.39<br>0.39<br>0.39<br>0.39<br>0.39<br>0.39<br>0.39<br>0.39<br>0.39<br>0.39<br>0.39<br>0.39<br>0.39<br>0.39<br>0.39<br>0.39<br>0.39<br>0.39<br>0.39<br>0.39<br>0.39<br>0.39<br>0.39<br>0.39<br>0.39<br>0.39<br>0.39<br>0.39<br>0.39<br>0.39<br>0.39<br>0.39<br>0.39<br>0.39                                                                                                                                                                                                     | 1.00<br>1.30<br>0.77<br>6.80<br>1.23<br>20.80<br>0.66<br>1.96<br>2.00<br>2.40<br>1.30<br>0.74<br>6.40<br>6.70<br>1.20<br>0.95<br>1.01<br>0.98<br>0.43<br>0.47<br>0.25<br>1.88<br>0.241<br>0.24<br>0.35<br>0.25<br>0.37<br>0.43<br>0.24<br>0.35<br>0.24<br>0.35<br>0.24<br>0.34<br>0.34<br>0.34<br>0.34<br>0.34<br>0.34<br>0.34<br>0.34<br>0.34<br>0.34<br>0.34<br>0.35<br>0.37<br>0.37<br>0.37<br>0.37<br>0.37<br>0.37<br>0.37<br>0.37<br>0.37<br>0.37<br>0.37<br>0.37<br>0.37<br>0.37<br>0.37<br>0.37<br>0.37<br>0.37<br>0.37<br>0.37<br>0.37<br>0.37<br>0.37<br>0.37<br>0.37<br>0.37<br>0.37<br>0.37<br>0.37<br>0.37<br>0.37<br>0.37<br>0.37<br>0.37<br>0.37<br>0.37<br>0.37<br>0.37<br>0.37<br>0.37<br>0.37<br>0.37<br>0.37<br>0.37<br>0.37<br>0.37<br>0.37<br>0.37<br>0.37<br>0.37<br>0.37<br>0.37<br>0.37<br>0.37<br>0.37<br>0.37<br>0.37<br>0.37<br>0.37<br>0.37<br>0.37<br>0.37<br>0.37<br>0.37<br>0.37<br>0.37<br>0.37<br>0.37<br>0.37<br>0.37<br>0.37<br>0.37<br>0.37<br>0.37<br>0.37<br>0.37<br>0.37<br>0.37<br>0.37<br>0.37<br>0.37<br>0.37<br>0.37<br>0.37<br>0.37<br>0.37<br>0.37<br>0.37<br>0.37<br>0.37<br>0.37<br>0.37<br>0.37<br>0.37<br>0.37<br>0.37<br>0.37<br>0.37<br>0.37<br>0.37<br>0.37<br>0.37<br>0.37<br>0.37<br>0.37<br>0.37<br>0.37<br>0.37<br>0.37<br>0.37<br>0.37<br>0.37<br>0.37<br>0.37<br>0.37<br>0.37<br>0.37<br>0.37<br>0.37<br>0.37<br>0.37<br>0.37<br>0.37<br>0.37<br>0.37<br>0.37<br>0.37<br>0.37<br>0.37<br>0.37<br>0.37<br>0.37<br>0.37<br>0.37<br>0.37<br>0.37<br>0.37<br>0.37<br>0.37<br>0.37<br>0.37<br>0.37<br>0.37<br>0.37<br>0.37<br>0.37<br>0.37<br>0.37<br>0.37<br>0.37<br>0.37<br>0.37<br>0.37<br>0.37<br>0.37<br>0.37<br>0.37<br>0.37<br>0.37<br>0.37<br>0.37<br>0.37<br>0.37<br>0.37<br>0.37<br>0.37<br>0.37<br>0.37<br>0.37<br>0.37<br>0.37<br>0.37<br>0.37<br>0.37<br>0.37<br>0.37<br>0.37<br>0.37<br>0.37<br>0.37<br>0.37<br>0.37<br>0.37<br>0.37<br>0.37<br>0.37<br>0.37<br>0.37<br>0.37<br>0.37<br>0.37<br>0.37<br>0.37<br>0.37<br>0.37<br>0.37<br>0.37<br>0.37<br>0.37<br>0.37<br>0.37<br>0.37<br>0.37<br>0.37<br>0.37<br>0.37<br>0.37<br>0.37<br>0.37<br>0.37<br>0.37<br>0.37<br>0.37<br>0.37<br>0.37<br>0.37<br>0.37<br>0.37<br>0.37<br>0.37<br>0.37<br>0.37<br>0.37<br>0.37<br>0.37<br>0.37<br>0.37<br>0.37<br>0.37<br>0.37<br>0.37<br>0.37<br>0.37<br>0.37<br>0.37<br>0.37<br>0.37<br>0.37<br>0.37<br>0.37<br>0.37<br>0.37<br>0.37<br>0.37<br>0.37<br>0.37<br>0.37<br>0.37<br>0.37<br>0.37<br>0.37<br>0.37<br>0.37<br>0.37<br>0.37<br>0.37<br>0.37<br>0.37<br>0.37<br>0.37<br>0.37<br>0.37<br>0.37<br>0.37<br>0.37<br>0.37<br>0.37<br>0.37<br>0.37<br>0.37<br>0.37<br>0.37<br>0.37<br>0.37<br>0.37<br>0.37<br>0.37<br>0.37<br>0.37<br>0.37<br>0.37<br>0.37<br>0.37<br>0.37<br>0.37<br>0.37<br>0.37<br>0.37<br>0.37<br>0.37<br>0.37<br>0.37<br>0.37<br>0.37<br>0.37<br>0.37 | 1.00 -2.0 1.34 +0.0 0.78 -0.0 6.85 -0.1 1.25 -0.0 21.00 -0.1 0.66 +0.0 1.99 -0.0 2.00 -0.2 2.45 -0.0 6.40 -0.1 6.80 -0.1 6.80 -0.1 1.33 +0.3 1.07 +0.1 1.10 +0.10 0.79 +0.0 1.00 +0.1 0.61 +0.2 0.48 +0.0 0.26 +0.0 1.90 +0.0 0.249 +0.0 0.375 +0.0 0.375 +0.0 0.375 +0.0 0.375 +0.0 0.345 +0.0 0.345 +0.0 0.345 +0.0 0.345 +0.0 0.345 +0.0 0.345 +0.0 0.345 +0.0 0.345 +0.0 0.345 +0.0 0.345 +0.0 0.345 +0.0 0.345 +0.0 0.345 +0.0 0.345 +0.0 0.345 +0.0 0.345 +0.0 0.345 +0.0 0.345 +0.0 0.345 +0.0 0.345 +0.0 0.345 +0.0 0.345 +0.0 0.345 +0.0 0.345 +0.0 0.345 +0.0 0.345 +0.0 0.345 +0.0 0.345 +0.0 0.345 +0.0 0.345 +0.0 0.345 +0.0 0.345 +0.0 0.345 +0.0 0.345 +0.0 0.345 +0.0 0.345 +0.0 0.345 +0.0 0.345 +0.0 0.345 +0.0 0.345 +0.0 0.345 +0.0 0.345 +0.0 0.345 +0.0 0.345 +0.0 0.345 +0.0 0.345 +0.0 0.345 +0.0 0.345 +0.0 0.345 +0.0 0.345 +0.0 0.345 +0.0 0.345 +0.0 0.345 +0.0 0.345 +0.0 0.345 +0.0 0.345 +0.0 0.345 +0.0 0.345 +0.0 0.345 +0.0 0.345 +0.0 0.345 +0.0 0.345 +0.0 0.345 +0.0 0.345 +0.0 0.345 +0.0 0.345 +0.0 0.345 +0.0 0.345 +0.0 0.345 +0.0 0.345 +0.0 0.345 +0.0 0.345 +0.0 0.345 +0.0 0.345 +0.0 0.345 +0.0 0.345 +0.0 0.345 +0.0 0.345 +0.0 0.345 +0.0 0.345 +0.0 0.345 +0.0 0.345 +0.0 0.345 +0.0 0.345 +0.0 0.345 +0.0 0.345 +0.0 0.345 +0.0 0.345 +0.0 0.345 +0.0 0.345 +0.0 0.345 +0.0 0.345 +0.0 0.345 +0.0 0.345 +0.0 0.345 +0.0 0.345 +0.0 0.345 +0.0 0.345 +0.0 0.345 +0.0 0.345 +0.0 0.345 +0.0 0.345 +0.0 0.345 +0.0 0.345 +0.0 0.345 +0.0 0.345 +0.0 0.345 +0.0 0.345 +0.0 0.345 +0.0 0.345 +0.0 0.345 +0.0 0.345 +0.0 0.345 +0.0 0.345 +0.0 0.345 +0.0 0.345 +0.0 0.345 +0.0 0.345 +0.0 0.345 +0.0 0.345 +0.0 0.345 +0.0 0.345 +0.0 0.345 +0.0 0.345 +0.0 0.345 +0.0 0.345 +0.0 0.345 +0.0 0.345 +0.0 0.345 +0.0 0.345 +0.0 0.345 +0.0 0.345 +0.0                                                                                                                                                                                                                                                                                                                               | 23,817,000<br>30,000<br>30,000<br>2,582,445<br>3,726,206<br>5 1,003,188<br>5 2,330,800<br>0 1,500<br>1,500<br>1,500<br>1,500<br>1,560,372<br>385,000<br>1,560,372<br>385,000<br>1,560,372<br>385,000<br>1,500<br>2,100<br>0 120,100<br>3 720,000<br>5 338,000<br>6 700,000<br>120,000<br>120,000<br>130,000<br>130,000<br>130,000<br>130,000<br>130,000<br>130,000<br>130,000<br>130,000<br>130,000<br>130,000<br>130,000<br>130,000<br>130,000<br>130,000<br>130,000<br>130,000<br>130,000<br>130,000<br>130,000<br>130,000<br>130,000<br>130,000<br>130,000<br>130,000<br>130,000<br>130,000<br>130,000<br>130,000<br>130,000<br>130,000<br>130,000<br>130,000<br>130,000<br>130,000<br>130,000<br>130,000<br>130,000<br>130,000<br>130,000<br>130,000<br>130,000<br>130,000<br>130,000<br>130,000<br>130,000<br>130,000<br>130,000<br>130,000<br>130,000<br>130,000<br>130,000<br>130,000<br>130,000<br>130,000<br>130,000<br>130,000<br>130,000<br>130,000<br>130,000<br>130,000<br>130,000<br>130,000<br>130,000<br>130,000<br>130,000<br>130,000<br>130,000<br>130,000<br>130,000<br>130,000<br>130,000<br>130,000<br>130,000<br>130,000<br>130,000<br>130,000<br>130,000<br>130,000<br>130,000<br>130,000<br>130,000<br>130,000<br>130,000<br>130,000<br>130,000<br>130,000<br>130,000<br>130,000<br>130,000<br>130,000<br>130,000<br>130,000<br>130,000<br>130,000<br>130,000<br>130,000<br>130,000<br>130,000<br>130,000<br>130,000<br>130,000<br>130,000<br>130,000<br>130,000<br>130,000<br>130,000<br>130,000<br>130,000<br>130,000<br>130,000<br>130,000<br>130,000<br>130,000<br>130,000<br>130,000<br>130,000<br>130,000<br>130,000<br>130,000<br>130,000<br>130,000<br>130,000<br>130,000<br>130,000<br>130,000<br>130,000<br>130,000<br>130,000<br>130,000<br>130,000<br>130,000<br>130,000<br>130,000<br>130,000<br>130,000<br>130,000<br>130,000<br>130,000<br>130,000<br>130,000<br>130,000<br>130,000<br>130,000<br>130,000<br>130,000<br>130,000<br>130,000<br>130,000<br>130,000<br>130,000<br>130,000<br>130,000<br>130,000<br>130,000<br>130,000<br>130,000<br>130,000<br>130,000<br>130,000<br>130,000<br>130,000<br>130,000<br>130,000<br>130,000<br>130,000<br>130,000<br>130,000<br>130,000<br>130,000<br>130,000<br>130,000<br>130,000<br>130,000<br>130,000<br>130,000<br>130,000<br>130,000<br>130,000<br>130,000<br>130,000<br>130,000<br>130,000<br>130,000<br>130,000<br>130,000<br>130,000<br>130,000<br>130,000<br>130,000<br>130,000<br>130,000<br>130,000<br>130,000<br>130,000<br>130,000<br>130,000<br>130,000<br>130,000<br>130,000<br>130,000<br>130,                                                                                                                        |
| 36 36 37 12 31 31 31 31 31 31 31 31 31 31 31 31 31                                                                   | 在1650年1960年,1960年,1960年,1960年,1960年,1960年,1960年,1960年,1960年,1960年,1960年,1960年,1960年,1960年,1960年,1960年,1960年,1960年,1960年,1960年,1960年,1960年,1960年,1960年,1960年,1960年,1960年,1960年,1960年,1960年,1960年,1960年,1960年,1960年,1960年,1960年,1960年,1960年,1960年,1960年,1960年,1960年,1960年,1960年,1960年,1960年,1960年,1960年,1960年,1960年,1960年,1960年,1960年,1960年,1960年,1960年,1960年,1960年,1960年,1960年,1960年,1960年,1960年,1960年,1960年,1960年,1960年,1960年,1960年,1960年,1960年,1960年,1960年,1960年,1960年,1960年,1960年,1960年,1960年,1960年,1960年,1960年,1960年,1960年,1960年,1960年,1960年,1960年,1960年,1960年,1960年,1960年,1960年,1960年,1960年,1960年,1960年,1960年,1960年,1960年,1960年,1960年,1960年,1960年,1960年,1960年,1960年,1960年,1960年,1960年,1960年,1960年,1960年,1960年,1960年,1960年,1960年,1960年,1960年,1960年,1960年,1960年,1960年,1960年,1960年,1960年,1960年,1960年,1960年,1960年,1960年,1960年,1960年,1960年,1960年,1960年,1960年,1960年,1960年,1960年,1960年,1960年,1960年,1960年,1960年,1960年,1960年,1960年,1960年,1960年,1960年,1960年,1960年,1960年,1960年,1960年,1960年,1960年,1960年,1960年,1960年,1960年,1960年,1960年,1960年,1960年,1960年,1960年,1960年,1960年,1960年,1960年,1960年,1960年,1960年,1960年,1960年,1960年,1960年,1960年,1960年,1960年,1960年,1960年,1960年,1960年,1960年,1960年,1960年,1960年,1960年,1960年,1960年,1960年,1960年,1960年,1960年,1960年,1960年,1960年,1960年,1960年,1960年,1960年,1960年,1960年,1960年,1960年,1960年,1960年,1960年,1960年,1960年,1960年,1960年,1960年,1960年,1960年,1960年,1960年,1960年,1960年,1960年,1960年,1960年,1960年,1960年,1960年,1960年,1960年,1960年,1960年,1960年,1960年,1960年,1960年,1960年,1960年,1960年,1960年,1960年,1960年,1960年,1960年,1960年,1960年,1960年,1960年,1960年,1960年,1960年,1960年,1960年,1960年,1960年,1960年,1960年,1960年,1960年,1960年,1960年,1960年,1960年,1960年,1960年,1960年,1960年,1960年,1960年,1960年,1960年,1960年,1960年,1960年,1960年,1960年,1960年,1960年,1960年,1960年,1960年,1960年,1960年,1960年,1960年,1960年,1960年,1960年,1960年,1960年,1960年,1960年,1960年,1960年,1960年,1960年,1960年,1960年,1960年,1960年,1960年,1960年,1960年,1960年,1960年,1960年,1960年,1960年,1960年,1960年,1960年,1960年,1960年,1960年,1960年,1960年,1960年,1960年,1960年,1960年,1960年,1960年,1960年,1960年,1960年,1960年,1960年,1960年,1960年,1960年,1960年,1960年,1960年,1960年,1960年,1960年,1960年,1960年,1960年,1960年 | 63                                                                                                                                                                                                                                                                                                                                                                                                                                                                                                                                                                                                                                                                                                                                                                                                                                                                                                                                                                                                                                                                                                                                                                                                                                                                                                                                                                                                                                                                                                                                                                                                                                                                                                                                                                                                                                                                                                                                                                                                                                                                                                                                                                                                                                                                                                                                                                                                                                                                                                                                                                                                                                                                                                                                   | \$ 63876 1 0<br>1 00 1 0<br>1 00 2 8<br>4 78472 2 0<br>1 5549 3 2<br>1 2.94 2 3<br>4 00 3<br>1 00 4 1<br>1 00 4 1<br>1 00 2 3<br>2 01 1 4<br>4 0 1 2 8<br>1 00 3 00<br>1 00 2 8<br>1 00 2 8<br>1 00 3 00<br>1 00 2 75<br>1 00 3 00<br>1 00 2 75<br>1 00 3 00<br>1 00 3 00<br>1 00 2 75<br>1 00 3 00<br>1 00 5 20<br>1 0                                                                                                                                                                                                                                                                                                                                                                                                                                                          | 0.62 1.00 1.40 0.92 7.20 1.34 7.20.80 7.70 9.2.10 2.25 2.55 1.32 0.84 6.60 6.90 1.35 1.06 1.35 1.06 0.29 0.49 0.29 0.25 0.25 0.31 0.60 0.39 0.54 0.174 0.25 0.25 0.244 0.25 0.29 0.40 1.55 0.245 0.29 0.40 1.55 0.245 0.29 0.40 1.55 0.245 0.29 0.40 1.55 0.245 0.29 0.40 1.55 0.245 0.25 0.245 0.26 0.39 0.39 0.39 0.39 0.39 0.39 0.39 0.39                                                                                                                                                                                                                                                                                                                                                                                                                                                                                                                                                                                                                                                                                                                                                                                                                                                                                                                                                                                                                                                                                                                                                                                                                                                                                                                                                                                                                                                                                                                                                                                                                                                                                                                                                                                                                                                                                                                                                                                                                                                                                                                                                                                                                                                                                                                                                                                                                                                                                                                                                                                                                                                                                             | 1.00<br>1.30<br>0.77<br>6.80<br>1.23<br>20.80<br>0.66<br>1.96<br>2.00<br>2.40<br>1.30<br>0.74<br>6.40<br>6.70<br>1.20<br>0.95<br>1.01<br>0.98<br>0.43<br>0.47<br>0.25<br>1.88<br>0.241<br>0.25<br>0.35<br>0.37<br>0.35<br>0.37<br>0.35<br>0.37<br>0.25<br>0.43<br>0.24<br>0.43<br>0.24<br>0.43<br>0.24<br>0.43<br>0.24<br>0.24<br>0.24<br>0.24<br>0.24<br>0.24<br>0.24<br>0.24                                                                                                                                                                                                                                                                                                                                                                                                                                                                                                                                                                                                                                                                                                                                                                                                                                                                                                                                                                                                                                                                                                                                                                                                                                                                                                                                                                                                                                                                                                                                                                                                                                                                                                                                                                                                                                                                                                                                                                                                                                                                                                                                                                                                                                                                                                                                                                                                                                                         | 1.00 -2.0 1.34 +0.0 0.78 -0.0 6.85 -0.1 1.25 -0.0 21.00 -0.1 0.66 +0.0 1.99 -0.0 2.00 -0.2 2.45 -0.0 6.40 -0.1 6.80 -0.1 1.33 +0.3 1.07 +0.1 1.10 +0.10 0.79 +0.0 1.00 +0.1 0.61 +0.2 0.48 +0.0 0.26 +0.0 1.90 +0.0 0.26 +0.0 0.375 +0.0 0.30 +0.0 0.345 +0.0 0.375 +0.0 0.345 +0.0 0.345 +0.0 0.345 +0.0 0.345 +0.0 0.345 +0.0 0.345 +0.0 0.345 +0.0 0.345 +0.0 0.345 +0.0 0.345 +0.0 0.345 +0.0 0.345 +0.0 0.345 +0.0 0.345 +0.0 0.345 +0.0 0.345 +0.0 0.345 +0.0 0.345 +0.0 0.345 +0.0 0.345 +0.0 0.345 +0.0 0.345 +0.0 0.345 +0.0 0.345 +0.0 0.345 +0.0 0.345 +0.0 0.345 +0.0 0.345 +0.0 0.345 +0.0 0.345 +0.0 0.345 +0.0 0.345 +0.0 0.345 +0.0 0.345 +0.0 0.345 +0.0 0.345 +0.0 0.345 +0.0 0.345 +0.0 0.345 +0.0 0.345 +0.0 0.345 +0.0 0.345 +0.0 0.345 +0.0 0.345 +0.0 0.345 +0.0 0.345 +0.0 0.345 +0.0 0.345 +0.0 0.345 +0.0 0.345 +0.0 0.345 +0.0 0.345 +0.0 0.345 +0.0 0.345 +0.0 0.345 +0.0 0.345 +0.0 0.345 +0.0 0.345 +0.0 0.345 +0.0 0.345 +0.0 0.345 +0.0 0.345 +0.0 0.345 +0.0 0.345 +0.0 0.345 +0.0 0.345 +0.0 0.345 +0.0 0.345 +0.0 0.345 +0.0 0.345 +0.0 0.345 +0.0 0.345 +0.0 0.345 +0.0 0.345 +0.0 0.345 +0.0 0.345 +0.0 0.345 +0.0 0.345 +0.0 0.345 +0.0 0.345 +0.0 0.345 +0.0 0.345 +0.0 0.345 +0.0 0.345 +0.0 0.345 +0.0 0.345 +0.0 0.345 +0.0 0.345 +0.0 0.345 +0.0 0.345 +0.0 0.345 +0.0 0.345 +0.0 0.345 +0.0 0.345 +0.0 0.345 +0.0 0.345 +0.0 0.345 +0.0 0.345 +0.0 0.345 +0.0 0.345 +0.0 0.345 +0.0 0.345 +0.0 0.345 +0.0 0.345 +0.0 0.345 +0.0 0.345 +0.0 0.345 +0.0 0.345 +0.0 0.345 +0.0 0.345 +0.0 0.345 +0.0 0.345 +0.0 0.345 +0.0 0.345 +0.0 0.345 +0.0 0.345 +0.0 0.345 +0.0 0.345 +0.0 0.345 +0.0 0.345 +0.0 0.345 +0.0 0.345 +0.0 0.345 +0.0 0.345 +0.0 0.345 +0.0 0.345 +0.0 0.345 +0.0 0.345 +0.0 0.345 +0.0                                                                                                                                                                                                                                                                                                                                                                            | 23,817,000<br>30,000<br>30,000<br>4 2,582,445<br>3,726,206<br>5 1,003,188<br>5 2,330,800<br>0 1,500<br>1,560,372<br>5 385,000<br>256,000<br>5 991,120<br>0 120,100<br>3 720,000<br>5 538,000<br>6 700,000<br>5 120,000<br>6 700,000<br>76,000<br>2 82,000<br>1 805,164<br>13 626,000<br>1 80,000<br>2 330,665<br>2,283,749<br>5 5,010,000<br>2 4,000<br>1 16,000<br>2 17,000<br>2 17,000<br>2 17,000<br>2 17,000<br>2 17,000<br>2 17,000<br>2 17,000<br>2 17,000<br>3 19,000<br>5 15,264,000<br>6 12,000<br>6 12,000<br>7 18,000<br>7 18,000                                                                                                                                                                            |
| 36 36 37 12 31 31 31 31 31 31 31 31 31 31 31 31 31                                                                   | 在第三和《特殊的中的《高征》的《信息信息传统《大小年光》域安全原文的"自全安满重进南善展泰斯原理技术"的《大师传》中世名和《特殊的《四个文文》传统《四个文文》传统《四个文文》传统《四个文文》传统《四个文文》传统《四个文文》传统《四个文文》传统《四个文文》传统《四个文文》传统《四个文文》传统《四个文文》传统《四个文文》传统《四个文文》传统《四个文文》传统《四个文文》传统《四个文文》传统《四个文文》传统《四个文文》传统《四个文文》传统《四个文文》传统《四个文文》传统《四个文文》传统《四个文文》传统《四个文文》传统《四个文文》传统《四个文文》传统《四个文文》传统《四个文文》传统《四个文文》传统《四个文文》传统《四个文文》传统《四个文文》传统《四个文文》传统《四个文文》传统《四个文文》传统《四个文文》传统《四个文文》传统《四个文文》传统《四个文文》传统《四个文文》传统《四个文文》传统《四个文文》传统《四个文文》传统《四文文》传统《四文文文》传统《四文文文》传统《四文文文》传统《四文文文》传统《四文文文》传统《四文文》传统《四文文》传统《四文文》传统《四文文》传统《四文文》传统《四文文》传统《四文文》传统《四文文文》传统《四文文》传统《四文文文》传统《四文文文》传统《四文文》传统《四文文》传统《四文文》传统《四文文》传统《四文文》传统《四文文》传统《四文文》传统《四文文》传统《四文文》传统《四文文》传统《四文文》传统《四文文》传统《四文文》传统《四文文》传统《四文文》传统《四文文》传统《四文文》传统《四文文》传统《四文文》传统《四文文》传统《四文文》传统《四文文》传统《四文文》传统《四文文》传统《四文文》传统《四文文》传统《四文文》传统《四文文》传统《四文文》传统《四文文》传统《四文文》传统《四文文》传统《四文文》传统《四文文》传统《四文文》传统《四文文》传统《四文文》传统《四文文》传统《四文文》传统《四文文》传统《四文文》传统《四文文》传统《四文文》传统《四文文》传统《四文文》传文》传文《四文文》传文》传文《四文文》传文》传文《四文文》传文《四文文》传文《四文文》传文《四文文》传文《四文文》传文《四文文》传文《四文文》传统《四文文》传统《四文文》传文《四文文》传文《四文文》传文《四文文》传统《四文文》传统《四文文》传统《四文文》传统《四文文》传统《四文文》传统《四文文》传文《四文文》传文《四文文》传文《四文文》传统《四文文》传统《四文文》传文》传文《四文文》传文》传文《四文文》传文》传文《四文文》传文《四文文》传文》传文《四文文》传文《四文文》传文《四文文》传文》传文《四文文》传文》传文》传文《四文文》传文》传文《四文文》传文》传文》传文《四文文》传文》传文《四文文》传文》传文《四文文》传文《四文文》传文《四文文》传文《四文文》传文《四文文》传文》传文《四文文》传文《四文文》传文《四文文》传文《四文文》传文《四文文》传文《四文文》传文《四文文》传文《四文文》传文《四文文》传文《四文文》传文《四文文》传文《四文文》传文《四文文》传文《四文文》传文《四文文》传文《四文文》传文《四文》传文《四文》传文《四文》传文《四文》传文《四文》传文《四文》传文《四文》传文《四文》传文《四文》传文《四文》传文《四文》传文《四文》传文《四文》传文》传文《四文》传文》传文《四文》传文》传文《四文》传文》传文《四文文》传文》传文《四文文》传文》传文《四文》传文》传文《四文》传文《四文》传文》传文《四文》传文》传文《四文文》传文《四文》传文》传文《四文文》传文》传文《四文文》传文》传文《四文文》传文《四文》传文》传文《四文文》传文《四文文》传文《四文文》传文》传》传文《四文文》传文《四文》传文》传》《四文文文文》传》传文《四文文》传文《四文文》传文《四文》传文《四文》传文》传文《四文》传文》传文《四文文》传文》传文《四文》传文》传文《四文》传文》传文《四文》传文》传文《四文》传文》传文》传文》传文》传文》传文》传文》传文》传文《四文》传文》传文》传文》传文》传文》传文》传文《四文》传文》传文《四文》传文》传文》传文》传文《四文》传文》传文》传文》传文《四文》传文》传文》传文》传文《四文》传文》传文》传文》传文《四文》传文》传文》传文《四文》传文》传文》传文《四文》传文》传文《四文》传文》传文》传文》传文《四文》传文》传文》传文《四文》传文》传文》传文《四文》传文》传文《四文文》传文》传文《四文》传文》传文《四文》传文《四文文》传文《四文文》传文《四文》传文《四文文》传文《四文文》传文《四文文》传文《四文文》传文《四文文》传文《四文文》传文《四文文》传文《四文文》传文《四文文》传文《四文文》传文文》传文文文文》传文文》传文文文文》传文文文文》传文文文文文》传文文文文》传文文文文》传文文》传文文文文文》传文文文《文》传文文文》传文文文《文文》传文文文》传 | 63                                                                                                                                                                                                                                                                                                                                                                                                                                                                                                                                                                                                                                                                                                                                                                                                                                                                                                                                                                                                                                                                                                                                                                                                                                                                                                                                                                                                                                                                                                                                                                                                                                                                                                                                                                                                                                                                                                                                                                                                                                                                                                                                                                                                                                                                                                                                                                                                                                                                                                                                                                                                                                                                                                                                   | \$ 63876 1 0 1 00 1 0 1 00 1 0 1 00 2 8 4 78472 2 0 1 5549 3 2 1 00 2 0 1 00 4 0 1 00 4 0 1 00 4 0 1 00 4 0 1 00 4 0 1 00 4 0 1 00 2 3 2 0 8 3 2 0 8 3 2 0 8 3 2 0 8 3 1 0 8 3 1 0 8 3 1 0 8 3 1 0 8 3 1 0 8 3 1 0 8 3 1 0 8 3 1 0 8 3 1 0 8 3 1 0 8 3 1 0 8 3 1 0 8 3 1 0 8 3 1 0 8 3 1 0 8 3 1 0 8 3 1 0 8 3 1 0 8 3 1 0 8 3 1 0 8 3 1 0 8 3 1 0 8 3 1 0 8 3 1 0 8 3 1 0 8 3 1 0 8 3 1 0 8 3 1 0 8 3 1 0 8 3 1 0 8 3 1 0 8 3 1 0 8 3 1 0 8 3 1 0 8 3 1 0 8 3 1 0 8 3 1 0 8 3 1 0 8 3 1 0 8 3 1 0 8 3 1 0 8 3 1 0 8 3 1 0 8 3 1 0 8 3 1 0 8 3 1 0 8 3 1 0 8 3 1 0 8 3 1 0 8 3 1 0 8 3 1 0 8 3 1 0 8 3 1 0 8 3 1 0 8 3 1 0 8 3 1 0 8 3 1 0 8 3 1 0 8 3 1 0 8 3 1 0 8 3 1 0 8 3 1 0 8 3 1 0 8 3 1 0 8 3 1 0 8 3 1 0 8 3 1 0 8 3 1 0 8 3 1 0 8 3 1 0 8 3 1 0 8 3 1 0 8 3 1 0 8 3 1 0 8 3 1 0 8 3 1 0 8 3 1 0 8 3 1 0 8 3 1 0 8 3 1 0 8 3 1 0 8 3 1 0 8 3 1 0 8 3 1 0 8 3 1 0 8 3 1 0 8 3 1 0 8 3 1 0 8 3 1 0 8 3 1 0 8 3 1 0 8 3 1 0 8 3 1 0 8 3 1 0 8 3 1 0 8 3 1 0 8 3 1 0 8 3 1 0 8 3 1 0 8 3 1 0 8 3 1 0 8 3 1 0 8 3 1 0 8 3 1 0 8 3 1 0 8 3 1 0 8 3 1 0 8 3 1 0 8 3 1 0 8 3 1 0 8 3 1 0 8 3 1 0 8 3 1 0 8 3 1 0 8 3 1 0 8 3 1 0 8 3 1 0 8 3 1 0 8 3 1 0 8 3 1 0 8 3 1 0 8 3 1 0 8 3 1 0 8 3 1 0 8 3 1 0 8 3 1 0 8 3 1 0 8 3 1 0 8 3 1 0 8 3 1 0 8 3 1 0 8 3 1 0 8 3 1 0 8 3 1 0 8 3 1 0 8 3 1 0 8 3 1 0 8 3 1 0 8 3 1 0 8 3 1 0 8 3 1 0 8 3 1 0 8 3 1 0 8 3 1 0 8 3 1 0 8 3 1 0 8 3 1 0 8 3 1 0 8 3 1 0 8 3 1 0 8 3 1 0 8 3 1 0 8 3 1 0 8 3 1 0 8 3 1 0 8 3 1 0 8 3 1 0 8 3 1 0 8 3 1 0 8 3 1 0 8 3 1 0 8 3 1 0 8 3 1 0 8 3 1 0 8 3 1 0 8 3 1 0 8 3 1 0 8 3 1 0 8 3 1 0 8 3 1 0 8 3 1 0 8 3 1 0 8 3 1 0 8 3 1 0 8 3 1 0 8 3 1 0 8 3 1 0 8 3 1 0 8 3 1 0 8 3 1 0 8 3 1 0 8 3 1 0 8 3 1 0 8 3 1 0 8 3 1 0 8 3 1 0 8 3 1 0 8 3 1 0 8 3 1 0 8 3 1 0 8 3 1 0 8 3 1 0 8 3 1 0 8 3 1 0 8 3 1 0 8 3 1 0 8 3 1 0 8 3 1 0 8 3 1 0 8 3 1 0 8 3 1 0 8 3 1 0 8 3 1 0 8 3 1 0 8 3 1 0 8 3 1 0 8 3 1 0 8 3 1 0 8 3 1 0 8 3 1 0 8 3 1 0 8 3 1 0 8 3 1 0 8 3 1 0 8 3 1 0 8 3 1 0 8 3 1 0 8 3 1 0 8 3 1 0 8 3 1 0 8 3 1 0 8 3 1 0 8 3 1 0 8 3 1 0 8 3 1 0 8 3 1 0 8 3 1 0 8 3 1 0 8 3 1 0 8 3 1 0 8 3 1 0 8 3 1 0 8 3 1 0 8 3 1 0 8 3 1 0 8 3                                                                                                                                                                                                                                                                                                                                                                                                                                                                                                                                                                                                                                                                                                                                                                                                                                                     | 0.92<br>7.20<br>1.34<br>7.20<br>1.34<br>7.20<br>1.34<br>7.20<br>1.34<br>7.20<br>1.34<br>7.20<br>1.35<br>1.32<br>1.32<br>1.32<br>1.35<br>1.06<br>1.35<br>1.10<br>1.00<br>1.35<br>1.06<br>1.35<br>1.06<br>1.35<br>1.06<br>1.35<br>1.07<br>1.95<br>1.95<br>1.95<br>1.24<br>1.95<br>1.24<br>1.25<br>1.36<br>1.37<br>1.38<br>1.39<br>1.39<br>1.39<br>1.39<br>1.39<br>1.39<br>1.39<br>1.39<br>1.39<br>1.39<br>1.39<br>1.39<br>1.39<br>1.39<br>1.39<br>1.39<br>1.39<br>1.39<br>1.39<br>1.39<br>1.39<br>1.39<br>1.39<br>1.39<br>1.39<br>1.39<br>1.39<br>1.39<br>1.39<br>1.39<br>1.39<br>1.39<br>1.39<br>1.39<br>1.39<br>1.39<br>1.39<br>1.39<br>1.39<br>1.39<br>1.39<br>1.39<br>1.39<br>1.39<br>1.39<br>1.39<br>1.39<br>1.39<br>1.39<br>1.39<br>1.39<br>1.39<br>1.39<br>1.39<br>1.39<br>1.39<br>1.39<br>1.39<br>1.39<br>1.39<br>1.39<br>1.39<br>1.39<br>1.39<br>1.39<br>1.39<br>1.39<br>1.39<br>1.39<br>1.39<br>1.39<br>1.39<br>1.39<br>1.39<br>1.39<br>1.39<br>1.39<br>1.39<br>1.39<br>1.39<br>1.39<br>1.39<br>1.39<br>1.39<br>1.39<br>1.39<br>1.39<br>1.39<br>1.39<br>1.39<br>1.39<br>1.39<br>1.30<br>1.30<br>1.30<br>1.30<br>1.30<br>1.30<br>1.30<br>1.30<br>1.30<br>1.30<br>1.30<br>1.30<br>1.30<br>1.30<br>1.30<br>1.30<br>1.30<br>1.30<br>1.30<br>1.30<br>1.30<br>1.30<br>1.30<br>1.30<br>1.30<br>1.30<br>1.30<br>1.30<br>1.30<br>1.30<br>1.30<br>1.30<br>1.30<br>1.30<br>1.30<br>1.30<br>1.30<br>1.30<br>1.30<br>1.30<br>1.30<br>1.30<br>1.30<br>1.30<br>1.30<br>1.30<br>1.30<br>1.30<br>1.30<br>1.30<br>1.30<br>1.30<br>1.30<br>1.30<br>1.30<br>1.30<br>1.30<br>1.30<br>1.30<br>1.30<br>1.30<br>1.30<br>1.30<br>1.30<br>1.30<br>1.30<br>1.30<br>1.30<br>1.30<br>1.30<br>1.30<br>1.30<br>1.30<br>1.30<br>1.30<br>1.30<br>1.30<br>1.30<br>1.30<br>1.30<br>1.30<br>1.30<br>1.30<br>1.30<br>1.30<br>1.30<br>1.30<br>1.30<br>1.30<br>1.30<br>1.30<br>1.30<br>1.30<br>1.30<br>1.30<br>1.30<br>1.30<br>1.30<br>1.30<br>1.30<br>1.30<br>1.30<br>1.30<br>1.30<br>1.30<br>1.30<br>1.30<br>1.30<br>1.30<br>1.30<br>1.30<br>1.30<br>1.30<br>1.30<br>1.30<br>1.30<br>1.30<br>1.30<br>1.30<br>1.30<br>1.30<br>1.30<br>1.30<br>1.30<br>1.30<br>1.30<br>1.30<br>1.30<br>1.30<br>1.30<br>1.30<br>1.30<br>1.30<br>1.30<br>1.30<br>1.30<br>1.30<br>1.30<br>1.30<br>1.30<br>1.30<br>1.30<br>1.30<br>1.30<br>1.30<br>1.30<br>1.30<br>1.30<br>1.30<br>1.30<br>1.30<br>1.30<br>1.30<br>1.30<br>1.30<br>1.30<br>1.30<br>1.30<br>1.30<br>1.30<br>1.30<br>1.30<br>1.30<br>1.30<br>1.30<br>1.30<br>1.30<br>1.30<br>1.30<br>1.30<br>1.30<br>1.30<br>1.30<br>1.30<br>1.30<br>1.30<br>1.30<br>1.30<br>1.30<br>1.30<br>1.30<br>1.30<br>1.30<br>1.30<br>1.30<br>1.30<br>1.30<br>1.30<br>1.30<br>1.30<br>1.30<br>1.30<br>1.30<br>1.30<br>1.30<br>1.30<br>1.30<br>1.30<br>1.30<br>1.30<br>1.30<br>1.30<br>1.30<br>1.30<br>1.30<br>1.30<br>1.30<br>1.30<br>1.30<br>1.30                                                                                                                                                                                                     | 1.00<br>1.30<br>0.77<br>6.80<br>1.23<br>20.80<br>0.66<br>1.96<br>2.00<br>2.40<br>1.30<br>0.74<br>6.40<br>6.70<br>1.20<br>0.95<br>1.01<br>0.98<br>0.43<br>0.47<br>0.25<br>1.88<br>0.241<br>0.25<br>0.37<br>0.37<br>0.37<br>0.35<br>0.37<br>0.35<br>0.37<br>0.34<br>0.34<br>0.34<br>0.34<br>0.34<br>0.34<br>0.34<br>0.34                                                                                                                                                                                                                                                                                                                                                                                                                                                                                                                                                                                                                                                                                                                                                                                                                                                                                                                                                                                                                                                                                                                                                                                                                                                                                                                                                                                                                                                                                                                                                                                                                                                                                                                                                                                                                                                                                                                                                                                                                                                                                                                                                                                                                                                                                                                                                                                                                                                                                                                 | 1.00 -2.0 1.34 +0.0 0.78 -0.0 6.85 -0.1 1.25 -0.0 21.00 -0.1 0.66 +0.0 1.99 -0.0 2.00 -0.2 2.45 -0.0 6.40 -0.1 6.80 -0.1 6.80 -0.1 1.33 +0.3 1.07 +0.1 1.10 +0.10 0.79 +0.0 1.00 +0.1 0.61 +0.2 0.48 +0.0 0.26 +0.0 0.26 +0.0 0.375 +0.0 0.245 +0.0 0.375 +0.0 0.345 +0.0 0.345 +0.0 0.345 +0.0 0.345 +0.0 0.345 +0.0 0.345 +0.0 0.345 +0.0 0.345 +0.0 0.345 +0.0 0.345 +0.0 0.345 +0.0 0.345 +0.0 0.345 +0.0 0.345 +0.0 0.345 +0.0 0.345 +0.0 0.345 +0.0 0.345 +0.0 0.345 +0.0 0.345 +0.0 0.345 +0.0 0.345 +0.0 0.345 +0.0 0.345 +0.0 0.345 +0.0 0.345 +0.0 0.345 +0.0 0.345 +0.0 0.345 +0.0 0.345 +0.0 0.345 +0.0 0.345 +0.0 0.345 +0.0 0.345 +0.0 0.345 +0.0 0.345 +0.0 0.345 +0.0 0.345 +0.0 0.345 +0.0 0.345 +0.0 0.345 +0.0 0.345 +0.0 0.345 +0.0 0.345 +0.0 0.345 +0.0 0.345 +0.0 0.345 +0.0 0.345 +0.0 0.345 +0.0 0.345 +0.0 0.345 +0.0 0.345 +0.0 0.345 +0.0 0.345 +0.0 0.345 +0.0 0.345 +0.0 0.345 +0.0 0.345 +0.0 0.345 +0.0 0.345 +0.0 0.345 +0.0 0.345 +0.0 0.345 +0.0 0.345 +0.0 0.345 +0.0 0.345 +0.0 0.345 +0.0 0.345 +0.0 0.345 +0.0 0.345 +0.0 0.345 +0.0 0.345 +0.0 0.345 +0.0 0.345 +0.0 0.345 +0.0 0.345 +0.0 0.345 +0.0 0.345 +0.0 0.345 +0.0 0.345 +0.0 0.345 +0.0 0.345 +0.0 0.345 +0.0 0.345 +0.0 0.345 +0.0 0.345 +0.0 0.345 +0.0 0.345 +0.0 0.345 +0.0 0.345 +0.0 0.345 +0.0 0.345 +0.0 0.345 +0.0 0.345 +0.0 0.345 +0.0 0.345 +0.0 0.345 +0.0 0.345 +0.0 0.345 +0.0 0.345 +0.0 0.345 +0.0 0.345 +0.0 0.345 +0.0 0.345 +0.0 0.345 +0.0 0.345 +0.0 0.345 +0.0 0.345 +0.0 0.345 +0.0 0.345 +0.0 0.345 +0.0 0.345 +0.0 0.345 +0.0 0.345 +0.0 0.345 +0.0 0.345 +0.0 0.345 +0.0 0.345 +0.0 0.345 +0.0 0.345 +0.0 0.345 +0.0 0.345 +0.0 0.345 +0.0 0.345 +0.0 0.345 +0.0 0.345 +0.0 0.345 +0.0 0.345 +0.0                                                                                                                                                                                                                                                                                                                                                                                                 | 23,817,000<br>30,000<br>30,000<br>4 2,582,445<br>3,726,206<br>5 1,003,188<br>5 2,330,800<br>0 1,500<br>1,560,372<br>5 385,000<br>15 256,000<br>1 257,000<br>5 991,120<br>0 120,100<br>3 720,000<br>5 538,000<br>6 700,000<br>5 538,000<br>6 700,000<br>76,000<br>2 82,000<br>1 805,164<br>13 626,000<br>1 805,164<br>1 80,000<br>2 82,000<br>1 805,164<br>1 80,000<br>2 3,475,000<br>5 2,475,000<br>5 2,475,000<br>6 209,000<br>1 805,164<br>1 80,000<br>2 82,000<br>1 805,164<br>1 80,000<br>2 15,264,000<br>5 7,187,000<br>5 2,475,000<br>5 7,187,000<br>5 2,475,000<br>5 1,165,000<br>5 1,165,000<br>5 7,187,000<br>5 1,165,000                                                                                                                                                                                                                                                                                                                                                                                                                                                                                                                                                                                                                                                                                                                                                                                                                                                                                                                                                                                                                                                                                                                                                                                                                                                                                                                                                                                                                                                                                                                                                                                                                                                                                                                                                                                                                                                                                                                    |
| 36 36 34 3 3 3 3 3 3 3 3 3 3 3 3 3 3 3 3                                                                             | 在165、1900、1950、1950、1950、1950、1950、1950、195                                                                                                                                                                                                                                                                                                                                                                                                                                                                                                                                                                                                                                                                                                                                                                                                                                                                                                                                                                                                                                                                                                                                                                                                                                                                                                                                                                                                                                                                                                                                                                                                                                                                                                                                                                                                                                                                                                                                                                                                                                                                                   | 62                                                                                                                                                                                                                                                                                                                                                                                                                                                                                                                                                                                                                                                                                                                                                                                                                                                                                                                                                                                                                                                                                                                                                                                                                                                                                                                                                                                                                                                                                                                                                                                                                                                                                                                                                                                                                                                                                                                                                                                                                                                                                                                                                                                                                                                                                                                                                                                                                                                                                                                                                                                                                                                                                                                                   | \$ 63876 1 0 1 00 1 0 1 00 1 0 1 00 2 8 4 78472 2 0 1 5549 3 2 1 00 2 0 1 00 4 0 1 00 4 0 1 00 4 0 1 00 4 0 1 00 4 0 1 00 4 0 1 00 2 3 2 0 8 3 2 0 8 3 2 0 8 3 2 0 8 3 1 0 8 3 1 0 8 3 1 0 8 3 1 0 8 3 1 0 8 3 1 0 8 3 1 0 8 3 1 0 8 3 1 0 8 3 1 0 8 3 1 0 8 3 1 0 8 3 1 0 8 3 1 0 8 3 1 0 8 3 1 0 8 3 1 0 8 3 1 0 8 3 1 0 8 3 1 0 8 3 1 0 8 3 1 0 8 3 1 0 8 3 1 0 8 3 1 0 8 3 1 0 8 3 1 0 8 3 1 0 8 3 1 0 8 3 1 0 8 3 1 0 8 3 1 0 8 3 1 0 8 3 1 0 8 3 1 0 8 3 1 0 8 3 1 0 8 3 1 0 8 3 1 0 8 3 1 0 8 3 1 0 8 3 1 0 8 3 1 0 8 3 1 0 8 3 1 0 8 3 1 0 8 3 1 0 8 3 1 0 8 3 1 0 8 3 1 0 8 3 1 0 8 3 1 0 8 3 1 0 8 3 1 0 8 3 1 0 8 3 1 0 8 3 1 0 8 3 1 0 8 3 1 0 8 3 1 0 8 3 1 0 8 3 1 0 8 3 1 0 8 3 1 0 8 3 1 0 8 3 1 0 8 3 1 0 8 3 1 0 8 3 1 0 8 3 1 0 8 3 1 0 8 3 1 0 8 3 1 0 8 3 1 0 8 3 1 0 8 3 1 0 8 3 1 0 8 3 1 0 8 3 1 0 8 3 1 0 8 3 1 0 8 3 1 0 8 3 1 0 8 3 1 0 8 3 1 0 8 3 1 0 8 3 1 0 8 3 1 0 8 3 1 0 8 3 1 0 8 3 1 0 8 3 1 0 8 3 1 0 8 3 1 0 8 3 1 0 8 3 1 0 8 3 1 0 8 3 1 0 8 3 1 0 8 3 1 0 8 3 1 0 8 3 1 0 8 3 1 0 8 3 1 0 8 3 1 0 8 3 1 0 8 3 1 0 8 3 1 0 8 3 1 0 8 3 1 0 8 3 1 0 8 3 1 0 8 3 1 0 8 3 1 0 8 3 1 0 8 3 1 0 8 3 1 0 8 3 1 0 8 3 1 0 8 3 1 0 8 3 1 0 8 3 1 0 8 3 1 0 8 3 1 0 8 3 1 0 8 3 1 0 8 3 1 0 8 3 1 0 8 3 1 0 8 3 1 0 8 3 1 0 8 3 1 0 8 3 1 0 8 3 1 0 8 3 1 0 8 3 1 0 8 3 1 0 8 3 1 0 8 3 1 0 8 3 1 0 8 3 1 0 8 3 1 0 8 3 1 0 8 3 1 0 8 3 1 0 8 3 1 0 8 3 1 0 8 3 1 0 8 3 1 0 8 3 1 0 8 3 1 0 8 3 1 0 8 3 1 0 8 3 1 0 8 3 1 0 8 3 1 0 8 3 1 0 8 3 1 0 8 3 1 0 8 3 1 0 8 3 1 0 8 3 1 0 8 3 1 0 8 3 1 0 8 3 1 0 8 3 1 0 8 3 1 0 8 3 1 0 8 3 1 0 8 3 1 0 8 3 1 0 8 3 1 0 8 3 1 0 8 3 1 0 8 3 1 0 8 3 1 0 8 3 1 0 8 3 1 0 8 3 1 0 8 3 1 0 8 3 1 0 8 3 1 0 8 3 1 0 8 3 1 0 8 3 1 0 8 3 1 0 8 3 1 0 8 3 1 0 8 3 1 0 8 3 1 0 8 3 1 0 8 3 1 0 8 3 1 0 8 3 1 0 8 3 1 0 8 3 1 0 8 3 1 0 8 3 1 0 8 3 1 0 8 3 1 0 8 3 1 0 8 3 1 0 8 3 1 0 8 3 1 0 8 3 1 0 8 3 1 0 8 3 1 0 8 3 1 0 8 3 1 0 8 3 1 0 8 3 1 0 8 3 1 0 8 3 1 0 8 3 1 0 8 3 1 0 8 3 1 0 8 3 1 0 8 3 1 0 8 3 1 0 8 3 1 0 8 3 1 0 8 3 1 0 8 3 1 0 8 3 1 0 8 3 1 0 8 3 1 0 8 3 1 0 8 3 1 0 8 3 1 0 8 3 1 0 8 3 1 0 8 3 1 0 8 3 1 0 8 3 1 0 8 3 1 0 8 3                                                                                                                                                                                                                                                                                                                                                                                                                                                                                                                                                                                                                                                                                                                                                                                                                                                     | 0.62 1.00 1.40 0.92 9 7.20 1.34 7.20.80 1.34 7.20.80 1.35 1.32 1.32 1.35 1.06 1.35 1.06 1.35 1.06 1.35 1.06 1.35 1.06 1.35 1.06 1.35 1.06 1.35 1.06 1.35 1.06 1.35 1.06 1.35 1.06 1.35 1.06 1.35 1.06 1.35 1.06 1.35 1.06 1.35 1.25 1.25 1.25 1.25 1.25 1.25 1.25 1.2                                                                                                                                                                                                                                                                                                                                                                                                                                                                                                                                                                                                                                                                                                                                                                                                                                                                                                                                                                                                                                                                                                                                                                                                                                                                                                                                                                                                                                                                                                                                                                                                                                                                                                                                                                                                                                                                                                                                                                                                                                                                                                                                                                                                                                                                                                                                                                                                                                                                                                                                                                                                                                                                                                                                                                    | 1.00<br>1.30<br>0.77<br>6.80<br>1.23<br>20.80<br>0.66<br>1.96<br>2.00<br>2.40<br>1.30<br>0.74<br>6.40<br>6.70<br>1.20<br>0.95<br>1.01<br>0.98<br>0.43<br>0.47<br>0.25<br>1.88<br>0.241<br>0.23<br>0.37<br>0.435<br>0.244<br>0.34<br>0.34<br>1.48<br>0.24<br>0.24<br>0.34<br>0.24<br>0.34<br>0.24<br>0.34<br>0.34<br>0.34<br>0.34<br>0.34<br>0.35<br>0.47<br>0.35<br>0.43<br>0.43<br>0.43<br>0.43<br>0.43<br>0.43<br>0.43<br>0.43<br>0.43<br>0.43<br>0.43<br>0.43<br>0.43<br>0.43<br>0.43<br>0.43<br>0.43<br>0.43<br>0.43<br>0.43<br>0.43<br>0.43<br>0.44<br>0.43<br>0.24<br>0.34<br>0.34<br>0.34<br>0.34<br>0.34<br>0.34<br>0.34<br>0.34<br>0.34<br>0.34<br>0.34<br>0.34<br>0.34<br>0.34<br>0.34<br>0.34<br>0.34<br>0.34<br>0.34<br>0.34<br>0.34<br>0.34<br>0.34<br>0.34<br>0.34<br>0.34<br>0.34<br>0.34<br>0.34<br>0.34<br>0.34<br>0.34<br>0.34<br>0.34<br>0.34<br>0.34<br>0.34<br>0.34<br>0.34<br>0.34<br>0.34<br>0.34<br>0.34<br>0.34<br>0.34<br>0.34<br>0.34<br>0.34<br>0.34<br>0.34<br>0.34<br>0.34<br>0.34<br>0.34<br>0.34<br>0.34<br>0.34<br>0.34<br>0.34<br>0.34<br>0.34<br>0.34<br>0.34<br>0.34<br>0.34<br>0.34<br>0.34<br>0.34<br>0.34<br>0.34<br>0.34<br>0.34<br>0.34<br>0.34<br>0.34<br>0.34<br>0.34<br>0.34<br>0.34<br>0.34<br>0.34<br>0.34<br>0.34<br>0.34<br>0.34<br>0.34<br>0.34<br>0.34<br>0.34<br>0.34<br>0.34<br>0.34<br>0.34<br>0.34<br>0.34<br>0.34<br>0.34<br>0.34<br>0.34<br>0.34<br>0.34<br>0.37<br>0.34<br>0.37<br>0.37<br>0.37<br>0.37<br>0.37<br>0.37<br>0.37<br>0.37<br>0.37<br>0.37<br>0.37<br>0.37<br>0.37<br>0.37<br>0.37<br>0.37<br>0.37<br>0.37<br>0.37<br>0.37<br>0.37<br>0.37<br>0.37<br>0.37<br>0.37<br>0.37<br>0.37<br>0.37<br>0.37<br>0.37<br>0.37<br>0.37<br>0.37<br>0.37<br>0.37<br>0.37<br>0.37<br>0.37<br>0.37<br>0.37<br>0.37<br>0.37<br>0.37<br>0.37<br>0.37<br>0.37<br>0.37<br>0.37<br>0.37<br>0.37<br>0.37<br>0.37<br>0.37<br>0.37<br>0.37<br>0.37<br>0.37<br>0.37<br>0.37<br>0.37<br>0.37<br>0.37<br>0.37<br>0.37<br>0.37<br>0.37<br>0.37<br>0.37<br>0.37<br>0.37<br>0.37<br>0.37<br>0.37<br>0.37<br>0.37<br>0.37<br>0.37<br>0.37<br>0.37<br>0.37<br>0.37<br>0.37<br>0.37<br>0.37<br>0.37<br>0.37<br>0.37<br>0.37<br>0.37<br>0.37<br>0.37<br>0.37<br>0.37<br>0.37<br>0.37<br>0.37<br>0.37<br>0.37<br>0.37<br>0.37<br>0.37<br>0.37<br>0.37<br>0.37<br>0.37<br>0.37<br>0.37<br>0.37<br>0.37<br>0.37<br>0.37<br>0.37<br>0.37<br>0.37<br>0.37<br>0.37<br>0.37<br>0.37<br>0.37<br>0.37<br>0.37<br>0.37<br>0.37<br>0.37<br>0.37<br>0.37<br>0.37<br>0.37<br>0.37<br>0.37<br>0.37<br>0.37<br>0.37<br>0.37<br>0.37<br>0.37<br>0.37<br>0.37<br>0.37<br>0.37<br>0.37<br>0.37<br>0.37<br>0.37<br>0.37<br>0.37<br>0.37<br>0.37<br>0.37<br>0.37<br>0.37<br>0.37<br>0.37<br>0.37<br>0.37<br>0.37<br>0.37<br>0.37<br>0.37<br>0.37<br>0.37<br>0.37<br>0.37<br>0.37<br>0.37<br>0.37<br>0.37<br>0.37<br>0. | 1.00 -2.0 1.34 +0.0 0.78 -0.0 6.85 -0.1 1.25 -0.0 21.00 -0.1 0.66 +0.0 1.99 -0.0 2.00 -0.2 2.45 -0.0 6.40 -0.1 6.80 -0.1 1.33 +0.3 1.07 +0.1 1.10 +0.10 0.79 +0.0 1.00 +0.1 0.61 +0.2 0.48 +0.0 0.48 +0.0 0.26 +0.0 1.90 +0.0 0.248 +0.0 0.375 +0.0 0.345 +0.0 0.375 +0.0 0.345 +0.0 0.345 +0.0 0.345 +0.0 0.345 +0.0 0.345 +0.0 0.345 +0.0 0.345 +0.0 0.345 +0.0 0.345 +0.0 0.345 +0.0 0.345 +0.0 0.345 +0.0 0.345 +0.0 0.345 +0.0 0.345 +0.0 0.345 +0.0 0.345 +0.0 0.345 +0.0 0.345 +0.0 0.345 +0.0 0.345 +0.0 0.345 +0.0 0.345 +0.0 0.345 +0.0 0.345 +0.0 0.345 +0.0 0.345 +0.0 0.345 +0.0 0.345 +0.0 0.345 +0.0 0.345 +0.0 0.345 +0.0 0.345 +0.0 0.345 +0.0 0.345 +0.0 0.345 +0.0 0.345 +0.0 0.345 +0.0 0.345 +0.0 0.345 +0.0 0.345 +0.0 0.345 +0.0 0.345 +0.0 0.345 +0.0 0.345 +0.0 0.345 +0.0 0.345 +0.0 0.345 +0.0 0.345 +0.0 0.345 +0.0 0.345 +0.0 0.345 +0.0 0.345 +0.0 0.345 +0.0 0.345 +0.0 0.345 +0.0 0.345 +0.0 0.345 +0.0 0.345 +0.0 0.345 +0.0 0.345 +0.0 0.345 +0.0 0.345 +0.0 0.345 +0.0 0.345 +0.0 0.345 +0.0 0.345 +0.0 0.345 +0.0 0.345 +0.0 0.345 +0.0 0.345 +0.0 0.345 +0.0 0.345 +0.0 0.345 +0.0 0.345 +0.0 0.345 +0.0 0.345 +0.0 0.345 +0.0 0.345 +0.0 0.345 +0.0 0.345 +0.0 0.345 +0.0 0.345 +0.0 0.345 +0.0 0.345 +0.0 0.345 +0.0 0.345 +0.0 0.345 +0.0 0.345 +0.0 0.345 +0.0 0.345 +0.0 0.345 +0.0 0.345 +0.0 0.345 +0.0 0.345 +0.0 0.345 +0.0 0.345 +0.0 0.345 +0.0 0.345 +0.0 0.345 +0.0 0.345 +0.0 0.345 +0.0 0.345 +0.0 0.345 +0.0 0.345 +0.0 0.345 +0.0 0.345 +0.0 0.345 +0.0 0.345 +0.0 0.345 +0.0 0.345 +0.0 0.345 +0.0 0.345 +0.0 0.345 +0.0 0.345 +0.0 0.345 +0.0 0.345 +0.0 0.345 +0.0 0.345 +0.0 0.345 +0.0 0.345 +0.0 0.345 +0.0 0.345 +0.0 0.345 +0.0 0.345 +0.0 0.345 +0.0 0.345 +0.0 0.345 +0.0 0.345 +0.0 0.345 +0.0 0.345 +0.0 0.345 +0.0 0.345 +0.0 0.345 +0.0 0.345 +0.0 0.345 +0.0 0.345 +0.0 0.345 +0.0 0.345 +0.0 0.345 +0.0 0.345 +0.0 0.345 +0.0 0.345 +0.0 0.345 +0.0 0.345 +0.0 0.345 +0.0 0.345 +0.0 0.345 +0.0 0.345 +0.0 0.345 +0.0 0.345 +0.0 0.345 +0.0 0.345 +0.0 0.345 +0.0 0.345 +0.0 0.345 +0.0 0.345 +0.0 0.345 +0.0 0.345 +0.0 0.345 +0.0 0.345 +0.0 0.345 +0. | 23,817,000 30,000 30,000 4 2,582,445 4 3,726,206 5 1,003,188 5 2,330,800 0 1,500 1 463,607 1 1,560,372 5 385,000 5 991,120 0 120,100 3 720,000 5 538,000 6 700,000 5 130,000 6 76,000 2 82,000 1 805,164 13 626,000 1 805,164 13 626,000 1 805,164 13 626,000 1 805,164 13 626,000 1 805,164 13 626,000 1 805,164 13 626,000 1 805,164 13 626,000 1 805,164 13 626,000 1 805,164 13 626,000 1 80,000 1 80,000 1 80,000 1 80,000 1 80,000 1 80,000 1 80,000 1 2,330,665 2,283,749 1 2,360,000 1 2,360,000 1 2,360,000 1 2,360,000 1 2,376,000 1 2,376,000 1 2,376,000 1 2,376,000 1 2,376,000 1 2,376,000 1 2,376,000 1 3,279,000 1 3,279,000                                                                                                                                                                                                                                                                                                                                                                                                                                                                                                                                                                                                                                                                                                                                                                                                                                                                                                                                                                                                                                                                                                                                                                                                                                                                                                                                                                                                                                                                                                                                                                                                                                                                                                                                                                                                                                                                                                                                                                                                                                                                            |
| 36 36 37 12 37 37 37 37 37 37 37 37 37 37 37 37 37                                                                   | 在161、1920、1930、1930、1930、1930、1930、1930、1930、193                                                                                                                                                                                                                                                                                                                                                                                                                                                                                                                                                                                                                                                                                                                                                                                                                                                                                                                                                                                                                                                                                                                                                                                                                                                                                                                                                                                                                                                                                                                                                                                                                                                                                                                                                                                                                                                                                                                                                                                                                                                                              | 62                                                                                                                                                                                                                                                                                                                                                                                                                                                                                                                                                                                                                                                                                                                                                                                                                                                                                                                                                                                                                                                                                                                                                                                                                                                                                                                                                                                                                                                                                                                                                                                                                                                                                                                                                                                                                                                                                                                                                                                                                                                                                                                                                                                                                                                                                                                                                                                                                                                                                                                                                                                                                                                                                                                                   | \$ 63876 1 0 1 00 1 0 1 00 1 0 1 00 2 8 4 78472 2 0 1 5549 3 2 1 00 2 0 1 00 4 0 1 00 4 0 1 00 4 0 1 00 4 0 1 00 4 0 1 00 4 0 1 00 2 3 2 0 8 3 2 0 8 3 2 0 8 3 2 0 8 3 1 0 8 3 1 0 8 3 1 0 8 3 1 0 8 3 1 0 8 3 1 0 8 3 1 0 8 3 1 0 8 3 1 0 8 3 1 0 8 3 1 0 8 3 1 0 8 3 1 0 8 3 1 0 8 3 1 0 8 3 1 0 8 3 1 0 8 3 1 0 8 3 1 0 8 3 1 0 8 3 1 0 8 3 1 0 8 3 1 0 8 3 1 0 8 3 1 0 8 3 1 0 8 3 1 0 8 3 1 0 8 3 1 0 8 3 1 0 8 3 1 0 8 3 1 0 8 3 1 0 8 3 1 0 8 3 1 0 8 3 1 0 8 3 1 0 8 3 1 0 8 3 1 0 8 3 1 0 8 3 1 0 8 3 1 0 8 3 1 0 8 3 1 0 8 3 1 0 8 3 1 0 8 3 1 0 8 3 1 0 8 3 1 0 8 3 1 0 8 3 1 0 8 3 1 0 8 3 1 0 8 3 1 0 8 3 1 0 8 3 1 0 8 3 1 0 8 3 1 0 8 3 1 0 8 3 1 0 8 3 1 0 8 3 1 0 8 3 1 0 8 3 1 0 8 3 1 0 8 3 1 0 8 3 1 0 8 3 1 0 8 3 1 0 8 3 1 0 8 3 1 0 8 3 1 0 8 3 1 0 8 3 1 0 8 3 1 0 8 3 1 0 8 3 1 0 8 3 1 0 8 3 1 0 8 3 1 0 8 3 1 0 8 3 1 0 8 3 1 0 8 3 1 0 8 3 1 0 8 3 1 0 8 3 1 0 8 3 1 0 8 3 1 0 8 3 1 0 8 3 1 0 8 3 1 0 8 3 1 0 8 3 1 0 8 3 1 0 8 3 1 0 8 3 1 0 8 3 1 0 8 3 1 0 8 3 1 0 8 3 1 0 8 3 1 0 8 3 1 0 8 3 1 0 8 3 1 0 8 3 1 0 8 3 1 0 8 3 1 0 8 3 1 0 8 3 1 0 8 3 1 0 8 3 1 0 8 3 1 0 8 3 1 0 8 3 1 0 8 3 1 0 8 3 1 0 8 3 1 0 8 3 1 0 8 3 1 0 8 3 1 0 8 3 1 0 8 3 1 0 8 3 1 0 8 3 1 0 8 3 1 0 8 3 1 0 8 3 1 0 8 3 1 0 8 3 1 0 8 3 1 0 8 3 1 0 8 3 1 0 8 3 1 0 8 3 1 0 8 3 1 0 8 3 1 0 8 3 1 0 8 3 1 0 8 3 1 0 8 3 1 0 8 3 1 0 8 3 1 0 8 3 1 0 8 3 1 0 8 3 1 0 8 3 1 0 8 3 1 0 8 3 1 0 8 3 1 0 8 3 1 0 8 3 1 0 8 3 1 0 8 3 1 0 8 3 1 0 8 3 1 0 8 3 1 0 8 3 1 0 8 3 1 0 8 3 1 0 8 3 1 0 8 3 1 0 8 3 1 0 8 3 1 0 8 3 1 0 8 3 1 0 8 3 1 0 8 3 1 0 8 3 1 0 8 3 1 0 8 3 1 0 8 3 1 0 8 3 1 0 8 3 1 0 8 3 1 0 8 3 1 0 8 3 1 0 8 3 1 0 8 3 1 0 8 3 1 0 8 3 1 0 8 3 1 0 8 3 1 0 8 3 1 0 8 3 1 0 8 3 1 0 8 3 1 0 8 3 1 0 8 3 1 0 8 3 1 0 8 3 1 0 8 3 1 0 8 3 1 0 8 3 1 0 8 3 1 0 8 3 1 0 8 3 1 0 8 3 1 0 8 3 1 0 8 3 1 0 8 3 1 0 8 3 1 0 8 3 1 0 8 3 1 0 8 3 1 0 8 3 1 0 8 3 1 0 8 3 1 0 8 3 1 0 8 3 1 0 8 3 1 0 8 3 1 0 8 3 1 0 8 3 1 0 8 3 1 0 8 3 1 0 8 3 1 0 8 3 1 0 8 3 1 0 8 3 1 0 8 3 1 0 8 3 1 0 8 3 1 0 8 3 1 0 8 3 1 0 8 3 1 0 8 3 1 0 8 3 1 0 8 3 1 0 8 3 1 0 8 3 1 0 8 3 1 0 8 3 1 0 8 3 1 0 8 3 1 0 8 3                                                                                                                                                                                                                                                                                                                                                                                                                                                                                                                                                                                                                                                                                                                                                                                                                                                     | 0.92<br>7.20<br>1.34<br>7.20<br>1.34<br>7.20<br>1.34<br>7.20<br>1.34<br>7.20<br>1.35<br>1.32<br>1.32<br>1.35<br>1.35<br>1.10<br>1.00<br>1.35<br>1.10<br>1.00<br>1.35<br>1.10<br>1.00<br>1.35<br>1.10<br>1.95<br>1.25<br>1.95<br>1.25<br>1.32<br>1.95<br>1.25<br>1.32<br>1.95<br>1.25<br>1.35<br>1.10<br>1.95<br>1.25<br>1.35<br>1.35<br>1.10<br>1.95<br>1.25<br>1.35<br>1.35<br>1.35<br>1.35<br>1.35<br>1.35<br>1.35<br>1.35<br>1.35<br>1.35<br>1.35<br>1.35<br>1.35<br>1.35<br>1.35<br>1.35<br>1.35<br>1.35<br>1.35<br>1.35<br>1.35<br>1.35<br>1.35<br>1.35<br>1.35<br>1.35<br>1.35<br>1.35<br>1.35<br>1.35<br>1.35<br>1.35<br>1.35<br>1.35<br>1.35<br>1.35<br>1.35<br>1.35<br>1.35<br>1.35<br>1.35<br>1.35<br>1.35<br>1.35<br>1.35<br>1.35<br>1.35<br>1.35<br>1.35<br>1.35<br>1.35<br>1.35<br>1.35<br>1.35<br>1.35<br>1.35<br>1.35<br>1.35<br>1.35<br>1.35<br>1.35<br>1.35<br>1.35<br>1.35<br>1.35<br>1.35<br>1.35<br>1.35<br>1.35<br>1.35<br>1.35<br>1.35<br>1.35<br>1.35<br>1.35<br>1.35<br>1.35<br>1.35<br>1.35<br>1.35<br>1.35<br>1.35<br>1.35<br>1.35<br>1.35<br>1.35<br>1.35<br>1.35<br>1.35<br>1.35<br>1.35<br>1.35<br>1.35<br>1.35<br>1.35<br>1.35<br>1.35<br>1.35<br>1.35<br>1.35<br>1.35<br>1.35<br>1.35<br>1.35<br>1.35<br>1.35<br>1.35<br>1.35<br>1.35<br>1.35<br>1.35<br>1.35<br>1.35<br>1.35<br>1.35<br>1.35<br>1.35<br>1.35<br>1.35<br>1.35<br>1.35<br>1.35<br>1.35<br>1.35<br>1.35<br>1.35<br>1.35<br>1.35<br>1.35<br>1.35<br>1.35<br>1.35<br>1.35<br>1.35<br>1.35<br>1.35<br>1.35<br>1.35<br>1.35<br>1.35<br>1.35<br>1.35<br>1.35<br>1.35<br>1.35<br>1.35<br>1.35<br>1.35<br>1.35<br>1.35<br>1.35<br>1.35<br>1.35<br>1.35<br>1.35<br>1.35<br>1.35<br>1.35<br>1.35<br>1.35<br>1.35<br>1.35<br>1.35<br>1.35<br>1.35<br>1.35<br>1.35<br>1.35<br>1.35<br>1.35<br>1.35<br>1.35<br>1.35<br>1.35<br>1.35<br>1.35<br>1.35<br>1.35<br>1.35<br>1.35<br>1.35<br>1.35<br>1.35<br>1.35<br>1.35<br>1.35<br>1.35<br>1.35<br>1.35<br>1.35<br>1.35<br>1.35<br>1.35<br>1.35<br>1.35<br>1.35<br>1.35<br>1.35<br>1.35<br>1.35<br>1.35<br>1.35<br>1.35<br>1.35<br>1.35<br>1.35<br>1.35<br>1.35<br>1.35<br>1.35<br>1.35<br>1.35<br>1.35<br>1.35<br>1.35<br>1.35<br>1.35<br>1.35<br>1.35<br>1.35<br>1.35<br>1.35<br>1.35<br>1.35<br>1.35<br>1.35<br>1.35<br>1.35<br>1.35<br>1.35<br>1.35<br>1.35<br>1.35<br>1.35<br>1.35<br>1.35<br>1.35<br>1.35<br>1.35<br>1.35<br>1.35<br>1.35<br>1.35<br>1.35<br>1.35<br>1.35<br>1.35<br>1.35<br>1.35<br>1.35<br>1.35<br>1.35<br>1.35<br>1.35<br>1.35<br>1.35<br>1.35<br>1.35<br>1.35<br>1.35<br>1.35<br>1.35<br>1.35<br>1.35<br>1.35<br>1.35<br>1.35<br>1.35<br>1.35<br>1.35<br>1.35<br>1.35<br>1.35<br>1.35<br>1.35<br>1.35<br>1.35<br>1.35<br>1.35<br>1.35<br>1.35<br>1.35<br>1.35<br>1.35<br>1.35<br>1.35<br>1.35<br>1.35<br>1.35<br>1.35<br>1.35<br>1.35<br>1.35<br>1.35<br>1.35<br>1.35<br>1.35                                                                                                                                                                                                     | 1.00<br>1.30<br>0.77<br>6.80<br>1.23<br>20.80<br>0.66<br>1.96<br>2.00<br>2.40<br>1.30<br>0.74<br>6.40<br>6.70<br>1.20<br>0.95<br>1.01<br>0.98<br>0.43<br>0.47<br>0.25<br>1.88<br>0.241<br>0.23<br>0.37<br>0.435<br>0.244<br>0.34<br>0.34<br>1.48<br>0.24<br>0.24<br>0.34<br>0.24<br>0.34<br>0.24<br>0.34<br>0.34<br>0.34<br>0.34<br>0.34<br>0.35<br>0.47<br>0.35<br>0.43<br>0.43<br>0.43<br>0.43<br>0.43<br>0.43<br>0.43<br>0.43<br>0.43<br>0.43<br>0.43<br>0.43<br>0.43<br>0.43<br>0.43<br>0.43<br>0.43<br>0.43<br>0.43<br>0.43<br>0.43<br>0.43<br>0.44<br>0.43<br>0.24<br>0.34<br>0.34<br>0.34<br>0.34<br>0.34<br>0.34<br>0.34<br>0.34<br>0.34<br>0.34<br>0.34<br>0.34<br>0.34<br>0.34<br>0.34<br>0.34<br>0.34<br>0.34<br>0.34<br>0.34<br>0.34<br>0.34<br>0.34<br>0.34<br>0.34<br>0.34<br>0.34<br>0.34<br>0.34<br>0.34<br>0.34<br>0.34<br>0.34<br>0.34<br>0.34<br>0.34<br>0.34<br>0.34<br>0.34<br>0.34<br>0.34<br>0.34<br>0.34<br>0.34<br>0.34<br>0.34<br>0.34<br>0.34<br>0.34<br>0.34<br>0.34<br>0.34<br>0.34<br>0.34<br>0.34<br>0.34<br>0.34<br>0.34<br>0.34<br>0.34<br>0.34<br>0.34<br>0.34<br>0.34<br>0.34<br>0.34<br>0.34<br>0.34<br>0.34<br>0.34<br>0.34<br>0.34<br>0.34<br>0.34<br>0.34<br>0.34<br>0.34<br>0.34<br>0.34<br>0.34<br>0.34<br>0.34<br>0.34<br>0.34<br>0.34<br>0.34<br>0.34<br>0.34<br>0.34<br>0.34<br>0.34<br>0.34<br>0.34<br>0.34<br>0.34<br>0.34<br>0.34<br>0.34<br>0.34<br>0.34<br>0.34<br>0.34<br>0.34<br>0.34<br>0.34<br>0.34<br>0.34<br>0.34<br>0.34<br>0.34<br>0.34<br>0.34<br>0.34<br>0.34<br>0.34<br>0.34<br>0.34<br>0.34<br>0.34<br>0.34<br>0.34<br>0.34<br>0.34<br>0.34<br>0.34<br>0.34<br>0.34<br>0.34<br>0.34<br>0.34<br>0.34<br>0.34<br>0.34<br>0.34<br>0.34<br>0.34<br>0.34<br>0.34<br>0.34<br>0.34<br>0.34<br>0.34<br>0.34<br>0.34<br>0.34<br>0.34<br>0.34<br>0.34<br>0.34<br>0.34<br>0.34<br>0.34<br>0.34<br>0.34<br>0.34<br>0.34<br>0.34<br>0.34<br>0.34<br>0.34<br>0.34<br>0.34<br>0.34<br>0.34<br>0.34<br>0.34<br>0.34<br>0.34<br>0.34<br>0.34<br>0.34<br>0.34<br>0.34<br>0.34<br>0.34<br>0.34<br>0.34<br>0.34<br>0.34<br>0.34<br>0.34<br>0.34<br>0.34<br>0.34<br>0.34<br>0.34<br>0.34<br>0.34<br>0.34<br>0.34<br>0.34<br>0.34<br>0.34<br>0.34<br>0.34<br>0.34<br>0.34<br>0.34<br>0.34<br>0.34<br>0.34<br>0.34<br>0.34<br>0.34<br>0.34<br>0.34<br>0.34<br>0.34<br>0.34<br>0.34<br>0.34<br>0.34<br>0.34<br>0.34<br>0.34<br>0.34<br>0.34<br>0.34<br>0.34<br>0.34<br>0.34<br>0.34<br>0.34<br>0.34<br>0.34<br>0.34<br>0.34<br>0.34<br>0.34<br>0.34<br>0.34<br>0.34<br>0.34<br>0.34<br>0.34<br>0.34<br>0.34<br>0.34<br>0.34<br>0.34<br>0.34<br>0.34<br>0.34<br>0.34<br>0.34<br>0.34<br>0.34<br>0.34<br>0.34<br>0.34<br>0.34<br>0.34<br>0.34<br>0.34<br>0.34<br>0.34<br>0.34<br>0.34<br>0.34<br>0.34<br>0.34<br>0.34<br>0.34<br>0.34<br>0.34<br>0.34<br>0.34<br>0.34<br>0.34<br>0.34<br>0.34<br>0. | 1.00 -2.0 1.34 +0.0 0.78 -0.0 6.85 -0.1 1.25 -0.0 21.00 -0.1 0.66 +0.0 1.99 -0.0 2.00 -0.2 2.45 -0.0 6.40 -0.1 6.80 -0.1 6.80 -0.1 1.33 +0.3 1.07 +0.1 1.10 +0.10 0.79 +0.0 1.00 +0.1 0.61 +0.2 0.48 +0.0 0.26 +0.0 0.26 +0.0 0.26 +0.0 0.27 +0.0 0.248 +0.0 0.26 +0.0 0.27 +0.0 0.27 +0.0 0.27 +0.0 0.28 +0.0 0.29 +0.0 0.29 +0.0 0.29 +0.0 0.29 +0.0 0.29 +0.0 0.29 +0.0 0.29 +0.0 0.29 +0.0 0.29 +0.0 0.29 +0.0 0.29 +0.0 0.29 +0.0 0.29 +0.0 0.29 +0.0 0.29 +0.0 0.29 +0.0 0.29 +0.0 0.29 +0.0 0.29 +0.0 0.29 +0.0 0.29 +0.0 0.29 +0.0 0.29 +0.0 0.29 +0.0 0.29 +0.0 0.29 +0.0 0.29 +0.0 0.29 +0.0 0.29 +0.0 0.29 +0.0 0.29 +0.0 0.29 +0.0 0.29 +0.0 0.29 +0.0 0.29 +0.0 0.29 +0.0 0.29 +0.0 0.29 +0.0 0.29 +0.0 0.29 +0.0 0.29 +0.0 0.29 +0.0 0.29 +0.0 0.29 +0.0 0.29 +0.0 0.29 +0.0 0.29 +0.0 0.29 +0.0 0.29 +0.0 0.29 +0.0 0.29 +0.0 0.29 +0.0 0.29 +0.0 0.29 +0.0 0.29 +0.0 0.29 +0.0 0.29 +0.0 0.29 +0.0 0.29 +0.0 0.29 +0.0 0.29 +0.0 0.29 +0.0 0.29 +0.0 0.29 +0.0 0.29 +0.0 0.29 +0.0 0.29 +0.0 0.29 +0.0 0.29 +0.0 0.29 +0.0 0.29 +0.0 0.29 +0.0 0.29 +0.0 0.29 +0.0 0.29 +0.0 0.29 +0.0 0.29 +0.0 0.29 +0.0 0.29 +0.0 0.29 +0.0 0.29 +0.0 0.29 +0.0 0.29 +0.0 0.29 +0.0 0.29 +0.0 0.29 +0.0 0.29 +0.0 0.29 +0.0 0.29 +0.0 0.29 +0.0 0.29 +0.0 0.29 +0.0 0.29 +0.0 0.29 +0.0 0.29 +0.0 0.29 +0.0 0.29 +0.0 0.29 +0.0 0.29 +0.0 0.29 +0.0 0.29 +0.0 0.29 +0.0 0.29 +0.0 0.29 +0.0 0.29 +0.0 0.29 +0.0 0.29 +0.0 0.29 +0.0 0.29 +0.0 0.29 +0.0 0.29 +0.0 0.29 +0.0 0.29 +0.0 0.29 +0.0 0.29 +0.0 0.29 +0.0 0.29 +0.0 0.29 +0.0 0.29 +0.0 0.29 +0.0 0.29 +0.0 0.29 +0.0 0.29 +0.0 0.29 +0.0 0.29 +0.0 0.29 +0.0 0.29 +0.0 0.29 +0.0 0.29 +0.0 0.29 +0.0 0.29 +0.0 0.29 +0.0 0.29 +0.0 0.29 +0.0 0.29 +0.0 0.29 +0.0 0.29 +0.0 0.29 +0.0 0.29 +0.0 0.29 +0.0 0.29 +0.0 0.29 +0.0 0.29 +0.0 0.29 +0.0 0.29 +0.0 0.29 +0.0 0.29 +0.0 0.29 +0.0 0.29 +0.0 0.29 +0.0 0.29 +0.0 0.29 +0.0 0.29 +0.0 0.29 +0.0 0.29 +0.0 0.29 +0.0 0.29 +0.0 0.29 +0.0 0.29 +0.0 0.29 +0.0 0.29 +0.0 0.29 +0.0 0.29 +0.0 0.29 +0.0 0.29 +0.0 0.29 +0.0 0.29 +0.0 0.29 +0.0 0.29 +0.0 0.29 +0.0 0.29 +0.0 0.29 +0.0 0.29 +0.0 0.29 +0.0 0.2 | 23,817,000 30,000 30,000 4 2,582,445 4 3,726,206 5 1,003,188 5 2,330,800 0 1,500 1,500 1,500 1,560,372 5 385,000 5 991,120 0 120,100 3 720,000 5 538,000 6 700,000 5 130,000 6 76,000 2 82,000 1 805,164 13 626,000 1 805,164 13 626,000 1 805,164 13 626,000 1 805,164 13 626,000 1 805,164 13 626,000 1 805,164 13 626,000 1 805,164 13 626,000 1 805,164 13 626,000 1 805,164 13 626,000 1 80,000 2 76,000 2 76,000 2 76,000 2 76,000 2 76,000 2 76,000 2 76,000 2 76,000 2 76,000 2 76,000 2 76,000 2 76,000 2 76,000 2 76,000 2 76,000 2 76,000 2 76,000 2 76,000 2 76,000 3 76,000 3 76,000 3 76,000 3 76,000 3 76,000 3 76,000 3 76,000 3 76,000 3 76,000 3 76,000 3 76,000 3 76,000 3 76,000 3 76,000 3 76,000 3 76,000 3 76,000 3 76,000 3 76,000 3 76,000 3 76,000 3 76,000 3 76,000 3 76,000 3 76,000 3 76,000 3 76,000 3 76,000 3 76,000 3 76,000 3 76,000 3 76,000 3 76,000 3 76,000 3 76,000 3 76,000 3 76,000 3 76,000 3 76,000 3 76,000 3 76,000 3 76,000 3 76,000 3 76,000 3 76,000 3 76,000 3 76,000 3 76,000 3 76,000 3 76,000 3 76,000 3 76,000 3 76,000 3 76,000 3 76,000 3 76,000 3 76,000 3 76,000 3 76,000 3 76,000 3 76,000 3 76,000 3 76,000 3 76,000 3 76,000 3 76,000 3 76,000 3 76,000 3 76,000 3 76,000 3 76,000 3 76,000 3 76,000 3 76,000 3 76,000 3 76,000 3 76,000 3 76,000 3 76,000 3 76,000 3 76,000 3 76,000 3 76,000 3 76,000 3 76,000 3 76,000 3 76,000 3 76,000 3 76,000 3 76,000 3 76,000 3 76,000 3 76,000 3 76,000 3 76,000 3 76,000 3 76,000 3 76,000 3 76,000 3 76,000 3 76,000 3 76,000 3 76,000 3 76,000 3 76,000 3 76,000 3 76,000 3 76,000 3 76,000 3 76,000 3 76,000 3 76,000 3 76,000 3 76,000 3 76,000 3 76,000 3 76,000 3 76,000 3 76,000 3 76,000 3 76,000 3 76,000 3 76,000 3 76,000 3 76,000 3 76,000 3 76,000 3 76,000 3 76,000 3 76,000 3 76,000 3 76,000 3 76,000 3 76,000 3 76,000                                                                                                                                                                                                                                                                                                                                                                                                                                                                                                                                                                                                                                                                                                                                                                                                                                                                          |
| 36 36 34 3 3 3 3 3 3 3 3 3 3 3 3 3 3 3 3                                                                             | 在165、1900、1950、1950、1950、1950、1950、1950、195                                                                                                                                                                                                                                                                                                                                                                                                                                                                                                                                                                                                                                                                                                                                                                                                                                                                                                                                                                                                                                                                                                                                                                                                                                                                                                                                                                                                                                                                                                                                                                                                                                                                                                                                                                                                                                                                                                                                                                                                                                                                                   | 62                                                                                                                                                                                                                                                                                                                                                                                                                                                                                                                                                                                                                                                                                                                                                                                                                                                                                                                                                                                                                                                                                                                                                                                                                                                                                                                                                                                                                                                                                                                                                                                                                                                                                                                                                                                                                                                                                                                                                                                                                                                                                                                                                                                                                                                                                                                                                                                                                                                                                                                                                                                                                                                                                                                                   | \$ 63876 1 0 1 00 1 0 1 00 1 0 1 00 2 8 4 78472 2 0 1 5549 3 2 1 00 2 0 1 00 4 0 1 00 4 0 1 00 4 0 1 00 4 0 1 00 4 0 1 00 4 0 1 00 2 3 2 0 8 3 2 0 8 3 2 0 8 3 2 0 8 3 1 0 8 3 1 0 8 3 1 0 8 3 1 0 8 3 1 0 8 3 1 0 8 3 1 0 8 3 1 0 8 3 1 0 8 3 1 0 8 3 1 0 8 3 1 0 8 3 1 0 8 3 1 0 8 3 1 0 8 3 1 0 8 3 1 0 8 3 1 0 8 3 1 0 8 3 1 0 8 3 1 0 8 3 1 0 8 3 1 0 8 3 1 0 8 3 1 0 8 3 1 0 8 3 1 0 8 3 1 0 8 3 1 0 8 3 1 0 8 3 1 0 8 3 1 0 8 3 1 0 8 3 1 0 8 3 1 0 8 3 1 0 8 3 1 0 8 3 1 0 8 3 1 0 8 3 1 0 8 3 1 0 8 3 1 0 8 3 1 0 8 3 1 0 8 3 1 0 8 3 1 0 8 3 1 0 8 3 1 0 8 3 1 0 8 3 1 0 8 3 1 0 8 3 1 0 8 3 1 0 8 3 1 0 8 3 1 0 8 3 1 0 8 3 1 0 8 3 1 0 8 3 1 0 8 3 1 0 8 3 1 0 8 3 1 0 8 3 1 0 8 3 1 0 8 3 1 0 8 3 1 0 8 3 1 0 8 3 1 0 8 3 1 0 8 3 1 0 8 3 1 0 8 3 1 0 8 3 1 0 8 3 1 0 8 3 1 0 8 3 1 0 8 3 1 0 8 3 1 0 8 3 1 0 8 3 1 0 8 3 1 0 8 3 1 0 8 3 1 0 8 3 1 0 8 3 1 0 8 3 1 0 8 3 1 0 8 3 1 0 8 3 1 0 8 3 1 0 8 3 1 0 8 3 1 0 8 3 1 0 8 3 1 0 8 3 1 0 8 3 1 0 8 3 1 0 8 3 1 0 8 3 1 0 8 3 1 0 8 3 1 0 8 3 1 0 8 3 1 0 8 3 1 0 8 3 1 0 8 3 1 0 8 3 1 0 8 3 1 0 8 3 1 0 8 3 1 0 8 3 1 0 8 3 1 0 8 3 1 0 8 3 1 0 8 3 1 0 8 3 1 0 8 3 1 0 8 3 1 0 8 3 1 0 8 3 1 0 8 3 1 0 8 3 1 0 8 3 1 0 8 3 1 0 8 3 1 0 8 3 1 0 8 3 1 0 8 3 1 0 8 3 1 0 8 3 1 0 8 3 1 0 8 3 1 0 8 3 1 0 8 3 1 0 8 3 1 0 8 3 1 0 8 3 1 0 8 3 1 0 8 3 1 0 8 3 1 0 8 3 1 0 8 3 1 0 8 3 1 0 8 3 1 0 8 3 1 0 8 3 1 0 8 3 1 0 8 3 1 0 8 3 1 0 8 3 1 0 8 3 1 0 8 3 1 0 8 3 1 0 8 3 1 0 8 3 1 0 8 3 1 0 8 3 1 0 8 3 1 0 8 3 1 0 8 3 1 0 8 3 1 0 8 3 1 0 8 3 1 0 8 3 1 0 8 3 1 0 8 3 1 0 8 3 1 0 8 3 1 0 8 3 1 0 8 3 1 0 8 3 1 0 8 3 1 0 8 3 1 0 8 3 1 0 8 3 1 0 8 3 1 0 8 3 1 0 8 3 1 0 8 3 1 0 8 3 1 0 8 3 1 0 8 3 1 0 8 3 1 0 8 3 1 0 8 3 1 0 8 3 1 0 8 3 1 0 8 3 1 0 8 3 1 0 8 3 1 0 8 3 1 0 8 3 1 0 8 3 1 0 8 3 1 0 8 3 1 0 8 3 1 0 8 3 1 0 8 3 1 0 8 3 1 0 8 3 1 0 8 3 1 0 8 3 1 0 8 3 1 0 8 3 1 0 8 3 1 0 8 3 1 0 8 3 1 0 8 3 1 0 8 3 1 0 8 3 1 0 8 3 1 0 8 3 1 0 8 3 1 0 8 3 1 0 8 3 1 0 8 3 1 0 8 3 1 0 8 3 1 0 8 3 1 0 8 3 1 0 8 3 1 0 8 3 1 0 8 3 1 0 8 3 1 0 8 3 1 0 8 3 1 0 8 3 1 0 8 3 1 0 8 3 1 0 8 3 1 0 8 3 1 0 8 3 1 0 8 3 1 0 8 3 1 0 8 3 1 0 8 3                                                                                                                                                                                                                                                                                                                                                                                                                                                                                                                                                                                                                                                                                                                                                                                                                                                     | 0.62 1.00 1.40 0.92 9 7.20 1.34 7.20.80 1.34 7.20.80 1.35 1.32 1.32 1.35 1.06 1.35 1.06 1.35 1.06 1.35 1.06 1.35 1.06 1.35 1.06 1.35 1.06 1.35 1.06 1.35 1.06 1.35 1.06 1.35 1.06 1.35 1.06 1.35 1.06 1.35 1.06 1.35 1.06 1.35 1.25 1.25 1.25 1.25 1.25 1.25 1.25 1.2                                                                                                                                                                                                                                                                                                                                                                                                                                                                                                                                                                                                                                                                                                                                                                                                                                                                                                                                                                                                                                                                                                                                                                                                                                                                                                                                                                                                                                                                                                                                                                                                                                                                                                                                                                                                                                                                                                                                                                                                                                                                                                                                                                                                                                                                                                                                                                                                                                                                                                                                                                                                                                                                                                                                                                    | 1.00<br>1.30<br>0.77<br>6.80<br>1.23<br>20.80<br>0.66<br>1.96<br>2.00<br>2.40<br>1.30<br>0.74<br>6.40<br>6.70<br>1.20<br>0.95<br>1.01<br>0.98<br>0.43<br>0.47<br>0.25<br>1.88<br>0.241<br>0.23<br>0.37<br>0.435<br>0.244<br>0.34<br>0.34<br>1.48<br>0.24<br>0.24<br>0.34<br>0.24<br>0.34<br>0.24<br>0.34<br>0.34<br>0.34<br>0.34<br>0.34<br>0.35<br>0.47<br>0.35<br>0.43<br>0.43<br>0.43<br>0.43<br>0.43<br>0.43<br>0.43<br>0.43<br>0.43<br>0.43<br>0.43<br>0.43<br>0.43<br>0.43<br>0.43<br>0.43<br>0.43<br>0.43<br>0.43<br>0.43<br>0.43<br>0.43<br>0.44<br>0.43<br>0.24<br>0.34<br>0.34<br>0.34<br>0.34<br>0.34<br>0.34<br>0.34<br>0.34<br>0.34<br>0.34<br>0.34<br>0.34<br>0.34<br>0.34<br>0.34<br>0.34<br>0.34<br>0.34<br>0.34<br>0.34<br>0.34<br>0.34<br>0.34<br>0.34<br>0.34<br>0.34<br>0.34<br>0.34<br>0.34<br>0.34<br>0.34<br>0.34<br>0.34<br>0.34<br>0.34<br>0.34<br>0.34<br>0.34<br>0.34<br>0.34<br>0.34<br>0.34<br>0.34<br>0.34<br>0.34<br>0.34<br>0.34<br>0.34<br>0.34<br>0.34<br>0.34<br>0.34<br>0.34<br>0.34<br>0.34<br>0.34<br>0.34<br>0.34<br>0.34<br>0.34<br>0.34<br>0.34<br>0.34<br>0.34<br>0.34<br>0.34<br>0.34<br>0.34<br>0.34<br>0.34<br>0.34<br>0.34<br>0.34<br>0.34<br>0.34<br>0.34<br>0.34<br>0.34<br>0.34<br>0.34<br>0.34<br>0.34<br>0.34<br>0.34<br>0.34<br>0.34<br>0.34<br>0.34<br>0.34<br>0.34<br>0.34<br>0.34<br>0.34<br>0.34<br>0.34<br>0.34<br>0.34<br>0.34<br>0.34<br>0.34<br>0.34<br>0.34<br>0.34<br>0.34<br>0.34<br>0.34<br>0.34<br>0.34<br>0.34<br>0.34<br>0.34<br>0.34<br>0.34<br>0.34<br>0.34<br>0.34<br>0.34<br>0.34<br>0.34<br>0.34<br>0.34<br>0.34<br>0.34<br>0.34<br>0.34<br>0.34<br>0.34<br>0.34<br>0.34<br>0.34<br>0.34<br>0.34<br>0.34<br>0.34<br>0.34<br>0.34<br>0.34<br>0.34<br>0.34<br>0.34<br>0.34<br>0.34<br>0.34<br>0.34<br>0.34<br>0.34<br>0.34<br>0.34<br>0.34<br>0.34<br>0.34<br>0.34<br>0.34<br>0.34<br>0.34<br>0.34<br>0.34<br>0.34<br>0.34<br>0.34<br>0.34<br>0.34<br>0.34<br>0.34<br>0.34<br>0.34<br>0.34<br>0.34<br>0.34<br>0.34<br>0.34<br>0.34<br>0.34<br>0.34<br>0.34<br>0.34<br>0.34<br>0.34<br>0.34<br>0.34<br>0.34<br>0.34<br>0.34<br>0.34<br>0.34<br>0.34<br>0.34<br>0.34<br>0.34<br>0.34<br>0.34<br>0.34<br>0.34<br>0.34<br>0.34<br>0.34<br>0.34<br>0.34<br>0.34<br>0.34<br>0.34<br>0.34<br>0.34<br>0.34<br>0.34<br>0.34<br>0.34<br>0.34<br>0.34<br>0.34<br>0.34<br>0.34<br>0.34<br>0.34<br>0.34<br>0.34<br>0.34<br>0.34<br>0.34<br>0.34<br>0.34<br>0.34<br>0.34<br>0.34<br>0.34<br>0.34<br>0.34<br>0.34<br>0.34<br>0.34<br>0.34<br>0.34<br>0.34<br>0.34<br>0.34<br>0.34<br>0.34<br>0.34<br>0.34<br>0.34<br>0.34<br>0.34<br>0.34<br>0.34<br>0.34<br>0.34<br>0.34<br>0.34<br>0.34<br>0.34<br>0.34<br>0.34<br>0.34<br>0.34<br>0.34<br>0.34<br>0.34<br>0.34<br>0.34<br>0.34<br>0.34<br>0.34<br>0.34<br>0.34<br>0.34<br>0.34<br>0.34<br>0.34<br>0.34<br>0.34<br>0.34<br>0. | 1.00 -2.0 1.34 +0.0 0.78 -0.0 6.85 -0.1 1.25 -0.0 21.00 -0.1 0.66 +0.0 1.99 -0.0 2.00 -0.2 2.45 -0.0 6.40 -0.1 6.80 -0.1 1.33 +0.3 1.07 +0.1 1.10 +0.10 0.79 +0.0 1.00 +0.1 0.61 +0.2 0.48 +0.0 0.48 +0.0 0.26 +0.0 1.90 +0.0 0.248 +0.0 0.375 +0.0 0.345 +0.0 0.375 +0.0 0.345 +0.0 0.345 +0.0 0.345 +0.0 0.345 +0.0 0.345 +0.0 0.345 +0.0 0.345 +0.0 0.345 +0.0 0.345 +0.0 0.345 +0.0 0.345 +0.0 0.345 +0.0 0.345 +0.0 0.345 +0.0 0.345 +0.0 0.345 +0.0 0.345 +0.0 0.345 +0.0 0.345 +0.0 0.345 +0.0 0.345 +0.0 0.345 +0.0 0.345 +0.0 0.345 +0.0 0.345 +0.0 0.345 +0.0 0.345 +0.0 0.345 +0.0 0.345 +0.0 0.345 +0.0 0.345 +0.0 0.345 +0.0 0.345 +0.0 0.345 +0.0 0.345 +0.0 0.345 +0.0 0.345 +0.0 0.345 +0.0 0.345 +0.0 0.345 +0.0 0.345 +0.0 0.345 +0.0 0.345 +0.0 0.345 +0.0 0.345 +0.0 0.345 +0.0 0.345 +0.0 0.345 +0.0 0.345 +0.0 0.345 +0.0 0.345 +0.0 0.345 +0.0 0.345 +0.0 0.345 +0.0 0.345 +0.0 0.345 +0.0 0.345 +0.0 0.345 +0.0 0.345 +0.0 0.345 +0.0 0.345 +0.0 0.345 +0.0 0.345 +0.0 0.345 +0.0 0.345 +0.0 0.345 +0.0 0.345 +0.0 0.345 +0.0 0.345 +0.0 0.345 +0.0 0.345 +0.0 0.345 +0.0 0.345 +0.0 0.345 +0.0 0.345 +0.0 0.345 +0.0 0.345 +0.0 0.345 +0.0 0.345 +0.0 0.345 +0.0 0.345 +0.0 0.345 +0.0 0.345 +0.0 0.345 +0.0 0.345 +0.0 0.345 +0.0 0.345 +0.0 0.345 +0.0 0.345 +0.0 0.345 +0.0 0.345 +0.0 0.345 +0.0 0.345 +0.0 0.345 +0.0 0.345 +0.0 0.345 +0.0 0.345 +0.0 0.345 +0.0 0.345 +0.0 0.345 +0.0 0.345 +0.0 0.345 +0.0 0.345 +0.0 0.345 +0.0 0.345 +0.0 0.345 +0.0 0.345 +0.0 0.345 +0.0 0.345 +0.0 0.345 +0.0 0.345 +0.0 0.345 +0.0 0.345 +0.0 0.345 +0.0 0.345 +0.0 0.345 +0.0 0.345 +0.0 0.345 +0.0 0.345 +0.0 0.345 +0.0 0.345 +0.0 0.345 +0.0 0.345 +0.0 0.345 +0.0 0.345 +0.0 0.345 +0.0 0.345 +0.0 0.345 +0.0 0.345 +0.0 0.345 +0.0 0.345 +0.0 0.345 +0.0 0.345 +0.0 0.345 +0.0 0.345 +0.0 0.345 +0.0 0.345 +0.0 0.345 +0.0 0.345 +0.0 0.345 +0.0 0.345 +0.0 0.345 +0.0 0.345 +0.0 0.345 +0.0 0.345 +0.0 0.345 +0.0 0.345 +0.0 0.345 +0.0 0.345 +0.0 0.345 +0.0 0.345 +0.0 0.345 +0.0 0.345 +0.0 0.345 +0.0 0.345 +0.0 0.345 +0.0 0.345 +0.0 0.345 +0.0 0.345 +0.0 0.345 +0.0 0.345 +0.0 0.345 +0. | 23,817,000 30,000 30,000 4 2,582,445 4 3,726,206 5 1,003,188 5 2,330,800 0 1,500 1 463,607 1 1,560,372 5 385,000 5 991,120 0 120,100 3 720,000 5 538,000 6 700,000 5 130,000 6 76,000 2 82,000 1 805,164 13 626,000 1 805,164 13 626,000 1 805,164 13 626,000 1 805,164 13 626,000 1 805,164 13 626,000 1 805,164 13 626,000 1 805,164 13 626,000 1 805,164 13 626,000 1 805,164 13 626,000 1 80,000 1 80,000 1 80,000 1 80,000 1 80,000 1 80,000 1 80,000 1 2,330,665 2,283,749 1 2,360,000 1 2,360,000 1 2,360,000 1 2,360,000 1 2,376,000 1 2,376,000 1 2,376,000 1 2,376,000 1 2,376,000 1 2,376,000 1 2,376,000 1 3,279,000 1 3,279,000                                                                                                                                                                                                                                                                                                                                                                                                                                                                                                                                                                                                                                                                                                                                                                                                                                                                                                                                                                                                                                                                                                                                                                                                                                                                                                                                                                                                                                                                                                                                                                                                                                                                                                                                                                                                                                                                                                                                                                                                                                                                            |
| 36 36 34 34 35 35 35 36 36 37 36 36 37 36 36 37 36 36 37 36 36 37 36 37 36 37 37 37 37 37 37 37 37 37 37 37 37 37    | 在165、1900、1950、1950、1950、1950、1950、1950、195                                                                                                                                                                                                                                                                                                                                                                                                                                                                                                                                                                                                                                                                                                                                                                                                                                                                                                                                                                                                                                                                                                                                                                                                                                                                                                                                                                                                                                                                                                                                                                                                                                                                                                                                                                                                                                                                                                                                                                                                                                                                                   | 62                                                                                                                                                                                                                                                                                                                                                                                                                                                                                                                                                                                                                                                                                                                                                                                                                                                                                                                                                                                                                                                                                                                                                                                                                                                                                                                                                                                                                                                                                                                                                                                                                                                                                                                                                                                                                                                                                                                                                                                                                                                                                                                                                                                                                                                                                                                                                                                                                                                                                                                                                                                                                                                                                                                                   | \$ 63876 1 0 1 00 1 0 1 00 1 0 1 00 2 8 4 78472 2 0 1 5549 3 2 1 00 2 0 1 00 4 0 1 00 4 0 1 00 4 0 1 00 4 0 1 00 4 0 1 00 4 0 1 00 2 3 2 0 8 3 2 0 8 3 2 0 8 3 2 0 8 3 1 0 8 3 1 0 8 3 1 0 8 3 1 0 8 3 1 0 8 3 1 0 8 3 1 0 8 3 1 0 8 3 1 0 8 3 1 0 8 3 1 0 8 3 1 0 8 3 1 0 8 3 1 0 8 3 1 0 8 3 1 0 8 3 1 0 8 3 1 0 8 3 1 0 8 3 1 0 8 3 1 0 8 3 1 0 8 3 1 0 8 3 1 0 8 3 1 0 8 3 1 0 8 3 1 0 8 3 1 0 8 3 1 0 8 3 1 0 8 3 1 0 8 3 1 0 8 3 1 0 8 3 1 0 8 3 1 0 8 3 1 0 8 3 1 0 8 3 1 0 8 3 1 0 8 3 1 0 8 3 1 0 8 3 1 0 8 3 1 0 8 3 1 0 8 3 1 0 8 3 1 0 8 3 1 0 8 3 1 0 8 3 1 0 8 3 1 0 8 3 1 0 8 3 1 0 8 3 1 0 8 3 1 0 8 3 1 0 8 3 1 0 8 3 1 0 8 3 1 0 8 3 1 0 8 3 1 0 8 3 1 0 8 3 1 0 8 3 1 0 8 3 1 0 8 3 1 0 8 3 1 0 8 3 1 0 8 3 1 0 8 3 1 0 8 3 1 0 8 3 1 0 8 3 1 0 8 3 1 0 8 3 1 0 8 3 1 0 8 3 1 0 8 3 1 0 8 3 1 0 8 3 1 0 8 3 1 0 8 3 1 0 8 3 1 0 8 3 1 0 8 3 1 0 8 3 1 0 8 3 1 0 8 3 1 0 8 3 1 0 8 3 1 0 8 3 1 0 8 3 1 0 8 3 1 0 8 3 1 0 8 3 1 0 8 3 1 0 8 3 1 0 8 3 1 0 8 3 1 0 8 3 1 0 8 3 1 0 8 3 1 0 8 3 1 0 8 3 1 0 8 3 1 0 8 3 1 0 8 3 1 0 8 3 1 0 8 3 1 0 8 3 1 0 8 3 1 0 8 3 1 0 8 3 1 0 8 3 1 0 8 3 1 0 8 3 1 0 8 3 1 0 8 3 1 0 8 3 1 0 8 3 1 0 8 3 1 0 8 3 1 0 8 3 1 0 8 3 1 0 8 3 1 0 8 3 1 0 8 3 1 0 8 3 1 0 8 3 1 0 8 3 1 0 8 3 1 0 8 3 1 0 8 3 1 0 8 3 1 0 8 3 1 0 8 3 1 0 8 3 1 0 8 3 1 0 8 3 1 0 8 3 1 0 8 3 1 0 8 3 1 0 8 3 1 0 8 3 1 0 8 3 1 0 8 3 1 0 8 3 1 0 8 3 1 0 8 3 1 0 8 3 1 0 8 3 1 0 8 3 1 0 8 3 1 0 8 3 1 0 8 3 1 0 8 3 1 0 8 3 1 0 8 3 1 0 8 3 1 0 8 3 1 0 8 3 1 0 8 3 1 0 8 3 1 0 8 3 1 0 8 3 1 0 8 3 1 0 8 3 1 0 8 3 1 0 8 3 1 0 8 3 1 0 8 3 1 0 8 3 1 0 8 3 1 0 8 3 1 0 8 3 1 0 8 3 1 0 8 3 1 0 8 3 1 0 8 3 1 0 8 3 1 0 8 3 1 0 8 3 1 0 8 3 1 0 8 3 1 0 8 3 1 0 8 3 1 0 8 3 1 0 8 3 1 0 8 3 1 0 8 3 1 0 8 3 1 0 8 3 1 0 8 3 1 0 8 3 1 0 8 3 1 0 8 3 1 0 8 3 1 0 8 3 1 0 8 3 1 0 8 3 1 0 8 3 1 0 8 3 1 0 8 3 1 0 8 3 1 0 8 3 1 0 8 3 1 0 8 3 1 0 8 3 1 0 8 3 1 0 8 3 1 0 8 3 1 0 8 3 1 0 8 3 1 0 8 3 1 0 8 3 1 0 8 3 1 0 8 3 1 0 8 3 1 0 8 3 1 0 8 3 1 0 8 3 1 0 8 3 1 0 8 3 1 0 8 3 1 0 8 3 1 0 8 3 1 0 8 3 1 0 8 3 1 0 8 3 1 0 8 3 1 0 8 3 1 0 8 3 1 0 8 3 1 0 8 3 1 0 8 3 1 0 8 3 1 0 8 3                                                                                                                                                                                                                                                                                                                                                                                                                                                                                                                                                                                                                                                                                                                                                                                                                                                     | 0.62 1.00 1.40 0.92 9 7.20 1.34 7.20.80 1.34 7.20.80 1.35 1.32 1.32 1.35 1.06 1.35 1.06 1.35 1.06 1.35 1.06 1.35 1.06 1.35 1.06 1.35 1.06 1.35 1.06 1.35 1.06 1.35 1.06 1.35 1.06 1.35 1.06 1.35 1.06 1.35 1.06 1.35 1.06 1.35 1.25 1.25 1.25 1.25 1.25 1.25 1.25 1.2                                                                                                                                                                                                                                                                                                                                                                                                                                                                                                                                                                                                                                                                                                                                                                                                                                                                                                                                                                                                                                                                                                                                                                                                                                                                                                                                                                                                                                                                                                                                                                                                                                                                                                                                                                                                                                                                                                                                                                                                                                                                                                                                                                                                                                                                                                                                                                                                                                                                                                                                                                                                                                                                                                                                                                    | 1.00<br>1.30<br>0.77<br>6.80<br>1.23<br>20.80<br>0.66<br>1.96<br>2.00<br>2.40<br>1.30<br>0.74<br>6.40<br>6.70<br>1.20<br>0.95<br>1.01<br>0.98<br>0.43<br>0.47<br>0.25<br>1.88<br>0.241<br>0.23<br>0.37<br>0.435<br>0.244<br>0.34<br>0.34<br>1.48<br>0.24<br>0.24<br>0.34<br>0.24<br>0.34<br>0.24<br>0.34<br>0.34<br>0.34<br>0.34<br>0.34<br>0.35<br>0.47<br>0.35<br>0.43<br>0.43<br>0.43<br>0.43<br>0.43<br>0.43<br>0.43<br>0.43<br>0.43<br>0.43<br>0.43<br>0.43<br>0.43<br>0.43<br>0.43<br>0.43<br>0.43<br>0.43<br>0.43<br>0.43<br>0.43<br>0.43<br>0.44<br>0.43<br>0.24<br>0.34<br>0.34<br>0.34<br>0.34<br>0.34<br>0.34<br>0.34<br>0.34<br>0.34<br>0.34<br>0.34<br>0.34<br>0.34<br>0.34<br>0.34<br>0.34<br>0.34<br>0.34<br>0.34<br>0.34<br>0.34<br>0.34<br>0.34<br>0.34<br>0.34<br>0.34<br>0.34<br>0.34<br>0.34<br>0.34<br>0.34<br>0.34<br>0.34<br>0.34<br>0.34<br>0.34<br>0.34<br>0.34<br>0.34<br>0.34<br>0.34<br>0.34<br>0.34<br>0.34<br>0.34<br>0.34<br>0.34<br>0.34<br>0.34<br>0.34<br>0.34<br>0.34<br>0.34<br>0.34<br>0.34<br>0.34<br>0.34<br>0.34<br>0.34<br>0.34<br>0.34<br>0.34<br>0.34<br>0.34<br>0.34<br>0.34<br>0.34<br>0.34<br>0.34<br>0.34<br>0.34<br>0.34<br>0.34<br>0.34<br>0.34<br>0.34<br>0.34<br>0.34<br>0.34<br>0.34<br>0.34<br>0.34<br>0.34<br>0.34<br>0.34<br>0.34<br>0.34<br>0.34<br>0.34<br>0.34<br>0.34<br>0.34<br>0.34<br>0.34<br>0.34<br>0.34<br>0.34<br>0.34<br>0.34<br>0.34<br>0.34<br>0.34<br>0.34<br>0.34<br>0.34<br>0.34<br>0.34<br>0.34<br>0.34<br>0.34<br>0.34<br>0.34<br>0.34<br>0.34<br>0.34<br>0.34<br>0.34<br>0.34<br>0.34<br>0.34<br>0.34<br>0.34<br>0.34<br>0.34<br>0.34<br>0.34<br>0.34<br>0.34<br>0.34<br>0.34<br>0.34<br>0.34<br>0.34<br>0.34<br>0.34<br>0.34<br>0.34<br>0.34<br>0.34<br>0.34<br>0.34<br>0.34<br>0.34<br>0.34<br>0.34<br>0.34<br>0.34<br>0.34<br>0.34<br>0.34<br>0.34<br>0.34<br>0.34<br>0.34<br>0.34<br>0.34<br>0.34<br>0.34<br>0.34<br>0.34<br>0.34<br>0.34<br>0.34<br>0.34<br>0.34<br>0.34<br>0.34<br>0.34<br>0.34<br>0.34<br>0.34<br>0.34<br>0.34<br>0.34<br>0.34<br>0.34<br>0.34<br>0.34<br>0.34<br>0.34<br>0.34<br>0.34<br>0.34<br>0.34<br>0.34<br>0.34<br>0.34<br>0.34<br>0.34<br>0.34<br>0.34<br>0.34<br>0.34<br>0.34<br>0.34<br>0.34<br>0.34<br>0.34<br>0.34<br>0.34<br>0.34<br>0.34<br>0.34<br>0.34<br>0.34<br>0.34<br>0.34<br>0.34<br>0.34<br>0.34<br>0.34<br>0.34<br>0.34<br>0.34<br>0.34<br>0.34<br>0.34<br>0.34<br>0.34<br>0.34<br>0.34<br>0.34<br>0.34<br>0.34<br>0.34<br>0.34<br>0.34<br>0.34<br>0.34<br>0.34<br>0.34<br>0.34<br>0.34<br>0.34<br>0.34<br>0.34<br>0.34<br>0.34<br>0.34<br>0.34<br>0.34<br>0.34<br>0.34<br>0.34<br>0.34<br>0.34<br>0.34<br>0.34<br>0.34<br>0.34<br>0.34<br>0.34<br>0.34<br>0.34<br>0.34<br>0.34<br>0.34<br>0.34<br>0.34<br>0.34<br>0.34<br>0.34<br>0.34<br>0.34<br>0.34<br>0.34<br>0.34<br>0.34<br>0.34<br>0.34<br>0.34<br>0. | 1.00 -2.0 1.34 +0.0 0.78 -0.0 6.85 -0.1 1.25 -0.0 21.00 -0.1 0.66 +0.0 1.99 -0.0 2.00 -0.2 2.45 -0.0 6.40 -0.1 6.80 -0.1 1.33 +0.3 1.07 +0.1 1.10 +0.10 0.79 +0.0 1.00 +0.1 0.61 +0.2 0.48 +0.0 0.48 +0.0 0.26 +0.0 1.90 +0.0 0.248 +0.0 0.375 +0.0 0.345 +0.0 0.375 +0.0 0.345 +0.0 0.345 +0.0 0.345 +0.0 0.345 +0.0 0.345 +0.0 0.345 +0.0 0.345 +0.0 0.345 +0.0 0.345 +0.0 0.345 +0.0 0.345 +0.0 0.345 +0.0 0.345 +0.0 0.345 +0.0 0.345 +0.0 0.345 +0.0 0.345 +0.0 0.345 +0.0 0.345 +0.0 0.345 +0.0 0.345 +0.0 0.345 +0.0 0.345 +0.0 0.345 +0.0 0.345 +0.0 0.345 +0.0 0.345 +0.0 0.345 +0.0 0.345 +0.0 0.345 +0.0 0.345 +0.0 0.345 +0.0 0.345 +0.0 0.345 +0.0 0.345 +0.0 0.345 +0.0 0.345 +0.0 0.345 +0.0 0.345 +0.0 0.345 +0.0 0.345 +0.0 0.345 +0.0 0.345 +0.0 0.345 +0.0 0.345 +0.0 0.345 +0.0 0.345 +0.0 0.345 +0.0 0.345 +0.0 0.345 +0.0 0.345 +0.0 0.345 +0.0 0.345 +0.0 0.345 +0.0 0.345 +0.0 0.345 +0.0 0.345 +0.0 0.345 +0.0 0.345 +0.0 0.345 +0.0 0.345 +0.0 0.345 +0.0 0.345 +0.0 0.345 +0.0 0.345 +0.0 0.345 +0.0 0.345 +0.0 0.345 +0.0 0.345 +0.0 0.345 +0.0 0.345 +0.0 0.345 +0.0 0.345 +0.0 0.345 +0.0 0.345 +0.0 0.345 +0.0 0.345 +0.0 0.345 +0.0 0.345 +0.0 0.345 +0.0 0.345 +0.0 0.345 +0.0 0.345 +0.0 0.345 +0.0 0.345 +0.0 0.345 +0.0 0.345 +0.0 0.345 +0.0 0.345 +0.0 0.345 +0.0 0.345 +0.0 0.345 +0.0 0.345 +0.0 0.345 +0.0 0.345 +0.0 0.345 +0.0 0.345 +0.0 0.345 +0.0 0.345 +0.0 0.345 +0.0 0.345 +0.0 0.345 +0.0 0.345 +0.0 0.345 +0.0 0.345 +0.0 0.345 +0.0 0.345 +0.0 0.345 +0.0 0.345 +0.0 0.345 +0.0 0.345 +0.0 0.345 +0.0 0.345 +0.0 0.345 +0.0 0.345 +0.0 0.345 +0.0 0.345 +0.0 0.345 +0.0 0.345 +0.0 0.345 +0.0 0.345 +0.0 0.345 +0.0 0.345 +0.0 0.345 +0.0 0.345 +0.0 0.345 +0.0 0.345 +0.0 0.345 +0.0 0.345 +0.0 0.345 +0.0 0.345 +0.0 0.345 +0.0 0.345 +0.0 0.345 +0.0 0.345 +0.0 0.345 +0.0 0.345 +0.0 0.345 +0.0 0.345 +0.0 0.345 +0.0 0.345 +0.0 0.345 +0.0 0.345 +0.0 0.345 +0.0 0.345 +0.0 0.345 +0.0 0.345 +0.0 0.345 +0.0 0.345 +0.0 0.345 +0.0 0.345 +0.0 0.345 +0.0 0.345 +0.0 0.345 +0.0 0.345 +0.0 0.345 +0.0 0.345 +0.0 0.345 +0.0 0.345 +0.0 0.345 +0.0 0.345 +0.0 0.345 +0. | 23,817,000 30,000 30,000 4 2,582,445 4 3,726,206 5 1,003,188 5 2,330,800 0 1,500 1 463,607 1 1,560,372 5 385,000 5 991,120 0 120,100 3 720,000 5 538,000 6 700,000 5 130,000 6 76,000 2 82,000 1 805,164 13 626,000 1 805,164 13 626,000 1 805,164 13 626,000 1 805,164 13 626,000 1 805,164 13 626,000 1 805,164 13 626,000 1 805,164 13 626,000 1 805,164 13 626,000 1 805,164 13 626,000 1 80,000 1 80,000 1 80,000 1 80,000 1 80,000 1 80,000 1 80,000 1 2,330,665 2,283,749 1 2,360,000 1 2,360,000 1 2,360,000 1 2,360,000 1 2,376,000 1 2,376,000 1 2,376,000 1 2,376,000 1 2,376,000 1 2,376,000 1 2,376,000 1 3,279,000 1 3,279,000                                                                                                                                                                                                                                                                                                                                                                                                                                                                                                                                                                                                                                                                                                                                                                                                                                                                                                                                                                                                                                                                                                                                                                                                                                                                                                                                                                                                                                                                                                                                                                                                                                                                                                                                                                                                                                                                                                                                                                                                                                                                            |
| 36 36 34 3 3 3 3 3 3 3 3 3 3 3 3 3 3 3 3                                                                             | 自由的 1.000000000000000000000000000000000000                                                                                                                                                                                                                                                                                                                                                                                                                                                                                                                                                                                                                                                                                                                                                                                                                                                                                                                                                                                                                                                                                                                                                                                                                                                                                                                                                                                                                                                                                                                                                                                                                                                                                                                                                                                                                                                                                                                                                                                                                                                                                    | 63                                                                                                                                                                                                                                                                                                                                                                                                                                                                                                                                                                                                                                                                                                                                                                                                                                                                                                                                                                                                                                                                                                                                                                                                                                                                                                                                                                                                                                                                                                                                                                                                                                                                                                                                                                                                                                                                                                                                                                                                                                                                                                                                                                                                                                                                                                                                                                                                                                                                                                                                                                                                                                                                                                                                   | 5 63876 1 00 1 00 1 0 1 00 2 8 4 78472 2 0 1 5549 3 2 1 5549 3 2 1 30 2 3 4 00 3 6064 10 4 1 00 4 1 1 00 2 3 2 1 0 2 3 2 1 0 2 3 2 1 0 3 3 1 1 0 2 8 1 1 0 2 8 1 1 0 2 8 1 1 0 2 8 1 1 0 2 8 1 1 0 3 0 0 1 1 0 3 0 0 1 1 0 3 0 0 1 1 0 0 2 50 1 1 0 0 2 50 1 1 0 0 2 50 1 1 0 0 2 50 1 1 0 0 2 50 1 1 0 0 2 75 1 1 0 0 2 75 1 1 0 0 2 75 1 1 0 0 2 75 1 1 0 0 2 75 1 1 0 0 2 75 1 1 0 0 2 75 1 1 0 0 2 75 1 1 0 0 2 75 1 1 0 0 2 75 1 1 0 0 3 0 0 1 1 0 0 3 0 0 1 1 0 0 3 0 0 1 1 0 0 3 0 0 1 1 0 0 3 0 0 1 1 0 0 3 0 0 1 1 0 0 3 0 0 1 1 0 0 3 0 0 1 1 0 0 3 0 0 1 1 0 0 3 0 0 1 1 0 0 3 0 0 1 1 0 0 3 0 0 1 1 0 0 3 0 0 1 1 0 0 3 0 0 1 1 0 0 3 0 0 1 1 0 0 3 0 0 1 1 0 0 3 0 0 1 1 0 0 3 0 0 1 1 0 0 3 0 0 1 1 0 0 3 0 0 1 1 0 0 3 0 0 1 1 0 0 3 0 0 1 1 0 0 3 0 0 1 1 0 0 3 0 0 1 1 0 0 3 0 0 1 1 0 0 3 0 0 1 1 0 0 3 0 0 1 1 0 0 3 0 0 1 1 0 0 3 0 0 1 1 0 0 3 0 0 1 1 0 0 3 0 0 1 1 0 0 3 0 0 1 1 0 0 3 0 0 1 1 0 0 3 0 0 1 1 0 0 3 0 0 1 1 0 0 3 0 0 1 1 0 0 3 0 0 1 1 0 0 3 0 0 1 1 0 0 3 0 0 1 1 0 0 3 0 0 1 1 0 0 3 0 0 1 1 0 0 3 0 0 1 1 0 0 3 0 0 1 1 0 0 3 0 0 1 1 0 0 3 0 0 1 1 0 0 3 0 0 1 1 0 0 3 0 0 1 1 0 0 3 0 0 1 1 0 0 3 0 0 1 1 0 0 3 0 0 1 1 0 0 3 0 0 1 1 0 0 3 0 0 1 1 0 0 3 0 0 1 1 0 0 3 0 0 1 1 0 0 3 0 0 1 1 0 0 3 0 0 1 1 0 0 3 0 0 1 1 0 0 3 0 0 1 1 0 0 3 0 0 1 1 0 0 3 0 0 1 1 0 0 3 0 0 1 1 0 0 3 0 0 1 1 0 0 3 0 0 1 1 0 0 3 0 0 1 1 0 0 3 0 0 1 1 0 0 3 0 0 1 1 0 0 3 0 0 1 1 0 0 3 0 0 1 1 0 0 3 0 0 1 1 0 0 3 0 0 1 1 0 0 3 0 0 1 1 0 0 3 0 0 1 1 0 0 3 0 0 1 1 0 0 3 0 0 1 1 0 0 3 0 0 1 1 0 0 3 0 0 1 1 0 0 3 0 0 1 1 0 0 3 0 0 1 1 0 0 3 0 0 1 1 0 0 3 0 0 1 1 0 0 3 0 0 1 1 0 0 3 0 0 1 1 0 0 3 0 0 1 1 0 0 3 0 0 1 1 0 0 3 0 0 1 1 0 0 3 0 0 1 1 0 0 3 0 0 1 1 0 0 3 0 0 1 1 0 0 3 0 0 1 1 0 0 3 0 0 1 1 0 0 3 0 0 1 1 0 0 3 0 0 1 1 0 0 3 0 0 1 1 0 0 3 0 0 1 1 0 0 3 0 0 1 1 0 0 3 0 0 1 1 0 0 3 0 0 1 1 0 0 3 0 0 1 1 0 0 3 0 0 1 1 0 0 3 0 0 1 1 0 0 3 0 0 1 1 0 0 3 0 0 1 1 0 0 3 0 0 1 1 0 0 3 0 0 1 1 0 0 3 0 0 1 1 0 0 3 0 0 1 1 0 0 3 0 0 1 1 0 0 3 0 0 1 1 0 0 3 0 0 1 1 0 0 3 0 0 1 1 0 0 3 0 0 1 1 0 0 3 0 0 1 1 0 0 3 0 0 1 1 0 0 3 0 0 1 1 0 0 3 0 0 1 1 0 0 3 0 0 1                                                                                                                                                                                                                                                                                                                                                                                                                                                                                                                                                                                                                                                                                                                                                                                                                                                      | 1.40<br>1.40<br>0.92<br>7.20<br>1.34<br>7.20.80<br>7.20<br>1.34<br>7.20.80<br>7.20<br>1.34<br>7.20.80<br>7.20<br>1.32<br>0.84<br>6.60<br>6.90<br>1.35<br>1.06<br>1.10<br>0.49<br>0.29<br>7.25<br>0.31<br>0.25<br>0.31<br>0.25<br>0.31<br>0.25<br>0.31<br>0.25<br>0.31<br>0.25<br>0.31<br>0.25<br>0.31<br>0.25<br>0.31<br>0.25<br>0.31<br>0.25<br>0.31<br>0.25<br>0.31<br>0.25<br>0.31<br>0.35<br>0.30<br>0.39<br>0.40<br>1.30<br>0.30<br>0.30<br>0.30<br>0.30<br>0.30<br>0.30<br>0.30<br>0.30<br>0.30<br>0.30<br>0.30<br>0.30<br>0.30<br>0.30<br>0.30<br>0.30<br>0.30<br>0.30<br>0.30<br>0.30<br>0.30<br>0.30<br>0.30<br>0.30<br>0.30<br>0.30<br>0.30<br>0.30<br>0.30<br>0.30<br>0.30<br>0.30<br>0.30<br>0.30<br>0.30<br>0.30<br>0.30<br>0.30<br>0.30<br>0.30<br>0.30<br>0.30<br>0.30<br>0.30<br>0.30<br>0.30<br>0.30<br>0.30<br>0.30<br>0.30<br>0.30<br>0.30<br>0.30<br>0.30<br>0.30<br>0.30<br>0.30<br>0.30<br>0.30<br>0.30<br>0.30<br>0.30<br>0.30<br>0.30<br>0.30<br>0.30<br>0.30<br>0.30<br>0.30<br>0.30<br>0.30<br>0.30<br>0.30<br>0.30<br>0.30<br>0.30<br>0.30<br>0.30<br>0.30<br>0.30<br>0.30<br>0.30<br>0.30<br>0.30<br>0.30<br>0.30<br>0.30<br>0.30<br>0.30<br>0.30<br>0.30<br>0.30<br>0.30<br>0.30<br>0.30<br>0.30<br>0.30<br>0.30<br>0.30<br>0.30<br>0.30<br>0.30<br>0.30<br>0.30<br>0.30<br>0.30<br>0.30<br>0.30<br>0.30<br>0.30<br>0.30<br>0.30<br>0.30<br>0.30<br>0.30<br>0.30<br>0.30<br>0.30<br>0.30<br>0.30<br>0.30<br>0.30<br>0.30<br>0.30<br>0.30<br>0.30<br>0.30<br>0.30<br>0.30<br>0.30<br>0.30<br>0.30<br>0.30<br>0.30<br>0.30<br>0.30<br>0.30<br>0.30<br>0.30<br>0.30<br>0.30<br>0.30<br>0.30<br>0.30<br>0.30<br>0.30<br>0.30<br>0.30<br>0.30<br>0.30<br>0.30<br>0.30<br>0.30<br>0.30<br>0.30<br>0.30<br>0.30<br>0.30<br>0.30<br>0.30<br>0.30<br>0.30<br>0.30<br>0.30<br>0.30<br>0.30<br>0.30<br>0.30<br>0.30<br>0.30<br>0.30<br>0.30<br>0.30<br>0.30<br>0.30<br>0.30<br>0.30<br>0.30<br>0.30<br>0.30<br>0.30<br>0.30<br>0.30<br>0.30<br>0.30<br>0.30<br>0.30<br>0.30<br>0.30<br>0.30<br>0.30<br>0.30<br>0.30<br>0.30<br>0.30<br>0.30<br>0.30<br>0.30<br>0.30<br>0.30<br>0.30<br>0.30<br>0.30<br>0.30<br>0.30<br>0.30<br>0.30<br>0.30<br>0.30<br>0.30<br>0.30<br>0.30<br>0.30<br>0.30<br>0.30<br>0.30<br>0.30<br>0.30<br>0.30<br>0.30<br>0.30<br>0.30<br>0.30<br>0.30<br>0.30<br>0.30<br>0.30<br>0.30<br>0.30<br>0.30<br>0.30<br>0.30<br>0.30<br>0.30<br>0.30<br>0.30<br>0.30<br>0.30<br>0.30<br>0.30<br>0.30<br>0.30<br>0.30<br>0.30<br>0.30<br>0.30<br>0.30<br>0.30<br>0.30<br>0.30<br>0.30<br>0.30<br>0.30<br>0.30<br>0.30<br>0.30<br>0.30<br>0.30<br>0.30<br>0.30<br>0.30<br>0.30<br>0.30<br>0.30<br>0.30<br>0.30<br>0.30<br>0.30<br>0.30<br>0.30<br>0.30<br>0.30<br>0.30<br>0.30<br>0.30<br>0.30<br>0.30<br>0.30<br>0.30<br>0.30<br>0.30<br>0.30<br>0.30<br>0.30<br>0.30<br>0.30<br>0.30<br>0.30<br>0.3                                                                                                                                                                                                     | 1.00<br>1.30<br>0.77<br>6.80<br>1.23<br>20.80<br>0.66<br>1.96<br>2.00<br>2.40<br>1.30<br>0.74<br>6.40<br>6.70<br>1.20<br>0.95<br>1.01<br>0.98<br>0.47<br>0.25<br>1.88<br>0.241<br>0.25<br>0.37<br>0.43<br>0.25<br>0.43<br>0.25<br>0.43<br>0.24<br>0.43<br>0.25<br>0.24<br>0.43<br>0.25<br>0.24<br>0.43<br>0.25<br>0.24<br>0.43<br>0.25<br>0.24<br>0.43<br>0.25<br>0.24<br>0.43<br>0.25<br>0.24<br>0.43<br>0.25<br>0.24<br>0.43<br>0.25<br>0.24<br>0.34<br>0.34<br>0.34<br>0.34<br>0.34<br>0.34<br>0.34<br>0.34<br>0.34<br>0.34<br>0.34<br>0.34<br>0.34<br>0.34<br>0.34<br>0.34<br>0.34<br>0.34<br>0.34<br>0.34<br>0.34<br>0.34<br>0.34<br>0.34<br>0.34<br>0.34<br>0.34<br>0.34<br>0.34<br>0.34<br>0.34<br>0.34<br>0.34<br>0.34<br>0.34<br>0.34<br>0.34<br>0.34<br>0.34<br>0.34<br>0.34<br>0.34<br>0.34<br>0.34<br>0.34<br>0.34<br>0.34<br>0.34<br>0.34<br>0.34<br>0.34<br>0.34<br>0.34<br>0.34<br>0.34<br>0.37<br>0.37<br>0.37<br>0.37<br>0.37<br>0.37<br>0.37<br>0.37<br>0.37<br>0.37<br>0.37<br>0.37<br>0.37<br>0.37<br>0.37<br>0.37<br>0.37<br>0.37<br>0.37<br>0.37<br>0.37<br>0.37<br>0.37<br>0.37<br>0.37<br>0.37<br>0.37<br>0.37<br>0.37<br>0.37<br>0.37<br>0.37<br>0.37<br>0.37<br>0.37<br>0.37<br>0.37<br>0.37<br>0.37<br>0.37                                                                                                                                                                                                                                                                                                                                                                                                                                                                                                                                                                                                                                                                                                                                                                                                                                                                                                                                                                                                                                                                                                                                                                                                                                                                                                                                                                                                                                                                                                                                                                                                 | 1.00 -2.0  1.34 +0.0  0.78 -0.0  6.85 -0.1  1.25 -0.0  21.00 -0.1  0.66 +0.0  1.99 -0.0  2.00 -0.2  2.45 -0.0  1.31 +0.0  0.75 -0.0  6.80 -0.1  1.33 +0.3  1.07 +0.1  1.10 +0.10  0.79 +0.0  1.00 +0.1  0.61 +0.2  0.48 +0.0  0.26 +0.0  1.90 +0.0  0.375 +0.0  0.375 +0.0  0.345 +0.0  0.345 +0.0  0.345 +0.0  0.345 +0.0  0.345 +0.0  0.345 +0.0  0.345 +0.0  0.345 +0.0  0.345 +0.0  0.345 +0.0  0.345 +0.0  0.345 +0.0  0.345 +0.0  0.345 +0.0  0.345 +0.0  0.345 +0.0  0.345 +0.0  0.345 +0.0  0.345 +0.0  0.345 +0.0  0.345 +0.0  0.345 +0.0  0.345 +0.0  0.345 +0.0  0.345 +0.0  0.345 +0.0  0.345 +0.0  0.345 +0.0  0.345 +0.0  0.345 +0.0  0.345 +0.0  0.345 +0.0  0.345 +0.0  0.345 +0.0  0.345 +0.0  0.345 +0.0  0.345 +0.0  0.345 +0.0  0.345 +0.0  0.345 +0.0  0.345 +0.0  0.345 +0.0  0.345 +0.0  0.345 +0.0  0.345 +0.0  0.345 +0.0  0.345 +0.0  0.345 +0.0  0.35 -0.0  0.35 -0.0  0.35 -0.0  0.35 -0.0  0.35 -0.0  0.35 -0.0  0.35 -0.0  0.35 -0.0  0.35 -0.0  0.35 -0.0  0.35 -0.0  0.35 -0.0  0.35 -0.0  0.35 -0.0  0.35 -0.0  0.35 -0.0  0.35 -0.0  0.35 -0.0  0.35 -0.0  0.35 -0.0  0.35 -0.0  0.35 -0.0  0.35 -0.0  0.35 -0.0  0.35 -0.0  0.35 -0.0  0.35 -0.0  0.35 -0.0  0.35 -0.0  0.35 -0.0  0.35 -0.0  0.35 -0.0  0.35 -0.0  0.35 -0.0  0.35 -0.0  0.35 -0.0  0.35 -0.0  0.35 -0.0  0.35 -0.0  0.35 -0.0  0.35 -0.0  0.35 -0.0  0.35 -0.0  0.35 -0.0  0.35 -0.0  0.35 -0.0  0.35 -0.0  0.35 -0.0  0.35 -0.0  0.35 -0.0  0.35 -0.0  0.35 -0.0  0.35 -0.0  0.35 -0.0  0.35 -0.0  0.35 -0.0  0.35 -0.0  0.35 -0.0                                                                                                                                                                                                                                                                                                                                                                                                                                                                                                                                                                                       | 23,817,000 30,000 30,000 4 2,582,445 4 3,726,206 5 1,003,188 5 2,330,800 0 1,500 1 463,607 1 1,560,372 5 385,000 5 991,120 0 120,100 3 720,000 5 538,000 6 700,000 5 130,000 6 76,000 2 82,000 1 805,164 13 626,000 1 805,164 13 626,000 1 805,164 13 626,000 1 805,164 13 626,000 1 805,164 13 626,000 1 805,164 13 626,000 1 805,164 13 626,000 1 805,164 13 626,000 1 805,164 13 626,000 1 80,000 1 80,000 1 80,000 1 80,000 1 80,000 1 80,000 1 80,000 1 2,330,665 2,283,749 1 2,360,000 1 2,360,000 1 2,360,000 1 2,360,000 1 2,376,000 1 2,376,000 1 2,376,000 1 2,376,000 1 2,376,000 1 2,376,000 1 2,376,000 1 3,279,000 1 3,279,000                                                                                                                                                                                                                                                                                                                                                                                                                                                                                                                                                                                                                                                                                                                                                                                                                                                                                                                                                                                                                                                                                                                                                                                                                                                                                                                                                                                                                                                                                                                                                                                                                                                                                                                                                                                                                                                                                                                                                                                                                                                                            |
| 36 36 34 1 3 20 1 3 3 3 3 3 3 3 3 3 3 3 3 3 3 3 3 3 3                                                                | 在                                                                                                                                                                                                                                                                                                                                                                                                                                                                                                                                                                                                                                                                                                                                                                                                                                                                                                                                                                                                                                                                                                                                                                                                                                                                                                                                                                                                                                                                                                                                                                                                                                                                                                                                                                                                                                                                                                                                                                                                                                                                                                                             | # 1                                                                                                                                                                                                                                                                                                                                                                                                                                                                                                                                                                                                                                                                                                                                                                                                                                                                                                                                                                                                                                                                                                                                                                                                                                                                                                                                                                                                                                                                                                                                                                                                                                                                                                                                                                                                                                                                                                                                                                                                                                                                                                                                                                                                                                                                                                                                                                                                                                                                                                                                                                                                                                                                                                                                  | 5 63876 1 00 1 00 1 0 1 00 2 8 4 78472 2 0 1 5549 3 2 1 01 2 1 4 2.94 2 3 4 00 4 1 00 4 1 1 00 1 4 4 0 1 1 1 00 1 4 4 0 1 1 1 00 1 4 4 0 1 1 1 00 2 3 2 0 8 3 1 00 2 3 1 00 2 50 1 00 2 50 1 00 2 50 1 00 2 50 1 00 2 50 1 00 2 50 1 00 2 50 1 00 2 50 1 00 2 50 1 00 2 50 1 00 2 50 1 00 2 75 1 00 0 66 1 00 1 50 1 50 2 75 1 00 0 66 1 00 1 50 1 00 2 75 1 00 0 66 1 00 2 75 1 00 0 66 1 00 1 60 1 500 2 00 1 00 1 500 2 00 1 00 1 500 1 500 2 00 1 00 2 75 1 00 0 66 1 00 1 65                                                                                                                                                                                                                                                                                                                                                                                                                                                                                                                                                                                                                                                                                                                                                                                                                                                                                                                                                                                                                                                                                                                                                                                                                                                                                                                                                                                                                                                                                                                                                                                                                                                                                                                                                                                                                                                                                                                                                                                                                                                                                                                                                                                                                                                                                                                                                                                                                                                                                                  | 1.40<br>1.40<br>0.92<br>7.20<br>1.34<br>7.20.80<br>7.20<br>1.34<br>7.20.80<br>7.20<br>1.34<br>7.20.80<br>7.20<br>1.32<br>0.84<br>6.60<br>6.90<br>1.35<br>1.06<br>1.10<br>0.49<br>0.29<br>7.25<br>0.31<br>0.25<br>0.31<br>0.25<br>0.31<br>0.25<br>0.31<br>0.25<br>0.31<br>0.25<br>0.31<br>0.25<br>0.31<br>0.25<br>0.31<br>0.25<br>0.31<br>0.25<br>0.31<br>0.25<br>0.31<br>0.25<br>0.31<br>0.35<br>0.30<br>0.39<br>0.40<br>1.30<br>0.30<br>0.30<br>0.30<br>0.30<br>0.30<br>0.30<br>0.30<br>0.30<br>0.30<br>0.30<br>0.30<br>0.30<br>0.30<br>0.30<br>0.30<br>0.30<br>0.30<br>0.30<br>0.30<br>0.30<br>0.30<br>0.30<br>0.30<br>0.30<br>0.30<br>0.30<br>0.30<br>0.30<br>0.30<br>0.30<br>0.30<br>0.30<br>0.30<br>0.30<br>0.30<br>0.30<br>0.30<br>0.30<br>0.30<br>0.30<br>0.30<br>0.30<br>0.30<br>0.30<br>0.30<br>0.30<br>0.30<br>0.30<br>0.30<br>0.30<br>0.30<br>0.30<br>0.30<br>0.30<br>0.30<br>0.30<br>0.30<br>0.30<br>0.30<br>0.30<br>0.30<br>0.30<br>0.30<br>0.30<br>0.30<br>0.30<br>0.30<br>0.30<br>0.30<br>0.30<br>0.30<br>0.30<br>0.30<br>0.30<br>0.30<br>0.30<br>0.30<br>0.30<br>0.30<br>0.30<br>0.30<br>0.30<br>0.30<br>0.30<br>0.30<br>0.30<br>0.30<br>0.30<br>0.30<br>0.30<br>0.30<br>0.30<br>0.30<br>0.30<br>0.30<br>0.30<br>0.30<br>0.30<br>0.30<br>0.30<br>0.30<br>0.30<br>0.30<br>0.30<br>0.30<br>0.30<br>0.30<br>0.30<br>0.30<br>0.30<br>0.30<br>0.30<br>0.30<br>0.30<br>0.30<br>0.30<br>0.30<br>0.30<br>0.30<br>0.30<br>0.30<br>0.30<br>0.30<br>0.30<br>0.30<br>0.30<br>0.30<br>0.30<br>0.30<br>0.30<br>0.30<br>0.30<br>0.30<br>0.30<br>0.30<br>0.30<br>0.30<br>0.30<br>0.30<br>0.30<br>0.30<br>0.30<br>0.30<br>0.30<br>0.30<br>0.30<br>0.30<br>0.30<br>0.30<br>0.30<br>0.30<br>0.30<br>0.30<br>0.30<br>0.30<br>0.30<br>0.30<br>0.30<br>0.30<br>0.30<br>0.30<br>0.30<br>0.30<br>0.30<br>0.30<br>0.30<br>0.30<br>0.30<br>0.30<br>0.30<br>0.30<br>0.30<br>0.30<br>0.30<br>0.30<br>0.30<br>0.30<br>0.30<br>0.30<br>0.30<br>0.30<br>0.30<br>0.30<br>0.30<br>0.30<br>0.30<br>0.30<br>0.30<br>0.30<br>0.30<br>0.30<br>0.30<br>0.30<br>0.30<br>0.30<br>0.30<br>0.30<br>0.30<br>0.30<br>0.30<br>0.30<br>0.30<br>0.30<br>0.30<br>0.30<br>0.30<br>0.30<br>0.30<br>0.30<br>0.30<br>0.30<br>0.30<br>0.30<br>0.30<br>0.30<br>0.30<br>0.30<br>0.30<br>0.30<br>0.30<br>0.30<br>0.30<br>0.30<br>0.30<br>0.30<br>0.30<br>0.30<br>0.30<br>0.30<br>0.30<br>0.30<br>0.30<br>0.30<br>0.30<br>0.30<br>0.30<br>0.30<br>0.30<br>0.30<br>0.30<br>0.30<br>0.30<br>0.30<br>0.30<br>0.30<br>0.30<br>0.30<br>0.30<br>0.30<br>0.30<br>0.30<br>0.30<br>0.30<br>0.30<br>0.30<br>0.30<br>0.30<br>0.30<br>0.30<br>0.30<br>0.30<br>0.30<br>0.30<br>0.30<br>0.30<br>0.30<br>0.30<br>0.30<br>0.30<br>0.30<br>0.30<br>0.30<br>0.30<br>0.30<br>0.30<br>0.30<br>0.30<br>0.30<br>0.30<br>0.30<br>0.30<br>0.30<br>0.30<br>0.30<br>0.30<br>0.30<br>0.30<br>0.30<br>0.3                                                                                                                                                                                                     | 1.00<br>1.30<br>0.77<br>6.80<br>1.23<br>20.80<br>0.66<br>1.96<br>2.00<br>2.40<br>1.30<br>0.74<br>6.40<br>6.70<br>1.20<br>0.95<br>1.01<br>0.98<br>0.43<br>0.47<br>0.25<br>1.88<br>0.241<br>0.23<br>0.37<br>0.25<br>0.37<br>0.34<br>1.48<br>0.24<br>0.24<br>0.24<br>0.24<br>0.24<br>0.24<br>0.24<br>0.24                                                                                                                                                                                                                                                                                                                                                                                                                                                                                                                                                                                                                                                                                                                                                                                                                                                                                                                                                                                                                                                                                                                                                                                                                                                                                                                                                                                                                                                                                                                                                                                                                                                                                                                                                                                                                                                                                                                                                                                                                                                                                                                                                                                                                                                                                                                                                                                                                                                                                                                                 | 1.00 -2.0 1.34 +0.0 0.78 -0.0 6.85 -0.1 1.25 -0.0 21.00 -0.1 0.66 +0.0 1.99 -0.0 2.00 -0.2 2.45 -0.0 6.40 -0.1 6.80 -0.1 1.33 +0.3 1.07 +0.1 1.10 +0.10 0.79 +0.0 1.00 +0.1 0.61 +0.2 0.48 +0.0 0.26 +0.0 0.26 +0.0 0.375 +0.0 0.375 +0.0 0.445 -0.0 0.174 +0.04 0.25 -0.03 0.245 +0.02 0.43 -0.02 0.43 -0.02 0.445 -0.00 0.174 +0.04 0.25 -0.03 0.245 +0.02 0.345 +0.02 0.345 +0.02 0.345 +0.02 0.345 +0.02 0.345 +0.02 0.345 +0.03 0.245 +0.02 0.345 +0.03 0.245 +0.03 0.245 +0.03 0.245 +0.03 0.245 +0.03 0.245 +0.03 0.245 +0.03 0.245 +0.03 0.245 +0.03 0.245 +0.03 0.245 +0.03 0.245 +0.03 0.245 +0.03 0.245 +0.03 0.245 +0.03 0.245 +0.03 0.245 +0.03 0.245 +0.03 0.245 +0.03 0.245 +0.03 0.245 +0.03 0.245 +0.03 0.245 +0.03 0.245 +0.03 0.245 +0.03                                                                                                                                                                                                                                                                                                                                                                                                                                                                                                                                                                                                                                                                                                                                                                                                                                                                                                                                                                                                                                                                                                                                                                                                                                                                                                                                                                   | 23,817,000 3,324,000 30,000 4 2,582,445 4 3,726,206 5 1,003,188 15 2,330,800 0 1,500 1463,607 11,560,372 13,85,000 15 256,000 120,100 3 720,000 5 388,000 6 700,000 120,100 3 720,000 120,000 120,000 120,000 120,000 120,000 120,000 130,000 130,000 130,000 135,164 13 626,000 1349,000 135,164 13 626,000 135,264,000 136,000 137,264,000 1380,000 1380,000 1380,000 1380,000 1380,000 1380,000 1380,000 1380,000 1380,000 1380,000 1380,000 1380,000 1380,000 1380,000 1380,000 1380,000 1380,000 1380,000 1380,000 1380,000 1380,000 1380,000 1380,000 1380,000 1380,000 1380,000 1380,000 1380,000 1380,000 1380,000 1380,000 1380,000 1380,000 1380,000 1380,000 1380,000 1380,000 1380,000 1380,000                                                                                                                                                                                                                                                                                                                                                                                                                                                                                                                                                                                                                                                                                                                                                                                                                                                                                                                                                                                                                                                                                                                                                                                                                                                                                                                                                                                                                                                                                                                                                                                                                                                                                                                                                                                                                                                                                                                                                                                                             |
| 36 36 37 37 37 37 37 37 37 37 37 37 37 37 37                                                                         | 在                                                                                                                                                                                                                                                                                                                                                                                                                                                                                                                                                                                                                                                                                                                                                                                                                                                                                                                                                                                                                                                                                                                                                                                                                                                                                                                                                                                                                                                                                                                                                                                                                                                                                                                                                                                                                                                                                                                                                                                                                                                                                                                             | # 87 - 9 94                                                                                                                                                                                                                                                                                                                                                                                                                                                                                                                                                                                                                                                                                                                                                                                                                                                                                                                                                                                                                                                                                                                                                                                                                                                                                                                                                                                                                                                                                                                                                                                                                                                                                                                                                                                                                                                                                                                                                                                                                                                                                                                                                                                                                                                                                                                                                                                                                                                                                                                                                                                                                                                                                                                          | 5 63876 1 0 1 0 1 0 1 0 1 0 1 0 1 0 1 0 1 0 1                                                                                                                                                                                                                                                                                                                                                                                                                                                                                                                                                                                                                                                                                                                                                                                                                                                                                                                                                                                                                                                                                                                                                                                                                                                                                                                                                                                                                                                                                                                                                                                                                                                                                                                                                                                                                                                                                                                                                                                                                                                                                                                                                                                                                                                                                                                                                                                                                                                                                                                                                                                                                                                                                                                                                                                                                                                                                                                                      | 76.2 1.00<br>1.40<br>0.92<br>7.20<br>6 1.34<br>7.20.80<br>7.20<br>9 7.20<br>1.34<br>7.20.80<br>9 7.20<br>9 7.2 | 1.00<br>1.30<br>0.77<br>6.80<br>1.23<br>20.80<br>0.66<br>1.96<br>2.00<br>2.40<br>1.30<br>0.74<br>6.40<br>6.70<br>1.20<br>0.95<br>1.01<br>0.98<br>0.43<br>0.47<br>0.25<br>1.88<br>0.241<br>0.23<br>0.244<br>0.34<br>0.24<br>0.24<br>0.24<br>0.24<br>0.24<br>0.24<br>0.24<br>0.2                                                                                                                                                                                                                                                                                                                                                                                                                                                                                                                                                                                                                                                                                                                                                                                                                                                                                                                                                                                                                                                                                                                                                                                                                                                                                                                                                                                                                                                                                                                                                                                                                                                                                                                                                                                                                                                                                                                                                                                                                                                                                                                                                                                                                                                                                                                                                                                                                                                                                                                                                         | 1.00 -2.0 1.34 +0.0 0.78 -0.0 1.25 -0.0 21.00 -0.1 0.66 +0.0 1.99 -0.0 2.00 -0.2 2.45 -0.0 1.31 +0.0 0.75 -0.0 6.40 -0.1 6.80 -0.1 1.33 +0.3 1.07 +0.1 1.10 +0.1 0.79 +0.0 1.00 +0.1 0.61 +0.2 0.48 +0.0 0.26 +0.0 0.26 +0.0 0.375 +0.0 0.375 +0.0 0.375 +0.0 0.375 +0.0 0.375 +0.0 0.375 +0.0 0.375 +0.0 0.375 +0.0 0.375 +0.0 0.375 +0.0 0.375 +0.0 0.375 +0.0 0.375 +0.0 0.375 +0.0 0.375 +0.0 0.375 +0.0 0.375 +0.0 0.375 +0.0 0.375 +0.0 0.375 +0.0 0.375 +0.0 0.375 +0.0 0.375 +0.0 0.375 +0.0 0.375 +0.0 0.375 +0.0 0.375 +0.0 0.375 +0.0 0.375 +0.0 0.375 +0.0 0.375 +0.0 0.375 +0.0 0.375 +0.0 0.375 +0.0 0.375 +0.0 0.375 +0.0 0.375 +0.0 0.375 +0.0 0.375 +0.0 0.375 +0.0 0.375 +0.0 0.375 +0.0 0.375 +0.0 0.375 +0.0 0.375 +0.0 0.375 +0.0 0.375 +0.0 0.375 +0.0 0.375 +0.0 0.375 +0.0 0.375 +0.0 0.375 +0.0 0.375 +0.0 0.375 +0.0 0.375 +0.0 0.375 +0.0 0.375 +0.0 0.375 +0.0 0.375 +0.0 0.375 +0.0 0.375 +0.0 0.375 +0.0 0.375 +0.0 0.375 +0.0 0.375 +0.0 0.375 +0.0 0.375 +0.0 0.375 +0.0 0.375 +0.0 0.375 +0.0 0.375 +0.0 0.375 +0.0 0.375 +0.0 0.375 +0.0 0.375 +0.0 0.375 +0.0 0.375 +0.0 0.375 +0.0 0.375 +0.0 0.375 +0.0 0.375 +0.0 0.375 +0.0 0.375 +0.0 0.375 +0.0 0.375 +0.0 0.375 +0.0 0.375 +0.0 0.375 +0.0 0.375 +0.0 0.375 +0.0 0.375 +0.0 0.375 +0.0 0.375 +0.0 0.375 +0.0 0.375 +0.0 0.375 +0.0 0.375 +0.0 0.375 +0.0 0.375 +0.0 0.375 +0.0 0.375 +0.0 0.375 +0.0 0.375 +0.0 0.375 +0.0 0.375 +0.0 0.375 +0.0 0.375 +0.0 0.375 +0.0 0.375 +0.0 0.375 +0.0 0.375 +0.0 0.375 +0.0 0.375 +0.0 0.375 +0.0 0.375 +0.0 0.375 +0.0 0.375 +0.0 0.375 +0.0 0.375 +0.0 0.375 +0.0 0.375 +0.0 0.375 +0.0 0.375 +0.0 0.375 +0.0 0.375 +0.0 0.375 +0.0 0.375 +0.0 0.375 +0.0 0.375 +0.0 0.375 +0.0 0.375 +0.0 0.375 +0.0 0.375 +0.0 0.375 +0.0 0.375 +0.0 0.375 +0.0 0.375 +0.0 0.375 +0.0 0.375 +0.0 0.375 +0.0 0.375 +0.0 0.375 +0.0 0.375 +0.0 0.375 +0.0 0.375 +0.0 0.375 +0.0 0.375 +0.0 0.375 +0.0 0.375 +0.0 0.375 +0.0 0.375 +0.0 0.375 +0.0 0.375 +0.0 0.375 +0.0 0.375 +0.0 0.375 +0.0 0.375 +0.0 0.375 +0.0 0.375 +0.0 0.375 +0.0 0.375 +0.0 0.375 +0.0 0.375 +0.0 0.375 +0.0 0.375 +0.0 0.375 +0.  | 23,817,000 3,324,000 30,000 4 2,582,445 4 3,726,206 5 1,003,188 5 2,330,800 0 1,500 463,607 11,560,372 15 385,000 1257,000 120,100 3 720,000 5 338,000 6 700,000 120,100 3 720,000 120,000 120,100 22,100 0 120,000 282,000 115,000 276,000 282,000 115,000 282,000 115,000 282,000 115,000 282,000 115,000 282,000 115,000 282,000 115,000 282,000 115,000 282,000 115,000 282,000 115,000 293,000 115,000 293,000 115,000 293,000 115,000 293,000 116,000 293,000 116,000 116,000 116,000 116,000 116,000 116,000 116,000 116,000 116,000 116,000 116,000 116,000 116,000 116,000 116,000 116,000 116,000 116,000                                                                                                                                                                                                                                                                                                                                                                                                                                                                                                                                                                                                                                                                                                                                                                                                                                                                                                                                                                                                                                                                                                                                                                                                                                                                                                                                                                                                                                                                                                                                                                                                                                                                                                                                                                                                                                                                                                                                                                                                                                                                                                     |
| 2. 2. 2. 2. 2. 2. 2. 2. 2. 2. 2. 2. 2. 2                                                                             | 自由 10 10 10 10 10 10 10 10 10 10 10 10 10                                                                                                                                                                                                                                                                                                                                                                                                                                                                                                                                                                                                                                                                                                                                                                                                                                                                                                                                                                                                                                                                                                                                                                                                                                                                                                                                                                                                                                                                                                                                                                                                                                                                                                                                                                                                                                                                                                                                                                                                                                                                                     | # 87 - 9 94 - 7 9 7 - 12 88 - 4 87 - 12 88 - 3 9 9 9 9 9 9 9 9 9 9 9 9 9 9 9 9 9 9                                                                                                                                                                                                                                                                                                                                                                                                                                                                                                                                                                                                                                                                                                                                                                                                                                                                                                                                                                                                                                                                                                                                                                                                                                                                                                                                                                                                                                                                                                                                                                                                                                                                                                                                                                                                                                                                                                                                                                                                                                                                                                                                                                                                                                                                                                                                                                                                                                                                                                                                                                                                                                                   | 5 63876 1 0<br>1 00 1 0<br>1 00 2 8<br>4 78472 2 0<br>1 5549 3 2<br>1 30 2 3<br>4 00 4<br>1 00 4 1<br>1 00 4 1<br>1 00 4 1<br>1 00 2 3<br>2 01 1 4<br>4 0 1 2<br>1 00 2 3<br>1 00 2 50<br>1 00 2 75<br>1 00 3 00<br>1 00 2 75<br>1 00 2 75<br>1 00 3 00<br>1 00 5 00<br>1 00 5 00<br>1 00 5 00<br>1 00 6 6<br>1 00 75<br>1 00 9 56<br>1 00 9 56<br>1 00 9 56<br>1 00 9 56                                                                                                                                                                                                                                                                                                                                                                                                                                                                                                                                                                                                                                                                                                                                                                                                                                                                                                                                                                                                                                                                                                                                                                                                                                                                                                                                                                                                                                                                                                                                                                                                                                                                                                                                                                                                                                                                                                                                                                                                                                                                                                                                                                                                                                                                     | 1.00                                                                                                                                                                                                                                                                                                                                                                                                                                                                                                                                                                                                                                                                                                                                                                                                                                                                                                                                                                                                                                                                                                                                                                                                                                                                                                                                                                                                                                                                                                                                                                                                                                                                                                                                                                                                                                                                                                                                                                                                                                                                                                                                                                                                                                                                                                                                                                                                                                                                                                                                                                                                                                                                                                                                                                                                                                                                                                                                                                                                                                     | 1.00<br>1.30<br>0.77<br>6.80<br>1.23<br>20.80<br>0.66<br>1.96<br>2.00<br>2.40<br>1.30<br>0.74<br>6.40<br>6.70<br>1.20<br>0.95<br>1.01<br>0.98<br>0.43<br>0.47<br>0.25<br>1.88<br>0.241<br>0.25<br>0.241<br>0.25<br>0.244<br>0.34<br>0.24<br>0.24<br>0.24<br>0.24<br>0.24<br>0.24<br>0.24<br>0.2                                                                                                                                                                                                                                                                                                                                                                                                                                                                                                                                                                                                                                                                                                                                                                                                                                                                                                                                                                                                                                                                                                                                                                                                                                                                                                                                                                                                                                                                                                                                                                                                                                                                                                                                                                                                                                                                                                                                                                                                                                                                                                                                                                                                                                                                                                                                                                                                                                                                                                                                        | 1.00 -2.0 1.34 +0.0 0.78 -0.0 1.25 -0.0 21.00 -0.1 0.66 +0.0 1.99 -0.0 2.00 -0.2 2.45 -0.0 0.75 -0.0 6.40 -0.1 6.80 -0.1 1.33 +0.3 1.07 +0.1 1.10 +0.10 0.79 +0.0 1.00 +0.1 0.61 +0.2 0.48 +0.0 0.26 +0.0 0.248 +0.0 0.26 +0.0 0.30 +0.0 0.30 +0.0 0.30 +0.0 0.30 +0.0 0.30 +0.0 0.30 +0.0 0.249 +0.0 0.345 +0.0 0.249 +0.0 0.35 +0.0 0.345 +0.0 0.345 +0.0 0.345 +0.0 0.345 +0.0 0.345 +0.0 0.345 +0.0 0.345 +0.0 0.345 +0.0 0.345 +0.0 0.345 +0.0 0.345 +0.0 0.345 +0.0 0.345 +0.0 0.345 +0.0 0.345 +0.0 0.345 +0.0 0.345 +0.0 0.345 +0.0 0.345 +0.0 0.345 +0.0 0.345 +0.0 0.345 +0.0 0.345 +0.0 0.345 +0.0 0.345 +0.0 0.345 +0.0 0.345 +0.0 0.345 +0.0 0.345 +0.0 0.345 +0.0 0.345 +0.0 0.345 +0.0 0.345 +0.0 0.345 +0.0 0.345 +0.0 0.345 +0.0 0.345 +0.0 0.345 +0.0 0.345 +0.0 0.345 +0.0 0.345 +0.0 0.345 +0.0 0.345 +0.0 0.345 +0.0 0.345 +0.0 0.345 +0.0 0.345 +0.0 0.345 +0.0 0.345 +0.0 0.345 +0.0 0.345 +0.0 0.345 +0.0 0.345 +0.0 0.345 +0.0 0.345 +0.0 0.345 +0.0 0.345 +0.0 0.345 +0.0 0.345 +0.0 0.345 +0.0 0.345 +0.0 0.345 +0.0 0.345 +0.0 0.345 +0.0 0.345 +0.0 0.345 +0.0 0.345 +0.0 0.345 +0.0 0.345 +0.0 0.345 +0.0 0.345 +0.0 0.345 +0.0 0.345 +0.0 0.345 +0.0 0.345 +0.0 0.345 +0.0 0.345 +0.0 0.345 +0.0 0.345 +0.0 0.345 +0.0 0.345 +0.0 0.345 +0.0 0.345 +0.0 0.345 +0.0 0.345 +0.0 0.345 +0.0 0.345 +0.0 0.345 +0.0 0.345 +0.0 0.345 +0.0 0.345 +0.0 0.345 +0.0 0.345 +0.0 0.345 +0.0 0.345 +0.0 0.345 +0.0 0.345 +0.0 0.345 +0.0 0.345 +0.0 0.345 +0.0 0.345 +0.0 0.345 +0.0 0.345 +0.0 0.345 +0.0 0.345 +0.0 0.345 +0.0 0.345 +0.0 0.345 +0.0 0.345 +0.0 0.345 +0.0 0.345 +0.0 0.345 +0.0 0.345 +0.0 0.345 +0.0 0.345 +0.0 0.345 +0.0 0.345 +0.0 0.345 +0.0 0.345 +0.0 0.345 +0.0 0.345 +0.0 0.345 +0.0 0.345 +0.0 0.345 +0.0 0.345 +0.0 0.345 +0.0 0.345 +0.0 0.345 +0.0 0.345 +0.0 0.345 +0.0 0.345 +0.0 0.345 +0.0 0.345 +0.0 0.345 +0.0 0.345 +0.0 0.345 +0.0 0.345 +0.0 0.345 +0.0 0.345 +0.0 0.345 +0.0 0.345 +0.0 0.345 +0.0 0.345 +0.0 0.345 +0.0 0.345 +0.0 0.345 +0.0 0.345 +0.0 0.345 +0.0 0.345 +0.0 0.345 +0.0 0.345 +0.0 0.345 +0.0 0.345 +0.0 0.345 +0.0 0.345 +0.0 0.345 +0.0 0.3  | 23,817,000 3,324,000 30,000 4 2,582,445 4 3,726,206 5 1,003,188 5 2,330,800 0 1,500 1,500 1,500 1,560,372 5 385,000 1,500 1,500,000 1,500 1,500 1,500 1,500 1,500 1,500 1,500 1,500 1,500 1,500 1,500 1,500 1,500 1,500 1,500 1,500 1,500 1,500 1,500 1,500 1,500 1,500 1,500 1,500 1,500 1,500 1,500 1,500 1,500 1,500 1,500 1,500 1,500 1,500 1,500 1,500 1,500 1,500 1,500 1,500 1,500 1,500 1,500 1,500 1,500 1,500 1,500 1,500 1,500 1,500 1,500 1,500 1,500 1,500 1,500 1,500 1,500 1,500 1,500 1,500 1,500 1,500 1,500 1,500 1,500 1,500 1,500 1,500 1,500 1,500 1,500 1,500 1,500 1,500 1,500 1,500 1,500 1,500 1,500 1,500 1,500 1,500 1,500 1,500 1,500 1,500 1,500 1,500 1,500 1,500 1,500 1,500 1,500 1,500 1,500 1,500 1,500 1,500 1,500 1,500 1,500 1,500 1,500 1,500 1,500 1,500 1,500 1,500 1,500 1,500 1,500 1,500 1,500 1,500 1,500 1,500 1,500 1,500 1,500 1,500 1,500 1,500 1,500 1,500 1,500 1,500 1,500 1,500 1,500 1,500 1,500 1,500 1,500 1,500 1,500 1,500 1,500 1,500 1,500 1,500 1,500 1,500 1,500 1,500 1,500 1,500 1,500 1,500 1,500 1,500 1,500 1,500 1,500 1,500 1,500 1,500 1,500 1,500 1,500                                                                                                                                                                                                                                                                                                                                                                                                                                                                                                                                                                                                                                                                                                                                                                                                                                                                                                                                                                                                                                                                                                                                                                                                                                                                                                                                                                                                                                                                                                                                                                                           |



高。 一千五百零二萬平方 一千五百零二萬平方 一千五百零二萬平方 一千五百零二萬平方

向全世界買家展示產品 我們每年都在本港及海外學辦和參與超過100項貿易拓展

公司資料便即時編入電腦資料庫,海外買家就可隨時通過我們的 你又可透過我們的電腦化貿易諮詢服務,索取按市場及產品 ·分類編撰的海外買家名單。

讓產品進入合適市場

我們還負責調查本港產品在海外市場的銷售潛力,每月出版

的「海外市場簡訊」, 載有詳盡的貿易資料, 報導香港產品的發展機會. 此外,貿易發展局更對特定的海外市場及多種產品進行深入的調查研究. 如果你遠赴海外處理業務,我們設在世界各地23個城市的辦事處, 更可寫你提供資料及介紹生意.

如欲進一步瞭解我們所提供的免費服務, 請即填妥下面回條寄回

本公司欲索取「香港貿易發展局服務指南」(爲方便電腦處理,請以英文填寫), 請寄回香港港科道23號鷹君中心 三十一樓香港貿易發展局工商

香港港灣道23號鷹君中心三十一樓 電話:5-8334333 電訊掛號:73595 CONHK HX 圖文傳眞:5-730249 各地辦事處:阿姆斯特丹・法蘭克福・漢堡・倫敦・巴黎・米蘭・斯德哥爾摩・維也納・蘇黎世・芝加哥・達拉斯・洛杉磯・紐約・多倫多・巴拿馬・雪梨・東京・大阪・巴薩隆納・杜拜・北京・上海・雅典

聯絡組

032 香港隧道 003 中基煤泵 006 港塩集團 008 電話公司 062 九龍巴士 050 油 就地

038 第一太平實業 2.725 2.80 5.70 5.70 12.50 12.60 12.70

2.525 2.60

341 大 家 樂 206 國泰城市 037 遠東酒店 039 富麗華酒店 051 海港企業 045 大酒店200 163 國際酒樓 422 文 華 東 方 071 楽 麗 華 064 新世界/酒店 223 百樂酒店 078 富豪酒店

235 紅 寶 石 479 海港企業(舊) 476 大酒店50 293 國泰航空 029 中華造船 117 萬邦航業 201 明仁企業 217 海南發展 332 東方海外 237 安全 倉 242 信德企業

095 苯光航葵 474 信機企業(舊) 009 香港電視 343 玉郎機構 233 星島集團 036 亞州電視(除心)

018 東方報業

058 和黃債券93 177 百利建(牛)債券? 354 百利達(馬)債券92 425 百利達(牛熊)債券92

011 恒生銀行 005 萬豐銀行 183 嘉華銀行 349 发聯銀行 096 永降銀行 021 聯合企業 103 亞洲保險 106 CRUSADER 053 道亨集團 129 財務地產 342 FAI保險

170 工業投資 208 怡和策略 376 以膀證券 174 首利大國際

086 新 鴻 基 258 永盛財務 261 森地財務

265 億利投資 C28 天安中國

002 中華電力 026 中華巴士

367 莊士機構 353 牛奶國際

013 和記黃埔 175 志王國際 0)5 怡和控股

249 森 那 英 253 配施投資 019 太 古 A

004 九 龍 倉

286 衛 利 行

290 永安集團 100 仁 学 行 441 寶隆洋行

0.355 0.37 3.20 3.10 2.00 2.05 1.40 1.42 1.42

5.40 5.45 5.65

5.40 5.45 5.50 (暫停買賣) 3.90 4.00 4.00 ,(暫停買賣)

3.30 3.325 3.70 3.30 3.50 9.45 9.50 9.50 1.20 1.22 1.26 2.20 1.36 1.42

1,42 1,44 1,51

8.00 30/ 6-31/12 19 9 00 31/3-30/9 4 00 7/8-31/1 10,00 7/8-31/1 7 00 7/8-31/1 19 白發展

月

東京股市先揚後挫

-季出版

了分為白

的電話

多樣化

銷,幫

難以相

位及各

,都能

業務範

帶來更

-669888

久祖八夏…38162

38167

⋯ 各前路…40894

和平路45…38362

덕 : (왕3 4 --- 23887

23890

人民 : 胰路36---25906

船名 穆拖集駁

穗拖集駁

A VESSEL

稳拖集胶 2

**端外質體制改革、尤其是間外質體制改革、財政、金融等間改革的步伐和進程,對的一個政革的步伐和進程,對的工事實際的是,然的一個政革的步伐和進程,對於政革的步伐和進程,然的一個政革的步伐和進程,然的一個政革的步伐和進程,然的一個政革的步伐和進程,然的一個政革的步伐和進程,然的一個政事,這些產品又多是製品的配套。** 

有關

船名

船名 TBN

船名 S.C.

L.J.

L.J.

厦水運20號

輕工業部部

70

投資與貿易

與珠海經濟特區長海船務公司合作經營 香港⇄珠海⇄世界各地 逢星期三、六開行

香港⇄蛇口、廣州、黃埔、瀾石、 中山、肇慶、太平、容奇、江門、海口、 三亞、湛江、汕頭、厦門、福州、上海 逢星期二、四、六開行 轉口貨、散貨、及貨箱

★可安排專船接運大宗貨物 德輔道中272 284號與業商業中心1603室 電話 5-8151812 5-440307 Telex: 85913 SNAMN HX Fax No.: 5-422349

GUANGDONG TRANSPORT LTD. 地址:香港干諾道西一至三號億利商業大厦廿一樓 電話:5-8153398 自備有駁船隊及車隊承接大宗貨運

10/11

16/11

22/11

28/11

照<u>航</u> 7/11 16/11 29/11

逢二、四日雕港

香港≒廣東省各口岸海陸運輸服務

廣州、黃浦、肇慶、九江、瀾石、江門、石岐、小欖、容奇、市橋、

新塘、太平、珠海、蛇口、汕頭、湛江、海口、大亞灣(核電廠)。 貨櫃運輸

新風(前進)11月5,12,19,26 日開船 東風、漕口(粤海154)——隔天一班 整座( 慶運 1 號·中土出7、8號、糧油9號 )每天一班 江門 黃埔 ——每星期三班·天天收货

SINO EXPRESS LINE

收貨期 8/11

26/11

收貨期

2/11

15/11

28/11

**乘收來往廈門散裝貨** 

香港來往廣州貨櫃航線

棄收來往珠江三角洲地區散裝貨

**香港往來上海貨櫃航線** 

接受LCL及FCL定载

若船期有所更改 請與代理聯絡

香港來往汕頭定期散設班幅

110187

110287

廣州 新風·芳村——每五天一班 — 每三天一班 佛山 瀾石(瀾石]號至8號)隔天一班 海口---(華昌輪)每星期一班

電話:0-218121

粤海運輸有限公司

提供大小貨車、貨糧車、吊機車行走中國各地・ 並自備有大型堆場,辦理貨物存倉、中轉、保險、報關等業務。

COS香港珠江貨運有限公司

CHU KONG TRANSPORTATION (H. K.) LTD.

香港二湛江集裝箱定期班航線(每月兩班)

承接散货入箱,集聚箱中轉業務 湛江代理:中國外輪代理公司湛江分公司 電話:22914 電傳:45234 PNVCZ 電掛: PENAVICO ZHANJIANG

兼收數貨及重型機械設備 稻名:粤江1020香港開發月逢三日、十八日。湛江開發月逢十一日、廿六日。

並提供以下服務 一、赦货及集装箱運輸:香港。"廣州、黃埔、湛江、海口、 **盛慶、中山、珠海、太平等廣東省各口岸** 

三、港內大船過水業務:承接香港各大船公司貨物過水中 輔至廣東省各口岸。

港中轉世界各地運輸業務。 地址:香港中環干諾道西28號威勝商業大厦七樓 810-812 室 Rm 610-612, 6/F., Wayson Commercial Bldg., 28 Connaught Road, W., H.K.,

本公司新增設

香港收货站:青衣岛聯合船坞内71地段 湛江靠泊碼頭:湛江港務管理局碼頭。

四、代辦中轉業務:辦理廣東省各口學數質及集裝箱經香

THAT OVERSLAS LINE THAT NATIONAL LINE 泰國海外航綫

香港定期川航曼谷全貨櫃服務 ( 兼收散貨 )

泰面國家航線 抵港 日期 截貨日期 船賽 CFS/CY 泰國琥珀 20/11 21/11

THAI AMBER 70/S

THAI TUBTIM 09/S

香港定期川航椰加達・泅水 全貨櫃服務(兼收散貨)

OOCL 東方海外貨櫃吨程

KARANA LINE

嘉倫納航運

截貨日期 抵港日期 船隻 CFS/CY 娣 21/11 22/11 RATIH 72/S

23/11 泰國紅費 25/11 26/11 27/11 中華瑞祥 4/12 6/12 6/12 RR. RATNA 89/S

(截貨時間: CFS下午九時 CY下午五時正) 總代理《香港郵船有限公司 OOCL (HK) LTD ( 香港辦事處業香港高士打道39號夏懿大厦24隻電話時間 九龍嶺中處《廣東道海洋中心1313室》電話《3-66023次 澳門代理《永信洋行》電話:89563 86972 553382 553384

23-27/11 27/11-1/12

香港⇄黃埔⇄廣州

華閩船務企業有限公司

香港

「福州貨箱/散貨班輪

香港与廈門貨箱/散貨班輪

"XIA SHUI YUN22"

"YU ZHI 2"

香港与泉州散貨班輪

"MIN HAI230"

"MIN HAI224"

雛港

28/11

27/11

亚 倉底存貨

3865778

逢一、十一、廿一 閩海105 蓬六、十六、廿六 北峯山(貨櫃)毎旬一航次

逢星期五 圖海225 逢五、十五、廿五

石(媽(東山、下泰) 逢農曆初六、二十 上海(張家港、南通、寧波、溫州)

大宗貨物《可特別安排專船接運会》 有貨物到中國其他占海口岸●歡迎垂詢。

寶發海運(中國)有限公司

PERFECT SEAFREIGHT (H.K.) LTD,

PERFECT SEAFREIGHT (CHINA) CO LTD.

兼收下列中國港口:

天津/新港、珠海、江門。

【全貨櫃及全散裝服務往/來

**逢星期三收貨** 歐洲、美國東西岸、澳洲及東南亞轉日

運輸由歐洲至中國各地。

TEL: 03/234 57 11 TELEN: /11736 TRAIN B

MANILA - PERFECT SEAFREIGHT (PHILIPPINES) INC.

TELEX: 45086 PESEA PM

海口/湛江、厦門、上海、蛇口、

至中國各地。另可安排散貨及重型機械

開航日期 福州 閩海120 厦水運25 逢星期一 夏門育志2號 逢星期三 泉州岛海224泉州2號

逢十、二十、三十

每月二航次

23/11 25/11 27/11 28/11 25/11 22-28/11

散貨班輪 散貨班輪 散货班輪

全貨箱班輪

TEL:5-437393(6線) TELEX:66604 EPFCL HX

散貨班輪 25/11 散貨班輪 30/11 "QUAN ZHOU 2" 貨運代理 恒閩貨運有限公司

FAX: 5-8153559 △ 兼承接中國其他港口貨鐵,如有大宗貨鐵可安排專船接運。 △ 並為客户安排裝、拆貨箱、拖車等運輸業務。

香港惠興運輸公司 WAI HING TRANSPORTATION CO.

...香港÷→廣州市及廣東省各地貨運業務。·代客報關,直達收貨人地址,門到門服務。 《跨省長途運輸新服務》 香港◆→→南京市定期陸路貨運,毎月造五、 十、十五、二十、二十五、卅日。由香港啓 運。自備散貨處理場。擁有大小貨車、貨棚 車隊,承接散貨入箱、集裝箱中轉業務,爲 各界提供安全、快捷貨運服務,收費合理 歡迎各界人士和中外合資公司惠顧。敬請電

話聯繫・隨即派人上門服務 地址:新界屯門靑揚街宏昌工業大廈穴樓 D 電話:0-846689 0-847080 0-845033 0-845035 地址:深圳市文錦波沿河路惠興運輸報蘭組 地址:廣州市華樂路32號龍苑順配903室

電話:773583-903 : . 南京聯絡處:江蘇省南京市建率路100號

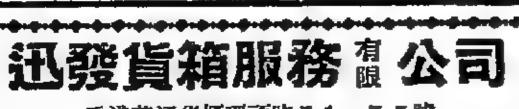
括: 652543 651324

明興貨箱運輸有限公司

MING HING CONTAINER TRANSPORTATION CO., LTD. 承運來往香港至廣州及廣東省各 地陸路運輸,直達收貨人地址, 代客報關於並備有貨櫃車及各噸 位貨車運輸服務。

香港聯絡處:九龍彌數通589號 廣東省銀行大厦301-2室 香港聯絡電話:3-841138、3-841105-6 深圳聯絡電話:39788 廣州聯絡電話:774835

佛山縣格處 :佛山市運輸聯合公司 (佛山市南堤路22號) 佛山聯絡電話: 86204 85514 86159



集裝箱陸路運輸 中轉全國各地

香港代理處 華 遠 公 司

廣東省分公司 廣州市沙面大街三十五號 電話:861215 861665

香港葵涌貨櫃碼頭路71-75號

逢星期六開

鐘意恒勝中心12字樓1205室 電話 \* 0-243492 0-243362 0-243496 來往香港二廣東

並附有拖運危險品牌照之車輛和大型吊車服務 設有散貨服務逢星期三開往廣州

香港灣仔港灣道26號華潤大厦高座10字樓 電話:5-8984781 5-8318134 5-8318111(160線) 馆掛: 9344 HY COMP HK 館牌: 61231 HY COP HK 廣州代理處:中國對外貿易運輸公司

\*\*\*\*\*\*\*\*\*\*\*\*\*\*\*\*

電傳: 44464 CGTRS CN

二、碼頭裝卸:處理所屬船舶之裝卸業務。

電傳 Cable: CKTRANS 電話 Tel: 5-8591533 酮文傳媒 Fax: 5-462985 電掛 Telex: 82699 CKTHL HX

收貨站CFS。刊豐倉庫有限公司一九龍島貨運中心。 CY: 葵涌國際貨箱碼頭第四域(高電源4...)

粤港1,234號每日開出 另大宗貨可作特别安排並附有陸路運輸 程/來中國各地 厦水運 收貨站:青衣島72地段友聯船廠 香港干諾道西148號成基商業中心2601-2字 | 電話: 5-460822(4線) 5-591033(4線) BRANCH OFFICE EUROPE - PERFECT STATHEIGHT (CHINA) N.V., ANTWERP

定期全貨櫃及散貨服務往/來

泰國成衣出口增

場人上在翹首等待上 場人上在翹首等待上 原開市報一三五·一 京開市報一三五·一 京開市報一三五·一 文元本周四在東 文元本周四在東 文元本周四在東 文元本周四在東

創高紀錄

的十元月票狀六八。份有態

紐元稍跌澳元穩

萬男子戴假髮

台

13 59 15

·

率達六年

低點

金 貨市場

員

早

問

提建議

設金融期貨市場 解決上述分歧,並開 與一個可以與倫敦和 設一個可以與倫敦和 設一個可以與倫敦和 再受拋售低

· 六七美元。 倫敦白銀價格周四上午報每安士七九〇美元,低於香港收市價。 - 六七美元。

下午定盤四六五美 歐金價保持平穩

的综合期貨交易。東京股 與期貨交易。東京股 與期貨交易。東京股 與期貨交易。東京股 與期貨交易。東京股 與期貨交易。東京股 與期貨交易。東京股 與期貨交易。東京股 與期貨交易。東京股

萬眾期待的·

,當地利率低跌,對股市提供利好因家。 ,收市報二二二〇·五〇。當地經紀南說本曆四稍升。柏克萊指數上升一六。六四本曆四稅升。柏克萊指數上升一六。六四

,総值一億四千一百萬澳元。 ,全日成交型八千八百六十一萬股 市報一二八四。一〇交投大大減縮 全普通股指數微跌〇。三。收 新西覷股市昨稍升

四億美元為近

澳股市微跌交投解

- 年前18-- 40894

·和平路45···38362

民 :降路36…25906

東京股市先揚後挫

"BEI FENG SHAN" 全貨箱班輸 "MIN HAI 105" "MIN HAI 120" 船名 夏水運22 育志 2 閩海230 A VESSEL "XIA SHUI YUN22"
"YU ZHI 2"
"MIN HAI230"

船名 穂拖集駁 2 穂拖集駁 2 穂拖集駁 2

26/11

船務企業有

香港与泉州散貨班輪

"MIN HAI224"
"QUAN ZHOU 2"

香港惠興運輸

WAI HING TRANSPORT 香港——廣州市及廣東省各地質系 關,直達收貨人地址,門到門服和

《跨省長途運輸新

地址:深圳市文錦渡沿河路惠興選輯 電話:35708 地址:廣州市華樂路32號賴药酒店9 電話:773583-903 |京財局艦:江蘇省際水市建享路以 |括:652543 651324

明興貨箱運輸有阿 CONTAINER TRANSPORTATION ( 承運來往香港至廣州及歷 地陸路運輸,直達收貨。 代客報關,並備有貨櫃」

位貨車運輸服務。 香港聯絡處:九龍彌敷道589號 廣東省銀行大厦30 香港聯絡電話:3-841138、3-84 深圳聯絡電話:39788 廣州聯絡電話:774835 佛山聯絡處 :佛山市運輸聯合

(佛山市南堤路 佛山聯絡電話:86204 85514 86

東 電

號

簿

廣東省郵電管理局將在一九八八年第一季出版 全新的《廣東省電話號簿》。該電話號簿內容分為白 頁及黃頁兩大部份,刊載廣東省內各市、縣的電話 資料。

全新編印的《廣東省電話號簿》,會提供多樣化 的廣告形式,有助貴公司傳遞訊息,溝通產銷,幫 助發展生產,效用宏大,其他廣告媒介實在難以相

而且,此電話號簿發行各地,深入各單位及各 行各業,一年三百六十五天,每天廿四小時,都能 方便國內海外客戶查閱貴公司電話、地址及業務範 圍,得到貴單位的產品或服務訊息,必為您帶來更 大的效益!

詳情致電通用電話簿(香港)有限公司 5-669888

廣東省郵電管理局

電話號簿編輯部



版八十篇

馬鵬

東望

海江

和江

MALAN(下午)

LU FENG(下午)

FOO HSING 2 (下华)

光輝貨標 GLORY CONTAINER(下午)基礎

SEVENSEAS BRIDGE(下午)等線

CALIFORNIA MERCURY(|-作礼時)

油蒸集 吊商房

油麻油 永 格

|接養糖 | 川 | - 崎

現代橋 丁 郵

告列局 保 威

B12 華 夏

大

11月28 港 班

11月28 東 發

11月29 亞 聯

11月29 天 祥

11月29 大 棨

11月29 華 海

11月29 港 與

同、保定、長春、 /整箱貨 ) 收貨 截貨 到一難港 12 14/12 11-17/12

37 5/1/88 2-8/1/88 限公司(UDSL)

Corp. 收貨 截貨 到一點港 11 29/11 28/11-1/12

/12 6/12 6/12-8/12

ion **夏島、石家莊**、 春、哈爾濱等等

質 截貨 到一難港 /11 2/12 4-5/12

截貨 到一難港 8/12 2/12 10/12 2 16/12 9/12 18/12

截貨 到一難港 8/12 2-10/12

NG CO LTD. JIRY 5-418884 市局 2 251500 製 1008

收貨 截货 開航 **虽期二・五開航** 星期二、五開航 月逢8號、24號開航

星期一班 星期一班 星期二班 三天一班

星期三班 星期二班 三天一班 コー斑

大連至美國

KOBE V61

入口船 政治地口 停泊地點 公 司

NATIONAL HONOR(上午六時半)馬尼拉 MALAN(上午八時) 油麻地 招商局 EASTERN HOPE(下午八時)釜山 東 宇 LOVCEN(下午七時) A24 大 阪 MARINE CONTAINER(上午八時)高雄 西耳 永 裕 SL、MARINER(下午三時) 美國 瑪蓮娜 海陸橋 海 陸 SEVEN SEAS BRIDGE(中午)歐洲 七海橋 國際橋 川 騎 AMBASSADOR BRIDGE(下午六時)美國 求代语 川 . 崎 大使橋 NL、DEJIMA(下午三時) F本 利來海 國際橋 寶 隆 BARBER TEXAS(下午六時)新加坡 百俣得 顶跷橋 百保利 LONG JIANG(上午七時) 上海 油凝地 輝 廣 路易士馬士基LOUIS MAERSK(上午十時)美國 現代橋 馬士基 HAI YOU(上午八時) 西區 永 裕 HAI IN(上午八時) 西區 永 裕 TRADE GLORY(下午十一時)天津 В 郑贝 馬士基鉅桃MAERSK PINTO(上午五時)馬尼拉 現代橋 馬士基 KING HWA(上午八時) 油床地 永 裕 MUSING(下午二時) 招商局碼頭 招商局 GLORY CONTAINER(上午二時)台灣 宵列島 保 咸 HUA NING HE(下午一時)天津 B26 招商局 力加馬士基LICA MAERSK(下午十時)新加坡 現代榜 馬士菲 CORONA(中午) 西區 川 埼 現代橋 馬士基 VELENJE(上午六時) A33 海 運

馬士基探戈MAERSK TANGO(下午五時)高雄 JIA FA(上午六時) 嘉發 B 5 準 運 船隻 卡馬蒂利 KAMATERI(下午) 料倫坡阿拉伯灣A25 MARINE FORTUNER(下午)高雄 和平南進 HP NAMJIN(上午十一時) 签山 吉列岛 港 與 KITANO MARU(上午七時)欧洲 現代稿 日 郵 康民二號 CONMANI(下午) A21 大 阪 KRETA GLORY(上午八時)蘇澳 榮容 NATIONAL HONOR(下午)洛杉磯三藩市 西區 海 豐 超魚獨立 ALLIGATOR INDEPENDENCE(下午)紐約 現代橋 大 阪 B16 TUDDLES

香港货柜 H.K.CONTAINER(上午一時)欧洲

新海華"NEW HAI HUA" V.48/49

新海虹"NEW HAI HUNG" V. 27/28

新海茂"XIN HAI MAO" 新海寧"NEW HAI NING" V.25/26

天兼輪·'TIAN YAN''Y:48B

天斑輪"TIAN YUE" V.86B

閩安航運企業有限公司

船名/航次

船名/航次

船泊長沙海洞發碼頭

天翔翰"SKY HOVER"Y.122 B

天津市海運公司

(散貨班輪)

TIENTSIN MARINE SHIPPING CO., TIENTSIN

香港二天津(新港)貨箱班輪 第8317975

兼收北京·石家莊、秦皇島、哈爾濱、大連、朝陽、唐山、西寨及丹東整箱貨

收貨站: 獎涌現代貨櫃碼頭 MODERN TERMINALS LIMITED

MINAN SHIPPING & ENTERPRISE CO., FUZHOU

香港 福州 貨箱 散貨班輪

景安"CHONG AN" V.33/34(散货班输) 27-28/11

XIAMEN SPECIAL ECONOMIC ZONE SHIPPING CO., LTD.

永安"YONG AN" V.83/34(全貨箱斑輪)

厦門經濟特區船務有限公司

香港二厦門 貨箱班輪

嘉 發 "JIA FA" V,22/23

友誼七號 YOU YI7(下午)

WILSON(下午)

OCEAN STRENGTH(下午)阿拉伯灣

歇姆使 雅上燕 枝江口 飛航雅士 A31 太 古 B20 三 資 吉列岛 関 光

嚴厲馬士基LAUST MAERSK(下午三時)基隆 現住橋 月七里 SIBERIA MARU(十年一時)基隆 雷列島 成 富 海峡货櫃 STRAIT CONTAINER(十年七時) 基際 吉列島 保 成 天鹅少尉 SWAN REEPER(上华八時)新加坡弗里曼特置 場代橋 資降 TRONO(下午) 新加坡 A26 三 利 JIMEI(下午十二時半) 深水埗 益 盟 康民一號 CONMAN I(下午一時) A22 東 源 CENTRAL VISAYAS(下台)黄疸 油蔗地 東 源 AND WIDURI(下午) 丹绒馬尼 B1 亞利來 KOTA HASIL(下午) A17 太 平 HONGGUCHENG (中午)與南 西區 招商局 日 隻 WISING 吉列岛 聯 航 JIANGAN(下午三時) 江安 招新局 В 金力克 KAMNIK 海亚 MING PEACE(14) 財和 事 業 調製 TENDAI MARU(下午四時)新西蘭 A 太古 運河 JINGHE(上午八時) 西區 招商局 東海六號 TUNG HAI 6 油藤池 永 裕 FINN TRADER 海厦 储 特 SANDYS BAY(下午十時) 曼谷 海陸橋 海 陸 LARGS BAY(下午七時) 歐洲 現代橋 太 古 TRADE RELISH(上午一時)天津 В 類 蹬 GEMINI MOON(上午六時)印尼 B 五洋 ORT,PATRIOT(上华) 國際語 港 GREEN ISLAND 否身 PAGO 新加坡 Ŵî KABUKI 現代橋 日 郵 亞利達馬士基ARILD MAERSK (上午十時)新加坡 現代橋 馬士基 ACE CONCORD(上午) 歐洲 國際橋 朝 陽 SD.ITALIA(上午二時) 日本 遮際標 實 隆 EVER LIVING(上午四時)新加坡 國際橋 利 造 ZHIJIANGKOU(下午一時)澳洲 現代語 泊 進 S.D. MASSILLIA(下午十一時)地中海 國際橋 資 隆 CLIPPER ACE 現代橋 日 郵 KUO WEI В 黛 利 KATHRINE SIF 响往 吉列岛 保 成 GAO SHAN(上午十一時) 上海 招商周

海口

省局

稿雜

西北太平洋

MARINE BRIGHT(上午七時)曼谷 裕 永 周酉 MING CHUN 台灣 B大柴 船 出  $\Box$ KUO WEI 高雄日本 缴利 KING HWA(下午) 油麻地 永 裕 MING PEACE(下华) 國際播 華 海 洛杉磯纽约 中華清雲 ORT,PATRIOT(下午) 西北太平洋 緊聯婦 港 鄭 大使橋AMBASSADOR BRIDGE(下午)西南太平洋纽约 現代語 川崎 SL, MARINER(下午十時) 西北太平洋纽约 海陸橋 海 陸 BARBER TEXAS(上午八時)西北太平洋纽約 國際籍 盲保利 EVER LIVING(下午) 國際語 利 達 EASTERN HOPE 釜山 東字 MING CHUN 髙雄呂太。 大 榮 新德夫人 LADY HIND(下午) 地中海 A 0 輝 騰 STRICHAL BULAKUL A27 振盛行 KABUKI 新加坡整加漆。 現代派 頂 郵 SD.ITALIA(下午) 國際語 實 隆 红海地中海 LOVCEN A 24 大 阪 ACE CONCORD 阿條橋 朝 陽 飛航鴉士 CLIPPER ACE 現代橋 日 郵 KATHRINE SIF 吉列岛 保 威 力加馬士基LICA MAERSK(下午) 加州纽约 現代撥 馬士基 路易士墨士基LOUIS MAERSK(上午二時)新加坡 現代語 馬士基 馬士基翰桃MAERSK PINTO(上午九時半)馬尼拉 現代橋 馬士基 馬士基探戈MAESRK TANGO(下午) 高雄 現代橋 馬士基 NL.DEJIMA(上午三時) 歐洲 國際橋 費 隆

輪船 8 SHANG HAI JIN XIAN QUAN FENG GE FLEX AMERICA YAN DANG SHAN ZIM HAIFA **NEW HAI HUA** 新海巢 YANAN WU HAO **GUANG MING** LUO CHUAN QU JIANG TONG JIANG 延安六號 YANAN LIU HAO ZHOU SHAN 6

26/11-1/12

MARINE BRIGHT(下午) 台灣 西區 永 裕 停 泊 表 停泊度 公 司 A12 招商局 B38 雜 夏 A32 招商局 西區 怡 和 B 4 沿商局 現代橋 新 與 A40 雜 運 A25 華 夏 A11 招商局 招商卸货减 招商局 歐亞縣 招商局 A 28 金 銷 招商卸货区 招商周

本港金融外幣行情表 (11 A) 19 m ) 九九金行情 本地倫敦金行情 下 年 周市 4314 四重 463 8/ 464 3 464.7/ 464. 4311 飛高 4316 取為 463 6/ 4/4 1 464.7/ 465.2 **凝低** 4309 R 4 464.1/ 464.6 4314 464.0/ 464 5 枚事 4316 枝市 464.0 464.5 464 5/ 465 0 息件 +12.96 井件 -2.00 **井华 0 10** 場内交收數 4,300回 同業拆息行情 码交30 一月 10 貿易場銀價 515 本地倫敦銀 6 64 長城銀價 640-646 飾黄金(梅雨) 4,500,00(44) 飾自金(原面) 4,900 00 4年。 無福金幣 智入 4100 **會出 4130 観望金幣 育人 3730 費出 3738** 鸡 連 全 訂入 3735 | 賣出 3745 | 克 楊 司入 3735 | 賣出 3745 外滙存款收市牌價及息率 (實生數行供稿) 6.625543 30 新西蘭尤 FI IS 576 80 3.625 西樓馬克 464.70 465.7G (3.25) 加拿大元 593 20 594.20 7 625 ECU 959.00 960.00 5 6875 去图法部 136 60 137.40 8.375 買入 47.45 原出 人民幣牌價 每百 47.77 美電 毎百 双入 779 40 位出 779, 60 外鯋對港幣賈竇價 **港滙指數** 103.0(~0.3) 罪 情 贵 绩 作 幣 单位 華百 778.40 779.40 新西蘭光 毎白 466.00 481.00 13.81 13.91 海域 577.20 等百 464.00 465.00 新加坡元 每百 381.40 382.40 審百 565.80 566.80 新坡票 每百 33.00 法国法院 每百 136.10 137.10 毎百 411.00 412.00 印尼酒 巫夢 45.00 6,15 新台灣 語百 25.5D 每百 591.Q0 594.Q0 澳門財 毎百 95.00 96.00 澳州元 每百 537.00 542.00 **外幣對人民幣滙價表**「科科來灣:中國國家外世界型機局 日 木 岡 十萬 2738,04 2751,77 楊威克郎 ─ 百 97.55 57.84 **驻利除去部C 一萬 1052.82 1058.09** 荷 階 曆 一百194.99 比利時法部F 一萬 1044.01 1049.24 香港元 一百 47.54 47.77 一百 57.01 57.30 新加坡元 一百180.53 181.44 一首 261.51 282.92 奥逊利先令 一百 31.19 一百 219.55 220.66 息大利里拉 一萬 29.92 30.07 法國法郎 一百 64.91 65.24 一百267.86 一百 655.11 658,40 **瑞典克明 一百 60.65** 元 一百 371.27 373,14 - 廣 州 元 一百258.78 260.07

E. C U - 喜 430.22 432.28

間運輸倉儲有 香港灣仔港灣道26號華潤大厦19樓 **5**-8317668 上海新海航業有限公司

香港二海口貨箱/散貨航線(社) 5-8317592 NEWSEAS NAVIGATION CORPORATION, SHANGHAI 《每月三航次》 總代理:金發船務有限公司 GOLDEN FORTUNE SHIPPING CO 華昌翰 M.V."HUA CHANG" 、香港→上海 貨箱/散貨班輪 (人) 5-8217800 (出) 5-8317582) 香港二北海 貨箱/ 散貨航線 (內) 5-8317674 船名/航次 收貨期 抵/離期 南方907,908,909 M.V. "SOUTHERN 907,908,909" 新海瑋"NEW HAI HUA" V.46/47

7-11/12

2-7/12

14-20/11

22-27/11

.23-28/11

1-2/12

抵/離斯

23-25/11

25-29/11

(入) 5-8317592<sup>7</sup> (出) 5-8317572

收貨期 抵/離期

21-22 11

21-23/11 18-24/11

收貨期 抵/離期

即日-22/11 23-24/11

即日-26/11

25-30/11

8-10/12

4 - 6/12

兼收防城散貨(每星期一航次) 香港二厦門(下秦、漳州、東山)散貨航線 (入) 5-83176741 "厦水運23號" 〈每月二航次直放廈門〉

香港一汕頭 貨箱/散貨航線 🖾 😤 83 17674 "龍華1號、

穗救撈8號" 〈每星期兩航次〉

芝山 1,3 號 M.V. "ZHI SHAN! 1,3, 香港·廣州·黄埔·水口·石胶 容奇·東莞·澳頭·新會散貨航線

廣東省土產進出口分公司——屬下船隊 中土出3、4、9、11、12、13、14、15、16、25號

凡船隻安排靠泊長沙灣潤發碼頭卸下之貨物 經船頭倉交收後,潤發倉庫將優先提供倉位給客 戶貯存。並有充足貨櫃車位及先進機械,爲客戶 承辦裝、拆貨箱、拖車等轉口運輸業務。

詳情請電:5-8313288潤發倉碼有限公司洽

總代理: R.华夏企业有限公司 FAR EAST ENTERPRISING CO., (HK) LTD. 香港川仔港周道26號華淵大厦19楼 局5-8317668 香港二張家港/南通 全貨箱班輪(出) 5-8317571 船名》航次

招面卸货缸 招商局

利M.S."SU QI!"V 2783/34 25-27/11 21-26/11 大連集裝箱輪船公司 DA LIAN CONTAINER STEAM SHIP COMPANY 香港二大連 貨箱 散貨班輪 (入) 5-8317589 出) 5-8317577 兼收沈陽、長春、四平、哈爾濱、大慶

船名/航次 曾M.S."YUN FENG" V.056/67 30/11-1/12 曾M.S."YUN FENG" V.058/59 14-15/12 1 - 3 / 12

15-17/12 魯豐航運有限公司 LU FENG SHIPPING CO.,LTD. QINGDAO 香港二青島 貨箱班輪 (入) 5-8317589 (出) 5-8317578 船名/航次 收貨期 抵/離期 豐M.S."LU FENG" V.128/128 19-20/11

魯 豐M.S. LU FENG V. 130/131 30/11-2/12 2 - 3/12山東省海運公司 SHANDONG MARINE SHIPPING CO., QINGDAO 香港二青島 散貨班輪 (入) 5-8317588 (出) 5-8317576 沙牧貨期 抵/離期 金線泉M.S."JIN XIAN QUAN"。 23/11 17-25/11 五並泉M.S."WU LIAN QUANK 26-30/11

激玉泉M.S."SHU YU QUAN" 24-30/11 中國糧油食品進出口公司。山東省食品分公司 CHINA NATIONAL CEREALS, OILS & FOODSTUFFS IMP & EXP. 香港二青島 散貨班輪 (入) 5-8317588 (出) 5-8317576

收貨期 抵/離期 延安五號M.S. YAN AN WU HAO 18-23/11 中國對外貿易運輸公司 天津分公司 CHINA NATIONALS FOREIGN TRADE TRANSPORTATION CORP. TIENTSIN BRANCH

香港二天津 散貨班輪 (入)5-8317590 (出) 5-8317576 船名/航次 厚 華M.S."HUA WAH" 28/11-4/12

美 中 容 曼 谷 與 K 惠 S 華 S

香港文成東刊68-74號興隆商業大厦1502室

20 23,11

ELEX:89166 COSEL HX 貨箱及散貨定期航線 REGULAR SERVICE **香港二港江(貨籍/散貨駐線**) ● 承接火車 抵/離 期 收 貨 期 貨櫃 拼箱及散貨服務包卡及散貨 金龍輪 JIN LONG 24-27/11 24-28/11 雕港運輸直達中 湛江代理;中國對外貿易運輸公司 香港二北海(貨箱/散貨航線 國各大城市 **粤海輪 YUE HAI** 21/11 24-27/11 24-28/11 21/11 21/11 香港二海口二三亞(貨箱/散貨航線) 21/11 ● 提供香港 21/11 20/11 粤海輪 YUE HAI 20/11 24-26/11 21/11 21/11 直通廣東、 24-27/11 20/11 21/11 **斯格尼·洛瓦斯州里 第18222 房里港 24966** 25/11 廣西省內之 17/11 23/11 穂二輪 SUI ER 21/11 拖運服務。 20/11 20/11 23-24/11 23-25/11 度州代理:廣州市第二水上運輸公司 -26/1128/11 香港之東門、貨籍/教貨航線 20/11 28/11 ● 香港中轉 26/11 A VESSEL 18-25/11 青島 26/11 運箱、拖箱 厦門代理:中國對外貿易運輸公司 香港之場州(資籍/散貨航線) 28/11、拆/ 裝箱 20/11 A VESSEL 24-25/11 28-25/11 大 連 28/11 服務。 25/11 26/11 福州代理:中國對外貿易運輸公司

景華船務有限公司KENWA SHIPPING CO., LTD. BOOKING ENQUIRY 電話: 5-414877 (10線)

各地散裝輪貨運 湛江 T.B.A. 16/11 17/11 22/11 24/11 上海客貨輪 8/12 4/12 7/12 T.B.A. 16/11 17/11 22/11 24/11 客貨輪 23/11 24/11 26/11 厦門/油頭 17/11 18/11 23/11 25/11 客貨輸 20/11 29/11 2/12 23/11 24/11 29/11 1/12 新港貨 翰 14/11 20/11 22/11 汲家港 17/10 18/10 23/11 25/11 南岛货 輪 24/11 25/11 26/11 上海 16/11 17/11 21/11 23/11 大連貨 輪 20/11 21/11 24/11 22/11 23/11 28/11 30/11 逢望期三、六調航 T.B.A. 16/11 17/11 22/11 24/11 新港/北京 13 11/11 12/11 27/11 29/11 蛇 口 稳填 逢星期二、四開航 144 22/11 23/11 28/11 30/11 厦 門庭水運逢星期一三五陽航 26/11 27/11 2/12 度州/黄埔 每三日--航次

逢星期三、六開航

海口特 快貨輪 25/11 直放海口 請貴客速 到本公司辦

理付貨手續

3-7396809

3-7397200

Y.S.N. LINE

定期班輪 直放・星加坡・巴生港・哌喘 寥 砷 號 TRINITARIA V31 十一月廿五日落貨 廿六日毘行 碧 波 輪 GLOBE EMERALD V9 十一月廿六日落货 廿七日閉行 天皇星+ SiRIUS + V19 十二月三日落貨,四日開行 士二月五日落實 六日開行

"收貨站:迅發貨倉有限公司 第八義宗丸 船到前七天倉崩 宣話3-7271888 "GISU MARU 山下新日本汽船(香港)有限公司 電話:5-295501-6(5線)5-295588(3線) 接機處:安邦貨運公司 地址:德輔消西26-30號永基大厦605室 電話:5-493454 5-493284

名神汽船株式會社 Meishin Line

新加坡 前各收货人速 來辦理提貨手 纖• 新加坡

新加坡 12月18日開 NO. 8 " 總代理掌海外聯合海彈有限公司 卢弗干肃的中 30年 纵信大厦的3学 電話:5-412821:4 - 5-439504

11月24日到

11月25日開

12月2日.

由日本抵港

12月 8 日到

12月7日期

12月17日到

"LEVIN"

"MARINA

HOPE"

扇和丸

"SENWA

MARU"

JJ

。海市錦江航迎有限公司 SHANGHAL JIN JIANG SHIPPING CORPORATION, LTD.

香港二上海散裝貨直航班輪 11月 22 日抵港 **一 (定期客貨班輪)** 11月23-25日收貨 M.V." JIN JIANG" 11月 27 日開行

M.V. 'TONG JIANG"

V.14 11月 19 日抵港

總代理:金鋼船務企業有限公司

RICHOWN SHIPPING & ENTERPRISES LTD. 我理题《赤道王环道内》1-6、四川加基太原2402平 電話:5-414108 1204 77987 PISHA HX 收貨站。油蘇地卸貨區華記畫



馬士基輪船(香港)有限公司 MAERSK LINE

每显期二航次

每四日一航次

每隔三日一航次

廣州/黄埔 逢星期二•五期航

(東南亞線) 長堤、紐約、賣城 漢堡、不來梅、 喀拉蚩、孟貝、 洛美、自由城、 (去新加坡、巴、巴的波爾、查爾 應特丹、安特衛 杜拜、達曼、巴 蒙諾维亞、阿比 生、庇能、曼谷)斯登、阿雅圖、渥 普、巴塞羅那、 林、科威特 尚、拉高斯 馬士基神戶 6、湯斯縣 原來、如那匹 馬賽、熱那亚 美娜馬士茲 羅施馬士基 馬士基鹿特丹 12月2陽 11月23 關 康來利馬上基 阿士馬士基 阿利達馬士基 羅施馬士基 12月14閉(去雅加達、泗 . 11月22期 11月30期 日本線〉 (東非線) 12月7 開美娜馬士基 阿利達島士基 11 亨22 河 九龍分號事處文 件中心尖沙咀資 東道30號新港中 路易士馬士基 亞士馬士基 12月14周 泉來利馬士基 11月28期 阿華馬士基

11月29單 心第二座 710室 **岛士基翰船(香港)有混公司** 12月 4 樹 希似道 10 批新加大型 17 19世 電話: 5-8372222 要門代理:澳發航 軍公司 圖文符其: 龍嵩街10號C1 宣話:88178

月日公司

11月22 東 宇

11月22 第一套

11月22 位 域

11月22 点 75

11月22 永 裕

11月22 永 裕

11月22 位 和

11月22 第 林

11, 122 港 與

11月22 第 林

11月22 金 鋼

11月23 海 陸

11月22 笔 统

11月22 港 郵

11月22 馬士娃

11月22 章 林

11月22 華 運

11月22 率 運

11月22 港 與

11月22 華 海

11月22 利 蓬

11月22 天 祥

11月22 東 發

11月22 按 隆

11月23 威 斯

11月23 招商局

11月23 日 郵

11月23 輝 脇

13月23 日 郵

11月23 珠 江

11月28 錦 利

11月23 山 下

11月28 馬士基

11月23 沙 啥

即來港口

高雄

釜山

欧洲

上海

海口

27E 23/12 23/12 25/12 15/1 17/1 20/1 22/1 4/2 7/2

HKG

22/11/23/11/25/11

CFS Yiu tien Town Lot No 72, Tsingyi Island N.T. Tei O 4970419

CLOSING . ETD

Receiving Station: TYTL 60 Tsingyi Island inside EURO ASIA SHIP YARD.

VOY CFS CY

香港直航日本貨櫃航綫

83 24/11 24/11 26/11 30/11 2/12 -

61 1/12 1/12 3/12 7/12 - -

88 8/12 8/12 10/12 14/12 16/12

29/1 30/1 2/2

ETD H.K. MANILA

YOK NGO OSA KOB

27/11

29 17/12 18/12 19/12 6/1

CLOSING

新加坡

NAMGANG GLORY

KYOWA COSMOS

KHUD, IOGANSON

KAP, KOZLOVSKIY

- 局士基鹿特丹MAERSK ROTTERDAM新加坡

ABBAY WONZ

NEW HAI NING

HP DONG NAM

EVER ONWARD

HANJIN KUNSHAN

HAYAKAWA MARU

GLOBE EMERALD

MING GALAXY

巴爾馬太陽BALTIMAR SUN

MIRZAM

MALAN

HUI HUA

思士基神户MAERSK KOBE

TAO YUAN

CR. DOUALA

BRIJ

布列兹

MING CHENG

GU CHENG

LING QUAN HE

MING CHENG

LING QUAN HE

BEI DAI HE

YU JIANG

YU JIANG

\* FULLY BOOKED

HUAL YUAN HE

THAN ZHONG HE

WAN QUAN HE

Receiving Station CV HIT Berth No 4

MILD I RAN

士附迪亞 SELANDIA

DATYUNSHAN

NANTAI 7

HAI WANG

HAI CHUN

RJAU

VAAL

胸南八號 DONAM NO.8

世界之猫 WORLD LION

泰国战迫 THAI AMBER

JINJIANG

羅斯福總統PRES. ROOSEVELT

髸

台中

洞雄

## SAN JIANG 11月28 邶 脇 上海 11月26 新 與 HUA WAH 11月28 華 夏 11月26 利 途 MAJAPAHIT 11月28 太 平 新师坡 11月26 利 途 CARGO BAY 11月28 港 與 11月26 勉 統 REX STAR 11月28 東 毅 11月26 永 裕 阿斯努力 ALS ENDEAVOUR 11月29 亞 聯 HANJIN KWANGYANG 美國 11月26 益 高 11月29 天 禅 CHIN CHUN 11月29 大 癸 11月26 華 迩 MING OCEAN 11月26 華 林 51月29 垒 海 渣碰范達民NL. VAN DIEMEN 11月27 三 資 11月29 渣 举 福他繳班 FROT ADURBAN 11月27 統 利 新加坡 11月29 鹽利行 RAINBOW 11月27 郑 路 11月29 港 奥 Freight-Trans International Co., Ltd. 輝騰有限公司 香港代理 [] 图 電話:5-8449198 香港中環康樂大厦9樓918室

收貨 裁貨 到一般港

收貨 截貨 到一離港

1/12 6/12 6/12-8/12

收貨 裁貨 到離港

收貨 裁貨 到一雕港

80/12/87 5/1/88 2-8/1/88

、收集站:華洋貨運(遠東)有限公司(UDSL)

TRADE RELISE ( 品準 ) 27/11 2/12 4-5/12

MILD TRAN (通運) Y12 2/12 8/12 2/12 10/12

新海茂"XIN HAI MAO" 新海寧"NEW HAI NING" V.25/26 天津市海運公司 TIENTSIN MARINE SHIPPING 香港二天津(新港)貨 兼收北京、石家莊、秦皇島、哈爾濱、大連 船名/航次 天燕輪"TIAN YAN" V.48B 天躍輪"TIAN YUE" V.86B 天翔輪"SKY HOVER"V。122 B 收貨站:葵涌現代貨櫃碼頭 MODERN 國安航運企業有限公司 MINAN SHIPPING & ENTERPI

上海新海航業有限公司

NEWSEAS NAVIGATION COF

總代理:金發船務有限公司

新海華"NEW HAI HUA" V.46/4

新海華"NEW HAI HUA" V.48/4

新海虹'INEW HAI HUNG''V . 27/21

、香港→上海 貨箱/散

香港二福州 貨箱/散貨 船名/航次 永安"YONG AN"V.88/84(全貨箱到 崇安''CHONG AN''V.33/84 (散貨: 船泊長沙灣濱發碼頭

厦門經濟特區船務有限公司 XIAMEN SPECIAL ECONOMIC ZONE S 香港↓厦門 貨箱班輪

船名/航次 器 赞 "JIA FA" V.22/28

香港交咸東街68-

貨箱及散貨定期航線 REGULAR 香港二港江(貨籍/教貨薪線) 金龍輪 JIN LONG 香港二北海(貨箱/散貨航線 粤海輪 YUE HAI 港江代理:廣東省港江航運公司 「香港二海口二三亞(資籍/散貨 · 湛江代理:廣東省海南航運公司 湛江東結議・湛江廣州灣夏龍222房電話 24966 **建设设施的工作,不是一个工作,** 穗二輪 SUI ER 接州代理:廣州市第二木上運輸公司 香港工具門(資稅/數資前線) A VESSEL 厦門代理:中國對外貿易連續公司 要進一種州《資籍》(散貨航線) A VESSEL 超州代理:中國對外貿易運輸公司

Y.S.N. LINE 定期班輪 直放・星加坡・巴生港・啶喘 聖神號 TRINITARIA V31 十一月廿五日落貨 廿六日開行 碧 波 輪 GLOBE EMERALD V9 十一月廿六日落货 廿七日開行 天皇星+

SIRIUS + V19 十二月三日落貨。四日關行 KOBE V61 上二月五日落货 六日既行 收貨站:迅發貨倉有限公司

**船到前七天倉崩** 运活3-7271888° 山下新日本汽船(香港)有限公司 電話:5-295501-5(5線)5-295588(3線) 接儎處:安邦貨運公司 地址:德輔道西26-30號永基大厦605室 電話:5-493454 5-493284

MERCURY ACE 日大 11月23 产 - 提 NL. LEUVE 台灣 11, 25 位 HSING HWA 715AL 11月27 永 裕 YONGAN YI CHUN 11月23 華 台灣 11.425 大 菜 AUPIGA 11九27 統 利 EVER GLAMOUR KIA WALEED 11/128 14 52 11月25 怕 和 KOREAN CHANCE 歐洲 11月27 期 [基 AROSIA 飛航作士 CLIPPER ACE 11月25 亞 聯 11/123 FAMILY ACE 高雄 11月27 日 50 GOLDEN GATE BRIDGE 7 [4] CHONG AN 11月23 月 4壽 布丹 111,25 華 辺 SL. FREEDOM 美國 11月27 海 隆 布鲁克林橋BROOKLYN BRIDGE ZIM KAOHSIUNG 新加坡 11月23 月,崎 11月25 新 縣 HAIDA 11月27 拓龍島 HAI YONG 碧净珠。 TRINITARIA 11月23 永 福 本日 11月25 山下 ORT, AMBASSADOR 集方大便 11月27 日 郵 台灣 建華二號 KIEN HWA2 液心™偷布NI., COLOMBO 11片23 永 裕 11月25 液 凉 11月27 选 初 **BUNGA SURIA** 對蘇利亞 ASIAN STAR KUO LIE 2 11月23 正 利 11月26 永 裕 曼谷 11月27 三 17 新華三號 XINHUA 3 EMERALD TIAN YAN 11月23 輝 腾 11月26 美 邦 SUN SUMA 力な大 11月27 单 夏 HYUNDAI INNOVATOR美國 TAI LAI 11月24 永 裕 ELLI 11/27 月 郵 31月26 次 占 LARGS BAY MANHATTAN BRIDGE 美國 ATACAMA 11月27 川 崎 **艾哈頓橋**。 11月24 太 占 11月26 天 裕 東方導師 ORT, EDUCATOR DONAM NO. I SD, LEDRA 並山 11月24 隻 與 11月27 寶 隆 美國 11月26 注 鄧 是加坡勝利SINGAPORE SENATOR新加坡 MING LONGEVITY 11月24 革 海 亞精家 一 LANKA AJITHA 11月27 東 班 11月26 恰 和 安选尼士基ANDERS MAERSK LEVIN 路易士馬士基LOUIS MAERSK 杂力坡 31月24 海 ,并 11月27 馬士基 - 11月26 - 馬主茲 加州上市 CALIFORNIA JUPITER 美丽 SPECO TRUST 利是馬士基LEISE MAERSK 美国 11月27 馬士基 11月24 國 光 11月26 日 郵 威利水堰 VILLE DE MERCURE 地中海 EASTERN ISLAND 11月27 偉 特 日本 11月24 益 窓 自。河口 BAIHE KOU 11月26 波 孤 泰興紅寶 THAI TUBTIM NEP, BERYL 11月27 港 彩 TRANSWORLD BRIDGE汽雄 热陸 11月24 港 恒 11月26 川 崎 ALLIGATOR HOPE MING HOPE 11月28 華 姫 11月24 大 阪 WAH YEE 11月26 珠 江 KEUMGANG GLORY PACIFIC EAGLE 馬尼拉 11月28 國 光 11月24 東 YUN FENG 11月26 華 夏 GAMZAT TSADASA COLIMA 11月28 做 特 11月24 麗 林 KUO HSIUNG 11月26 紘 利 THEA S AL MANAKH 11月28 热 迅 11月24 怡 和 PULSAR 11月26 東 宇 TA TUNG 2 11月28 永 裕 UNI MODEST 11月24 利 遊 NORASIA SUSAN ANCHUN 11月26 胚 佰 RATIH 11月28 大 癸 11月24 浩 郷 TAIWAN SENATOR NEP, PEARL LAMON BAY 日本 淘温阴珠。 英周 11月26 怡 和 11月28 港 恒 21月24 川 崎 EASTERN MARS PACIFIC MARU SD, LUZON 批缝 地中海 11月25 大 阪 11月26 港 興 11月28 資 際 其富利 **JENFREE** NANHWA 11月25 港 恒 金山基隆 SOMERS BAY 11月28 東 字 11月28 馬士基 GEMINI MOON 阿翠馬士基ALVA MAERSK 逓洋 14月26 亚 洋 MILD OCEAN 新加坡 11月28 屬土起 上海 11月26 超 騰 SUQI RAYA'HAPPINESS 11月25 夢 夏 海山 SL. LIBERATOR 11月25 海 陸 EVER GIFTED 阿波羅洛 APOLLO PEAK 11月25 大 阪 EVER ORDER 南泰王子 NANTAI PRINCE 11月25 欣 洋 約翰遜總統PRES. JOHNSON GEMINI SUN 31月25 五 洋 光大二號 KWANG TA 2 RONG HUA SHAN 11月25 葉 班 ARGUS 否涉快翰 H.K. EXPRESS 31月25 越 成 HUA CHANG 東方迅航 SCANDUTCH ORIENT 基金 11月25 按 險 NOVIKOV PRIBOY **公里** 阿斯力量 ALS STRENGTH 11月25 亞 聯 友流十二號**YOU YI** 12 BLACK WHALE 11月25 港 興 CHUNGLIE TING JIANG 11月25 輝 牓

(全貨箱航綫)

MILD .TRAN(通運) V10

天津市海區公司

SKY HOVER(天狗) V122B 26/11 1/12 8-4/12

收貨站:葵涌現代貨櫃碼頭 (Modern Terminals Limited)

TIAN YAN (天族) V49B 80/11 5/12 7-8/12

Trentsin Marine Shipping Co.

TIAN YUE (天冠)Y-86B 幹日 25/11 27-28/11 TIAN LONG(天龍) V343

環亞(上海)國際貨運公司

TING JIANG(江江) V8733 20/11 26/11 25-28/11 LONG JIANG V8711

收貨站:華洋貨運(遠東)有限公司(UDSL) = 電源水の×4999388

TRADE RELISH(易津) 昨日-CY-20/11 21-22/11

收貨站:華洋貨運(遼東)有限公司 電話:0-877514

香港 二天津 (新港) 貨箱/雑貨班輪

TIAN YAN (天族) 748B 第四 21/11 23-24/11 TIAN LONG(天龍) 733B 8/12 14/12 11-17/12

Sinotrans Asian Development (Shanghai) Int'l Transp. Corp.

LONG JIANG(龍江) V8709 14/11 20/11 20-22/11 SAN JIANG(三江) V8733 23/11 29/11 28/11-1/12

China National Foreign Trade Transportation Corporation

Shanghai Jing Jiang Shipping Corporation Ltd.

香港二上海全貨箱班輪

MILD OCEAN(通洋) V874821/11 80/11 26/11 2/12 MILD OCEAN(通洋) V375010/12 16/12 9/12 18/12

Fuzhou Shipping Company Fullan

香港二上海散裝貨直航班輪

SHOU SHAN(美山)V/190 13/11 18/11 12-22/11 SHOU SHAN(美山)711/12 3/12 8/12 2-10/12

香港本上海散裝貨直航班輸

象收上海市、附近城市之貨物內陸運輸

收貨 截貨 到一龍港 粉含。

中國對外貿易運輸公司。天津分公司

張家口、濟南、大同、太原、鄭州、蔣陽、真美、瀋陽、呼和浩特、

收貨 截貨 总型 超差

收貨站:藝涌現代貨機課頭(Modern Terminals Limited) 電話:0-253325

上海市錦江航運有限公司

RLVG 28/11 28-25/11

釋進省雜船轉公司轄州公司

、蘭州、瀋陽、太原、憲沽、強化、西安及營口(雜貨及拼/整箱貨)

(散裝航綫)

電話:0-4999388

TIAN YUE

五期星

總代理: 网络商局货櫃航運有限公司電話:5-435511(30線) CHINA MERCHANTS CONTAINER LINES LTD. 電/4 : 62098 EMEL HX 香港干諾達中152-155號招商局大厦1-3樓 電制: CONLINE HONG KONG 傳真: 5-417534 MACAU AGENTS CHILLUN AGENCY SHIPPING LIMITED 最何 88837 COTS OM 電話 \$578731 579732 4月3卯月63分有「長」公司「「澳門南陽街37號DーE南粤商業中心6樓D座 中國遠洋運輸公司 CHINA OCEAN SHIPPING COMPANY 香港定期直航美國加拿大全貨櫃航線。 香港直航歐洲貨櫃航線 WEST COAST & CANADA ACCIDING CARD THURIST HAMBURG ROTTERDAM, ANTWERP, DUNKEROUE, Also accepting RGL Cardo, LONDON, FELIXSTOWE, LIVERPOOL, MANCHESTER, LITTLE Accepting CFS/CY cargo: LONG BEACH/LOS ANGELES/ OAKLAND/SAN FRANCISCO/SEATT: BREMEN MARHUS, COPENHAGEN, OSLO, STOCKHOLM GOTHENBURG Also Accepting CY cargo PORTLAND/TACOMA/LONGVIEW, AMSTERDAM LE HAVRE PARIS VANCOUVER/TORONTO/ MONTREAL EAST COAST Accepting CFS/CY\_cargo: NEW YORK/CHARLESTON/HOUSTON HKG RTM HAM # DIRECT SERVICE EAST COAST & GULF PORT. 40W 21/11 22/11 23/11 21/12 23/12 25/12 27/12 29/12 47 W 28/11 29/11 30/11 27/12 29/12 1/1 3/1 5/1 FEN HE 45W 7/12 8/12 9/12 5/1 7/1 9/1 11/1 13/1 CLOSING · ETD ETA OAK/ 37W 14/12 15/12 16/12 13/1 15/1 17/1 19/1 21/1 VOY CFS CY HKG LB/LA SFO SEA YOR NYK CHS HOU 42W 22/12 23/12 24/12 21/1 23/1 25/1 82E 23/11 23/11 25/11 15/12 17/12 20/12 22/12 4/1 7/1 11/1 ZHANG JIA KOU 71E 3/12 3/12 5/12 23/12 25/12 29/12 1/1 20/1 23/1 27/1 CES- Yiu Lian Town Lot No 72, Tsingyi Island NT Tel 0 4970419 IE 8/12 8/12/10/12/29/12 - - - 10/1 - 3/1 16/1 香港直航地中海貨櫃航線 84E 13/12 13/12 15/12 ^4/7" 6/1" 8/1 "TO/1" 20/1 23/1 27/1

SONG SHAN

24/11 17/12 19/12 15/12 CFS-Yiu Lian, Town Lot No.72, Taingy, Island, N.T. Tel. D-49704 19 Receiving Station CY' TYTL 60 Tsingy island (inside EURO ASIA SHIP YARD) Tel 0-4979590 & 0-4979670 香港特快定期十直航中東全新貨櫃航線 香港/中國全貨櫃航線:1樓 Accepting FCL+LC. Cargo for: DUBAI/SHARJAH, DAMMAM, KUWAIT & KARACHI, Also accepting FCL Cargo for: RIYADH, DOHA, MUSCAT /MINA QABODS; 抵港 ABU DHABI, SANDAR ABBAS and the other points JING HE 空河 21/11 22/11 HKG KARACHI SHU DAMMAM KUWAIT PING XIANG CHENG 平捣坡 5/12 6/12 SONG CHENG 25 3/12 4/12 5/12 29/12 21/12 23/12 25/12 10/12 11/12 CHAO BAI HE 28/11 29/11 LIAO HE 適河 30/1 'GU CHENG 谷城 16/12 17/12 香港特快直航曼谷/星加坡/檳城 MING HE TO 29/11 22/11 SHANG CHENG 商 版 29/11 30/11 LING QUAN 說巨 學原河 9/12 BANGKOK S'PORE PENANC SHA HE 沙河 %IO% [[2] L. U./12 FEN HE 汾河 23/11 24//11 29 17/12 18/12 19/12 24/12 HAN ZHONG HE 漢中河 27 28 21 27 18/12 19/12 20/12 -WAN QUAN HE 萬泉河 25/12 27/12 2/12 3/12

黃埔/厦門/新港 XIONG YUE CHENG 熊岳城 288 25/11 12/12 HUA YING 亞盈 張家港 25/11 26/11 SHUHE沫河 166 29/11 30/11 大 連 SHUN JIANG 順 江 3/12 4/12 黃埔/厦門 LIAN JIANG 連 江 14/11 25/1 汕頭/廈門 HUA JIA 華佳 8757. 27/11 28/1 航灾 抵港 日本 HAN 2HONG HE 60 27/1 存谷 JING HE 142 21/11 曼谷 SHANG CHENG 68 29/1 歐洲 FEN HE 46E 23/11 英國 XI FENG KOU 81W.23/11

MALAN

44E 22/11 美國 ZHANG JIA KOU 70W 3/12

37E 30/1 美國 GU BEI KOU 83W 13/12

VOY CY CLOSING ETA HK MARSEILLIES GENDA BANCELONA

總代理:《知相商局船務企業有限公司 出口部:5-447402 CHINA MERCHANTS SHIPPING & ENTERPRISES CO., LTD 入口部:5-440555 香港干諾道中152-155號招商局大厦11,12,13,14樓 電傳: 61971 CMSNC HX(散货 代理部:5-440557 上海海興輪船公司 河北省遠洋運輸公司 廣州海運管理局 香港。"上海定期客貨班輪 香港 • 天津 • 秦皇島散貨航線 香港工海口《三亞定期客貨班輪 抵港截货收货開航 「安國」M.V. "ANGUO" 毎月逢8日、24日往三亞

SHANGHAI 上海 V. 40 17/11 19/11 20/11 V. 19 27/11 29/11 30/11 SHANGHAI 上海 V. 42 2/12 4/12 5/12 HAI DA 海遼 V. 21 12/12 14/12 15/12 17/12 遠洋輪船有限公司

香港 🚣 大連散貨航線 木星MU SING 予 20/11 抵港 (約25天一航次) 兼收沈陽、營口、選陽、吉林及長春之散貨和整箱貨內陸運輸

江蘇省遠洋運輸公司

香港、張家港、南通、南京、燕湖版資航線。 「江安」M.V."JIANGAN" 「蘇鳳」M.V." SU FENG 「蘇龍」M.V."SULONG" 「淮安」M.V."HUA! AN 「盤山」M.V."PAN SHAN"「雨花」 M.V."YU HUA"

張家港:每月4航次 南通:每月 / 航次 香港→張家港全貨櫃班輪航線「5-428266

上蘇麟、M.V. "SULIN" 每月兩航次,中、下旬各一航次

南京:毎月1航次 **蕪湖:毎月1航次** 

「豐寧」M.V."FENG NING" 「新樂」M.V."XIN LE" 揚子江輪船股份有限公司 香港→武漢散貨航線 揚子江丁 YANG ZIJIANG 1

「東光」M.V."DONG GUANG"

歐洲 QING HE

歐洲 UAO HE

揚子江 2 YANG ZIJIANG 2 毎月約2航次 金豐船務企業有限公司 香港 \*上海 \* 天津散貨航線

上海:每月4航次 「高山」 "GAO SHAN" 「駿山」 "JUN SHAN" 天津:約20天1航次 「立山」M.V.«LI SHAN»

如大宗貨物、

可特别安排專船接運

香港。二寧波 \* 溫州散貨航線 \* 「衝江」 M.V."QU JIANG" 「靈江」 M.V."LING JIANG" 「敖江」 M.V."AOJIANG" 「浙塱」 M.V."ZHEKUN" M.V."QU JIANG" 19/11抵港 香港工寧波全貨櫃班輪航線。

浙江省遠洋運輸公司

每月逢14日往海口

( 象收加興、湖州、金華、紹興 **肖山、杭州整箱貨棚。** 「新鸛」 M.V."ZHE L! "5-428266 毎月兩航次・上旬、下旬各一次。 厦門水上運輸公司

香港→汕頭散貨航線 厦水運船隊 毎星期兩航次

收貸站;葦洋貨運(遠東)有限公司( UDSL) 電話:0-4999388 UNISON SHIPPING CO.: LTD. SOOKING ENQUIRY 5-418884 海聯絡應:海門的店1008室 常誌:251500×1008 中。國「貨」櫃、航、線」 中國散裝貨輪航線 收費 CFS截货 CY截貨 開航 截貨 開航 20/11 24/11 24/11 26/11 23/11 25/11 27/11 廣州 逢虽期二、五開航 厦門/池頭 20/11 24/11 24/11 26/11 29/11 30/11 2/12 黄埔、逢星期二、五開航 26/11 30/11 30/11 2/12 新港 4/12 6/12 8/12 三亞 每月逢8號、24號開航 21/11 24/11 24/11 26/11 青島 23/11 24/11 26/11 海口 每星期一班 23/11 26/11 26/11 30/11 大連 22/11 23/11 25/11 湛江 每星期一班 1/12 4/12 4/12 6/12 字波 每月二航次 汕頭 每星期二班 新港/北京 19/12 25/12 25/12 27/12 温州 每月二航次 容奇 每三天一班 28/12 1/12 1/12 4/12 連貫港 每月二航次 石枝 每星期三班 25/11 26/11 26/11 28/11 厦門 **逢星期一、三、五開航** 江門 每星期二班 每三日一航次 每五日一航次 蘭石 每三天一班 達星期三、四、六開航 每五日一航次 福州 每日一班

●本公司承辦及提供全及拼貨櫃運輸服務由中國上海、大連至美國、 加拿大及歐洲等地區。

●並可簽發中國至美國、加拿大及歐洲之全程提單。

●保證優良服務,運費相宜,歡迎垂詢。

REX STAR

ZIM HAI FA

GREEN ISLAND

HANJIN KUNSHAN

GOLDEN GATE BRIDGE西北太平洋

西北太平洋

11月29 東 發

11月22 新

11月23 天

西北太平洋纽约11月23 - 總一

美國東加拿大 11月24 川

11月22 晉 島

張六第

幕八便今♬ 票十對時頭南演球 尼士格、在以及、蘭英印下 儉港香瑞、國尼∪兩 了民隊港典荷、耶羽木

瑞蘇聯日歲

計儉成

港隊協合道上天競

假安室複州

港國 事年 

**,** 印中區年

亞朝度 邀在賽 插手請於 强坡非

其参亞一 競選律他加洲九 爭手賓 度同外九 領加泰 項時的年,。國 目準國考 該為及 · 備家啟 會了新 加好邀 將增加

| 個 月日公司 EVER ONWARD 旅山脈 11月22 利 達 馬上基施特丹MAERSK ROTTERDAM歐洲 11月22 馬士基 NORASIA PRINCESS 11月22 縣 侑 狄爾夫斯基KAP、KOSLOVSKIY 11月22 華 林 MING GALAXY 欧洲 31月22 郑 海 EVER GLAMOUR 11月23 利 巡 LUO HE 11月23 招睢局 SONG SHAN 逃中海 11月24 招商局 ASD HEKTOR 地中海 11月24 海 柏 LARGS BAY 11月25 太 古 TAIWAN SENATOR 31月26 怡和 TRANSWORLD BRIDGE歐洲 11月26 川 崎 BUNGA SURIA 11月27 遂 初 SD, LEDRA 11月27 實 監 EVER GRACE 11月29 利 違 OASIS ALTAIR 悲中為 11月29 日 郵 編施馬士基LAUST MAERSK 11月29 馬士基 MING OCEAN 欧洲 11月29 难 海 VILLE DE JUPITER 地中海欧洲 11月29 俳 垮 FEN HE 英國欧洲 11月30 招商局 CONCORD HAYATO 11月30 日 地中海 11月30 海 柏 KAP VALERY USHAKOV熱那亞 12月1 举 林 香港快輪 H.K.EXPRESS 12月1 雄 成 尤涉拉摩 USARAMO 基實將軍 GEN,FR KLEEBERG 歐洲 EVER ORIENT 12月1 利 違 TIKHON KISELEV 12月2 華 林 FINE EAGLE 12月2 港 NORASIA CARTHAGO 欧洲 12月2 歴 信 SEVENSEAS BRIDGE 欧洲 新布里斯班ZIM BRISBANE 12月3 新 與 斯勒地亞 SELANDIA 12月4 寶 隆 CARIBIC STAR 地中海 12月4 新 與 馬爾里亞 S.D.MASSILLIA 12月4 質

印•巴•中東線

12月 5 舊 隆

12月5 利, 迤

12月 8 馬士基

12月6 举 海

12月7 太 古

12月8 怡和

12月8 日 郵

ACE CONCORD

CARDIGAN BAY

安遠馬士基ANDERS MAERSK

與美士先鋒OMEX PIONEER

EVER GENERAL

MING LONGEVITY

美國聯利 AMERICAN SENATOR 歐洲

RAMNIK 馬德拉斯卡拉奇孟買11月22 海 蓮 **EVER ONWARD** 11月22 利 達 MING GALAXY 11月22 華 海 ABBAY WONZ 11月28 華 林 超斯福總統PRES. ROOSEVELT 阿拉伯港 11月23 總 统 TRIDENT BOND 11月24 金 輪 PAGO 11月24 新 英 AL MANAKH 11月24 怡和 仰光加爾各答 11月24 日 郵 UNI MODEST 阿拉伯灣 11月24 利 達 **RIA WALEED** 11月25 恰 和 BLACK WHALE 仰光加爾各答 11月26 港 LANKA AJITHA 11月27 東 亞 釣翰遜鲍统PRES. JOHNSON 阿拉伯灣 11月27 總 統 S.D.LEDRA 11月27 簽 陸 MING OCEAN 11月29。華 海 ELLI CHITRAL 攀盛顿缴统PRES, WASHINGTON KAP.VALERY USHAKOV馬總拉斯 Ort. 嘉娜為士基CLARA MAERSK EVER ORIENT 12月1 利 違 FINE EAGLE 12月2 港 伦 寬利伯美利MANOLOEVERETT 吉大港印度 12月3 福 來 胡佛總統 PRES.HOOVER 12月4 趙 統

CARIBIC STAR 料倫坡印度 12月4 新 興 S.D.MASSILLIA 12月4 費 旅 MING CHENG 阿拉伯灣 12月 5 招商局 AT, WATEA 層動循辯 10 H W 101 MING LONGEVITY 12月日 華 YS.PROSPERITY 阿拉伯科 12月7 山 下 艾森豪總統PRES.EISENHOWER 阿拉伯符 12月7 總 料价坡印度 金亞麗莎 GOLD ALISA 12月9 新 興 NORASIA PRINCESS 11月22 歴 ABBAY WONZ 亞拜旺 HAYAKAWA MARU 31月24 日 郵 NANTAI PRINCESS 11月25 欣 洋 塑斯力量 ALS STRENGTH 11月25 至 阿波锡洛 APOLLO PEAK 11月26 大 阪

11月23 職 林 掘施馬士基LAUST MAERSK 11月29 馬士基 渣萃范逸民NL.VAN DIEMAN 11月30 遊 整 吳菲士蘭 OSTFRIESLAND 12月1 天 RAINBOW AVENUE 12月1 大 阪 癌銀馬士基CLARA MAERSK 12月 1 馬十基 諾卡洛戈 NORASIA CARTHAGO 西非 12月2 歷 信 南黎王子 NANTAI PRINCE 12月4 欣洋 亞 南

DONAM No. 8 胸南八號 夏谷新加坡巴生11月22 洪 SANDYS BAY 多沙湖 11月22 海 陸 THAI AMBER 11月22 港 郵 FLEX AMERICA 11月22 渣 率 思士基神户MAERSK KOBE 新加坡曼谷巴生庇能11月23馬士基 11月23 日 WORLD LION 新加坡 11月23 海 RIAU 利高 11月23 益 高 TAO YUAN 新加敦曼谷 11月23 缴 利 ASIAN STAR 新加坡巴生庇能11月23 三 利 AL MANAKH 11月24 恰 和 RATH 11月24 港 LEVIN 新加坡 11月25 海 EASTERN ISLAND 11月25 益 窩 XIN HUA 9 新華九號 11月25 三 第 **JENFREE** 11月25 港 但 WISING 11月25 聯 航 YU JIANG 11月25 招商局 NEP BERYL 海島級玉 11月25 港 但 MARINE BRIGHT 11月26 永 NAN HWA 雅加達新加坡巴生11月26 東 TRINITARIA 11月26 山 下 SPECO TRUST GEMINI MOON - 11月26 五 洋 TRANSWORLD BRIDGE新加坡 11月26 川 **AURIGA** 11月27 绘 利 馬士基翹桃MAERSK PINTO 11月27 爲士基 GLOBE EMERALD 新加坡巴生 11月27 山泽下 11月2號 港等與

11月859 作号郵

""动井护"益。高

11月22 亞利來

11月28 實 輝

11月29 海 险

11月30 珠 江

11月30 亞利米

三族

11月28 五

11月30 日

11月27条 珠泽江流

EASTERN MARS 新加坡巴生 THAI TUBTIM WAH LEE **ARGUS** AND PARAMITA SUN KUNG 3 GEMINI SUN 的思斯斯。SQMERS BAY 西洲独士がASIA ACE 本章 AUI HUA AMD. WANADHARMA 印尼 WORLD TIGER 新加坡 AMETHYST KAP, VALERY USHAKOV巴生

11月30 海 陸 11月30 粒 利 NAMGANG GLORY 雅加逊新加坡巴生12月1 美數源場士基CLARA MAERSK 新加坡曼谷巴生庇能12月1 发放十二號YOU YI 1 2 12月2 港 NEP. JASPER OCEANIA QUEEN 12月3 中 BOONKRONG I 12月8 **「利伯美利MANOLOEVERETT** 新加坡 新海和二號NEW HERO2 12月4 跡 HANG SON

星加坡欧莉SINGAPORE GLORY 雅加達新加坡巴生 12月 4 - 東 | 字 SIRIUS GEMINI STAR 12月4 五 洋 扇和丸 SENWA MARU 12月7 港 内 JING HE 11月22 招商局 ZHI JIANG KOU 11月22 選 運 TRADE RELISH 11月22 発 運 LONG JIANG 11月22 輝 原 SHANG HAI 11月22 招商局 SHOU SHAN 上海 11月22 輝 脇 延安五號 YANANWUHAO 11月23 華 夏 JIA FA 11月28 第 運 新海難 NEW HAI HUA 11月24 第 運 TIAN YAN 11月24 華 MA LAN 11月24 招商局 JIN XJAN QUAN 11月25 第 夏 YONG AN 11月25 華 運 MILD TRAN 11月25 輝 脇 LIAN ITANG 11月25 招商局 XIONG YUE CHENG 京北都議 11月26 据商局 SUOI 張家港南通 11月27 華 夏 **NEW HAI NING** 11月27 巷 運 IIN JIANG 11月27 金 鋼 MILD OCEAN 11月28 輝 游 HUA YING 11月28 明 業 TIAN YUE 11月28 縣 亚 TING JIANG 11月28 辉 璇 QING HE 11月29 据商局 CHAO BAI HE CHONGAN 11月30 拉南局 SHANG CHENG 11月30 拍商局 WU LIAN QUAN 11月30 萊 夏 YUN FENG 運船 13月3 菲 夏 灣 省線 FU CHUN 11月23 大 蒙 東海穴號 TUNG HAL 6 11月22 永

NANTAI 7 HAI WANG MIRZAM 海盘绿玉 NEP BERYL 11月24 港 GOLDEN GATE BRIDGE言意 KIEN HWA 2 TAI LAI 11月25 永 YI CHUN 高維基陸 KUO HSTUNG 高雄基隆 KUO LIE 2 11月28 永 CHUNG LIE 11月27 綠 KWANG TA 2 11月27 永 HSING HWA MANHATTAN BRIDGE 高雄 11月28 川 大周二號 TA TUNG 2 日本·南朝鮮線

巴爾馬太陽BALTIMAR SUN 和平東海洋是DONGNAM 萬里雅士 MERCURY ACE 布魯克林場BROOKLYN BRIDGE 。由来 GOLDEN GATE BRIDGE A KEUMGANG GLORY YI CHUN DONAM NO. 1 陶陶一號 HUAI YUAN HE EMERALD KUO HSRING 日本釜山 RAYA HAPPINESS CHUNG LIE

PULSAR

AN CHUN

路與際

**CARGO BAY** 

MAJAPAHIT

阿華思土基ALVA MAERSK

羅斯福德鈍PRES.ROOSEVELT 布魯克林橋BROOKLYN BRIDGE 11月22 保 威 11月23 永 裕 11月23 成 高 11月24 川 崎 11月24 永 裕 11月25 大 榮 11月26 億 利 11月28 永 裕 11月29 永 裕 11月22 大 築 11月23 東 愛 [23] 港 11月24 川 11月24 東 11月25 大 祭 11月25克港 李明 11月27年 11月27 東 11月28 大 築 11月29 港 11月29 太 平 11月29 馬士基

XI FENG KOU 美國加拿大: 11月26 招商周 ALLIGATOR HOPE 西南太平洋纽约11月25 大 阪 EVER GIFTED 美國酒岸 11月26 利 達 星加坡勝到SINGAPORE SENATOR 美國 11月26 恰和 SL. LIBERATOR 西北太平洋紐約11月26 海 陸 加州主神 CALIFORNIA JUPITER 西北太平洋 11月26 日 郵 安達馬上基ANDERS MAERSK 加州紐約 11月26 馬士基 路易斯馬士基LOUIS MAERSK 11月27 馬士基 加州紐約 約翰遜號銃PRES、JOHNSON 西北太平洋纽約11月27 總 统 革命者 HYUNDAI INNOVATOR 西北太平洋 11月27 海 陸 非利雅士 FAMILY ACE 11月27 日 阿華馬士基ALVA MAERSK 西北太平洋紐約11月28 馬士基 SL.FREEDOM 西北太平洋纽約11月28 海 陸 太平洋艦 PACIFIC FAGLE 11月28 國 NEP PEARL 11月28 港 恒 COLIMA 11月28 億 特 MANHATTAN BRIDGE 西南太平洋統約11月28 川 ZIM SAVANNAH 11月30 新 興 華盛頓總統PRES. WASHINGTON 11月30 總 HANJIN KWANGYANG 西北太平洋 11月30 天 ASTRO PROSPERITY 纽约 11月80 大 阪 ADMIRALTY ISLAND TON 11月30 香 岛 EVER GENIUS 11月30 利 達 ORT, FORTUNE 新翠斯丸 NEW JERSEY MARU 西北太平洋 阿桑爾加克AMERICA MARU 協和與吉 KYOWA ORCHID KOREAN WONIS SUN 加州纽約 雜國元藝 亞士馬士基 AXEL MAERSK SL. ENDURANCE 西北太平洋紐約12月8 海 MING PLENTY 洛杉磯纽約 CALIFORNIA SATURN 西北太平洋 NEP CORAL PRES, HOOVER 胡佛總統 西北太平洋紐約12月4 總 NATIONAL PRIDE 洛杉磯王藩市 12月4 海 HYUNDAI EXPLORER 西北太平洋 EVER GUIDE CHALLENGER 西北太平洋紐約12月5 海 陸 ZHANG JIA KOU 英國加拿大 12月5 招商周 BARBER NARA 西北太平洋紐約12月5 百保利 SHIN BEI SHU MARU 西北太平洋 ROYAL ACCORD 中南美洲線 CORONA **亚瑟语** CHOCANO APOLLO PEAK 11月26 大 NL\_LEUVE ATACAMA 11月80 天

加勒比海中南美11月24 川 崎 11月25 天 祥 11月26 遼 華 FROTA DURBAN 11月30 塑制行 EVER GENIUS 11月80 利 OSTFRIESLAND 12月1 天 祥 奥非士朔 NL.NAGASAKI 加勒比海中南美12月 5 百保利 BARBER NARA EVER GREET 12月7 利 達

液準空胡安NL.SAN JUAN 巴尔馬加勒比海12月7 准 華 澳洲·新西蘭線 TENDAI MARU 11月22 太 古 11月22 華 KHUD. IOGANSON 弗里曼特爾 LAMON BAY 11月24 川 KRANSNOGVARDEETS新西蘭 11月25 華 ZIM KAOHSIUNG 11月26 新 11月29 遊 THEAS MING HOPE 11月29 率 **BUNGA RAYA MAKSIM MIKHAYLOV** 澳洲 火海洛夫 弗里曼特爾 KIANG REEFER

專航佛山二香港快速船舶

天天開航

船名瀾石1-8號LANSHI1-8承接集裝箱及散貨 香港代理 長運有限公司

ETERNAL WAY LTD. 香港銅鑼灣軒尼詩道555號東角中心十七樓 17/F, East Point Centre, 555 Hennessy Road, Causeway Bay, H.K. 専用電報:76497 ETWAY HX 電話: 5-8339989 電報掛號:ETERNALWAY 傳真: 5-727353

避發倉碼有限公司 長沙灣發祥街新九龍內地段600號 華聯貨運有限公司 • 香港新界青衣島地段68號

本公司承運來往國內外,海、陸、空、聯運服務,辦理香港中轉,

深港(華利)汽車運輸有限公司

廣東・廣西・福建・湖南・江西 等各省及中轉水陸全國聯運服務 運力最大。服務最完善

能即日爲貴客提供:

邏輯, 倉庫, 中轉站 全面性服務 裝箱附零担服務

貴客惠顧,垂詢請電 3-910438(4線 地址:九龍大角順槐樹街1-3號正輝商業大厦二棚

SUI KONG SHIPPING CO. LTD. 本公司代理:廣州港務局附屬船舶

香港二廣州散貨定期班航線 <u>船名</u> 開航日期 穗港駁;215 每星期三班 穂港駁 216

\*1. 承接港內大小船過水貨,直達廣州、黃埔等 省內各口岸海運業務。 2. 承接大宗或包船危險品貨物返廣州港務局元

村專用倉庫碼頭起卸。 廣州進出口貨物業務代理: 廣州港作運公司 🕶 🖢 電話 🖁 882391 囊温泵 861354 廣州港船移公司 887593 廣州新風作業區等進密電話。887594

廣東省各地、陸運拖車服務・手續簡便・收費合理・歡迎季詢 ≋≭≋ CHINA OCEAN SHIPPING COMPANY 直放:悉尼、墨爾本(象收Adelaide, Brisbane)

抵港 開航 "BAI HE KOU" 白河口 25/11 26/11 27/11 "SONG CHENG" 松 城 30/11 1/12 3/12

\*兼收新港貨 "ZHI JIANG KOU"技江口 19/11 21/11 22/11 "XIAO SHI KOU" 小石口 4/12 6/12 7/12

"ZHI JIANG KOU" 技江口 5/12 6/12 7/12



COSTRAN SHIPPING CO., LTD. 理 香港中環國際大厦901-2室 電話:5-459059 (8線) 5-450366

珠海經濟特區 珠成海陸運輸(集團)有限公司 ZHU SHENG TRANSPORTATION (HOLDINGS) CO. LTD

承辦中國對外聯運服務 中國各省具香港共世界各地 中國對外全程運費報價/簽發全程提單/豁免香港 定期全貨櫃、散裝貨及重型機械服務

OF ZHU HAI SPECIAL ECONOMIC ZONE

香港⇒珠海 開航日期 " 船名 港口 连星期三、六間航 珠外202 珠外201 珠外204 珠外203 建星期五開航 珠外105 珠外103

收货站:灣仔貨物裝卸區內 本公司國內兼自備有貨櫃車、吊機車及各噸位大小貨 華等設備代客戶承運由珠海至廣東及各省運輸服務

香港總代理:珠成酒陸運輸(香港)有限公司 香港干諾道中200 號信途中心 26 字據2607 室電話: 5 -466099 電傳: 80727 ZHUSN HX: 電話傳載: 5-404092

KLINE 川崎汽船株式會社

**5**到港 · 29/11 "ATACAMA" |啓航:30/11 ● 10/12 "A VESSEL"

智利各埠, Iquique, \* Valparaiso, San Antonio, Antofagasta. 加勒比海·公Port-of-Spain,公 Bridgetown, San Juan, Santo Domingo, PortAu-Prince.

Kingston, Puerto Cortes.

\*LCL Acceptable

|啓航:11/12 "RAINBOW 【到港 \* 30 / 11 |啓航: 1/12

西非: Apapa, Port of Harcourt)

(線代理·川崎(智港)有 聚公司 (香港統一中心88字樓 電話:5-8615561 文件部:(出口)5-8615515 (入口) 5-8615526 **】收貨站** ◆利高集運倉庫有限公司 散貨•油塘灣東源街8號 葵涌貨櫃465地段MTL對面

· 漢門接俄處 • 漢門嘉豐航運有限公司 澳門南灣街南灣商菜 中心A座1101室 電話:553311 **停真機: 569233** 

EEY.S.IINE

貨 香港至美國(東西岸)貨櫃航線

直航:長堤、渥倫 Also accepting cargo for MI-B -Gulf/Atlantic/IPIPoints.

海皇珊瑚 NEPTUNE CORAL 1918 中華普度 ORIENTAL EXPLORER 35E 9/12 10/12 海皇琥珀 NEPTUNE AMBER 89E 16/12 17/12 散貨收貨站。納塘灣高輝道24號迅發倉

能話 ₹3-7271888,7179888 貨箱 · HIT (No. 4 ) 香港至美洲西北岸特快航線

直航。西淮區、溫哥森 Also accepting cargo for : -Portland, Longview, Tacoma, E. Canada Montreal, Toronto, (MLB via Vancouver)

東方學國 ORIENTAL PATRIOT 42E 海皇明珠 NEPTUNE PEARL 71E 新来州丸 SHIN-BEISHU MARU 46E 4/12 5/12 5 飲貨收貨站。油塘灣高輝道24號迅發倉

電話:3-7271888,7179988 賞指:HIT(No.4) 香港至北美東岸貨櫃航線

童蚊 : 沙健本 + 皿的 > 型的輸及器径充 截貨日期 船到 阿多索染 ASTRO PROSPERITY 07 29/11 30/11 M魚解放 ALLIGATOR LIBERTY 07 10/12亨利角 CAPE HENRY 07 20/12 21/12 貨箱:MTL

香港至澳洲貨櫃航線

重航。复数、墨爾砵、布里斯班 亞洲翡翠 ASIAN JADE V72 亞洲明珠 ASIAN PEARL V72 貨箱:MTL

裁貨日期 期行 3/12 4/12 12/12 13/12

香港至波斯灣 貨櫃航線

直航:▲刀拜、▲達文、▲科威特、巴林、RIYADH(健 遠文),MINA QABOOS,多哈(經刁拜)SHA-RJAH、阿布打比。(有+者去SHARJAH) 兼收貨櫃往星加坡 裁貨日期 期行

山盛輪 Y.S. PROSPERITY V13/707 4/12 6/12 杜 爾 薄 TOR BAY V41/708 14/12 16/12 東京橋 TOKYO BRIDGE V16/709 20/12 22/12 散货收货站: 华運香港倉庫有限公司 油塘湾四山街KX516地段 電話 \* 3-7755245-8 , 货箱 \* MTL

總代理:山下新日本汽船(著)有限公司 地址:金鐘道95號統一中心16樓B座 電話 : 5-295501-5(5線) 5-295588(3線)

澳門代理:新興船務有限公司 大直銀行大厦505-6室 電話: 89543,89546

葵酒碼頭辦事處單話 1 6-260459,0-226211

鎮國西岸貨糧航線 PACIFIC SOUTH WEST/PACIFIC NORTH WEST (MLB & IPI ALSO ACCEPT

ABLE) SERVICE VOY.NO. 船 到 截 GIFTED 017E 26/11 24/11 GUIDE 022E 4 / 12 2 / 12 9 / 12

11/12 024E GIANT E. GLORY 18/12 16/12 020E DIRECT TO LOS ANGELES, SAN

FRANCISCO, SEATTLE. Also accepting : LONG BEACH, OAKLAND. Vancouver, Montreal, Toronto, Via Seattle

美國東岸貨櫃航線

ATLANTIC COAST SERVICE VOY.NO. 船 到 载 货 21/11 E. LIVING 30/11 28/11 **GENIUS** E. GREET 7/12 5/12 E. LINKING 0 3 1 13/12 11/12

DIRECT TO CHARLESTON. BALTIMORE, NEW YORK Also accepting · Savannah, Norfolk, Philadelphia,

Boston. CY & CFS : HONG KONG INTERNATIONAL TERMINAL 4 Tel: 0-276018 0-282580

加勒比海航線

A VESSEL

十二月十三日落貸十二月十四日開行 直航: CURACAO, ARUBA, SANTO DOMIN-GO, PORT OF SPAIN. CONTAINER ACCEPTABLE ALL PORTS.

貨倉截貨時間:十二月十二日下午五時

中南美航線

A VESSEL

十二月十三日落貸十二月十四日開行 直航 · MANZANILLO, ACAPULCO, PUERTO QUETZAL, ACAJUTLA, SAN LOREN-

ZO, PUERTO CALDERA, BALBOA 兼收貨箱(FCL) CONTAINER AVAILA-BLE FOR ALL PORTS.

貨倉截貨時間:十二月十二日下午五時

汎洋航運有限公司 TRANS-OCEANSHIPPING LTD. 37th Floor, SHUN TAK Centre 信德中心37樓

香港干諾道中200號 Tel.5-591065 (@Lines) 收货站: 迅载货倉油塘池段 TEL: K-7271888 TEL.K-7179988 高輝道24號

大な艱 費用廳 分類廣告

師

。在此消彼是 《角狀態日有納 《角狀態日有納 《角狀態日有納 《角狀態日有納

中國、瑞 東洲、蘇 中國、瑞 東洲、蘇 市國、瑞 東洲、蘇

,彼此交流經驗的好機會。此外,今仗也是各國青年軍官相信無論雙方勝與敗,成績均相差,可以肯定印尼青年軍水準較香淨均對印尼青年軍,而印尼青訓發展

質差高 乾

二北全

業餘田徑總會主席高一八年度香港的一 「本報訊」香港 | 成林昨天公佈一 明年 | 月底展開角 港國際馬拉松田徑事

十七國家地區派除參加灣歐分批過回過過青羽毛或與 會國世青羽毛或與



變動,實力和打法亦有異,不能一概而說,更不可能,在足總杯決賽亦負一比四。當然,今季大家人脚有事,愉闯是三戰三敗,在聯賽分别以〇比三及〇比一落,恰以是三戰三敗,在聯賽分别以〇比三及〇比一落一今天是兩隊首次交鋒,如果從去屆雙方的交手來

故以正路去估計

陳甄曾鄧 墨 世力永世 墨 九健存芬 エ 黄鄧王福 耀錦熾澤 信添輝恒

**经对限区域以上,** 六 月 陸志雄

有學習有關質助事宜。 有學習有關質助事宜。 有學習有關質助事宜。 有學習有關質別事實 與要延至明年一月。有關 與要延至明年一月。有關 與要延至明年一月。有關 是對助的宣傳威勢。 是對助的宣傳威勢。 是對別的宣傳威勢。 是對別的宣傳威勢。 是對別的宣傳國際。 是對別的宣傳國際。

成皮明

港杯

希望增加聯

星島球 ,星岛與 华在旺角 報 | 甲組 員皆破網美靑陸志雄「 宴客」

五比四挫关。五比四挫关。

港隊大比

雙方互交白卷悶戰 至波監,今仗而]足。南華瑪時陣一及受傷兵困擾。 尹志强 湾亞華制 **伽** 鄧茹录王 **圚** 柱健能福 盛德仁癸 陳文順 亞洲男篋

而對質力接近的价圈,离華要取勝,陣中有顧錦術、陳炳安受傷,黎永昌。以南華仍要 起用老將尹志强掛帥,不以南華仍要 起用老將尹志强掛帥,

亓

五期星

高

隊和印度隊、B組的際對馬來西亞隊,日本際對馬來西亞隊,日本際外,A組的菲律賓際。進展於明天進行,由泰爾於明天進行,由泰爾於明天進行,由泰爾斯和印度隊,日本 村盛然道記載

万在本港學/

插其他比賽項目。 排揮者、泰國及新加 非律者、泰國及新加 非律者、泰國及新加

歐洲

歌勵夫斯其KAP.KOSLOVSKIY MING GALAXY EVER GLAMOUR LUO HE SONG SHAN ASD, HEKTOR LARGS BAY TAIWAN SENATOR TRANSWORLD BRIDGE BUNGA SURIA SD. LEDRA EVER GRACE

OASIS ALTAIR 羅施馬士基LAUST MAERSK MING OCEAN VILLE DE JUPITER CONCORD HAYATO H.K.EXPRESS

GEN, FR KLEEBERG 新布里斯班ZIM BRISBANE 斯蘭地亞 SELANDIA 加勒比星 CARIBIC STAR 馬西里亞 S.D.MASSILLIA ACE CONCORD EVER GENERAL 安達馬士基ANDERS MAERSK MING LONGEVITY CARDIGAN BAY AMERICAN SENATOR 政

與美士允鋒OMEX PIONEER 印•巴•中界

KAMNIK EVER ONWARD MING GALAXY ABBAY WONZ 題斯福總統PRES. ROOSEVELT TRIDENT BOND PAGO AL MANAKH BRIJ UNI MODEST KIA WALEED BLACK WHALE LANKA AJITHA 约翰遜總統PRES.JOHNSON S.D.LEDRA MING OCEAN ELLI

CHITRAL 捷逡 華磁領地統PRES, WASHINGTON KAP. VALERY USHAKOV 嘉娜馬士基CLARA MAERSK EVER ORIENT FINE EAGLE 萬利恰美利MANOLOEVERETT 胡佛總統 PRES.HOOVER

中國對外 專航佛山二香

船名瀾石1-8號LANSHI香港代理:

**兩天兒** 本公司承運來往國內外·海·陸·3

**貨運部:5-495**(

本公司代理:廣州港務局 香港工廣州散貨定期 港口 船名

2. 承接大宗或包船危險品貨物遊 村專用倉庫碼頭起卸。 廣州進出口貨物業務代 廣州港作理公司 電話

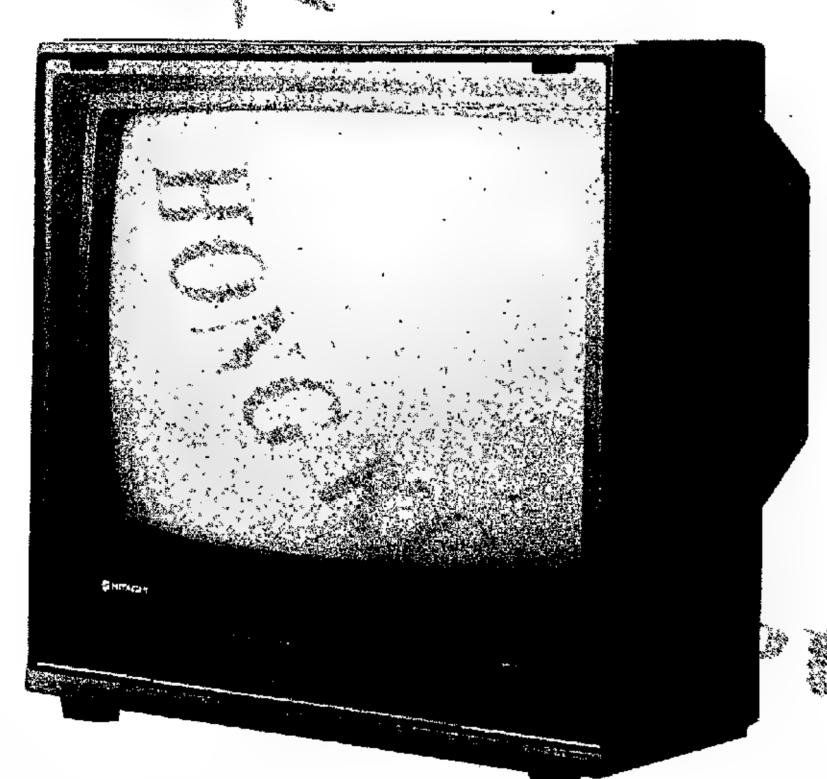
廣州新風作業區貨運宝電話

ZHU SHENG TRANSPORTATION (HOI OF ZHU HAI SPECIAL ECONOI 承辦中國對外聯運服中國各省共香港共世界各地中國對外全程運費報價/簽發全程提中轉簽證 定期全貨櫃,散裝貨及重要

珠外201 珠外202 章 珠外203 珠外204 珠外103 珠外105 章 收货站:灣仔貨物裝卸 本公司國內景自備有貨櫃車, 吊機車 車等設備代客戶承達由珠海至廣東及

香港場代理: 珠成酒煙運輸(1 香港干諾進中200 號信律中心26 字排2607章 電傳: 80727 ZHUSN HX: 電話傳義

月早 月 



冒牌電視機 EX-1873(中國/香港兩用綫路)

查近日發現有冒稱爲日立牌出品的EX-1873型 直立式中國/香港雙線路電視機,於國內市場銷售。惟 事實上該機並非日立牌所產製,而日立牌亦從無生產或 銷售編號 EX-1873 型中國/香港雙線路電視機。根據試驗 結果顯示,此冒牌電視機之品質並不符合日立之規格, 香港日立有限公司惟恐該機會流入香港,有損消費者 權益,特此敬告全港消費者,謹請愼防假冒,以冤上當。

如消費者購入該款冒牌電視機,本公司將不承擔其 品質保証及任何售後服務。

另本公司敬告各同業商號切勿販售該機,否則本公司 將採取法律行動。

(C) HITACHI

日立家電販賣株式會社

香港日豆有限公司

九龍旺角登打士街56號栢裕商業中心8樓

大公報

写小三初

修好

水管

地政工務司班機士へ一部門處理,有關工作亦已竣門漏水的投訴,本人已轉知問關於九龍城世運公園天橋即關於九龍城世運公園天橋

生

活

設時面下避認成有,鐵施,迴使畢為的影對不

王工超尋第王書超 教政治公路過一草屋姓劉的潮籍搬過人 教政治公路過一草屋姓劉的潮籍搬過人 教政治公路過一草屋姓劉的潮籍搬過人 我政治公路過一草屋姓劉的潮籍搬過人 我政治公路過一草屋姓劉的潮籍搬過人

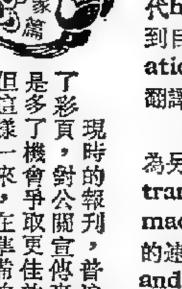
爱俊鳳尋弟袁俊寶 王元超(一回九四

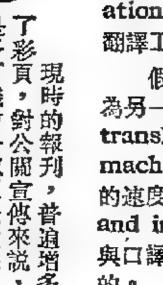
字 漢 科 極 平 有 極 極 ,是自

的包車由的覺譯 些「現象」的否定,顯得非常「演機制的哲學,對我的影響很大,它是經歷反應的機制。 是什麼。過度粒子的生成到分裂的是什麼。過度粒子的生成到分裂的是什麼。過度粒子的生成到分裂的是什麼。過度和可變動,電子如何轉來不知此,我們已很滿意,物質系統へ如此,我們已很滿意,物質系統へ如此,我們已很滿意,物質系統へ與完然不知所終的東西。

照片選擇

是會影響宣傳效果的,因為高質素刊物,自 形象篇 是多了機會爭取更佳效果, 但這樣一來,在準備拍照片 的場合,便得多動腦筋。 但這樣一來,在準備拍照片 的場合,便得多動腦筋。 是多了機會爭取更佳效果, 是會影響宣傳效果的,因為高質素刊物,自 是多了機會爭取更佳效果,







。不一邪是 造廠 育鬼。一 鞋東 上 如鬼 。主

随着科技日超進步,電腦已能取代許多由人類進行的體力勞動 和腦力工作,但它能否把翻譯工作者的飯碗搶走呢? 近日,有一批技術專家、翻譯界精英和學者雲集倫敦,舉行兩 天會識,專門探討 machine translation與human translation 的問題,研究電腦技術如何能協助翻譯工作的進行。

由於據傳電腦翻譯機器早已問世,因此,英國的翻譯界和學界 擔心,公衆會受到誤導,以為 machine translation 現已可以取 代human translation 。倫敦這次會議大概可以作出一個結論: 到目前為止, machine translation 還不能取代 human transl ation: 但是,由電腦科技而建立起來的資料數據銀行,却可以對 翻譯工作起到很大的幫助和推進作用。 假如你是企業的主管人員,你有一批文件需要從一種語言翻譯

為另一種語言,你會選擇哪一種翻譯方法呢? human translation 使人想到活動形態很慢,價錢昂費,而 machine translation則好像是機器生產工具那麼快 的速度。 但是 , 英國 institute of translation and interpreting 則表示,作為一家推動最高筆譯 與口譯水準的專業機議,它對機器翻譯還是不敢恭维

保障居民安全及環境寧靜

63

corate

即内的设計,一直引起。四條路線之中,在丙吨域皆有四條輕鐵路線即的輕便鐵路發展戲腳

一個今

黑张棠 的问她

準出定大機大

及看來,抽庫與建工程應該可以 沒得城市設計委員會的批准。 不過,從青衣岛一些由社工 組成的居民 國體一直以 來反對設立 他們連串的抗議行動。 使者表表 中面與是就事論事,抑或借此為對 一直以來,反對在青衣岛設 一直以來,反對在青衣岛設 一直以來,反對在青衣岛設 一直以來,反對在青衣岛設 一直以來,反對在青衣岛設 一直以來,反對在青衣岛設 一直以來,反對在青衣岛設 一直以來,反對在青衣岛設 一直以來,反對在青衣岛設 一直以來,反對在青衣岛設

正就民居不足九百九十碼,所以不符安全距離民居不足九百九十碼,在多次區談會或者居民大會上,港府的有關部門人員已曾一時的論據是,新建油庫的設計與過去在地面,而新建油庫是設個安裝在地面,而新建油庫是設個安裝在地面,而新建油庫與大會,其影響程度也較平常的油庫是設個安裝在地面,而新建油庫是設個安裝在地面,而新建油庫是設個安裝在地面,而新建油庫是設個安裝在地面,而新建油庫是設個安裝在地面,而新建油庫是設個安裝在地面,而新建油庫是設個安裝在地面,而新建油庫是設個安裝在地面,而新建油庫是設個安裝在地面,可對其地面上。另外,一個更為有力的。另外,一個更為有力。

| 海 職 業 訓 | | | 选举课程。 終局,辦有兩年制的

的不是无识的母生,为出现。又或者部份人走堂以示抗力出现。又或者部份十四堂的合法缺课是十四堂的合法缺课是

裸低自被生,

5325 (6線) 5-754356 0-752388

浙東奉 蔣 撥款按 化風景區添新 <del>口</del>溪 藏書樓 去處

房署稱因文件

受影響災民共五十八時房屋區於上月四日

(戸約二百人。 日發生三級大火・

救濟

發放

六噸什貨車 Dinc 意大利製 "西施牌" 高速射線 機・適合 朝各類型

重磅华仔 褲、西 等(每小時 可翻400條) 頓道9-11號合誠汽車大厦 18338 (22線) 士甸道118-120號 8235 (10線) 灣衆安街2-8號 34151 (6線) 角砵蘭街368號

雙排座農夫車,的士 貨車,9座、10座吉 力、五十鈴五至十二 、劃車、發電機

等以一發現、問語小說研究》 一為宗旨,將着重及時人 一為宗旨,將着重及時人

力代我階一革生。論

《即齊宗異》方舒是《即齊宗異》方舒是《即齊宗異》方舒岩平點,《過行的《聊齋》二

五份資料

情的

再

展的實界水質「平戰優」領平」前衡

面初般域括量產我的級不少不力國

現階發道量低,存

話交換機等量等因為所有一千多門,到今底可淨增十三萬名

東省野人機總容

就會引起中毒或造成更為的,若加入參、黨參內含有思維中毒症。若是在嬰兒會的,若加入餅乾、蛋卷中華一種位,即可引起急性中毒性中毒症。若是在嬰兒會

~~~

高水平。 長速度創歷史同期最以來綜合通信能力增以來綜合通信能力增

東莞等六個程控電話中山、珠海、順德、脚心、珠海、順德、佛山、

專家談

論保健食品

**劉加浦** 

食過量者

廣東

省電話

增多

加緊施

,数百里外大小玩。 金頂危崖凌空、京 金頂危崖凌空、京 美稱的峨眉山其至

五期星

救濟金已定本周內發拉房署稱因文件往來需時

本周內

發 把

今年八月底 ・力挫募英・一 ・力挫募英・一 ・力投募英・一 ・力投募英・一 ・力投募英・一 ・力限第二届傷

浙東奉化風景區添新去處 蔣 ガ石溪 口藏書樓

撥款按 泰鹽舖亦修葺 原貎修建

另其出生地

资山顶端上的妙高台已重修一新。

失去了右前臂的。

匱

陳列室:土瓜灣譚公道115號地下·歡迎參觀·一

9 起表字4 貨格多

車大·全新豐田F型MQ八座位電窗、冰箱豪華型

プログログログログログログログログログログログログ ・全新五十鈴 N H R 54 E 雙排座農民車冷氣收錄機 1月 ・全新五十鈴 N H R 54 E 雙排座農民車冷氣收錄機

音管

永信介 3-325331-2 九龍彌敦道。591號豐順太厦13字樓 左呔50鈴12座,豪華8座原廠冷氣

左呔豐田50鈴農夫車·的士頭

全新五十鈴左呔5-10噸貨車、泥車

out 素式此實力牌工業機械

翻新5-10噸貨車、泥車

NGHAI INT, C SCIEN TIFIC TRADING CO. LTD. 有意請重®8931681

望空修

盘中建

H.K. SHANGHA TRADING CO., LTD.

層

¥

每天每個位可排大字四個 細字三十六個・收費十元

理沙▼碎 漿 機石 機 恒進工程公司 電話:5-651386

250CC 400CC

左呔豐田大皇冠 M S122 翻新豐田麵包車、農夫車

平治200·230·250·280及豐田舊的士 【小松PC200 PC220 D75-2 D75-3 20HT 加藤KATO 850G 400G 550G 550GS 日立挖土機UHI4容量1.4立方米200匹馬力 小松迷你推挖機PCO2 全新豐田左酞農夫車、吉普車、麵包車

翻新私家車、轎車

豐田大皇冠、基先達、哥朗娜

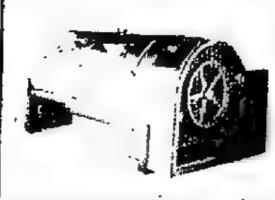
本田、三菱、五十鈴1600 c.c.

**20**-986772 Bilc 意大利製

供乾機 (乾衣容

"實力牌" LDS-100

天榮汽車 配件有限公司 片各類修理包電池防凍液鬼面單燈 電話:3-7288273-4



花石磨洗水及 全白銀源染機 械 (洗衣容量由 160公斤 250 公斤)

洗水技術顧問·廠房圖則設計及工程安装等服務·數迎郵詢。 HDO-P 型量型工。 業泰氧鍋疃 (匹數虫)頓 SUT LICK MACHINERY WORKS & TRADING CO., LTD. TREGEN : 9-947417-10

牛仔神針織響花石廢漂染洗水設備 地址:香港九晚知為州志信25,27,81及34晚地下 看到:61618 SEMACHX SUTLICKMAC HK



全新超豪華旅行麵包車

量由45公 斤-180 可翻400條) 香港幔頓道9-11號合誠汽車大廈 ♥5-8918338(22線) 九雕柯士甸道118-120號 ☎3-688235(10線) 新界荃灣衆安街2-8號

雪0-4934151 (6線)

☎3-815325 (6線)

九龍旺角砵蘭街368號

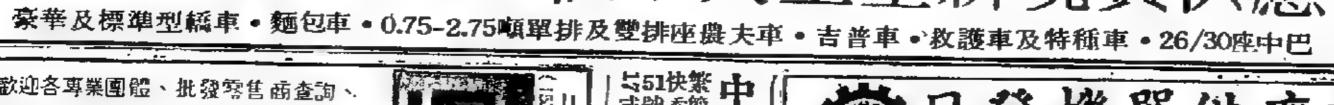
重磅牛仔

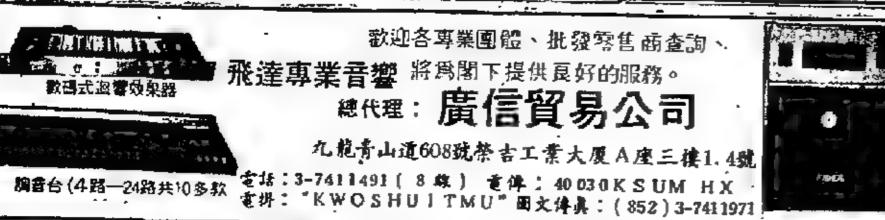
機・適合

翻各類型

您爲尊 日產總代理 中國業務部 **25**-8918028







- 2

器 5-754356 0-752388 

座臨屋,受影響災民共五十圓洲角臨時房屋區 於上月四

・二為另偏在しし

等到了。 對這些是草率不得的。 對這些是草率不得的。 對這些是似是攝影師的工作,但作為公園 等到了。 對這些是似是攝影師的工作,但作為公園 等到了。

否對所,很我變分粒到反合性定我終總滿們動之子的應國的 

照片選擇 照時,便得作週詳級大的照片,有了主於要靠相片留念室是新闻或發刊報

是會影響宣傳效果的,因為高質素刊物,自彩色負片或較大型菲林等。這些決定,日後師準備什麼類型菲林,是黑白、彩色正片、師準備什麼類型菲林,是黑白、彩色正片、

版四世第

《料盆上混出無限五十二
一上這種軟件後,

於磁場是否會影響反應系統

樣,會對迷場產生響應。如

果含有自由基(即帶有一個

不成對電子的原子或原子團

了的反應處於磁場內,那末

正些不成對電子的自旋方式

就會受到影響。其結果將導

致系統的有序性或熵的變化

學家就作出了這項推測。蘇

聯新西伯利亞的化學家不久

也證實了這一推測。隨之,

《又出现了大量的有關磁場效

化學家認為,磁場在兩個水

平上對化學反應的速率和效

用,在膠體溶液中會得到增强。

應的文獻報道。

物的類型。

一九七一年,美國的科

英國牛津大學一位物理

從而改變反應速率。

不同寬度的推

士可以创造及修改各種設計

是機械的製品,認為這些電腦變

構図

可能有

不會是藝術家 是物理或數學室 多年以來

家

便是建築師也殿藝術的創品

電腦灣電腦獨方順

经贷款 路路級路 思認器

大在我們體內進行的含目由

基的化學反應的影響。世界

上有許多發院正在逐漸放棄

使用X光透視的診斷方法

取而代之的是磁共振造影。

處在磁共振器中的病人、經

受者短時間 高强度磁場的

衝擊·共振器操作者則處在

低强度、長時間的磁場中華

他認為病人與操作者都可能

**跑於危險狀態。他説。「這** 

並不暗示磁場所帶來的危險

性與X光透視一樣,但是的

確存在影響。」究竟是什麼

性質的影響·則還剛剛開始

研究。然而已有文獻報道,

弱磁場的存在會使DNA的

修復速率下降百分之十。

还

如果將磁場用於一些特别的反應,那末磁場效應就會變得更為有用

紐約哥倫比亞大學一位研究人員已經證明磁場效應對化學反應的作

它們可以控制速率,影響產量,並且在適當條件下,也可用來改變產

用油彩但是畫意思

**新年和特別的的的特別的的教育的的的的特別的的的的特別的** 

小鞭臣」在海底教行任務

都皇

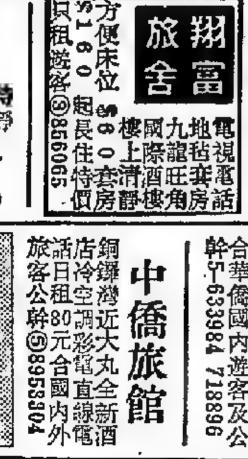
錯模。夜晚院

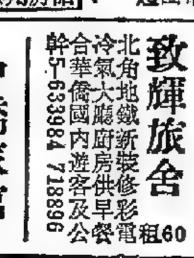
笔 • 5-786512 利士路郵箱86121號工場兼職九龍灣區無熟濟田700機自備 明光大 n 422136 場五天今

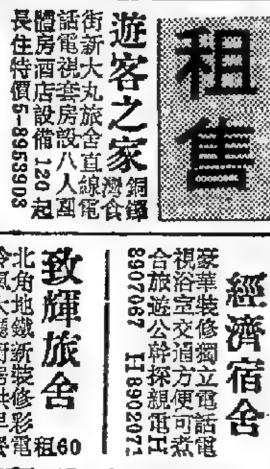
監獄 及 場 · 九至 · 小至 · 小至 · 人捉用場午明 伊愛·夜晚 拍 場今 更施・早

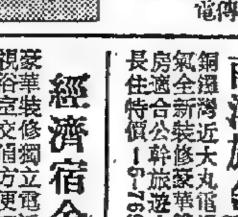
印務合作 

供伙食

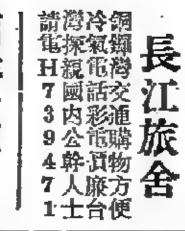












旅遊宿舍

比較預訂電話。②76 比較預訂電話。③76 198954209 仁屬旅館

洪H 小姐 1

整人大房一百餘元 與備日租單人房90元 會一卷第八九樓上酒店 會一卷第八九樓上酒店

遊會親5~436372 遊會親5~436372 遊會親5~436372

类頁 告 廣

每天每個位可排大字四個

原廠品質分析表及F ORMA者為佳,有 意者請電 3-739

英皇道郵局35047 口為合函履歷寄香港 另經理精五礦化工出 外資洋行欲聘內陸貿

國居民

開書

4 應 4 ^

3 用、棉用)H 一般 ( 一般) (美) 2 紙

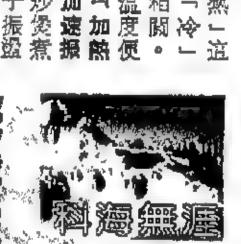
飲白粉,

兀進科技再建 A MARIE

盪振發激波微受

熱加物食令動運子分水

談淺理原熱加接直爐焗波微



我們還需要進行甚麼科學探求呢? 個這樣的理論也不會成為科學研究的對象。

正如没有科學家會研究「三分鐵字宙論」 至此,我們可以回答「科學的界定為何?」這個題目。稱得上為 學(又稱占星術)。

星相學把人世間發生

的事情,都歸究為天上各

種星象組合的結果。如是

者,一個人的性格、稟賦

定他出生時所屬的星座,

以及往後各種有關的天象

變化。個人如此,而就算

是國族興亡、世周安危,

都隨着星辰的運行而冥冥

的星辰在視覺上的偶然組

合如何能決定一個人的性

格運程,我們有與趣的是

從原則上說,星相學有

仓窳大錢而我真的窳了大

錢。信奉显相學的人自然

會跑出來大肆鼓吹星占是

如何的鍾驗。但假若我不

疏反喻,你道同樣的人是

否會承認星相學不可靠,

因此是虚假和錯誤的?當

然不!相反,他們會找出

種種星杜學的理由,去解

釋領言為何失準。總之,

無論是這錯那錯、你錯我

若星占锐我這個星期

可能波證明是錯的嗎?

姑勿論相隔千百光年

中受到主宰。

・命運甚至年壽・都取決

科學的命題,都是一些從 原則上有可能被偽證的問

愛因斯坦的相對論是 最優美的科學理論之一。 但科學家之接受相對論。 並非因為它在數學和觀念 上的優美,而在於它一次 又一次成功地經歷了多頃 偽證性的實驗 ——亦即— 些結果有可能跟相對論的 預測不相同的實驗。宇宙 線中µ介子的發命和日全 食時星光偏折的觀測。只 是衆多實驗中較為著名的

國澄滑的一點是,一 個理論「不可偽證」並不 表示 它就不可以 是真理 ——世界可能真的是三分 鐘前才被創造的呢!我們 要指出的只是,這一類理 論並非科學研究的範疇, 因此不應冠以「科學」的

有制追類理論,波音 爾舉了三個著名的例子, 它們分別是。星相學、心 理分析和馬克思主義。

首先讓我們看看星柏

錯,也絕不會是星相學本身的錯!

君不見每年的除夕,各國知名的星相學家都會發表他們的偉論 預測明年將會發生的大事。但你可曾聽過有星相學家因預言失準而承 認星相學有問題?當然不會,「天意難測」,更多失敗的頂言,也不 會動播星相學的分毫。簡而言之,星相學是永遠無法被偽證的。 正因缺乏這種「可偽證性」,星相學就只能永遠是迷信,而不能

。傳統的的鉛酸電

(下週待糖)

13.25° 中山醫科大學深圳醫療中心熱誠為您服務 本中心耳廣州中山醫學院在深圳游的分院 由全國著名的巡尿外科專家梅驊教授主持。設內、外、 婦、見、中语、五官、康復、推拿按摩、激光美容等門 診,均由中山醫學院專家教授應診。特設專家教授諮詢 門診,全身體格檢查,設備齊全,環境消淨。全日開診 ,星期假日,照常服務。地址,深圳市人民南路熙龍大 臣副樓(香江酒樓後面)電話,21630

細字三十六個 - 收货十元

1 6 0 3 葉先生洽



廣告營業代表 熟國内情况流利普通話語 粤英語28以下簡歷要求待 週寄HK GPO BOX

**有大麻雀 333** 

333

KNB 現貨 F.O.B. 深圳或C.I.F

香港、價格特惠、有意者語 電⑧7391603葉先生洽

灰鹅 被 含量80%以上産 地湖南現貨兩噸價格美金三 萬一/噸 惠顧垂詢請電0-774105

振華貿易公司王洽

廣 告 接

亞 旅銅鑼灣區

實易公司旅遊公司前房**医**符 地鐵對面酒店設備高尚清靜

設床位八人套房 雙人房 100元起



國影

適新脈搏

1、一個念頭還禁不住在腦海中冒起,這豈一時,一個念頭還禁不住在腦海中冒起,這豈以解來決定一套電影命運的做法,是相當難以說者說,乃是難於理解的。因為,前述全憑說者說,乃是難於理解的。因為,前述全憑以記者說

但願這個過程能盡量縮短過,從「人治」到其正「:

,也不避頂撞前任之嫌,那麼口無望,換過一個掌權人,如不適合當時的文藝政策或國情

, 那麼,情形却又人,如果他對有關改國情、民情, 某

也可依據法律要求重審,幾個人說了得多方敷衍了。滕進賢也說。審查依何電影審查法」,將來審查電影,就電影法」,其中就包括「電影審查法」,其中就包括「電影審查法」

散言手握根德邱與夫逸邵

談感受。 一位電視先生, 一位電視先生, 一位電視先生, 一位電視先生, 一位電視光生,

生」大獎・四次の一活力先中歐陽耀麟、鄧漢雄中歐陽耀麟、鄧漢雄中歐陽耀麟、鄧漢雄

陽瑙麟表示

平體會至深,爭取早日「法治」之志質。在此同時,他們也異口同聲地承不正常的!」「這情形會很快改變過不正常的!」「這情形會很快改變過級上類,一人治」為「法治」,行將從變了人治」為「法治」,行將從變別人治」為「法治」,行將從變別人治」為「法治」,行將從變別人治」為「法治」,行將從變別人治」為「法治」,行將從變別人為」。

准内地發行,到終於又准予發行,之間知的兩套影片為例,《原野》、《北京

向邱氏説,「未有問 您耳仔」,及後邵逸 您耳仔」,及後邵逸 吃耳仔」,及後邵逸 吃耳仔」,沒後邵逸 吃耳仔」,沒像邵逸 中面 中 中 中 原 中 原 中 原 原 時 原 院 時 月 時 月 日 一 會

電視先

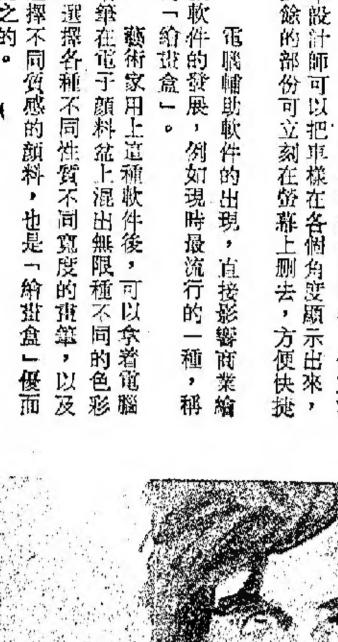
劉嘉玲懷念娛麗

間仍可學高基 制,現時婚期起 一個娛樂圈,她表 一個娛樂圈,她表 一個娛樂圈,她表 一個與樂圈,她表 一個與樂圈,她表

認為非

單成工作

參加者







科學家們很早就認識到 4.不成對電子就像小磁體一 自由基(即帶有一個

從而改變反應速率。 一九七一年,美國的科

英國牛津大學一位物理

用,在膠體溶液中會得到增强。



銅鑼灣區 貿易公司旅遊公司訂房優待 地鐵對面酒店設備高尚清靜 供伙食

**容錯標** 安晚院 設床位八人套房 雙人房 100元起

廣 TI 電 橙 蘦

日十二月一十年七八九一

幣

娛戀

(來裹着下巴出來) 用星馳正在缝針

村村的代價,非外人可 無線對於搞綜合性節目 無線對於搞綜合性節目 無線對於搞綜合性節目 無線對於搞綜合性節目 今次雖然沒有雜技表演 今年也不例外。不過

兩台巨頭會 只有說自己不好運了好為尼龍鄉是新的,外,不能怪任何人,外,不能怪任何人,

个有問題

密期

気気のの

《居民,而「無谗"。 房份證成為香港門七年,最近為香港

5-632959 兩 12 兩今 半點半點場天 你笑你驚 叫到笑到

劇團擊頌夜 会臺植

李

春內四 有 早 聯林場數着場

活李荷 月明 牛寿告 H 670421 展 (區朗元) 映歌天今 映歌天今 映默天今 司陳樓許明 大盡嘜 哥性姐 大爱玩 厭看温片 瓊 四走魂早 豫女點天淫場 孩女場涯婦針 標 場午明 参錯:夜晚

宮蘭

場五天今

猛色首日 片情輪本

表

0-755733 0-4922946

續飛炮場午

集車彈 夜

場五天今

的天秋

華寿音

映歌天今 合華杜基 辛 演堅化斯 潘

容

誰

差

館

樂娛

3-809570 5-243253

映獻塲五天今

控失泌分線經神你令

屍行腦劏

**清大拜衛大** 海海

《瑰玫野黎巴》談——

3-7993093

開心華黎田山 翠

心弱大腳

黄日華否認

合門

獄

夢悠:場點四

映獻院②

族屍:點

卡斯奥

,道角頭牛

3 \*966 700

映獻天今

倩

② ① ૽ 0 4512394 5 映獻院① 映院戲聞六

号好学

映獻天今

娘新鬼

總巴花河沙 | 國大口角牛 站士園畔田 | 側花海道頭 話童的天秋 映獻天今院兩 將神魔伏 情容不義 旦馬刀 館差鬼猛 場戰肉血 0-6980228

0 6495929

思少 四廉翠 | 精小出 四廉彩春女 點價風 | 妖鐘 點價風

映獻天今院兩 淚眼出笑,破膽到嚇 差 主陳 | 樓 | 許 | 張 | 汲 | 海齊家 | 光南 | 英冠 | 友學

人伊捉愛用<sup>場午明兩</sup> 夜晚院 天性 場公集 | 夫按淫 場公萬 堂愛 | 餘灣 | 人廢賤 | 餘年

地蘇油一星福。華龍

週二第个備大

人伊捉愛用,場夜午晚明 上四尋觀油 26性温 偷處龍今 探點尋妹群 招愛上 情安華早 戈床 春仔地 招愛上 情安 場

週二第个渝大 品城新 導 林 出藝 演東嶺 雲風獄監

人伊捉愛用場在明 舰 仔妹石寶 場今 奇性今場四 館武早官職 都能都美

天雲蓋義 場點四華聯

週二第个滯大 品城新 導 林 主 樂 周 出藝 演東領 演輝家發潤 雲風獄監

人伊捉愛用<sup>場午明</sup>·夜晚 浪熱:場早今都美

妹泰锡四 奸 早芳葵 鬼人場芳葵 架百架块 11.704646 X666148

0-208708 3-432659

早請塲五天午

作合鬼警·安治持维

製築光 演光南 英冠 友學

坞 五 天 今 猛戰而鼎戰殺城火與 上片爭三足場數•屠戰

兵旗港省 · 場早今樂快

果新 k618167 都影 場五天今 陳樓許張 家南冠學

犯新闻者

燕馬昇頌齊家光南英冠友學

規行場午 事的致場四早碳紅 故瑰 點場端紅

天四場午 無義場四 桃命早好 王大·夜 盲本·點 花帶場運

叭大蘇場今 喇**藤**-早

齊光英友

場五天今 片猛爭戰 戰 血 場 肉 標 場午明 多錯·夜晚

小 點今 羅野場四

週二第 風雲 監獄

陳樓許張 家南冠學 齊光英友

? 乎聞秘有真道難,

演英冠齊家光南友學

都皇



林偉健日前傷頸程思俊マ

入傷手腕

] 昨日慶祝二十週年台處,原本是一個微天亮地的日子,可是接三連藝員表示不要再搞這類危險節目

程思俊也受產連,一日總綵排亦有意外

车

<u>二手受傷。</u> 周星馳從高空駛

是特



學修改的不 學 於 談 電 才 励 、

系統的有序性或無序性(即 於磁場是否會影響反應系統

班女

不成對電子的原子或原子團 了的反應意於磁場內,那末

這些不成對電子的自旋方式 就會受到影響。其結果將導 **致系統的有序性或熵的變化** 

學家就作出了這項推測。滌

也證實了這一推測。隨之, \*又出現了大量的有關磁場效 應的文獻報道 化學家認為,磁場在兩個水

平上對化學反應的速率和效

如果將磁場用於一些特別的反應·用 它們可以控制速率,影響產量,並且不



電 + 5-786512 5-707289

利士路郵箱86121號 到出資條件面洽函機 無 新演田 7 0 0 機自備 整 務 高 田 子 の 機 自 備 

告

女 大性新超早 賽愛星級場 女不場在 季戀場午 節愛·夜 大空存 拖 四少心場車錯場 

· <sup>檢</sup>英**場五天今** 光南樓・英冠許・友學張 舘差鬼猛

安治持維。作合鬼警 人伊捉愛用:場夜午晚明 夢白色場四金 新愛場今新 日情·點門 傳奴·早聲 品城新 導 林 主 梁 周 出事 演束模 演輝家發河 望獄膩雲

筠美淫場四 出天早樂娱 人為·點 更使場樂娱 都富 **石**寶 k657116

主樂周演輝家發河

場戰肉血

差猛 標 場午明 多錯·夜晚

映獻場五天今

主 梁 周 演 輝家 發潤 人提用場午明 伊愛·夜晚 場女三九場今 登靚至 早

都新

M773496

拍 場今 更拖・写

明先大

0.477136

場五天今

只租选客③856065 只租选客③856065

旅客公幹回8953804 旅客公幹回8953804

張七第

羊毛

針織溫暖牌

和保暖

下拉長,最好是整齊叠在衣櫃內不易用衣架吊掛,否則會使之往不易用衣架吊掛,否則會使之往

條淨色冷裙,在幾種深淺藍色

運民

話一都吖

行家,死

猪咗果蔣

第但法者

0

★ 解多因「シーガス」 為事

多他史思法一與

,。是得其但入姆 位 值有地上量是選, 作 能此下大值, 的對顯家

五期星

與去族出

整現提

衆事現生,,

處地水和百

不限我水好深

P

健 進 全

,病都鮮發笑向開

人愉好這了到

門定療泉樹快跑些道北

題療在,了道。養見

特報

零右

健的部眼斑, 瘢後

的零活的贝就,有有腰架

兒巴,多下,患粉

黑

驚奇

2然零零碎碎的一 2.然等零碎碎的点 2.微锹,却不是较小的泥丘,泥丘。 1.

而。叶爽

上,小额山進 大行,的樣二要

有原宿是二瞻山但是

果牛寫多。限, 詩可不方亦過狀牛以的, 變都行。自者白。

時間見個可,或植盘形機體銳善。啄了尋,,冬巷酒村乡其季詩

以, 一族也論計北, 構, 相南不以

出老且俠開做向、的

给面從多没緒, 遵事只與主

,行為况保肯什立題早

得一以無發人跟有身皆二決

方存 都接 帝上 丁 動質

文 造把 向 他他 麽又 日切 地 報 的外 袁 放們 积看 實要 達 紙《面說心就當些現求到

**~ 願的 明,迎,辍。,他** 

僻不那架表題法花問類頗其椒其爪,扇。比在草服

耶而詔下將軍在一,越 其於:禄繼,起へ很,越後。太,二末人

然作勝鳴。稱高於多免一是山們生。及字。者處?那質妙以少俗,二之在意而的。 何質是一強作傑唱才山,臨必兩以逼作假【出華如泉送

出是,次論歐在英貴克 的五組查異大金 靑

在り潮八則一二十

已組時五

是是期人

十婴生對 愛上 到兒的象 二熱青, 高這 反比然限 反比然限 是義對後年制這他。 感熟於,幾最金 • 得一對歲大錢 多婴於青理才 。見環年念是 或

我晚晚

您您你想不!!

兒 這 再 幸 西 人

二巴脫褒喘生

於大為戶怎岳人搠

能是是樣

狄樓朗司斯 帝八五年紹丁被年崩へ年靖在同年國一與多移,一一康五

, 法英, 英 英國國法國

受出版商重托、精章 成就,特別在「周灣」

, 以年囚罪城崩六少來一前一至元國

當實要道城 時地查在今是點出今在 之一關和以京了移即為 在當係改能至。至紹五

個歲為了告一士 人的,分公份報 **密男**一析司調》 华丽 找中主

富,因以有

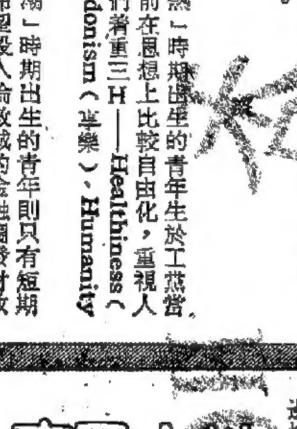
樣故還九宋心時四 ,事是三迄的大十 學等個一今事家 校列爛年幾,衆年教,攤一百令口前 育而子算年第一第 太五,起,者詞一 深國似, 相的的次 入城平佔當記說去 人間不了遠憶。東心題怎十了很「北 ,似麽四。深五, 鄂平關年日刻國同 王仍心,本。城行的居,眼侵 在者 廟重首時佔基蒙先一東 ,地關眨三 都位心,省

但地地傳軍地點經。二處黑先臨,所設家 也點。統者即也數如帝,人時時到謂一民 没為總?往零不百此,這吐契掘天衙同户

, 主慈一以國

實象了

一曹是佳江真栩們。,強,在見免



蜜园 說小性女

困寄討

, 一西廂侯, , 到輕仔

人仍未越來越

,稍有

的,算的

越仔捕「開 以主有者出 對角説 阿越是也,

林說

受!」 一天、兩天、三 一天、兩天、三

安定。

更而人

都成為金人的「合法證」,中國的失土,到了極大的「政治利

三之脚行島菲

上師拳

是和按待室,不少地方都掛上他的油組像。 馬科斯夫人也是,不過她只是掛在寢室和化 是和大海連在一起。 馬科斯夫人也是,不過她只是掛在寢室和化 是和大海連在一起。 馬科斯夫人也是,不過她只是掛在寢室和化 是和大海連在一起。 屬科斯夫人地是,不過她只是掛在寢室和化 是和按待室,不少地方都掛上他的油組像。 她亮 說 油 幾 油 幾 油 類 銀 重 都 像 銀 重 都 像 公

自 能齊一,傷亡越來越多。 一察之主的人物,殺下來為的是照顏他們的部屬。混亂中步中雖然不乏壓功超卓,本領高强之士,究竟也還是少數,豈中雖然不乏壓功超卓,本領高强之士,究竟也還是少數,豈中雖然不乏壓功超卓,本領高强之士,究竟也還是少數,豈中雖然不乏壓功超卓,本領高强之士,究竟也還是少數,豈中雖然不乏壓功超卓,本領高强之士,究竟也還是少數,豈 選が強電 洞追上

見·那

魔女

,頭之窄着

上山頭的人扼

要。中的一案響

谷的許雪日期多聲

?咁以下, 有 什麼所謂 戲咁做嗎

寧願從此退出這圈子阿青要求解約,

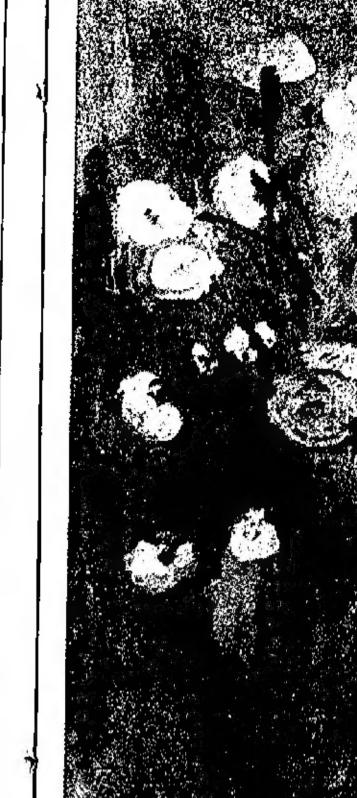
「大哥大嫂這樣早,有「你們怎麽還没有走?」

行贏

帖木兒祖孫同

塚

~~~



與最大遊人遊人

期的出生的青年,現在則已是二十到二現在歐洲大陸調查所得的友誼和愛情高近一次調查共以九百八十五人為對象,與我在是十五到十九歲,一組是「嬰兒熱」時期在把金錢放在愛情和友誼之上。這時現在把金錢放在愛情和友誼之上。這時現在是十五到十九歲,一組是「夢沒有的友誼和愛情高時,英

制這他。 移批們只

早小民十的有

。得一對歲大錢

河阴出土 沿

, 知 與 成 比 後 明 制 然 用 制

友誼和愛情高

人現代

大都希望投入

以 散 加現實 高,因此八倫敦城的金融圖發出八倫敦城的金融圖發出

物質更更致期

現在是欲加之罪,何人家説运我就順口問

一結在現

羊毛 針織溫暖牌

張七第

冬

, 口通另針已位、裝置, 非袋的冷織見女外。, 果 常 . 冷 被 品 各 土 套 单 是 軟

案。把來做以補中衫織是和 或顏雙得如肖品不、觀秋保 花色手保冷智店可冷成冬暖 

悉悲

上海東的感受 是引發談論 中悲切之情況 中悲切之情況 上海東的感受 上海東的感受

由日茶溢的一問此作,於契段,



、鱔應知何處來 · 英一件薄質 · 文大方的套

如腳中

却能 從來依口直於一次多的説話 新來 介大 潮 是 得 蜡 説,。 不夠聲 他還了但問先識人是兩由信後是

是不

五期星

一座好中 一座的了, 每位相 一座的一个 一座 有所回饋。 與奴財

陳清

會社

而來 所以已為 へ俄死 人,却等是甚麼單 财守

馬膽之選。

「第四祖,郭既報出了

「第四祖,郭既報出了

「第四祖,郭既報出了

「第四祖,郭既報出了

「第四祖,郭既報出了

學校所學權別, 學校所學權別, 學校所學權別, 學校所學權別, 學校所學權別, 學校所學權別, 學校所學權別, 學校所學權之外,該能在課餘, 於和讚生活的建立,父母上, 於和讚生活的建立,父母上, 是要作好準備,時刻家庭生活去,有 學校根本並非這樣理想, 也不會例外。具有家是 學校根本並非這樣理想, 是要作好準備,時刻在孩子 學人學校,更是其中, 是其中, 是其中, 之三)

些 甚至是 卷他至少 拔五好 ,倘 退錢要予 ・王厩報の近野大学の一番・三原教士・三郎教士・三郎教士・三郎

趣,一

安名運動文件等同於物E 「一生・「不識塵山真面目・ロ 不同・個別議員不能辨別簡中華 不同・個別議員不能辨別簡中華 本局・個別議員不能辨別簡中華 英名運動文件與經個 英名運動文件與經個

中並十往多當定件,一未二民事作授,早

が、都可以 類示換了 で

和正常的人

意他

普一自心針生質人病

中 

原多

證最連背所的與

啲孝设孝的似咗

答複。 於 於 的 的 所 物 。

看! 百普爾 對會

是位畏姓嘅季咁噃 一時得逞,但公道身後人心悸!,不禁浮起一個想達,用政治去抗,不禁浮起一個想達,用政治去抗,不禁浮起一個想達,用政治去抗,不禁浮起一個想達,用政治去抗 4. 有話:「已所不欲,」 自己唱願做不孝子, 一自己唱願做不孝子, 一等,附點都講唔通嘅, 位長者的話。 本,附點都講唔通嘅, 位長者的話。 不禁率,

光友 一 地 定 壁 我 大师,所以收避所需時日台比 大师,所以收避所需時日台比 大师,所以收避所需時日台比 水道。由於正獻的收購文件 水道。由於正獻的收購文件

園新

談周日高班馬 後野球行動 有名望的 看法是:10 有人間 後,就能兼取百分之 後,就能兼取百分之 。 於息口都要高。 於息口都要高。

生,如此歌音子厚望 對此駒寄子厚望

, 由足中英名

,甘於落後,「世界上就將没有我們應有的地 文報刊資料》、《台港澳和海外中文報刊資料》,其内容分別有科技 類、經濟類、金融財政類、文藝類、生活服務類、新發明新產品類等 等,包羅萬象,這個勢頭說明大陸對知識信息的朋放,門越開越大了



風信子

銷金

出來我看便在 買回來之後 可放於 可放於 可放於 可以 可 不 之 後

什價店香的 

定的價 準類頭 日討没趣。 昭真的就照所指 一次會替你省上一 一次會替你省上一

聯合國郵票以「人多」取勝

兒童防疫」郵票。一位專門研究聯合國郵票的郵友指出,今年聯 合國郵票有個特點,圖案大都 以「人多」取勝。 distribution in the second of 最近三套郵票上,就一共繪着

·上有二十五名有待安置的人。「聯合國日」 」郵票則繪着四十一個人在狂歌妙舞。本月 

曼華

一謂現

?」 に異的壁

她合

也在淨遠身畔站立

來呀!」五姊高何發燒拍電影, 質着。 技到上佳的景物

少些

說

林

來越親熱,定在捕風捉影

一是故意的迎现, 一是故意的迎现, 一是故意的迎现, 一是故意的迎避, 一是故意的迎避, 一是故意的迎避, 型製能

《一你想想我的感 求求你,求你放 所青向監製哭訴 一天、兩天、三 一竅不通,電影的事 「做戲 **請不** 

急急來找你們。」 

內一百

有所求而來

見你們選在這裏・オースを選手を 人去追? ,才有些着急了。」李芙蓉知道了,管他有没有發人,人去追?」劉怡武説。

無福消受 絲

然熟的,有绰頭 一一何不就與 對情侣,讓他們 對情侣,讓他們 數數阿水,發機 一氣之下,提: 假王仔與那女主 **液域風雨似的**, 提開出

十分年

露出帶有「成功感

**陣子的滿足是千金難買** 

而要。當然 一的感情和 人們得夫妻

有的一的

投段戲虛

當時期

鍾歌蓮

傳跳構

片橋段有,瞥一个四片橋段有《生命之旅》

人那渾身是勁的特點。但在中國、社會及世界性問題作過回應,、社會及世界性問題作過回應,決過態。當然,摇擺音樂顧名思、社會及世界性問題作過回應,一多年來,也有不少作品對政治一。就且看西方的播擺音樂,三

中國人始終保守一點 中國人始終保守一點 中國人始終保守一點 可仍然存在。 我常覺得,應該 發展程度,應該 的發展程度,應該 的發展程度,應該 所然的 一點

麼 實 應 花上 該

(花,這是很自然 (花,這是很自然 (花,這是很自然 (話與它的開放) (格腦音樂在中

神則一,例如 機的民歌相告

·無線做

炮侧

周

潤

彩,辛辛 收三百多萬 《監狱風宴

步也我來寫,

表何的未劇讓雜這角是情才心有是我,個色我

樣應子的

她到要日

比呢她子 致了演並

她會揀什 一樣,只

今度即

版八廿第

名名 字字環

使到人物情節過少應該是好評如潮出

份事才

,為



四三道詩尼軒港香:址地 一八一七五七:機總話電

8778 TELEX: 72859 HKTKP HX



輝工業中心

342 Hennessy Road

ED

甚至對您言加以 人名英奥作《

實百加土植》包 

在她,說 和無直,將意到歌 鐳射製作胡琴協奏曲五首

否

一一

首樂曲,全是他的作品,由黃安源擔任獨奏(二胡及中胡),李泰祥自己指揮 李泰祥的作品,特點是揉合了古典與現代,中、西方及正統與通俗,聽來 另有一種韻味,樂曲的編制,很多亦是合中、西樂器於一爐,如道裏的室內國 就有大、中、小和倍低音提琴,打擊樂器以及笛子、揚琴、琵琶等等 器音響效果通常都用得頗顯著。前年 DE CCO 他指揮荷蘭阿姆斯特丹音樂廳樂團·灌錄了

《那些天、地、人》及《美麗的哀愁》兩片 ,獲得金鼎獎。 這裏五首樂曲,《画歌》及《杜甫夢李 自》雖名交響詩,但性質上是屬於協奏曲一 類,前者是二胡主奏,後者中胡主奏。《草 原》、《拉駱駝》及《春望》亦分别由二胡 及中胡主奏,室内樂伴奏。《酒歌》、《杜 甫夢李白》及《眷望》都取材自李白和杜甫 的詩作。《酒歌》取的是李白的名作《將進 酒》。演奏及録音甚好。DECCA出品, 個射唱片·421362—2

5-737374 仔 渴港香

②都京①

官差鬼犯 安治持維作合賊誓

映獻場五日卽院②

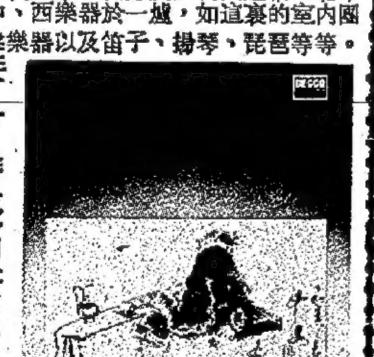
連 軍 海 議 場 発 発 発 発 発

伊愛場午明 駕錯四 西賤場今人捉用夜晚 鴦點點 醫女淫早

话出错铜

玫

斜柏



路四加明 主演 左 差 在 館 鬼

標 場午明 參錯·夜晚 不天夜 四點三

倡南 站尾灰石 映歌天今 番 嘩 鬼 生

整鴻 基鴻 1基鴻 0-271333 5-556328 0-5538158 映獻天今 主 梁 | 周 演輝家 | 發潤 觀不兒 君宜董

場場四加兩明 映六點開天後

聲樂 3-617109 樂民 概不兒 看宜童 主架 周 演輝家 愛河

些加重 人伊捉愛用<sup>場在明</sup>夜晚

統總 聲麗 3-945300 親不兒 看宜童

主 梁 | 周 演輝家 | 發潤 盖机阻壘 望滿要 1 改必一明和想其 1 希充 **變**會切天敗成再

年3月 丰新 #738291

襟兄弟 感新故人鮮事

點加 場六 玩床好蕩 不兒到上漏女 宜童旗胡油沸 1亂,到 **淫性** 妻 慾

靈前 讓 巧談 我 生印屬暗削片統刺音是裹眼印重活度於,鄉與的耳樂充着神度新,現他,舞印和,滿一,舞認

ETT: IIII • 王昭 她敏期貝 半是天意、一业無線」的舞蹈。變成為電視藝

不一把機,擺 少無握會是身 ,但是亦有些是有發展的合約是兩年,合約已過了. 有機會原因,

分娶題到跳份決功難,受濟異的和我,性不手握,心舞感,時,初對了性感鞋對漸結, 一 1 是有

切也自雜順是己能

自土來定

然的的身

阴也多,哲

票是場一瑩視

房~《鎚的説 便,後繼《林 游而來鼓樓家

且的便台聲

• 高加润會與

樓台會

**哲**皇都

縱情所更巴飾,使您以性霽濱 中她對上導感以者

唇的綠倉一他像,的要不的居然所一會被未作的應 一為是遇才他能

拍玫巴 · BE •

道去在好

做

桃命夜頓翠 花帶場午盛

阻沙尖

點四加明 主演輝家發調 風 風 黑

幕黑場午

園花大淘

場五天今

電洪奇奇一 影荒酷情部

伏

魔

兒 發公洲 童 行司立 響音比杜

神

將

不兒 宜童

需設情比是政影敦的 要她恣巴碧瑰。事野 。在 · 舞姐的 拍我

同不也士甫個擺,員藝蹈舞過做明敏王

智

會觀來件的 的衆都泳「

為漸這東當的是節一

的功可,在面而講

頓盛華台舞利 華南 仔港香 角頭牛 K7710405 H8954294 K 881755 首輪中西三影院 一首輪中西三影院 一首輪中西三影院 場五天今 大盡嘜 電猛度本 影嘅最年 後のもに華 9701213利 哥性姐 333334 大爱玩 口廣 赤 羅 人伊捉愛用·場夜午晚明院兩 鬍 子 宜不童兒 生 夜 場午 絲憋三四 鮑鳳早帝 女之·夜 貓金性點 身鬼場國 院 攻以午活拳早 攻以夜間北場 毒毒場王腿南 告

城龍九

際國

.K 820749

差程鬼

想 場 年 明 多 錯 · 夜晚 表 場 四 半 十 對 哥 · 點 · 點 玉 場 午 图 篇 · 夜

仔港香

H551449

十點三加明 主 梁 周 演 輝家 發凋

集 獄 人捉用場午明 伊愛·夜晚

風

監

影的出一 填牖 插大 站山台等 站的任 旋凱 星銀 ABC 0-4161419 (2)(1)3-325675 映獻場五天今院①

點四加明 映圖三第 集續兵旗港省 五今大場天華 最多國 差猛鬼

四點秋天的窟 五場 鬼新娘 作之情激 場五天今 女少的關不 話的秋映明 童天 · 天 五.即 五.即 情容不義 錯夜明 参標午 陽梭場午 人 場四 天摩場今 界陰穿夜 人嚇·點 師登·早 敗 四十 好家 監 九 多蜡標·場夜午晚明

珠吐龍獎·場夜午華大 人提用夜明兩 組二穀明國 伊愛場午院 人妻早都

喜驚勿生 劇笑近人

人伊捉爱用<sup>場车明</sup>·夜晚 録食偷妻淫 \* 場點四今聲鴻

點加明兩夜加麗 **獻盛天** 正四天院場午聲 映大

冠金 大兵関

奇 館 標 夜明凶早 多錯場午終場

**滙老百**菜西旺 ③②① 街洋角 K 325731 天 4 即四三多類明黑 差 鬼 館差號場中 情鬼隔早 姦世場

宮麗碧

**洋南** 九七五兩今 點點點點四 九半三半場 場五天今 巨惹緊恐一 片**笑**張怖部 巴 嘩 生 宜不童兒 野 是唐場<del>午</del>

諜

映獻場五天今 1 影電嘅猛最度年本 叫你到笑。笑你到驚 生香鬼華 咬揾身半抓四手半 ・人・截・圍・隻 法犯法知。場早令都銀

0:891187

江珠

3 7123941 0759660 場五天今 軍課魂海 主 真 | 桑 演曼赫 | 恩

少失場公 法家場四 殺巴早南 女身,餘 法家 點 手黎場昌

功鬼場四·雙虎早 夫馬·點 形鶴場官樂

監制則票

春莊玉民 關性苦酸民 場四今 尋女樂 愛辣甜樂 · 點天

站出籍铜

5-776351 3-661056

降伏兼勇神子 | 電洪奇奇一 魔妖備謀將生 | 影荒酷情部

奇場午 龍 場四 舞上半十明 缘 · 夜 威咁 · 點 台海 · 點珠

場五天今

人伊捉愛用<sup>場午明</sup>

場五天今 導拜大大恐 演夫衛師怖

行副屍腦

風監場四明 雲獄·點天

人提用場午明 伊愛·夜晚

场五天今

戰 血

風監場四明 雲獄·點天

人提用場午明 伊愛·夜晚 情鬼隔半十 姦世·點